

Til  
Region Syddanmark

Dokumenttype  
Rapport

Dato  
April 2024

# UNDERSØGELSER GRINDSTED - PULJE 30 FASE I, II OG III



## UNDERSØGELSER GRINDSTED - PULJE 30 FASE I, II OG III

Projektnavn	Pulje 30 2021. Grindsted advanced investigation	Rambøll
Projektnr.	1100047870	Englandsgade 25
Modtager	Region Syddanmark	DK-5100 Odense C
Dokumenttype	Rapport	T +45 5161 1000
Version	<b>1.5</b>	<a href="https://dk.ramboll.com">https://dk.ramboll.com</a>
Dato	<b>2024/04/12</b>	
Udarbejdet af	BRB, JWKU, HGM	
Kontrolleret af	METC	
Godkendt af	BRB	
Beskrivelse	Videregående forureningsundersøgelse	

Rambøll Danmark A/S  
CVR NR. 35128417

## INDHOLD

### Stamdata 3

1.	Resumé	4
2.	Indledning	6
2.1	Baggrund	6
2.2	Formål	8
3.	Historisk redegørelse	9
3.1	Grundlag	9
3.2	Aktiviteter og risiko	10
3.3	Forureningskilder	10
4.	Geologiske forhold	12
4.1	Regional geologi og hydrogeologi	12
4.2	Lokal geologi og hydrogeologi	13
4.3	Bore lokaliteternes geologi og hydrogeologi	14
4.3.1	V-Ø transekts	15
4.3.2	Strømlinje fra fabriksgrunden til Grindsted Å	17
4.3.3	Boringer langs Grindsted Å	19
4.4	Vandindvinding	20
4.5	Overfladenvand	20
5.	Feltundersøgelser	21
5.1	Strategi	21
5.2	Udført arbejde	21
5.2.1	Besigtigelse	21
5.2.2	Boringer	22
5.2.3	Vandprøver	22
5.2.4	Slugtest	22
5.2.5	Pejlinger	22
5.3	Afgigelser	24
6.	Resultater	26
6.1	Transektsboringer	26
6.2	Strømlinjeboringer	32
6.3	Boringer langs Grindsted Å	39
6.3.1	Østlige del, boringer i og omkring udstrømningsområderne GWD1-GWD3:	39
6.3.2	Midterste del, boringer i og omkring udstrømningsområderne GWD4-GWD8:	45
6.3.3	Vestlige del, boringer langs Engsøen/vest for Søndre Ringvej, GWD9-GWD10	52
6.4	Slugtest	56
6.5	Pejledata	56
7.	Konklusion	58
8.	Referencer	60

## BLAG

Appendix A  
Rapport Fase I

Appendix B  
Datarapport Fase II

Appendix C  
Datarapport Fase III

Appendix D  
Analyserapporter Fase I-III

Bilag 1  
Oversigtskort

Bilag 2  
Geologiske snit

Bilag 3  
Resultater vandprøver

Bilag 4  
Vurdering redoxforhold

Bilag 5  
Snit med kemiske parametre og redoxforhold

Bilag 6  
Data synkronpejlinger oktober 2022

Bilag 7  
Grundvandspotentiale, oktober 2022

## STAMDATA

Ejendomsoplysninger	
Adresse	Tårnvej, 7200, Grindsted
Matr. nr. og ejerlav	Undersøgelsen er udført på følgende matrikler: matr. nr. 7000cn, 7000ag, 7000ae, 3ag, 3c, 3ea, 3uq, 4ib, 4na, 5a, 14 alle Grindsted By, Grindsted, matr. nr. 1mz og 2a Modvig Gde., Grindsted og 1aq, 1ab, og 1u Loft Grindsted
Lokalitetsnummer	565-00072
Regionens journal nr.	09/16599
Grundejer	Billund Kommune. Alle borer er placeret i arealer tilhørende Billund Kommune undtagen B605 v. Fynsgade 32-36, der er placeret på areal tilhørende Grindsted Boligforening.
Kommune	Billund Kommune
Aktivitet	Grindstedværket, fabriksgrunden.
Nuværende anvendelse	Offentlige arealer. For B605, græsplæne tilhørende Fynsgade 32-36, hvor der er beboelse.
Ejendommens vandforsyningssforhold	Ingen

Grundvand og overfladevand	
Grundvandsinteresser	Beliggende udenfor OSD
Grundvandsforhold	Udenfor indvindingsoplund til vandværker.
Overfladevand	Der er ca. 1200 m til Grindsted Å fra fabriksgrunden.

Udførelse af undersøgelsen	
Rådgivers sagsnr.	1100047870
Sagsbehandler	Britt Boye Thrane
Kvalitetskontrol udført af	Jette Kjøge Olsen, Mette Christophersen
Boreentreprenør	Fugro, A. Højfeldt A/S, Jysk Geoteknik A/S
Analyselaboratorium	ALS, Eurofins

Tabel 0-1. Oversigt over forkortelser der anvendes i rapporten

Forkortelse	Kemisk navn/forklaring
TCE	Trichlorethen
DCE	Cis-1,2-dichlorethen
VC	Vinylchlorid
PCE	Tetrachlorethen
GWD1-GWD11	Indsivningsområder langs Grindsted Å (GroundWater Discharge)

## 1. RESUMÉ

Denne rapport omhandler en række undersøgelser udført i relation til den forurening der er sket på det tidligere Grindstedværket (efterfølgende betegnet "Grindstedværket") i Grindsted. Der har siden 1914 været produktion på det område i Grindsted, som i dag benævnes "fabriksgrunden". Siden 1924 har der været produceret medicinalvarer og hjælpestoffer til næringsmiddelindustrien og produktionen af hjælpestoffer til næringsmiddelindustrien er fortsat i drift.

Der har gennem tiden været anvendt enorme mængder kemikalier på Grindstedværket, og produktionen har medført forurening af jord og grundvand på fabriksgrunden. Der er tale om usædvanligt store mængder af forurening, som bl.a. transporteres med grundvandet. Der er ved en række borer i Grindsted by påvist en markant forureningsfane fra fabriksgrunden, som undervejs mod Grindsted Å bevæger sig dybt ned i grundvandsmagasinet.

Det overordnede formål med undersøgelserne har været at danne basis for udpegning af indsatsområde for en oprensning af forurenningen langs Grindsted Å samt planlægning og dimensionering af en egentlig oprensning. Derudover har de udførte undersøgelser medvirket til den praktiske gennemførelse af en række forsknings- og udviklingsprojekter vedrørende forurenningen fra fabriksgrunden i Grindsted i samarbejde med DTU Miljø.

Langs Grindsted Å har DTU Miljø gennem en længere årrække udført undersøgelser af bl.a. udsivningen til åen. På en strækning på ca. 2.500 m langs åen mellem Vestre Boulevard mod øst og Morsholt Skolevej mod vest er udpeget i alt 11 indsivningsområder, GWD1-GWD11, hvor forurenningen strømmer fra grundvandet og op i åen.

Arbejdet i dette projekt har været opdelt i fem faser, hvor denne rapport omhandler arbejdet med fase I-III, der primært omhandler feltaktiviteter. Der er først udført en screening langs Grindsted Å med direct push sonderinger for udpegning af, hvor permanente moniteringsboringer skulle placeres. På baggrund af de i alt 47 sonderinger, hvor der blev udført MIHPT og niveaubestemt vandprøvetagning, blev der etableret 26 bore lokaliteter langs Grindsted Å med 3-6 nedboringer/filtre på hver bore lokalitet. Udo over bore lokaliteterne langs Grindsted Å er der udført i alt 6 dybe moniteringsboringer med etablering af 5-6 filtre på hver bore lokalitet i dels et transekts på tværs af forureningsfanen fra fabriksgrunden, dels i en strømlinje mellem fabriksgrunden og Grindsted Å. Der er udtaget vandprøver til analyse og udført slugtest for bestemmelse af den hydrauliske ledningsevne fra de 32 nye bore lokaliteter med i alt 128 filtre.

Som supplement til de udførte permanente moniteringsboringer er der udført 3 runder af synkronpejlinger samt udtaget vandprøver og udført vandføringsmålinger i Grindsted Å.

I borerne udført i Grindsted By er der fundet kvartære smeltevandsaflejringer med en tykkelse på ca. 20 m. Tykkelsen aftager mod syd mod åen, hvor der nært er ca. 5 m kvartære aflejringer. Under de kvartære aflejringer kommer sandede Miocæne aflejringer og ca. 65-70 m u.t. anbores Arnum Fm. I borerne udført langs åen er der konstateret et udbredt lag af brunkul. Ved åen er der artesiske forhold under laget af brunkul, og i filtrerne over brunkulslaget er der et frit magasin med vandspejl lige under terræn. Der er udført slugtest i de udførte borer for bestemmelse af den hydrauliske ledningsevne. De tolkede k-værdier ligger generelt i intervallet  $1 \cdot 10^{-4}$  m/s til  $1 \cdot 10^{-6}$  m/s svarende til groft til finkornet sand, hvilket stemmer med den geologiske beskrivelse af prøverne.

Data er præsenteret ved en række snit, der viser geologien og udvalgte analyseparametre i hhv. transekten, strømlinjen og langs Grindsted Å. I borerne udført i transekten ses forhøjede koncentrationer af sulfanilsyre i de yderste borer mod både øst og vest. Fanen med chlorerede opløsningsmidler og barbiturater terrænnært er ikke afgrænset mod øst, men er afgrænset mod vest. Fanen med sulfonamider er ligeledes afgrænset mod øst. Fanen vurderes afgrænset i dybden ved overgangen til Arnum Fm. 65-70 m u.t.

Resultaterne fra borerne udført i strømlinjen fra fabriksgrundens mod Grindsted Å viser høje koncentrationer af klorerede (og VC) dybt i fanen centralt i byen og i hele dybden ved åen. De farmaceutiske stoffer ses i varierende koncentrationer i hele strømlinjen og over dybden men med specielt høje koncentrationer af sulfanilsyre tæt ved terræn ved det gamle rensningsanlæg.

I borerne langs åen ses der en dyb forurening, under laget af brunkul, med både chlorerede opløsningsmidler og farmaceutiske stoffer i det centrale indsivningsområde GWD5. Fanen vurderes at være relativ smal, men er ikke afgrænset i dybden.

Over laget af brunkul ses den kraftigste forurening med chlorerede opløsningsmidler og farmaceutiske stoffer i et bredere centralt område ved GWD5 og GWD7, men der er også en betydelig forurening i den vestligste del af GWD6 (B625), hvor meanderebuen har en nordøstlig orientering. Fanerne vurderes afgrænset mod vest omkring GWD8 (B627), da indholdet af chlorerede opløsningsmidler og farmaceutiske stoffer er aftagende. Fanen med sulfanilsyre er ikke afgrænset mod vest. Mod øst er fanerne afgrænset ved boring B636.

Der konstateres generelt lave og aftagende indhold af sum chlorerede, sum sulfonamider og sum barbiturater på den vestlige del af strækningen langs åen især over brunkulslaget. Det bemærkes, at længst mod vest konstateres højere indhold af især sum klorerede i det dybe grundvand under laget af brunkul sammenlignet med over brunkulslaget, men der er tale om lave koncentrationer. Både den øvre og nedre fane med sum sulfonamider, sum barbiturater og sum klorerede vurderes afgrænset mod vest. Fanen med sulfanilsyre er ikke afgrænset hverken mod vest eller i dybden.

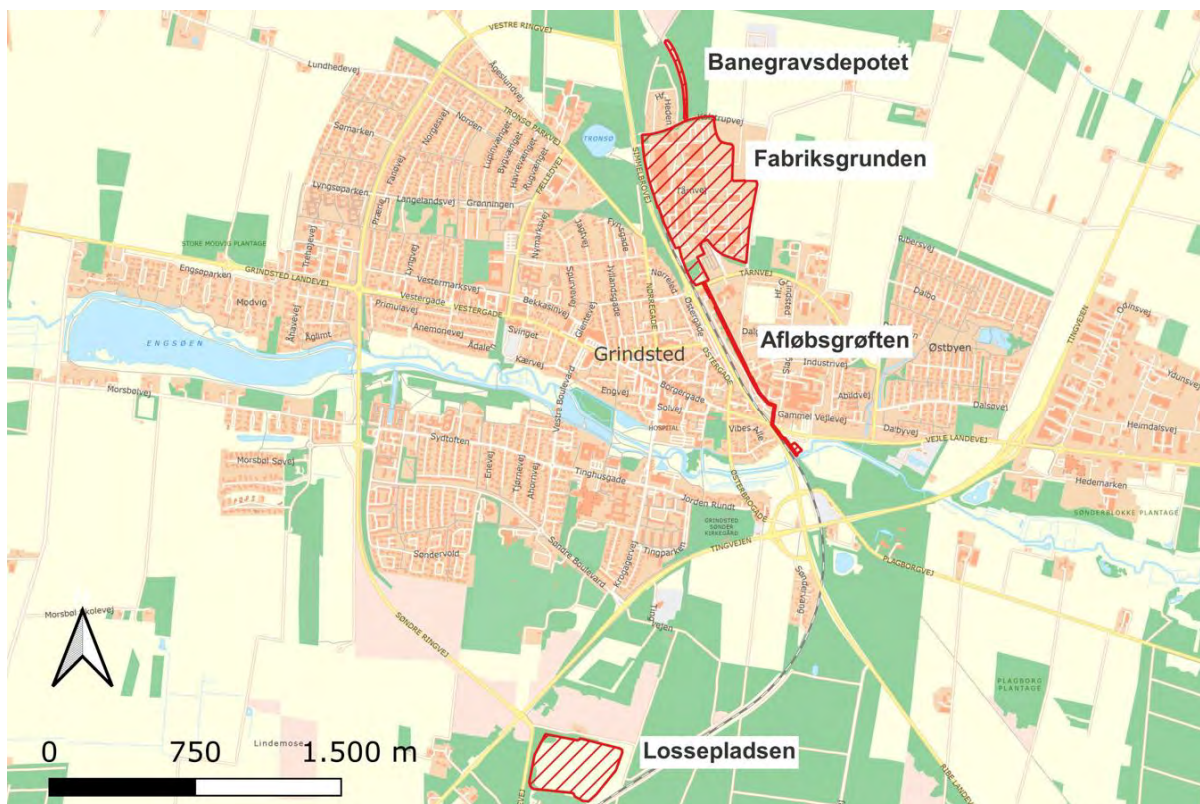
## 2. INDLEDNING

Opgaven omhandler udførelse af forureningsundersøgelses i forureningsfanen fra Grindstedværkets fabriksgrund. Opgaven er rekvireret af Region Syddanmark som miniudbud, Pulje 30, udbudt under rammeaftalen for videregående forureningsundersøgelses.

Resultaterne skal danne baggrund for udarbejdelsen af et afværgeprogram for oprensningen af forureningsfanen inden den når Grindsted Å. Der er således udført en lang række undersøgelser langs Grindsted Å og i Grindsted By, der beskrives i det følgende.

### 2.1 Baggrund

Der har siden 1914 været produktion på det område i Grindsted, som i dag benævnes "fabriksgrunden", matr.nr. 2bk Grindsted by, Grindsted. På fabriksgrunden har det tidligere Grindstedværket (efterfølgende kaldet Grindstedværket) siden 1924 produceret medicinalvarer og hjælpestoffer til næringsmiddelindustrien. Der foregår i dag fortsat produktion af hjælpestoffer til næringsmiddelindustrien på fabrikken. Produktionen har tidligere givet anledning til forurening fire steder i og omkring Grindsted by; fabriksgrunden, banegravsdepotet, afløbsgrøften og Grindsted Kommunes gamle losseplads, se Figur 2-1.



Figur 2-1: Oversigtskort for de fire forureninger i Grindsted, kilde: Region Syddanmark.

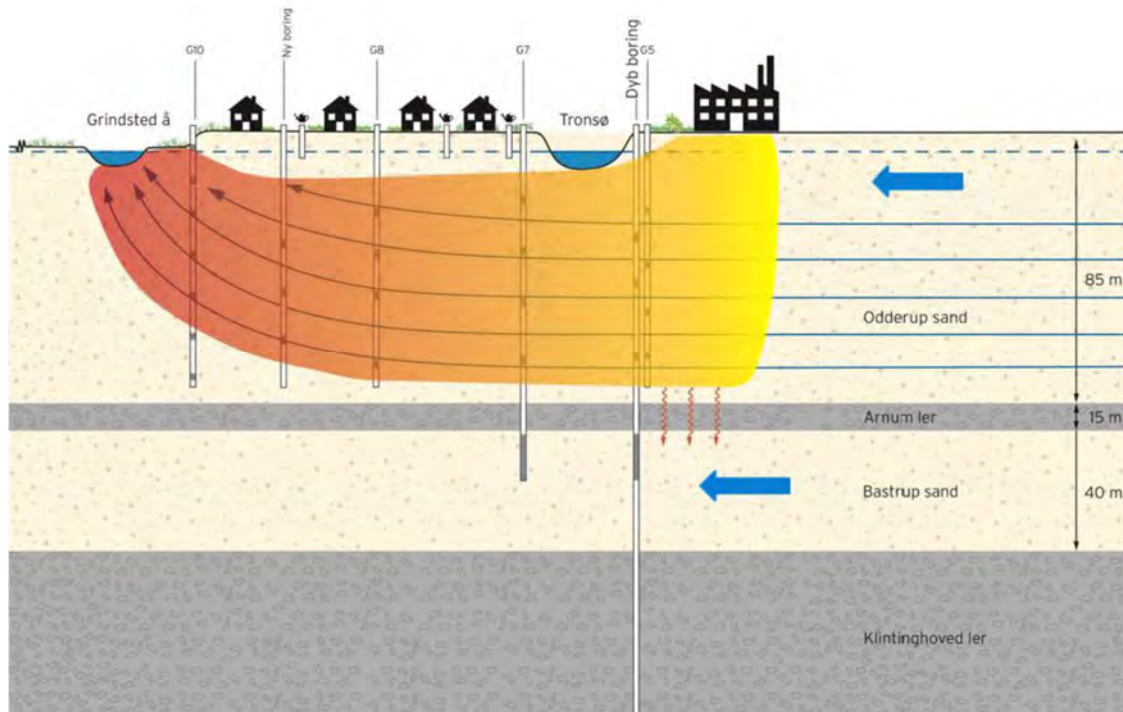
Forurenningen på fabriksgrunden stammer fra tidligere tiders spild af råvarer og kemikalier og udgøres hovedsagelig af chlorerede ethener, benzen, sulfastoffer og barbiturater. Regionen formoder, at der visse steder under fabriksgrunden stadig findes koncentrererde forekomster af bl.a. chlorerede opløsningsmidler.

Fabriksgrunden, som dækker et areal på ca. 40 ha, er ikke detaljeret undersøgt i nyere tid, fordi der ikke er offentlig indsats på arealet, og fordi det ikke har været nødvendigt i forhold til kortlægning af forureningspredningen. Der er imidlertid påvist en massiv forurening fra fabriksgrunden i grundvandet. Forurenningen spredes i sydvestlig retning med grundvandet. En lang række undersøgelser har allerede vist, at forureningsfanen fra fabriksgrunden strømmer til Grindsted Å, hvor forurenningen udgør en risiko for overfladevandet. En konceptuel model for spredningen fra fabriksgrunden via grundvandet til Grindsted Å ses af Figur 2-2. Til trods for de mange undersøgelser, er forureningsfanens spredning fra fabriksgrunden og dens udsivningsområder ved øen ikke kortlagt tilstrækkelig detaljeret til at danne grundlag for det videre arbejde frem mod en oprensning. Derfor har Region Syddanmark igangsat undersøgelser, der kan danne basis for udpegning af indsatsområde for en oprensning langs Grindsted Å samt planlægning og dimensionering af en egentlig oprensning.

Det igangværende projekt beskrevet ovenfor gennemføres i følgende fem faser:

- Fase I: Screening ved øen med Direct Push sonderinger, vandløbsstationer, vandprøver fra øen, lille synkronpejlerunde
- Fase II: Transektsboringer, permanente borer ved øen, slugtest, lille synkronpejlerunde
- Fase III: Strømlinjeboringer, vandprøver fra øen, vandføring, slugtest, stor synkronpejlerunde
- Fase IV: Screening af in-situ afværgede- og oprensningsmuligheder
- Fase V: Forslag til afværgaprogram med budgetoverslag

Denne rapport beskriver arbejdet med og resultaterne af fase I-III.



Figur 2-2: Regionens konceptuelle model for forureningspredning fra fabriksgrunden til Grindsted Å.

## 2.2 Formål

Formålet med undersøgelsene er at bidrage til yderligere afgrænsning af forureningsfanen fra fabriksgrundens i Grindsted, identifikation af udsivningsområder langs Grindsted Å og dermed indsatsområder for oprensning af forureningsfanen fra fabriksgrundens inden forurenningen strømmer ud i åen. Samtidig er det et mål at skaffe geologiske og hydrogeologiske data til en efterfølgende opdatering af de eksisterende geologiske og hydrogeologiske modeller.

Desuden er det et meget væsentligt formål, at projektet bidrager til den praktiske gennemførelse af en række forsknings- og udviklingsprojekter ved DTU Miljø. Projektet skal bl.a. medvirke til at udvikle og afprøve en screeningsmetode, som kan hjælpe med at optimere placeringen af de korte moniteringsboringer langs Grindsted Å samt levere analysedata til brug for vurdering af nedbrydning af forureningsstoffer i fanen ved brug af specialanalyser som mikrobielle analyser, stabile isotoper og nedbrydningsprodukter af farmaceutiske stoffer.

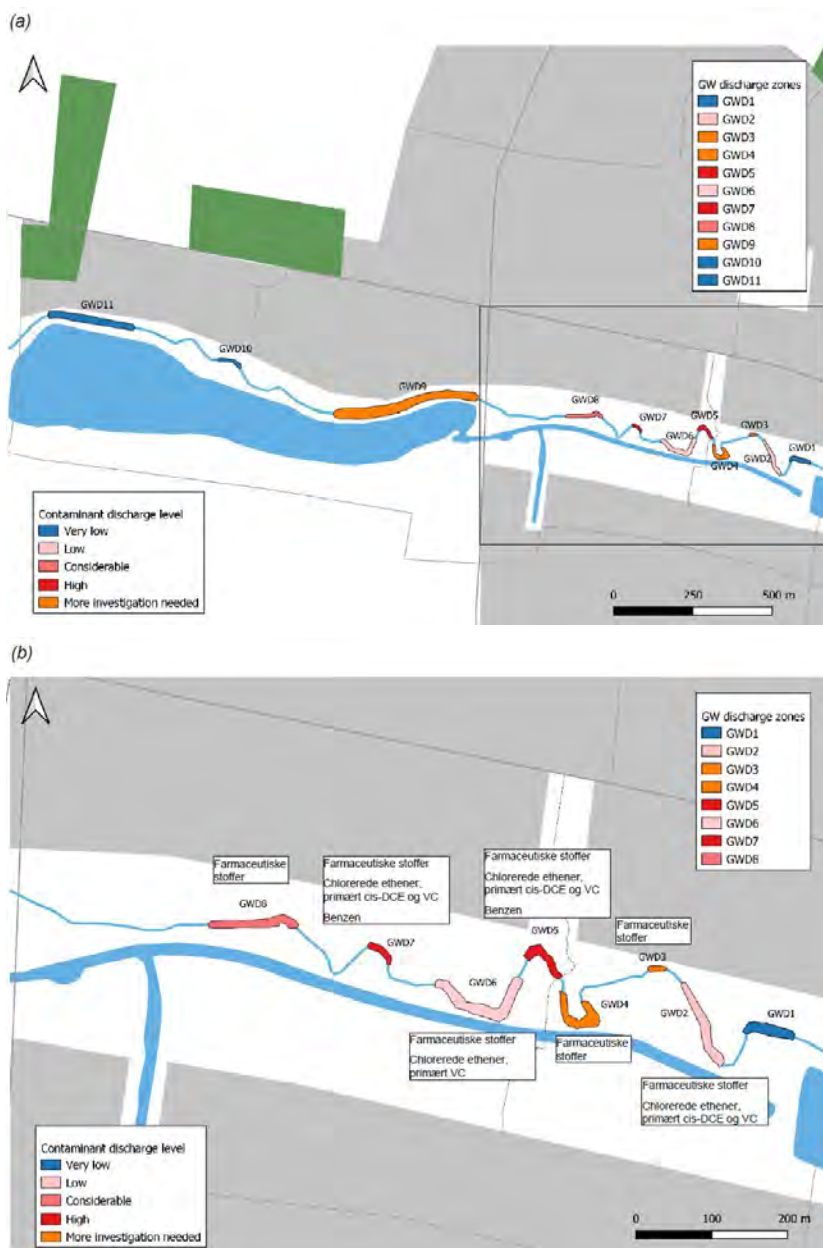
Data fra Fase I, II og III er afrapporteret i en række datarapporter vedlagt som Appendix A, B og C.

### 3. HISTORISK REDEGØRELSE

#### 3.1 Grundlag

Der er gennem årene udført en lang række undersøgelser af forureningsfanen fra fabriksgrundens, blandt andet til afklaring af forureningsfanens placering, dybde og sammensætning.

Langs Grindsted Å har DTU gennem en længere årrække udført undersøgelser af bl.a. udsivningen til åen. Resultaterne af disse er samlet i en note, der giver et overblik over de betydelige/betydeligste grundvandsindsivningsområder (GWD) til Grindsted Å samt deres bidrag til udsivning af forurening til åen fra fabriksgrundens /1/. Der er udpeget i alt 11 indsivningsområder langs åen GWD1-GWD11, se figur 3-1.



Figur 3-1: Placeringen af de 11 indsivningsområder GWD1-GWD11 langs Grindsted Å /1/. (a) viser hele strækningen, (b) viser indsivningsområderne på strækningen fra Vestre Boulevard (øst) til Søndre Ringvej (vest).

Indsivningsområderne GWD5 og GWD7, ved og vest for det gamle rensningsanlæg/Svinget 12 vurderes til at være de primære områder for udsivning af farmaceutiske stoffer, chlorerede opløsningsmidler og benzen til åen, imens område GWD8 også forventes at bidrage til indsivning af betydelige mængder af farmaceutiske stoffer. Områderne GWD2 og GWD6 forventes også at bidrage til indsivningen af farmaceutiske stoffer og chlorerede opløsningsmidler til en vis grad, imens de seks områder GWD1, GWD3, GWD4, GWD9, GWD10 og GWD11, vurderes til at have begrænset forurenings-bidrag.

### 3.2 Aktiviteter og risiko

Aktiviteterne på fabriksgrunden har medført en forurening, der har spredt sig til det underliggende grundvandsmagasin. Forureningsfanen, som er undervejs fra fabriksgrunden mod Grindsted Å, bevæger sig dybt nede i grundvandsmagasinet jf. Figur 2-2. Det vurderes, at forureningsfanen strømmer ud i Grindsted Å over en strækning på ca. 2.500 m, hvor der på en del af strækningen er en betydelig udsivning af chlorerede opløsningsmidler og farmaceutiske stoffer til åen, herunder overskridelser af miljøkvalitetskriteriet (MKK) for vinylchlorid.

### 3.3 Forureningskilder

Der er gennem årene udført en lang række forureningsundersøgelser både af forureningen på selve fabriksgrunden og af forureningen i fanen fra fabriksgrunden. Fabriksgrunden er ca. 40 ha stor, og der har gennem tiden været forskellig produktion på forskellige dele af arealet.

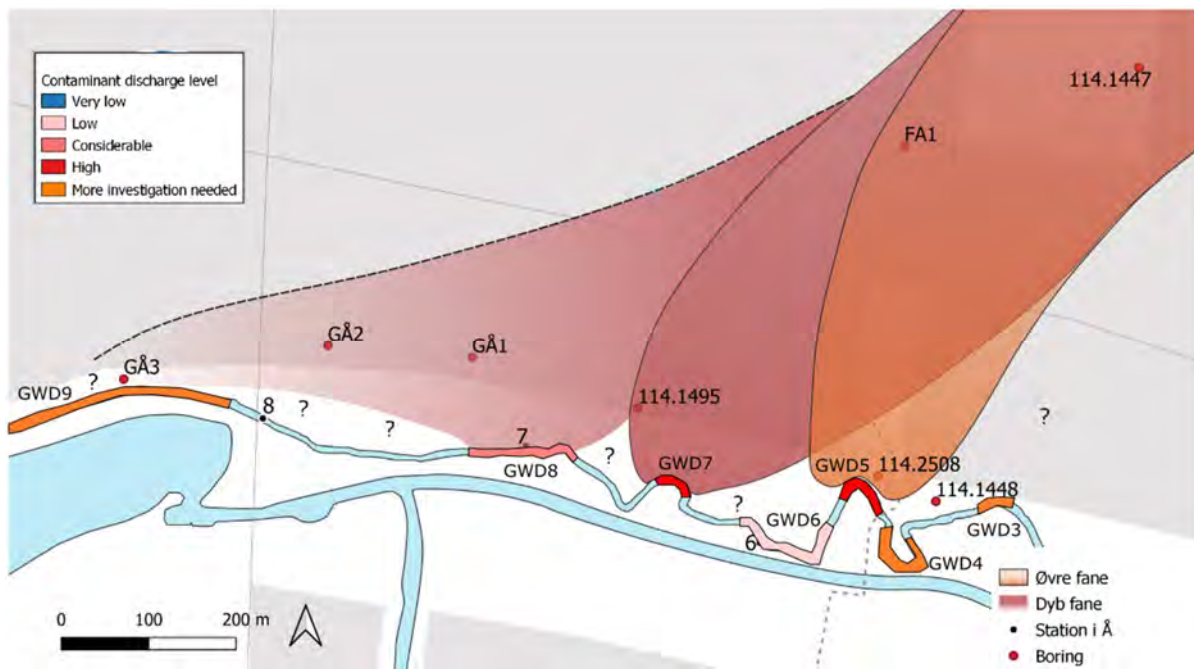
Fabriksgrunden kan derfor ikke opfattes som en homogen kilde, hvilket, ud over strømningsforholdene i grundvandet, nok også er en del af forklaringen på de kemiske forskelle, der ses ved åen. I /2/ er der lavet en opsamling af resultaterne, og der er foretaget en vurdering af grundvandsforureningen på fabriksgrunden for perioden 1983-2012. Det bemærkes, at der siden 1991 ikke er udført større sammenhængende undersøgelser på fabriksgrunden. På baggrund af en undersøgelse fra 1991 vurderes det, at den organiske forurening på det tidspunkt var kraftig og udbredt på fabriksgrunden. I undersøgelser fra 2005 /15/ vurderes det muligt, at der på fabriksgrunden stadig findes en kilde til forurening med PCE og nedbrydningsprodukter dybt i det øvre magasin (vandprøver udtaget fra 26-50 m u.t.) samt evt. mere terrænnære kilder. I 2005 blev der også gjort fund af farmaceutiske stoffer i grundvandet under fabriksgrunden. Størrelsesordenen på disse fund (op til 130 µg/l sulfanilsyre i GP14) er dog langt mindre end de koncentrationer, der tidligere var målt i de nedstrøms moniteringsboringer.

Udsivningen af de farmaceutiske stoffer fra fabriksgrunden er faldet markant over den ca. 25 år lange periode. I 1988-1990 blev der fundet op til 32.855 µg/l sulfanilsyre i filter 114.1425-3. I 2012 er den højeste målte koncentration 102 µg/l sulfaguanidin i filter 114.1425-4. Boring 114.1425 er placeret umiddelbart vest for (nedstrøms) fabriksgrunden.

Ud fra data fra forureningsfanen ser det ud til, at kildeområdet i høj grad er udvasket på nuværende tidspunkt mht. farmaceutiske stoffer, BTEX'er og chlorerede ethener. Den centrale/kraftigste del af fanen for de farmaceutiske stoffer vurderes at befinde sig mellem Grindsted Å og boring DGU nr. 144.1447, der er placeret omtrent midt mellem fabriksgrunden og Grindsted Å. Det samme vurderes at være tilfældet for BTEX'er og de chlorerede opløsningsmidler og nedbrydningsprodukter. Store forekomster af nedbrydningsprodukterne cis-DCE og VC i forhold til moderstofferne PCE og TCE i den å-nære del af forureningsfanen tyder på, at der foregår en høj grad af naturlig nedbrydning af chlorerede opløsningsmidler længere opstrøms i grundvandsmagasinet. Udsivningen fra den centrale del af fanen rammer åen tæt ved udløbet fra overløbsbygværket på det tidligere Renseanlæg Vest.

Der vurderes derudover at være en dybereliggende forureningsfane, der bevæger sig længere vestpå, før den siver ud til Grindsted Å i området langs Engsøen /3/.

I /3/ er der optegnet en konceptuel skitse for fanens strømning mod Grindsted Å, der knytter forureningsforekomster ved borer med placeringen af indsivningsområder, se Figur 3-2. Der er usikkerheder grundet de få grundvandsdata i den store skala, samt kompleksiteten i strømningsmønsteret omkring åen. F.eks. er det uvist, hvorvidt boring 114.1495 ligger på strømningslinje med GWD7 eller GWD8, eller måske begge områder afhængigt af dybden. Det samme gælder for borerne GÅ1, GÅ2 og GÅ3 (DGU nr. 114.3649-114.3657) og indsivningsområderne længere mod vest. Bemærk skelnen mellem øvre fane og dyb fane på tegningen. GWD5 er det mest velundersøgte indsivningsområde, og tilsyneladende også det væsentligste mht. chlorerede opløsningsmidler.



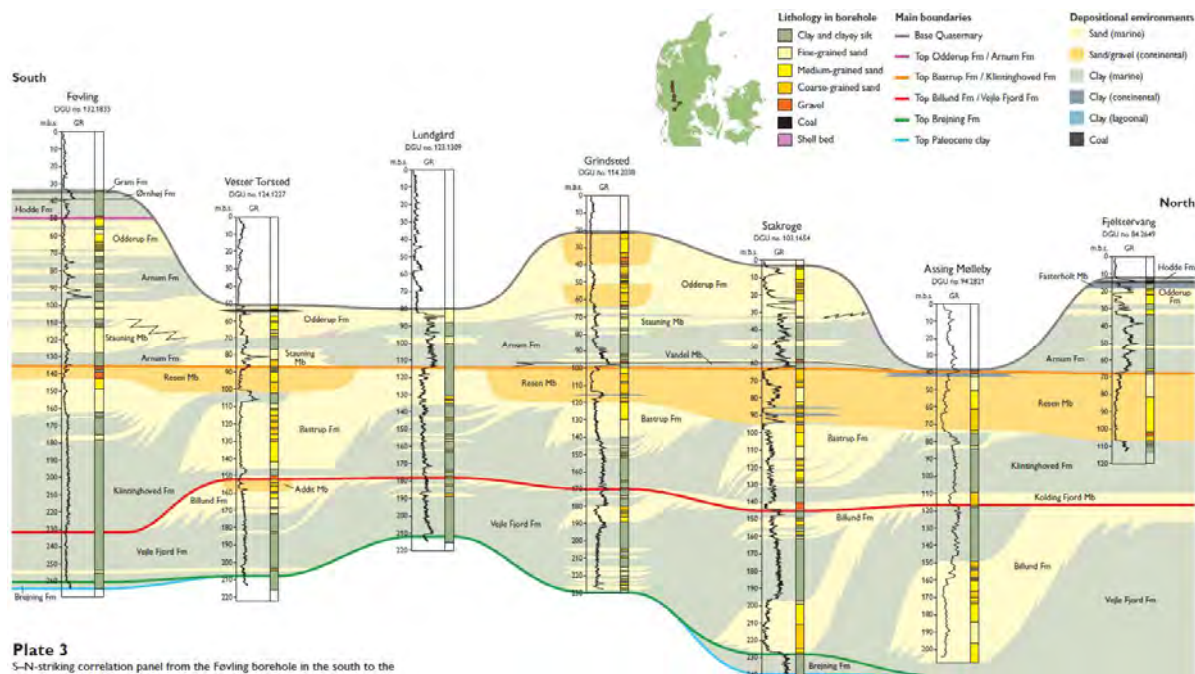
Figur 3-2: Konceptuel skitse for forureningsfanen fra fabriksgrunden og indsivningsområder langs Grindsted Å. Adapteret fra /3/(forureningsfaner) og /2/ (indsivningsområder). Chlorerede opløsningsmidler forekommer primært i den øvre fane (orange), mens de farmaceutiske stoffer forekommer i både den øvre (orange) og den dybe fane (rød).

## 4. GEOLOGISKE FORHOLD

### 4.1 Regional geologi og hydrogeologi

Den regionale geologi omkring Grindsted er præget af 10-15 m kvartære aflejringer øverst. Grindsted befinder sig vest for hovedopholdslinjen for Weichsel-istiden, og de øvre aflejringer består derfor primært af smeltevandssand med enkelte indslag af morænesand. Under de kvartære aflejringer findes Odderupformationen, der er aflejret fra Tidlig til Mellem Miocæn. Lagfølgen består af ca. 60 meter med sedimenter, der er aflejret i et prograderende kystmiljø og udgøres generelt af fin- til grovkornede sandaflejringer bestående primært af kvarts med indslag af tyndere ler- og brunkulslag. Der kan være indhold af glimmer i de mere finkornede aflejringer, som er aflejret i laguner. Brunkulssedimenterne er aflejrede i ferskvandssøer, laguner eller sumpe. Sidstnævnte kan kobles på kilometerskala /4/ og /5/. Under Odderupformationen findes den ca. 30 m tykke lerede Arnumformation, der består af marine aflejringer. Vanddybden er ukendt, men indhold af bl.a. tunge mineraler og bølgeribstrukturer i sedimenterne indikerer rimelig lavt vand. Sedimenterne består af mørkebrunt siltet ler, og der kan forekomme tynde finkornede og laminerede sandlag samt mineralet glaukonit /4/. Det underliggende sand tilhørende Bastrup Fm er aflejret i deltaiske og fluviale miljøer, og består overvejende af mellem til grovkornet kvartssand med indlejrede tynde gruslag se Figur 4-1.

Det primære magasin findes i Bastrupformationen. Det sekundære magasin, der findes i de kvartære aflejringer og i Odderupformationen, er i nogle områder (især tæt på Grindsted Å) hydraulisk todelt; et *nedre magasin*, adskilt af ler- og brunkulslag fra et mere *terrænnært magasin* /5/.



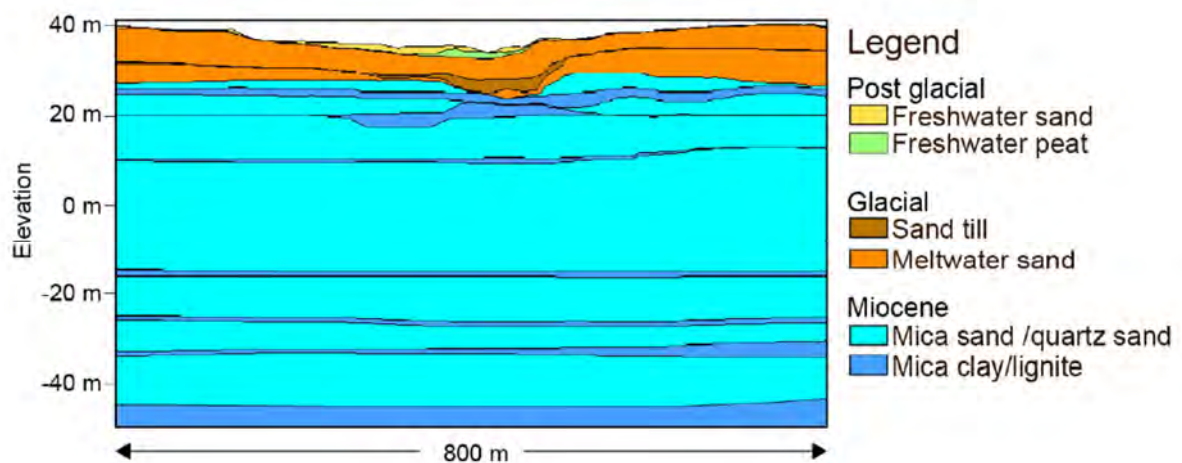
Figur 4-1: Stratigrafisk oversigt over den Miocæne lagserie i S-N-snitt gennem Grindsted /4/.

Området ved Grindsted er karakteriseret ved følgende geologiske lag:

- Et øvre kvartært lag med vekslende mægtighed (fra terræn). De kvartære aflejringer i området består primært af sandede smeltevandsaflejringer.
- Et regionalt miocænt sandlag tilhørende Odderup Fm. (fra 10-15 (40) m u.t. til ca. 80 m u.t.). Lagserien er præget af vekslende sandlag gennemskåret af tynde ler- og/eller brunkulslag
- Et regionalt miocænt lerlag ca. 80 m u.t. (Øvre Arnum Fm.). Lagserien består af lerede aflejringer med siltslirer og enkelte sandlag
- Et underliggende regionalt sandlag tilhørende Bastrupformationen.

#### 4.2 Lokal geologi og hydrogeologi

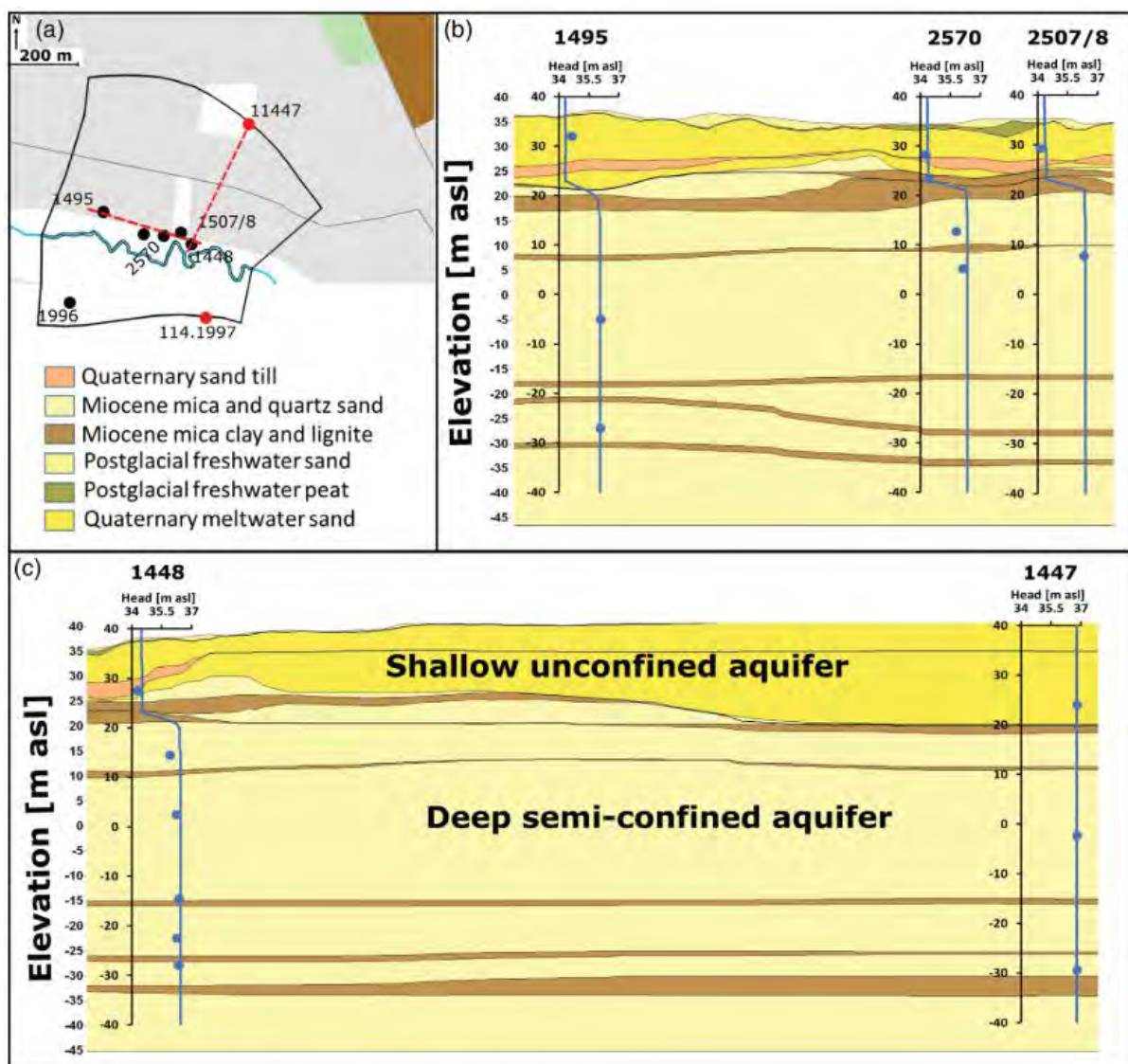
Den overordnede geologi i den centrale og nordlige del af Grindsted By udgøres af op til 20 m kvartært smeltevandssand, dog er der set op til 40 m kvartære aflejringer i undersøgelserne i 2020 /7/, som underlejres af ca. 55 m Miocænt kvartssand se Figur 4-2. Ved overgangen fra den kvartære til den miocæne del er der observeret mindre lag af brunkul, marint ler og smeltevandsler, som tæt ved åen giver anledning til artesiske forhold i den dybe del af magasinet /9/.



Figur 4-2: Konceptuel geologisk model for Grindstedområdet ved Grindsted Å /2/

F.eks. ses ved borerne 114.2569, 114.2570 og 114.2507 et hydraulisk potentiale 1-1,5 m over terræn i ca. 30 m's dybde. Det hydrauliske spring er illustreret i den geologiske 3D-model udviklet af /5/, se udsnit af modellen i Figur 4-3. Den hydrauliske gradient ved udvalgte borer vises med blåt. Som det ses, er potentialet ensartet over dybden ved boring 114.1447, ca. midt mellem fabriksgrundens og åen, mens der er et hydraulisk spring over det terrænnært lerlag ved de øvrige borer, som alle er placeret ved åen. Det lavpermeable lag vil påvirke grundvandsstrømningen på en måde, hvor grundvandet under laget er mindre påvirket af åen og mere påvirket af den regionale strømning, dvs. vestlig retning. Efter gennembrud af det lavpermeable lag vil dette skifte, så grundvandet vil finde den hurtigste vej til Grindsted Å.

Figur 4-3 (b,c) viser en konceptuel model for de kvartære aflejringer (*terrænnært magasin*) samt den øverste del af de Miocæne aflejringer Odderupformationen (*terrænnært og nedre magasin*).



Figur 4-3: Snit af konceptuel geologisk 3D-model for Odderupformationen (terrænnært og nedre magasin) og de kvartære aflejringer (terrænnært magasin) mellem fabriksgrunden og Grindsted Å, (b) snit langs Grindsted Å, (c) snit fra åen mod fabriksgrunden. Udarbejdet af /5/, tilpasset af /8/.

#### 4.3 Bore lokaliteternes geologi og hydrogeologi

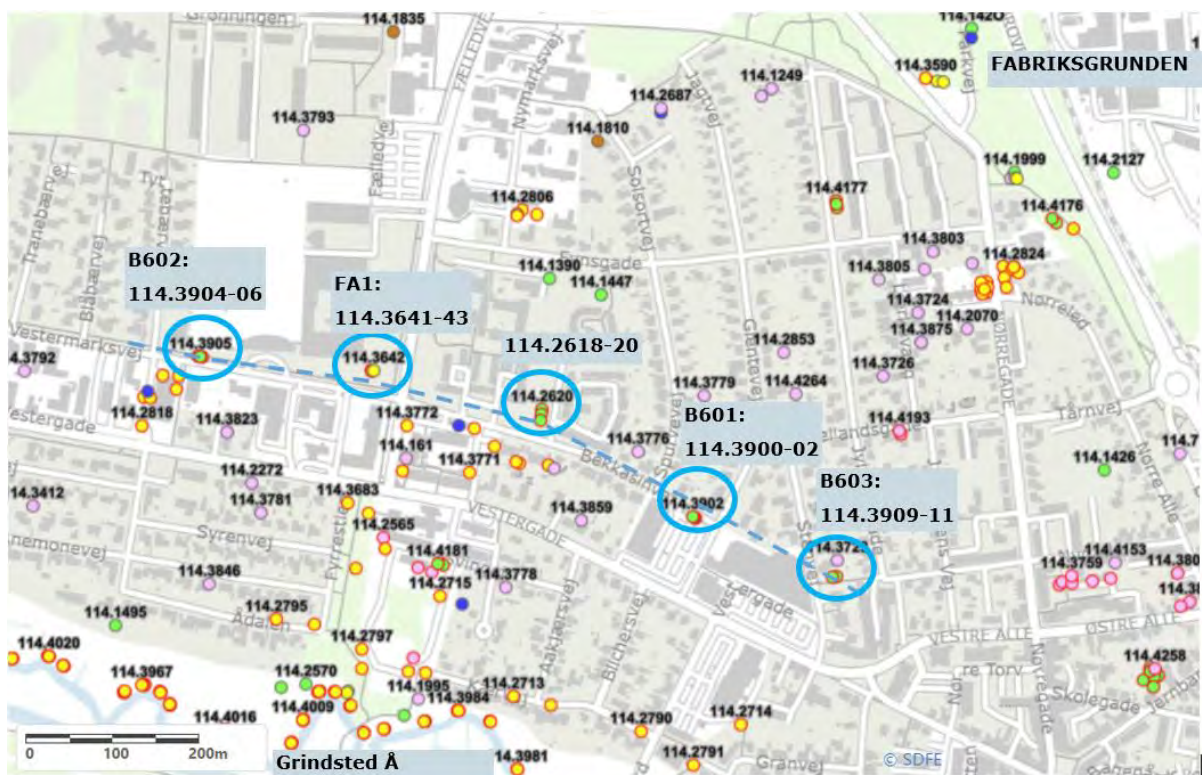
I Fase II er der udført borer på 3 bore lokaliteter B601-B603, der sammen med tidligere udførte borer udgør et øst-vest transekt i Grindsted By på tværs af forureningsfanen fra fabriksgrunden. Borerne er ført til toppen af Arnum Formationen. Der er udført 3 nedboringer på hver bore lokalitet, hvor der i hver nedboring er sat 2 filtre. I Fase II er der desuden etableret 26 bore lokaliteter B311-B336 langs Grindsted Å. På hver af de 26 bore lokaliteter er der 3-6 nedboringer, hvor der er sat et filter i hver nedboring. Arbejdet med etableringen af transektsborerne og borerne langs Grindsted Å er afrapporteret i datarapporten for Fase II, der er vedlagt i Appendix B. I Fase III er der udført borer på 3 bore lokaliteter i Grindsted By B604-B606. Borerne indgår sammen med tidligere udførte borer i en strømlinje, i den mest forurenede del af fanen, fra fabriksgrunden og ned til Grindsted Å. Der er udført 2-6 nedboringer på hver bore lokalitet, hvor der i hver nedboring er sat 2-3 filtre. Arbejdet med etableringen af strømlinjeborerne er afrapporteret i datarapporten for Fase III, der er vedlagt i Appendix C.

Boreprofilerne for de udførte borer er vedlagt datarapporterne for Fase II og III i Appendix B (bilag 4) og Appendix C (bilag 4).

Til beskrivelse af geologien i de udførte borer hhv. i transektet, i strømlinjen og langs Grindsted Å er der udarbejdet en række geologiske snit, der dels viser geologien i de pågældende borer, dels en tolkning af de geologiske forhold i det pågældende snit.

#### 4.3.1 V-Ø transekt

Med udførelsen af B601-B603 er der nu i alt udført 5 dybe borer i et vest-øst-gående transekt på tværs af forueningsfanen fra fabriksgrunden nogenlunde midt i Grindsted By se Figur 4-4 og bilag 1.a.



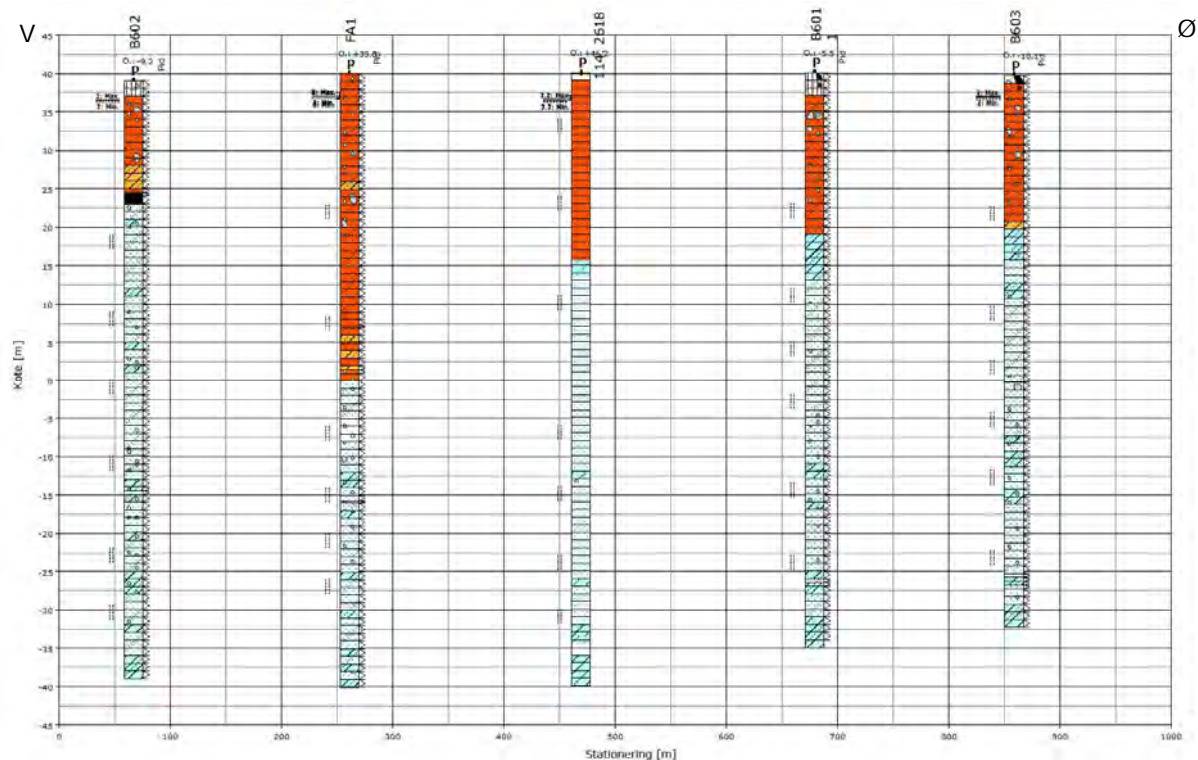
Figur 4-4: Placering af borerne i vest-øst transekt (blå stiplet linie) på tværs af forueningsfanen fra fabriksgrunden.

Nedenstående 2 profiler Figur 4-5 og Figur 4-6 er også vedlagt i bilag 2.a. i større format.

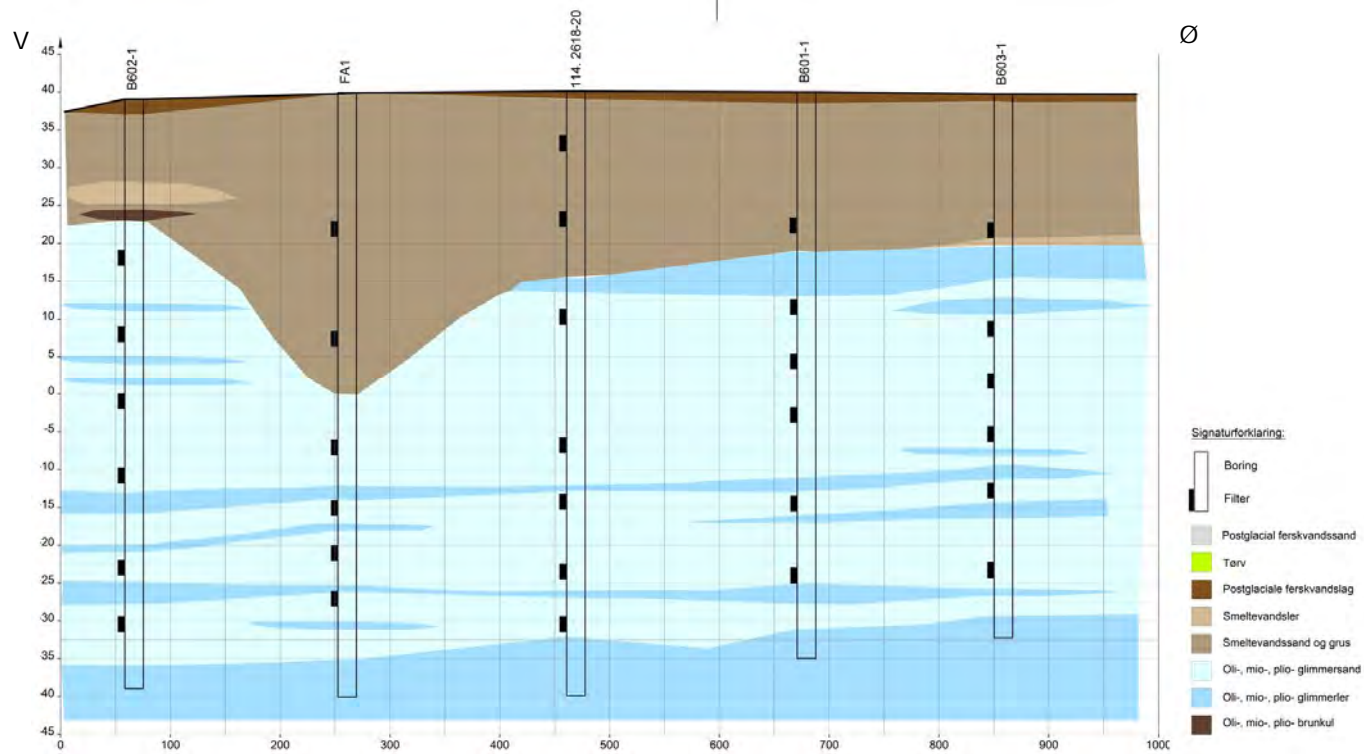
Der er øverst kvartære sandede smeltevandsaflejringer med en tykkelse på 12-40 m. Den største tykkelse af de kvartære aflejringere er påvist i den tidligere udførte boring FA1 (114.3641-43), hvor intervallet 21-40 m u.t. blev tolket til at være kvartære aflejringer på trods af indhold af glimmer og brunkul i prøverne. Tolningen af, at det er kvartære aflejringer, skyldes, at der var kantede gruskorn og gruskorn af anden lithologi end kvarts i prøverne til 40 m u.t. /7/. En palynologisk undersøgelse /12/ understøtter denne tolkning, idet der i prøverne ned til 40 m u.t. fra denne boring kun blev fundet omlejrede dinocyster. Generelt er den kvartære lagpakke dog ca. 20-25 tyk i transektet, og det tykke kvartære lag i FA1 må derfor repræsentere en lokal kvartær erosionsstruktur. I overgangen til de underliggende Miocene aflejringer forekommer i de 3 østligste borer et lag af ler, der beskrives som ret fed. Laget er ikke beskrevet i de 2 vestligste borer. Under de kvartære aflejringer kommer vekslende lag af sandede og lerede

aflejringer dog primært fin-mellem kornede sandede aflejringer. Omkring 45-50 m u.t. bliver aflejringerne grovere, og ca. 65 m u.t. anbores Arnum Fm., hvor der i alle borerne træffes vekslende lag af fedt, siltet, meget mørkebrunt, lamineret ler og glimmerholdigt sand. Der konstateres kun lag af brunkul i den vestligste boring B602 fra 14,5-16 m u.t.

Vandspejlet i filtrerne i de enkelte borer er relativt ens med en forskel på 9-13 cm mellem det dybeste og det mest terrænnære filter jf. Tabel 5-1. Magasinet er frit, og der er opadrettet gradient mellem alle filtrerne i de enkelte borer.



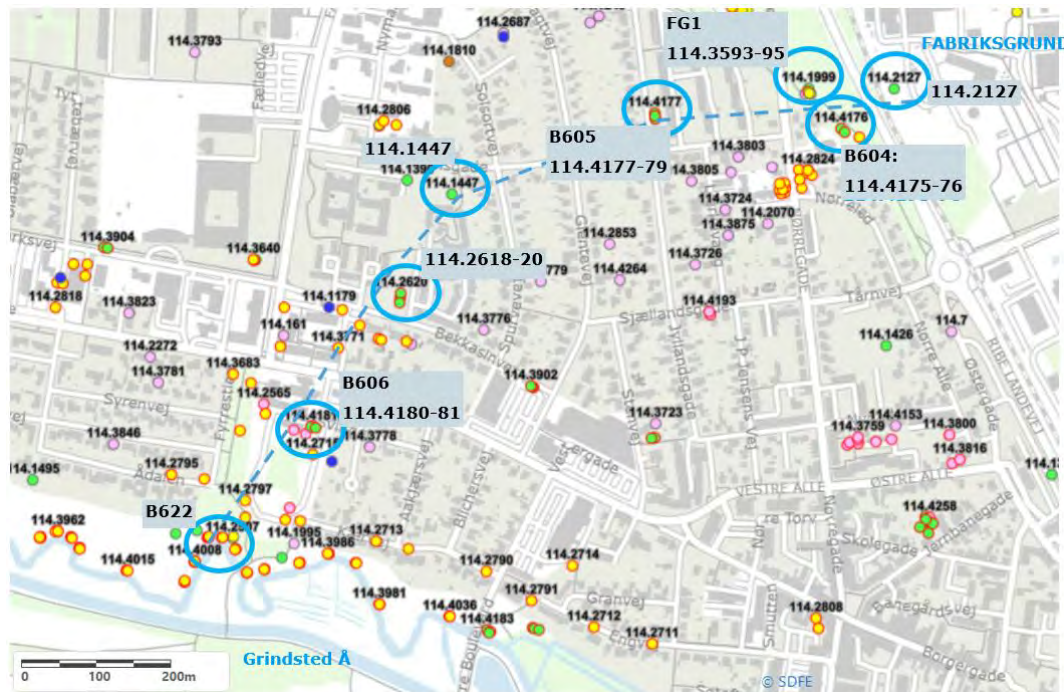
Figur 4-5: Geologisk snit: V-Ø profil med de 5 borer der udgør et transekt på tværs af forureningsfanen fra fabriksgrundens.



Figur 4-6 Tolket geologi i V- Ø transekten på tværs af forureningsfanen fra fabriksgrunden.

#### 4.3.2 Strømlinje fra fabriksgrunden til Grindsted Å

Boringerne B604, B605 og B606 er udført i en strømlinje fra fabriksgrunden og ned til Grindsted Å, hvor den rammer det primære indstrømningsområde GWD5. Tidligere udførte boringer, der indgår i strømlinjen, er boringerne DGU nr. 114.2127, 114.1447, 114.2618-20 og FG1 og B622. Placeringen af strømlinjen/snippet og boringerne fremgår af Figur 4-7 og bilag 1.b.



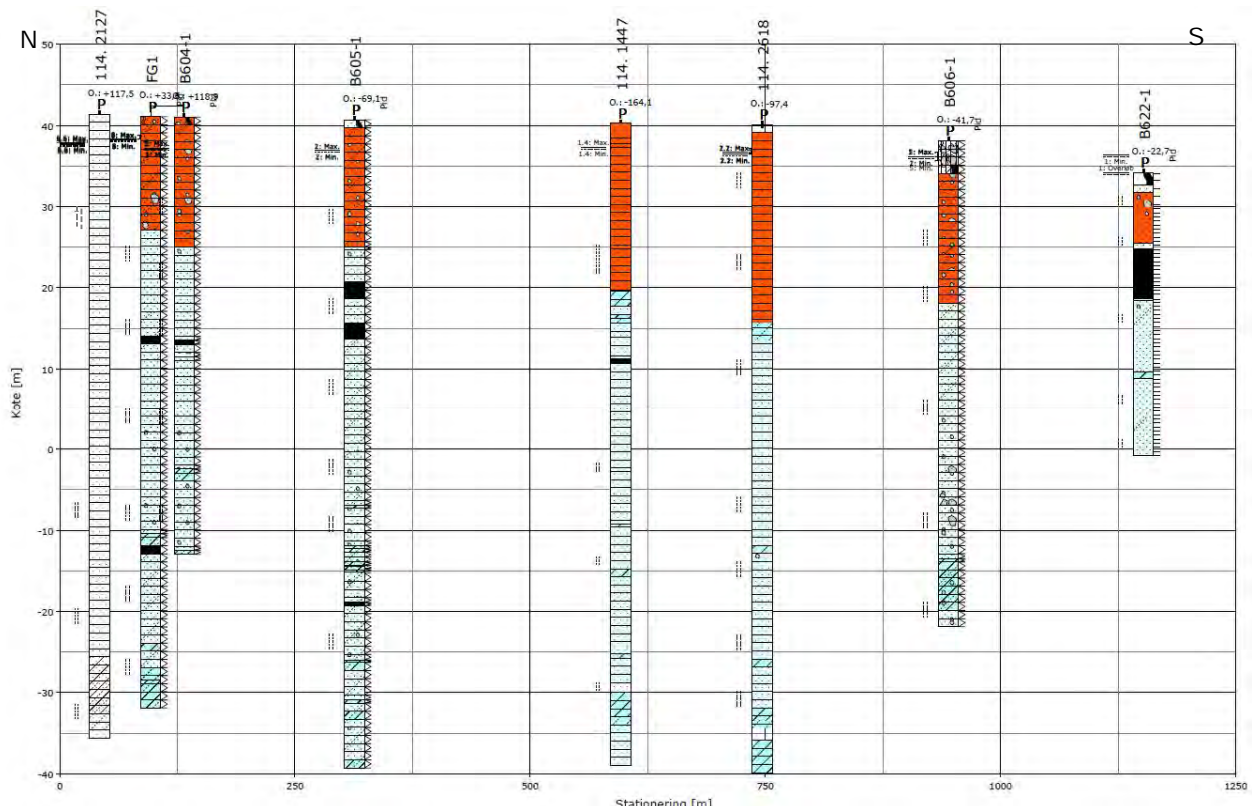
Figur 4-7: Placering af boringerne i strømlinje (stiplet linje) mellem fabriksgrunden og Grindsted Å.

Nedenstående 2 profiler Figur 4-8 og Figur 4-9 er også vedlagt i bilag 2.b. i større format.

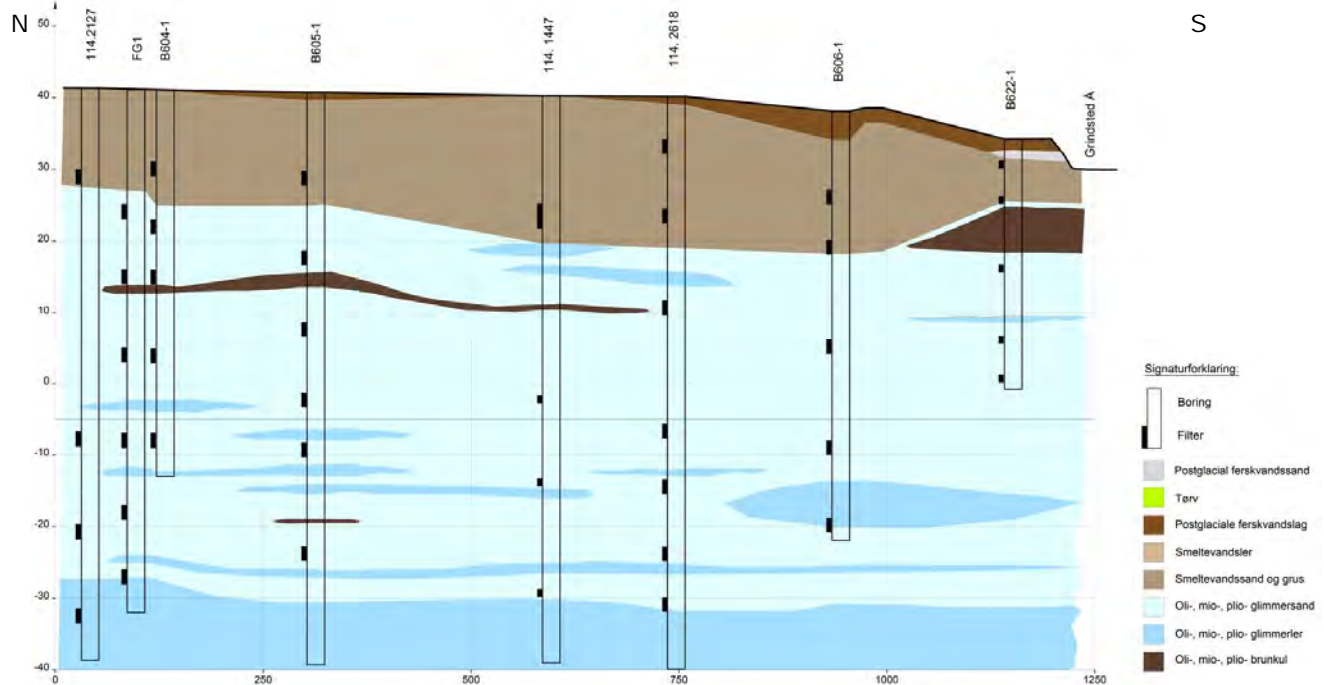
De kvartære smeltevandsaflejringer udgør de øverste ca. 20 m, tykkelsen aftager mod syd mod åen, hvor der ånært er ca. 5 m kvartære aflejringer i B622. Kun i boring 114.1447 er der konstateret et lerlag ved overgangen mellem de kvartære og de Miocæne aflejringer. Den øvre del af de Miocæne aflejringer udgøres primært af fin-mellem kornede sandede aflejringer, men omkring 45-50 m u.t. bliver aflejringerne grovere. Ca. 65-70 m u.t. anbores Arnum Fm. (kun i B605, 114.1447 og 114.2618), hvor der træffes vekslende lag af fedt, siltet, meget mørkebrunt, lamineret ler og glimmerholdigt sand.

I boring B605 er der konstateret lag af brunkul i intervallet 25-27 m u.t. Laget er meget permeabelt og gav under borearbejdet problemer, da det optog bormudderet. Laget af brunkul vurderes at være udbredt i den centrale og nordlige del af Grindsted By, da det også er konstateret i boring B604 og boring 114.1447 jf. Figur 4-8 og i de tidligere udførte borer langs fabriksgrunden FG1 og FG2 jf. /7/. I B606 udført på det tidligere rensningsanlæg er laget af brunkul ikke konstateret, men ved åen i B622 og i den øvrige del af mæanderbuen, er der påvist et ca. 5 m tykt lag af brunkul.

Tættest på fabriksgrunden er der svag nedadrettet gradient i B604 fra kote 37,21 m (10-12 m u.t.) til kote 37,16 m (25-27 m u.t.). Hvor strømlinjen krydser transektet midt i byen er der svag opadrettet gradient. Ved åen er der artesiske forhold under laget af brunkul med vandspejl 125 cm over terræn i B622 filter 3 (17,5-18,5 m u.t.) og 154 og 162 cm over terræn i filter 1 og 2 (B622), der sidder under lerlaget i 25 m u.t. I filtrene over brunkulslaget er der et frit magasin med vandspejl lige under terræn.



Figur 4-8 Geologisk snit: Profil med de 8 borer der ligger i strømlinjen i den centrale del af forureningsfanen fra fabriksgrunden og ned til Grindsted Å.



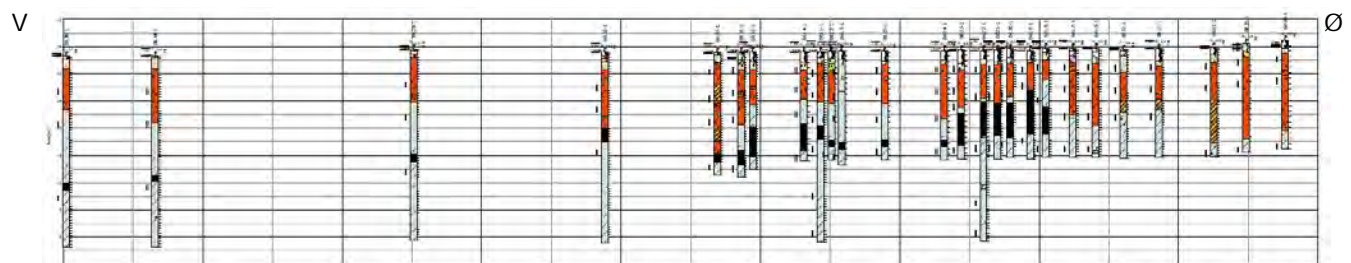
Figur 4-9 Tolket geologi i boringerne i strømlinje i den centrale del af forureningsfanen fra fabriksgrunden og ned til Grindsted Å.

#### 4.3.3 Boringer langs Grindsted Å

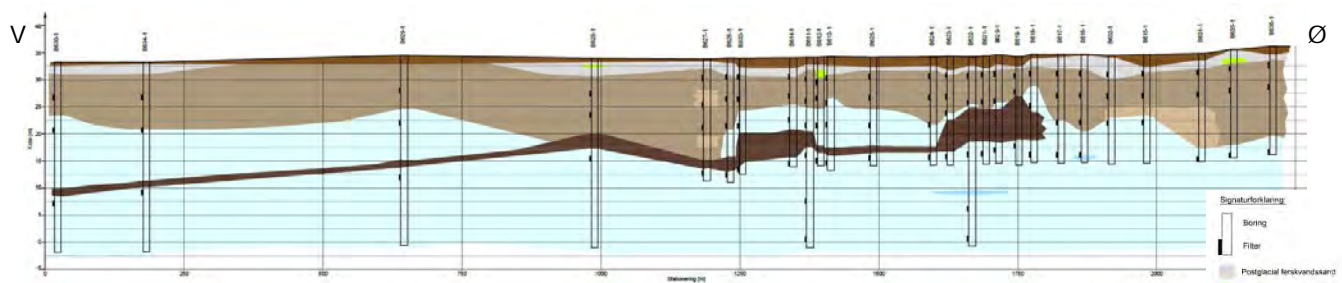
Der er udført 26 bore lokaliteter langs Grindsted Å (B611-B636) på en strækning på ca. 2.200 m. Placeringen af transektet/snittet langs Grindsted Å og boringerne fremgår af Figur 4-10 og bilag 1.c. Nedenstående 2 profiler Figur 4-11 og Figur 4-12 er også vedlagt i bilag 2.c. i større format.



Figur 4-10: Placering af boringerne i transekt/snitt langs Grindsted Å (stiplet linje).



Figur 4-11: Geologisk snit langs Grindsted Å: V-Ø snit med de 26 bore lokaliteter.



Figur 4-12: Tolket geologi i boringerne langs Grindsted Å.

Geologien langs Grindsted Å udgøres terrænnært af ca. 1-2 m postglaciale aflejringer i englavbundsområdet samt sandede ferskvandsaflejrede postglaciale aflejringer, der ofte er kendtegnet ved svagt indhold af organisk materiale. Under disse lag kommer kvartære (primært sandede) smeltevandsaflejringer, og der er kun i enkelte borer (B632, B615 og B631) i den østlige del af transekten samt i den centrale placerede boring B627 konstateret lag af smeltevandsler. Mægtigheden af de kvartære aflejringer varierer med en tykkelse på 5-20 m. Den største tykkelse af laget ses mod øst i borerne B631, B635 og B636 og i den centrale boring B627. Under laget af kvartære aflejringer kommer Miocæne sandede aflejringer undtagen i B627 og B628 samt B621 og B619, hvor laget af brunkul kommer direkte under de kvartære aflejringer. På den største del af strækningen langs Grindsted Å er der et lag af brunkul til stede. Tykkelsen af brunkulslaget varierer, men er tykkest i den centrale del af området. Laget forsvinder længere mod øst mellem B618 og B617. Mod vest tynder laget ud, og det optræder dybere i den Miocæne lagpakke. I B622 er der ved ca. 25 m u.t. påvist et ca. 1 meter tykt lerlag. I /2/ er laget tolket udbredt i området langs åen (se Figur 4-3), men i de øvrige udførte dybe borer (B611 og B628), hvor laget i /2/ er vurderet at kunne være udbredt, er det ikke konstateret.

Laget af brunkul, der har en vandstandsende effekt, medfører, at der over laget er et frit magasin med vandspejl lige under terræn, mens der under brunkulslaget er artesiske forhold med vandspejl op til 150 cm over terræn, se Tabel 5-1. I B622 er der 2 filtre under lerlaget, og i dette magasin er der yderligere 30-40 cm artesisk tryk i forhold til trykniveauet i filteret, der sidder i sandlaget mellem laget af brunkul og lerlaget. Mod øst er der i boringerne, hvor laget af brunkul ikke længere er til stede, fortsat artesiske forhold i de dybe filtre (12-13 og 17-18 m u.t.), og kun i boringen længst mod øst (B636) er der ikke artesiske forhold. At der er artesiske forhold især i B616 og B617 kan ikke umiddelbart forklares, da der er konstateret sand fra top til bund i begge boringer. Mod vest aftager de artesiske forhold, og i boringerne langs Engsøen står vandspejlet kun ca. 20 cm over terræn i B629 og B630. I B634 er der dog et trykniveau i ca. 80 cm over terræn. De samlede pejledata ses i afsnit 5.2.5.

## 4.4 Vandindvinding

Selve lokaliteten fabriksgrunden, Grindsted By og strækningen langs Grindsted Å ligger udenfor område med særlige drikkevandsinteresser (OSD) og udenfor indvindingsoplant til vandværker. Der er ingen grundvandsinteresser i Grindsted By. Nærmeste OSD ligger ca. 2,5 km sydøst for fabriksgrunden, mens nærmeste indvindingsoplant ligger ca. 500 m øst for fabriksgrunden. På fabriksgrunden er der en stor indvinding til procesvand – med en tilladelse op 1,5 mio. m<sup>3</sup>/år.

## 4.5 Overfladenvand

Selve lokaliteten fabriksgrundens ligger ikke indenfor bufferzone til overfladevand, Grindsted Å. Forureningsfanen fra fabriksgrundens udgør dog en risiko overfor Grindsted Å.

## 5. FELTUNDERSØGLSER

### 5.1 Strategi

Regionen har i deres udbudsmateriale /10/ udlagt en undersøgelsesstrategi, hvor arbejdet udføres i fem faser, hvor Fase I-III, som denne rapport omhandler, er udført i perioden juni 2021 til november 2022 og har omfattet følgende arbejder.

- Fase I: Screening ved åen med Direct Push sonderinger, vandløbsstationer, vandprøver fra åen, lille synkronpejlerunde
- Fase II: Transektsboringer, permanente borer ved åen, slugtest, lille synkronpejlerunde
- Fase III: Strømlinjeboringer, vandprøver fra åen, vandføring, slugtest, stor synkronpejlerunde

Fase I, som omfattede en screening langs Grindsted Å med Direct Push sonderinger, er afrapporteret i en særskilt rapport vedlagt som Appendix A og beskrives ikke nærmere her. Resultatet af sonderingerne samt de udtagne niveaubestemte vandprøver i fase I dannede baggrund for udpegningen af placeringen af de permanente borer ved åen i fase II.

### 5.2 Udført arbejde

I forhold til opgaveløsningen er store dele af strategien blevet udført som planlagt jf. udbuddet /10/ samt undersøgelsesoplægget /11/. Aktiviteterne i forbindelse med undersøgelsen er beskrevet i afsnittene nedenfor og afvigelserne er beskrevet i afsnit 5.3.

I fase I blev der etableret målepunkter for måling af vandspejlet i hhv. Tronsøen (dver leveret af Region Syddanmark) og langs Grindsted Å (2 stk. online vandstandsmålere). Åens vandspejl på en ca. 12 km lang strækning er opmålt med drone 3 gange i løbet af projektperioden i forbindelse med synkronpejlerunderne. Etableringen af vandstandsmålerne i Grindsted Å og opmålingen med drone er udført af eksterne leverandører hhv. WSP og Drone Systems. Data er videregivet til regionen og DTU og beskrives ikke yderligere. Vandstandsmåleren i Tronsøen er etableret af Rambøll, men varetages efterfølgende af Region Syddanmark. For nærmere beskrivelse af etablering af målepunkter og opmåling med drone henvises til Appendix A, B og C.

I fase I og fase III er der udført vandprøvetagning og vandføringsmålinger i Grindsted Å. For nærmere beskrivelse og resultater af målingerne og vandprøverne henvises til Appendix A og C. Data er videregivet til DTU og behandles ikke yderligere i denne rapport. Alle originale analyserapporter fra fase I, fase II og fase III er vedlagt i Appendix D.

Der er udført runder med synkronpejlinger i hver af de 3 faser. Udførelsen af synkronpejlingerne er nærmere beskrevet i Appendiks A, B og C. De indsamlede pejlinger er videregivet til Region Syddanmark, der har optegnet potentialekort på baggrund af de indsamlede pejlinger.

Derudover er der indhentet diverse tilladelser fra Billund Kommune i forbindelse med borearbejdet herunder tilladelse til at udføre borerne, udføre borerne i beskyttet natur og indenfor å-beskyttelseslinje, disponering af jord og oppumpet overskudsvand mv. De indhentede tilladelser er nærmere beskrevet i Appendix A, B og C.

#### 5.2.1 Besigtigelse

Der er udført besigtigelse af bore lokaliteterne med deltagelse af Region Syddanmark, Billund Kommune og Rambøll hhv. i juli 2021 og august 2022.

### 5.2.2 Boringer

Der er etableret følgende boringer:

- 3 bore lokaliteter i et vest-øst transekt på tværs af forureningsfanen i Grindsted By.
- 3 bore lokaliteter i en strømlinje mellem fabriksgrunden og Grindsted Å.
- 26 bore lokaliteter – moniteringsboringe langs Grindsted Å

For nærmere detaljer omkring borearbejdet, boremetode mv. henvises til Appendix B og C.

Der er udført fulldidstilsyn af miljøtekniker fra Rambøll med alt borearbejde, og alle boreprøver fra den første nedboring ved hver bore lokalitet er beskrevet pr. en meter i felten af en af Rambølls geologer, se desuden Appendix B og C.

### 5.2.3 Vandprøver

Der er udtaget vandprøver til analyse fra samtlige udførte boringer/filtre. Vandprøverne er analyseret for en lang række parametre, der er beskrevet i Appendix B og C. Resultatet af de udførte vandprøver er vedlagt i bilag 3 og tabeller med udvalgte parametre til beskrivelse af forureningsforholdende samt geokemi og redoxforhold fremgår af afsnit 6 og er vedlagt i bilag 5.

### 5.2.4 Slugtest

Der er udført slugtest i samtlige udførte boringer/filtre samt i en række tidligere udførte boringer lige nord for åen samt boringer i Grindsted By. Udførelsen og resultaterne af de tolkede slugtest er beskrevet i Appendix B og C (begge bilag 13).

### 5.2.5 Pejlinger

I fase III er der i oktober 2022 udført en synkronpejlerunde i samtlige nyetablerede boringer, en række eksisterende boringer samt pejling af vandspejlet i åen. Pejleprogrammet er udført i samarbejde med Region Syddanmark, der udover ovenstående boringer har pejlet en række boringer, hvori Regionen har installeret dataloggere. De indsamlede pejlinger er videregivet til regionen, der har optegnet et potentialekort på baggrund af de indsamlede pejlinger. I Tabel 5-1 er pejleresultaterne (vandspejlskoten) vist sammen med en række boringsinformationer såsom Borings ID, DGU nr., filter nr., filtersætning, terrænkote og pejlepunktskote for de i fase II og III udførte boringer

Tabel 5-1 Boringsoversigt med pejledata fra pejlerunden udført 11. oktober 2022. (+) ved nedstik angiver at vandspejlet er over terræn (artesisk). \* måling vurderes ikke retvisende

Borings ID.	DGU nr.	Filter nr.	Filtersætning [m u.t.]	Terrænkote [mDVR90]	Målepunkts-kote (MP) [mDVR90]	Nedstik vandspejl [m u.MP.]	Vandspejls-kote [mDVR90]
B601	114. 3900	1	63-65	40,10	40,32	3,87	36,45
	114. 3900	2	53,5-55,5		40,35	3,92	36,43
	114. 3901	3	42-44		40,27	3,89	36,38
	114. 3901	4	35-37	40,07	40,33	3,94	36,39
	114. 3902	5	28-30		40,31	3,93	36,38
	114. 3902	6	17-19		40,37	4,05	36,32
B602	114. 3904	1	68,5-70,5	39,07	39,28	3,34	35,94
	114. 3904	2	61-63		39,36	3,36	36,00
	114. 3905	3	49-51		39,37	3,46	35,91
	114. 3905	4	39-41	39,06	39,40	4,31	35,09*
	114. 3906	5	30-32		39,45	3,56	35,89
	114. 3906	6	20-22		39,50	3,66	35,84
B603	114. 3909	1	62-64	39,75	39,95	3,38	36,57
	114. 3909	2	51,5-53,5		40,01	3,47	36,54

	114. 3910	3	44-46	39,75	40,02	3,48	36,54
	114. 3910	4	37-39		40,04	3,51	36,53
	114. 3911	5	30-32		40,04	3,52	36,52
	114. 3911	6	17-19		40,12	3,64	36,48
B604	114. 4175	1	48-50	41,04	41,26	4,06	37,20
	114. 4175	2	36-38		41,30	4,10	37,20
	114. 4176	3	25-27	41,06	41,27	4,11	37,16
	114. 4176	4	18-20		41,33	4,08	37,25
	114. 4175	5	10-12	41,04	41,33	4,12	37,21
B605	114. 4177	1	63,5-65,5	40,69	40,35	3,49	36,86
	114. 4177	2	49-51		40,40	3,53	36,87
	114. 4178	3	42-44	40,64	40,24	3,37	36,87
	114. 4178	4	32-34		40,31	3,42	36,89
	114. 4179	5	22-24	40,65	40,36	3,44	36,92
	114. 4179	6	11-13		40,34	3,41	36,93
B606	114. 4180	1	57-59	38,11	38,36	2,19	36,17
	114. 4180	2	46-48		38,35	2,30	36,05
	114. 4181	3	32-34	38,24	38,40	2,51	35,89
	114. 4181	4	18-20		38,55	2,62	35,93
	114. 4180	5	11-13	38,11	38,35	2,76	35,59
B611	114. 3962	1	33-34	34,07	34,48	+0,95	35,43
	114. 3963	2	26-27		34,64	+0,77	35,41
	114. 3964	3	16,5-17,5		34,51	+0,87	35,38
	114. 3965	4	12-13		34,45	0,32	34,13
	114. 3966	5	7,5-8,5		34,50	0,39	34,11
	114. 3967	6	3,5-4,5		34,55	0,46	34,09
B612	114. 3968	1	18,5-19,5	34,08	34,48	+0,92	35,40
	114. 3969	2	12-13		34,36	0,19	34,17
	114. 3970	3	7,5-8,5		34,38	0,21	34,17
	114. 3971	4	3,5-4,5		34,41	0,33	34,08
B613	114. 3972	1	19-20	34,25	34,65	+0,76	35,41
	114. 3973	2	12-13		34,54	0,34	34,20
	114. 3974	3	7-8		34,58	0,39	34,19
	114. 3975	4	3,5-4,5		34,53	0,38	34,15
B614	114. 3976	1	19-20	34,06	34,48	+0,87	35,35
	114. 3977	2	11-12		34,42	0,27	34,15
	114. 3978	3	6,5-7,5		34,50	0,42	34,08
	114. 3979	4	3-4		34,40	0,38	34,02
B615	114. 3980	1	12-13	34,63	35,01	+0,89	35,90
	114. 3981	2	7-8		34,88	0,49	34,39
	114. 3982	3	3-4		34,88	0,48	34,40
B616	114. 3983	1	18-19	34,67	34,91	+0,73	35,64
	114. 3984	2	12-13		34,99	+0,75	35,74
	114. 3985	3	7-8		34,98	0,42	34,56
	114. 3986	4	3-4		34,98	0,48	34,50
B617	114. 3987	1	18-19	34,65	35,04	+0,70	35,74
	114. 3988	2	12-13		34,99	+0,72	35,71
	114. 3989	3	7-8		34,89	0,61	34,28
	114. 3990	4	3-4		34,91	0,66	34,25
B618	114. 3991	1	18-19	34,68	35,08	+0,52	35,60
	114. 3992	2	9-10		34,92	0,93	33,99
	114. 3993	3	3-4		34,90	0,95	33,95
B619	114. 3994	1	16-17	34,25	34,57	+0,85	35,42
	114. 3995	2	6-7		34,51	0,60	33,91
	114. 3996	3	3-4		34,55	0,63	33,92
B620	114. 3997	1	17-18	34,59	34,95	+0,57	35,52
	114. 3998	2	8-9		34,90	0,85	34,05
	114. 3999	3	3-4		34,96	0,85	34,11
B621	114. 4000	1	17,5-18,5	34,38	34,73	+0,77	35,50
	114. 4001	2	8-9		34,68	0,68	34,00
	114. 4002	3	3-4		34,73	0,77	33,96

B622	114. 4052	1	33-34	34,23	34,57	+ 1,28	35,85
	114. 4003	2	27,5-28,5		34,59	+ 1,18	35,77
	114. 4004	3	17,5-18,5		34,59	+ 0,89	35,48
	114. 4005	4	8-9		34,53	0,49	34,04
	114. 4006	5	3-4		34,55	0,56	33,99
B623	114. 4007	1	18-19	34,33	34,80	+ 0,65	35,45
	114. 4008	2	10-11		34,64	0,61	34,03
	114. 4009	3	7-8		34,70	0,68	34,02
	114. 4010	4	3-4		34,66	0,70	33,96
B624	114. 4011	1	18-19	34,23	34,63	+ 0,82	35,45
	114. 4012	2	12-13		34,53	0,56	33,97
	114. 4013	3	7-8		34,54	0,62	33,92
	114. 4014	4	3-4		34,51	0,60	33,91
B625	114. 4015	1	18-19	34,12	34,52	+ 0,91	35,43
	114. 4016	2	12-13		34,42	0,15	34,27
	114. 4017	3	7-8		34,43	0,15	34,28
	114. 4018	4	3-4		34,39	0,54	33,85
B626	114. 4019	1	21-22	34,00	34,37	+ 0,91	35,28
	114. 4020	2	12-13		34,24	0,19	34,05
	114. 4021	3	7-8		34,32	0,68	33,64
	114. 4022	4	3-4		34,37	0,83	33,54
B627	114. 4023	1	20,5-21,5	33,79	34,30	+ 0,96	35,26
	114. 4024	2	12,2-13,2		34,10	0,50	33,60
	114. 4025	3	8,8-9,8		34,08	0,53	33,55
	114. 4026	4	3-4		34,09	0,53	33,56
B628	114. 4027	1	18-19	33,95	34,33	+ 0,69	35,02
	114. 4028	2	10-11		34,27	0,22	34,05
	114. 4029	3	6-7		34,25	0,79	33,46
B629	114. 4030	1	22-23	34,49	34,87	0,19	34,68
	114. 4031	2	12-13		34,78	1,36	33,42
	114. 4032	3	6-7		34,79	1,49	33,30
B630	114. 4033	1	25,5-26,5	33,19	33,57	0,20	33,37
	114. 4034	2	12-13		33,46	0,74	32,72
	114. 4035	3	6-7		33,49	0,81	32,68
B631	114. 4036	1	19-20	34,82	35,16	+ 0,89	36,05
	114. 4037	2	7-8		35,18	0,62	34,56
	114. 4038	3	3-4		35,13	+ 0,62	35,75
B632	114. 4039	1	12-13	34,47	34,79	+ 0,69	35,48
	114. 4040	2	7-8		34,73	0,18	34,55
	114. 4041	3	3-4		34,72	0,23	34,49
B633	114. 4042	1	20-21	33,97	34,40	+ 0,91	35,31
	114. 4043	2	12-13		34,27	0,19	34,08
	114. 4044	3	7-8		34,31	0,68	33,63
	114. 4045	4	3-4		34,34	0,73	33,61
B634	114. 4046	1	23,5-24,5	33,23	33,60	+ 0,41	34,01
	114. 4047	2	12-13		33,52	0,59	32,93
	114. 4048	3	6-7		33,51	0,69	32,82
B635	114. 4182	1	19-20	35,55	35,87	0,15	35,72
	114. 4183	2	7-8		35,93	1,28	34,65
	114. 4184	3	3-4		35,96	1,32	34,64
B636	114. 4185	1	19-20	36,15	36,42	0,89	35,53
	114. 4186	2	7-8		36,43	1,19	35,24
	114. 4187	3	3-4		36,45	1,21	35,24

### 5.3 Afvigelser

I forbindelse med filtersætningen af filter 4 i boring B602 er der formentligt kommet bentonit op omkring filterrøret ved et uheld. Dette gav en dårlig ydelse, med stor sænkning af vandspejlet, når der blev pumpet på det, og det var ikke muligt at udtagte vandprøver fra filtret samtidig med vandprøverne fra de øvrige filtre på borelokaliteten. Efterfølgende er filteret forsøgt udbedret ved at knuse filterrøret og efterfølgende gruskaste filterstrækningen. Det har medført, at det var muligt at udtagte vandprøve efteråret 2022. Der er udført slugtest i filteret, men resultatet

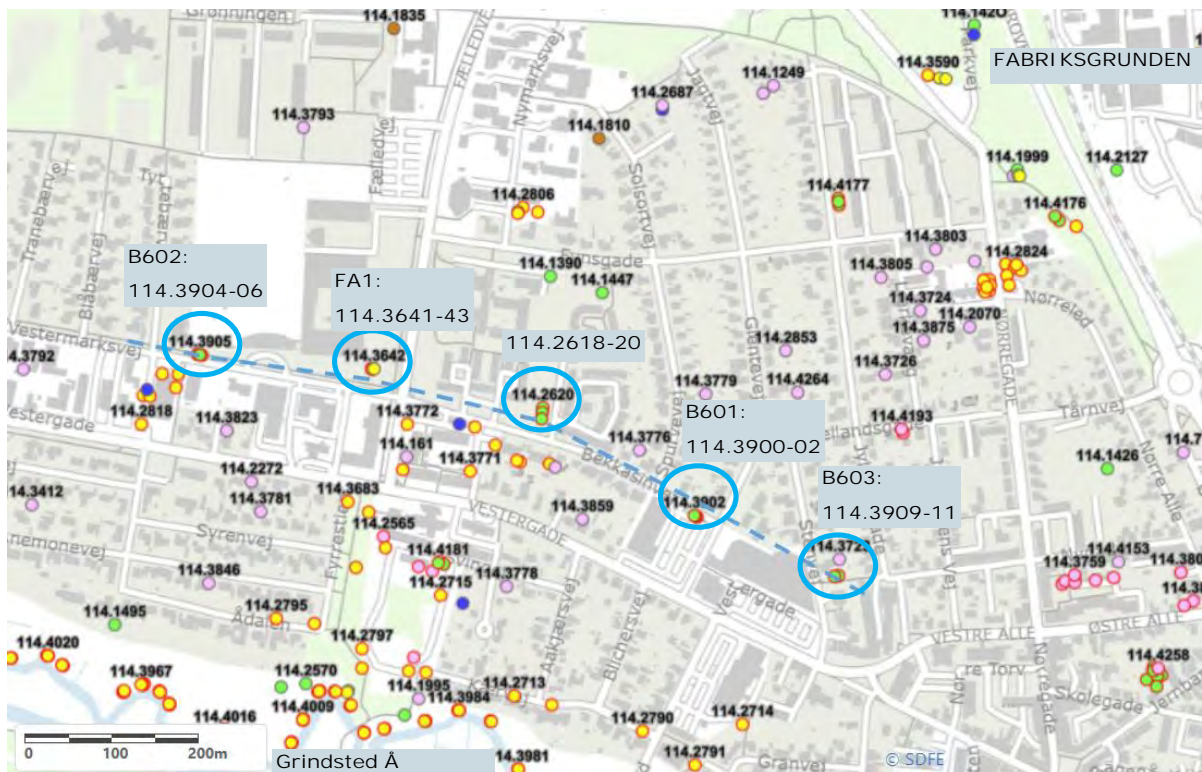
vurderes ikke at være retvisende, da filteret stadig er dårligt ydende. Pejlinger af filteret bør vurderes om de stemmer med det forventede, og dermed om de vurderes at være retvisende. Pejlingen af filteret oktober 2022 vurderes ikke at give et retvisende vandspejl.

Filter 4 i boring B606 udført på det gamle rensningsanlæg på Svinget 12, i Grindsted blev ved en fejl først etableret fra 15-17 m u.t. Det blev først opdaget ved vandprøvetagningen, hvorfor der i bilag 3 er analyseresultater, hvor filteret sidder 15-17 m u.t. Der arbejdes ikke videre med disse data. Efterfølgende blev boringen uddybet og filteret blev placeret 18-20 m u.t. som planlagt, og der blev udtaget nye vandprøver, hvis resultater der er arbejdet videre med.

## 6. RESULTATER

Der er udtaget vandprøver fra samtlige filtre i de udførte borer. Resultaterne af vandprøverne er beskrevet ud fra formålet med borerne dvs. om det er transektboringer, strømlinjeboringer eller moniteringsboringer langs Grindsted Å. Udvalgte analyseresultater er præsenteret i tabeller i hvert af de nedenstående afsnit, der præsenterer resultaterne for hhv. transektboringer, strømlinjeboringer og moniteringsboringer langs Grindsted Å. Vandprøverne er desuden beskrevet ved deres indhold af chlorerede og farmaceutiske stoffer og ud fra deres geokemi/redoxforhold for at skabe et overblik over den horizontale og vertikale udbredelse af forureningen. Disse data er behandlet og vedlagt som tolkede tværsnit. Det bemærkes at 'Sum chlorerede' i nedenstående tabeller er beregnet som indholdet af TCE+DCE+VC. Samtlige analyseresultater er desuden vedlagt i bilag 3, og data til vurdering af redoxforholdene er vedlagt i bilag 4. De præsenterede figurer er vedlagt i bilag 5.a; 5.b. og 5.c. i større format for hhv. transektboringer, strømlinjeboringer og moniteringsboringer langs Grindsted Å.

### 6.1 Transektboringer



Figur 6-1: Placering af borerne i vest-øst transekt (blå stiplet linie) på tværs af forureningsfanen fra fabriksgrundens.

B601-B603 er udført på tværs af forureningsfanen fra fabriksgrundens og udgør sammen med de tidligere udførte borer FA1 (114.3640-42) og 114.2618-20 et transekt på tværs af forureningsfanen fra fabriksgrundens, se Figur 6-1. Udvalgte analyseresultaterne for vandprøverne er vist i Tabel 6-1 og Tabel 6-2 og illustreret på Figur 6-2, Figur 6-3 og Figur 6-4.

Tabel 6-1: Udvalgte analyseresultater i borer fra vest mod øst i transektet. Chlorerede oplosningsmidler og nedbrydningsprodukter, og farmaceutiske stoffer i  $\mu\text{g/l}$ , samt k-værdier i  $\text{m/s}$ .

Borings ID/filter nr.	DGU nr.	Filtersætning (m u.t.)	TCE	DCE	VC	Sum chlorerede	Sulfanilsyre	Sum Sulfonamider	Sum Barbiturater	K-værdi [ $\text{m/s}$ ]
B602_1	114.3904	68,5-70,5	<0,02	<0,02	<0,02	#	<0,10	#	#	5,05E-05
B602_2	114.3904	61-63	0,27	<0,02	<0,02	0,27	0,64	#	#	9,89E-06
B602_3	114.3905	49-51	0,085	<0,02	<0,02	0,09	16	7	8	1,66E-04
B602_4	114.3905	39-41	<0,02	0,063	0,057	0,12	63	0,27	#	-*
B602_5	114.3906	30-32	0,1	<0,02	<0,02	0,10	43	24	15	2,43E-04
B602_6	114.3906	20-22	0,11	0,053	<0,02	0,16	1800	61	60	1,15E-04
FA1_1	114.3641	66-68	0,022	2,4	0,69	5	<0,10	4,8	58	5,99E-05
FA1_2	114.3641	60-62	0,2	93	29	142	<0,10	167	345	4,33E-04¤
FA1_3	114.3640	54-56	0,23	63	39	116	<0,10	106	181	4,88E-04
FA1_4	114.3640	46-48	4,3	28	0,082	71	<0,10	11	63	1,04E-03¤
FA1_5	114.3642	31,5-33,5	<0,02	0,037	<0,02	3	<0,10	50	475	8,76E-05
FA1_6	114.3642	17-19	<0,02	0,024	<0,02	4	<0,10	6,2	295	9,08E-05¤
114.2618	114.2618	70-72	0,02	0,11	<0,02	0,13	<0,10	0,05	0,12	1,75E-05
114.2618	114.2618	63-65	0,23	91	130	221	<0,10	87	86	7,80E-05
114.2619	114.2619	54-56	0,74	1900	2000	3901	<0,10	65	86	4,54E-05
114.2619	114.2619	45-48	1,5	4900	1900	6802	<0,10	692	365	2,95E-05
114.2620	114.2620	29-31	8,7	40	18	67	<0,10	480	187	2,18E-05
114.2620	114.2620	16-18	9,6	5,8	1,6	17	<0,10	137	68	1,51E-05
B601_1	114.3900	63-65	<0,02	<0,02	0,29	0,29	<0,10	#	#	1,72E-04
B601_2	114.3900	53,5-55,5	0,069	0,84	8,2	9	<0,10	#	13	4,25E-04
B601_3	114.3901	42-44	<0,02	1,1	13	14	0,16	3	281	2,38E-04
B601_4	114.3901	35-37	<0,02	2,8	3	5,8	350	31	3108	4,52E-05
B601_5	114.3902	28-30	<0,02	2	7,7	9,7	56	62	1347	7,37E-04
B601_6	114.3902	17-19	0,11	2,3	2,5	4,9	790	321	997	2,47E-04
B603_1	114.3909	62-64	<0,02	<0,02	<0,02	#	<0,10	#	#	1,06E-04
B603_2	114.3909	51,5-53,5	<0,02	<0,02	<0,02	#	0,35	#	#	1,69E-04
B603_3	114.3910	44-46	<0,02	<0,02	<0,02	#	0,16	#	1	1,89E-04
B603_4	114.3910	37-39	<0,02	<0,02	<0,02	#	<0,10	#	1	1,66E-04
B603_5	114.3911	30-32	<0,02	<0,02	<0,02	#	<0,10	#	#	1,62E-04
B603_6	114.3911	16,5-18,5	0,38	69	20	89	240	5	1211	7,51E-05

< = Indhold under detektions grænse (TCE/DCE/VC:0,02  $\mu\text{g/l}$ ), #: ingen parametre påvist over detektionsgrænsen. \*den målte hydrauliske ledningsevne vurderes ikke at være retvisende.  
¤/Data fra DTU, Draborg, 2021/.

Tabel 6-2: Udvalgte analyseresultater i borer fra vest mod øst i transekten c

Borings ID/filter nr.	DGU nr.	Filtersetning (m u.t.)	It (O <sub>2</sub> )	Nitrat	Ammonium	Jern (Fe <sup>++</sup> )	Sulfat	Metan (CH <sub>4</sub> )	Redoxforhold
B602_1	114.3904	68,5-70,5	0,30	0,71	0,22	3,2	23	0,024	Jernsulfatreduc.
B602_2	114.3904	61-63	0,07	0,5	0,26	4,8	20	0,23	Jernsulfatreduc.
B602_3	114.3905	49-51	0,04	0,95	0,31	2,7	39	0,13	Jernsulfatreduc.
B602_4	114.3905	39-41	0,90	0,14	0,78	5,5	27	0,11	Jernsulfatreduc.
B602_5	114.3906	30-32	0,05	0,17	1,3	9,5	34	0,086	Jernsulfatreduc.
B602_6	114.3906	20-22	0,30	0,14	0,78	5,5	27	0,11	Jernsulfatreduc.
FA1_1	114.3641	66-68	0,13	<0,3	0,81	3,7	120	0,024	Jernsulfatreduc.
FA1_2	114.3641	60-62	0,21	<0,3	7,2	37	170	1,3	Jernsulfatreduc.
FA1_3	114.3640	54-56	0,58	<0,3	3,9	9,7	72	0,77	Jernsulfatreduc.
FA1_4	114.3640	46-48	0,11	1,1	0,67	12	47	0,48	Blandingsvand
FA1_5	114.3642	31,5-33,5	0,73	<0,3	0,018	1,2	33	0,053	Jernsulfatreduc.
FA1_6	114.3642	17-19	-	2,8	<0,005	4,7	38	0,011	Blandingsvand
114.2618	114.2618	70-72	0,03	0,49	0,28	0,23	34	0,03	Jernsulfatreduc.
114.2618	114.2618	63-65	0,02	0,3	1,10	3,1	84	0,85	Jernsulfatreduc.
114.2619	114.2619	54-56	0,02	0,3	0,59	0,53	9,3	2,90	Methanogen
114.2619	114.2619	46-48	0,03	0,3	3,7	6,3	21	i.a.	Jernsulfatreduc.
114.2620	114.2620	29-31	0,03	0,3	1,9	5,4	61	3,20	Jernsulfatreduc.
114.2620	114.2620	16-18	0,06	0,38	1,9	0,058	93	i.a.	Oxideret
B601_1	114.3900	63-65	0,21	0,19	0,19	3	7,1	0,16	Jernsulfatreduc.
B601_2	114.3900	53,5-55,5	0,02	0,46	0,24	3,4	48	0,43	Jernsulfatreduc.
B601_6	114.3901	42-44	0,13	0,47	1,3	13	69	0,18	Jernsulfatreduc.
B601_4	114.3901	35-37	0,32	0,22	3,1	44	58	0,43	Jernsulfatreduc.
B601_5	114.3902	28-30	0,29	0,16	4,9	19	90	2,1	Jernsulfatreduc.
B601_6	114.3902	17-19	0,18	0,18	9,4	28	65	4,4	Jernsulfatreduc.
B603_1	114.3909	62-64	0,03	0,19	0,27	0,13	15	0,023	Methanogen
B603_2	114.3909	51,5-53,5	0,04	0,69	0,24	0,66	60	0,13	Jernsulfatreduc.
B603_3	114.3910	44-46	0,05	0,45	0,23	3	76	<0,01	Jernsulfatreduc.
B603_4	114.3910	37-39	1,48	36	0,099	0,096	63	<0,01	Oxideret
B603_5	114.3911	30-32	3,95	27	0,12	0,067	50	<0,01	Oxideret
B603_6	114.3911	16,5-18,5	0,03	0,2	0,32	19	41	0,32	Jernsulfatreduc.

-: ikke målt, i.a.: ikke analyseret

Af nedenstående Figur 6-2 ses, at den kraftigste forurening med chlorerede opløsningsmidler konstateres i den midterste boring (114.2618-20) i transekten i en dyb fane i intervallet 46-65 m u.t. svarende til kote ca. -5 til -25. Forurenningen udgøres primært af vinylchlorid og DCE. Forurenningen er udbredt mod vest til boring FA1, men er afgrænset mod vest af B602. Mod øst i B601 og B603 konstateres moderat/ingen indhold af chlorerede og den dybe fane vurderes afgrænset mod øst af boring B603. Der ses dog også en mere terrænnær fane med chlorerede opløsningsmidler omkring 16-19 m u.t., der er udbredt i den midterste og østlige del af transekten. Den terrænnære fane med chlorerede er ikke afgrænset mod øst.

Fanerne med farmaceutiske stoffer ses på figur 6-3. Fanen med barbiturater er kraftigst omkring kote 0-15 m i B601, men er spredt i dybden i magasinet. I B603 og B601 konstateres en øvre

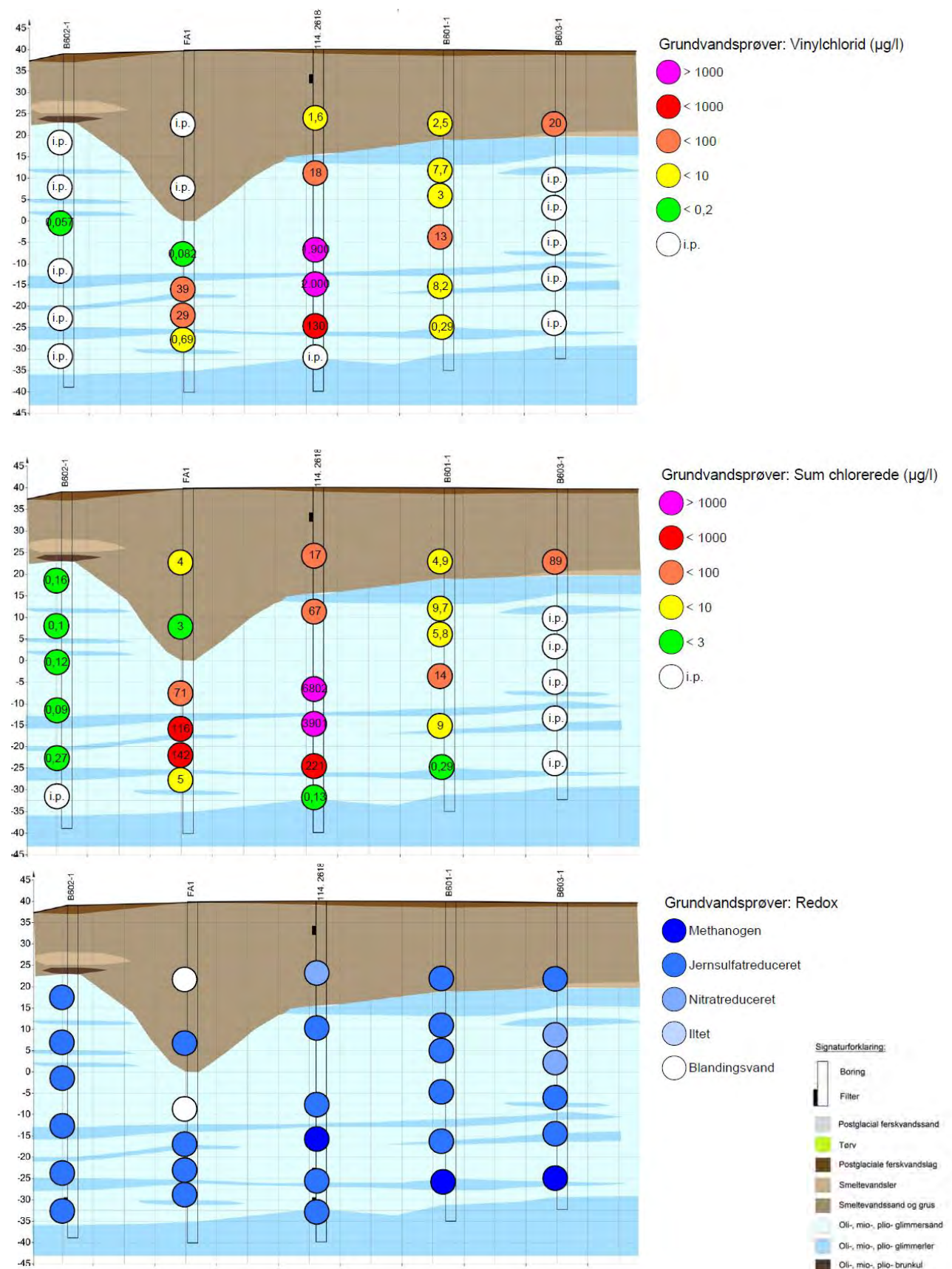
forurening med barbiturater, og her er forurenningen således ikke afgrænset mod øst. Fanen for barbiturater og sulfonamider dykker mod vest, men er i transektet nogenlunde afgrænset ved den vestligste boring B602, hvor der konstateres aftagende indhold af både barbiturater og sulfonamider. Der konstateres sulfonamider formentligt både i en øvre (boring 114.2618-20 og B601) og i en dybere fane (FA1); fanen er afgrænset mod øst i B603 og spredes mod vest nogenlunde som barbituraterne. Den dybe del af fanen med farmaceutiske stoffer vurderes afgrænset både mod øst i B603 og mod vest i B602.

Sulfanilsyre opfører sig anderledes og der konstateres høje indhold af sulfanilsyre i de øvre filtre i B603 og B602 og meget høje indhold i B602, altså i kanten af forureningsfanen. I de midterste borer FA1 og 114.2618-20 er der ikke påvist indhold af sulfanilsyre. I de dybeste filtre er der ikke påvist indhold af sulfanilsyre over detektionsgrænsen.

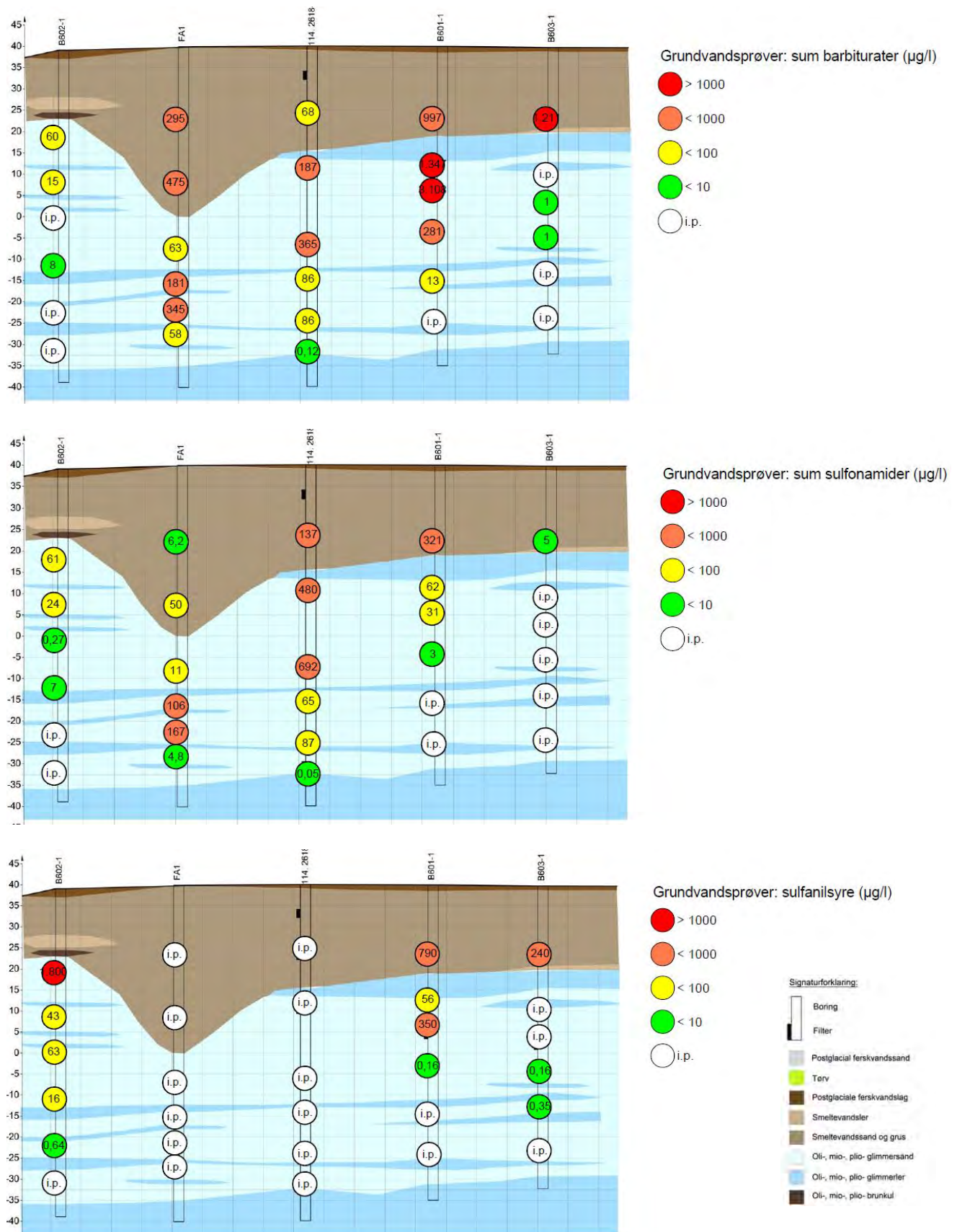
Der er generelt gode nedbrydningsforhold for chlorerede opløsningsmidler i magasinet med reducerede forhold. I enkelte områder er der stærkt reducerede methanogene forhold især i de dybe filtre. Generelt er der jernsulfat reducerende til oxiderede forhold i de øvre filtre. I filtrerne i FA1 er der konstateret blandingsvand i filter 6 og 4, der er jernsulfat reducerende med spor af nitrat.

Der måles generelt høje til mellem ( $>1 \cdot 10^{-4} - 1 \cdot 10^{-5}$  m/s) hydrauliske ledningsevner i hele transektet. Den hydrauliske ledningsevne i B602 filter 4 er vurderet ikke at være retvisende. Høj hydrauliske ledningsevne indikerer en høj tilstrømning af vand.

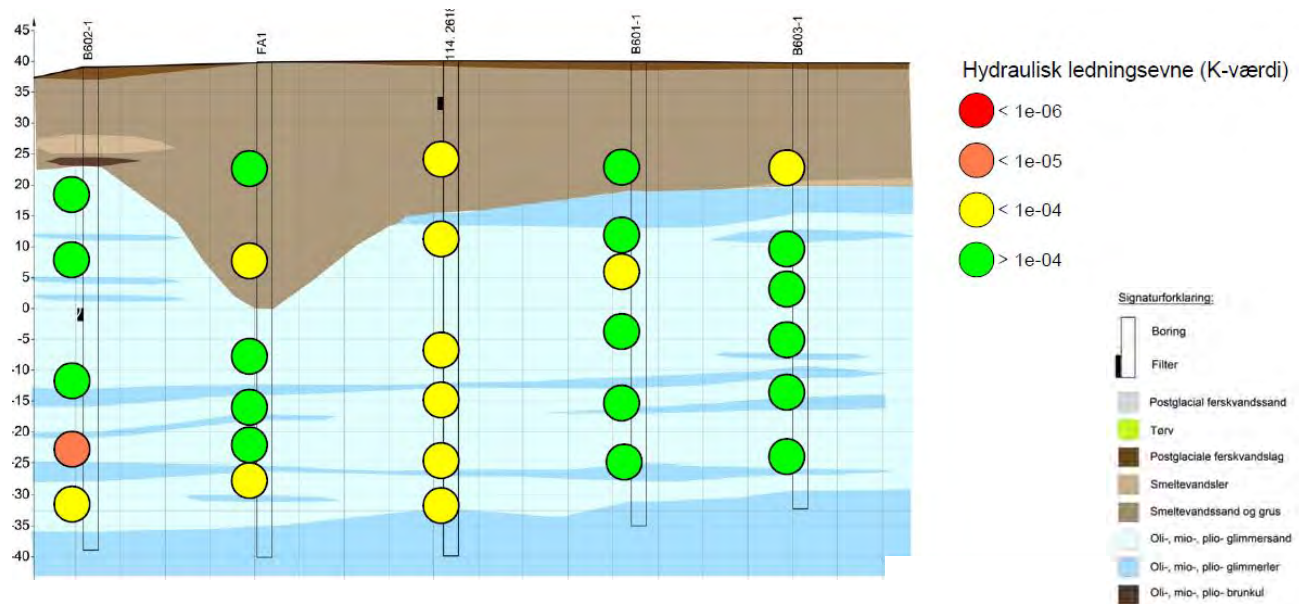
Samlet for dette transekt på tværs af fanen kan det konkluderes at stofferne ikke spreder sig helt ens, men at de højeste koncentrationer findes i de midterste borer, og fanen er rimeligt godt afgrænset i dybden og horisontalt undtagen for sulfanilsyre, barbiturater og sum klorerede helt terrænnært mod øst, og sulfanilsyre helt terrænnært mod vest.



Figur 6-2: Indhold af vinylchlorid, sum chlorerede stoffer og redoxforhold i vest-øst transekt på tværs af forureningsfanen i Grindsted By.

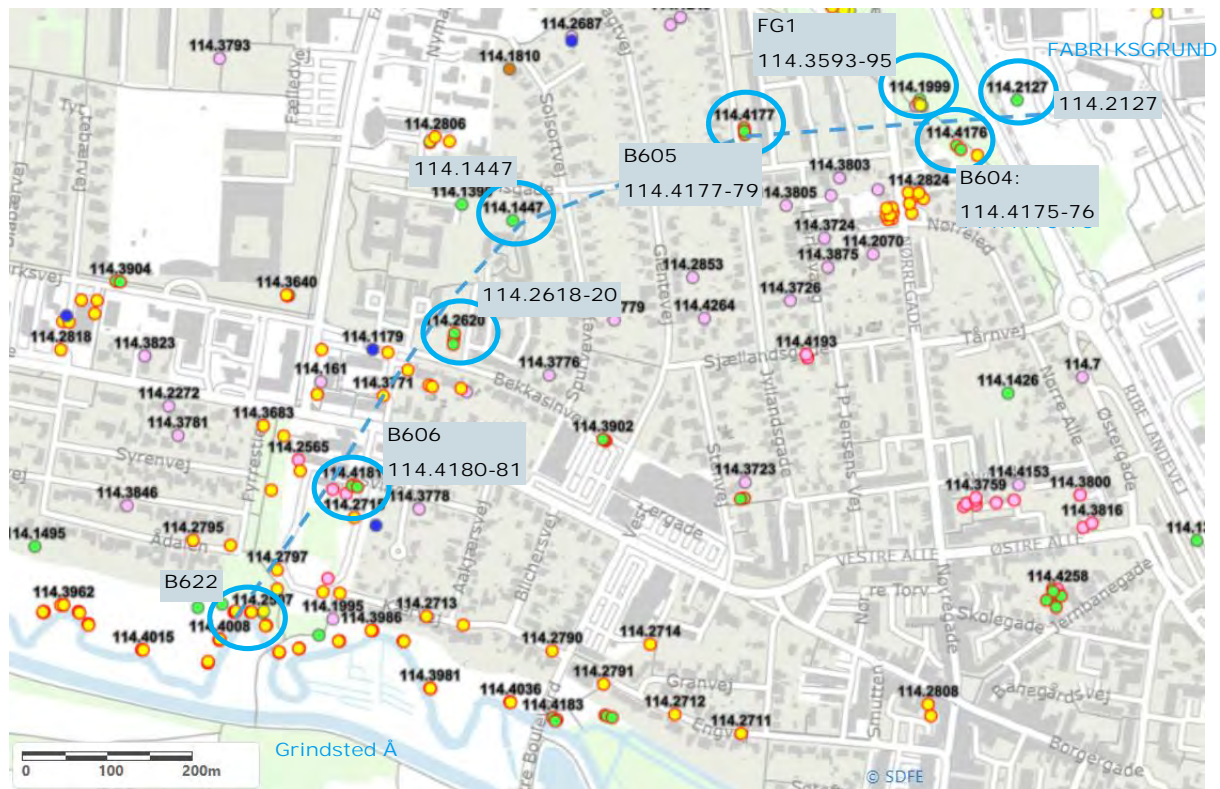


Figur 6-3: Indhold af sum barbiturater, sum sulfonamider, og sulfanilsulfonic acid i vest-øst transekt på tværs af forureningsfanen i Grindsted By.



Figur 6-4: Hydraulisk ledningsevne i vest-øst transekt på tværs af forureningsfanen i Grindsted By.

## 6.2 Strømlinjeboringer



Figur 6-5: Placering af borerne i strømlinje fra fabriksgrunden mod Grindsted Å.

For at kunne belyse den kraftigst forurenede del af fanen mellem fabriksgrunden og Grindsted Å, er borerne B604-B606 udført. Disse borer ligger sammen med borerne 114.2127 og FG1

tæt ved/på fabriksgrunden og 114.1447 og 114.2618-20 midt i byen samt B622 ved Grindsted Å på en strømlinje for grundvandet fra fabriksgrunden mod Grindsted Å, se Figur 6-5.

Analyseresultaterne for vandprøverne er vist i Tabel 6-3 og Tabel 6-4 og illustreret på Figur 6-6, Figur 6-7 og Figur 6-8.

Tabel 6-3: Udgangse analyseresultater i borer fra nord mod syd i strømlinjen mellem fabriksgrunden og Grindsted Å. Chlorerede oplosningsmidler og nedbrydningsprodukter og farmaceutiske stoffer i  $\mu\text{g/l}$  samt k-værdier i  $\text{m/s}$ .

Borings ID/filter nr.	DGU nr.	Filtersetning (m u.t.)	TCE	DCE	VC	Sum chlorerede	Sulfanilsyre	Sum sulfonamider	Sum barbiturater	K-værdi [m/s]
114.2127	114.2127	72,8-74,8	<0,02	<0,02	<0,02	#	0,5	9,48	7,70	-
114.2127	114.2127	61-63	<0,02	<0,02	<0,02	#	0,5	4	#	-
114.2127	114.2127	48-50	<0,02	<0,32	<0,88	1,20	0,5	15,5	4,70	-
114.2127	114.2127	10-12	0,02	0,08	0,14	0,22	2,3	116	1089	-
FG1_1	114.3593	67-69	8,5	240	230	499	<0,10	0,48	1,48	9,25E-04
FG1_2	114.3593	58-60	450	6000	980	7592	<0,10	1,27	3,28	5,4E-04
FG1_3	114.3594	48-50	17	45	5,8	69	<0,10	0,18	#	6,57E-04
FG1_4	114.3594	36-38	0,52	2,4	1,6	5	<0,10	0,92	37	7,1E-04
FG1_5	114.3595	25-27	0,56	420	4600	5039	18	328	681	1,8E-04
FG1_6	114.3595	16-18	0,4	80	470	554	4,1	18,9	2065	1,58E-04
B604_1	114.4175	48-50	<0,02	1,3	2,5	3,8	<0,10	0,59	15,1	3,25E-04
B604_2	114.4175	36-38	<0,02	1,1	1,6	2,7	<0,10	1,1	51	3,17E-04
B604_3	114.4176	25-27	<0,02	0,39	15	15,4	120	49,8	391	9,12E-05
B604_4	114.4176	18-20	<0,02	0,29	0,79	1,08	0,58	0,77	63	1,16E-04
B604_5	114.4175	10-12	0,027	0,64	1,4	2,067	<0,10	0,68	12	1,50E-05
B605_1	114.4177	63,5-65,5	0,15	140	610	750	0,68	1,22	0,69	7,88E-05
B605_2	114.4177	49-51	0,99	4500	630	5131	28	3,6	27	2,44E-04
B605_3	114.4178	42-44	<0,02	11	780	791	56	165	87	2,34E-04
B605_4	114.4178	32-34	<0,02	0,69	7,8	8,49	340	444	174	5,77E-05
B605_5	114.4179	22-24	1,1	3,3	0,32	4,72	2,8	8,3	8,07	1,88E-05
B605_6	114.4179	11-13	0,04	0,42	0,54	0,995	30	24	1,24	5,93E-06
114.1447	114.1447	69-70	0,2	11	2,8	14	1,9	98	5,3	-
114.1447	114.1447	53,5-54,5	3,6	340	1400	1744	0,9	532	38,7	-
114.1447	114.1447	42-43	42	6,5	1,0	50	<0,10	54	4,5	-
114.1447	114.1447	15-18,5	27	15	3,2	45	<0,10	2,3	27,3	-
114.2618	114.2618	70-72	0,02	0,11	<0,02	0,13	<0,10	0,12	0,05	1,75E-05
114.2618	114.2618	63-65	0,23	91	130	221	<0,10	86	87	7,80E-05
114.2619	114.2619	54-56	0,74	1900	2000	3901	<0,10	86	65	4,54E-05
114.2619	114.2619	46-48	1,5	4900	1900	6802	<0,10	364	692	2,95E-05
114.2620	114.2620	29-31	8,7	40	18	67	<0,10	187	137	2,18E-05
114.2620	114.2620	16-18	9,6	5,8	1,6	17	<0,10	68	480	1,51E-05
B606_1	114.4180	57-59	0,1	6400	16000	22400	<0,10	2,3	1,5	3,05E-04
B606_2	114.4180	46-48	0,28	4000	2800	6800	350	179	37	3,80E-04
B606_3	114.4181	32-34	0,19	6,7	170	177	3700	732	165	2,74E-04
B606_4	114.4181	18-20	0,04	31	350	404	2100	1005	77	8,31E-05

B606_5	114.4180	11-13	36	1400	1200	2636	2100	243	494	1,92E-05
B622-1	114.4052	33-34	<0,02	1,4	160	161	120	202	345	7,68E-05
B622-2	114.4003	27,5-28,5	<0,02	4,3	79	83	13	29	61	4,81E-04
B622-3	114.4004	17,5-18,5	0,035	50	260	310	58	283	427	8,90E-05
B622-4	114.4005	8-9	0,2	480	790	1270	17	2177	275	2,26E-04
B622-5	114.4006	3-4	36	270	200	506	14	1729	133	5,09E-05

< = Indhold under detektions grænse (TCE/DCE/VC:0,02 µg/l), #: ingen parametre påvist over detektionsgrænsen. ✎/Data fra DTU, Draborg, 2021/. - ikke målt

Tabel 6-4: Strømlinjeboringer fra fabriksgrunden mod nord til Grindsted Å mod syd. Redox forhold/geokemi, koncentrationer i mg/l.

Borings ID/filter nr.	DGU nr.	Filter sætning (m u.t.)	Ilt (O <sub>2</sub> )	Nitrat	Ammonium	Jern (Fe <sup>++</sup> )	Sulfat	Metan (CH <sub>4</sub> )	Redoxfor hold
114.2127	114.2127	72,8-74,8	0,6	0,03	0,18	0,52	3	-	Methanogen
114.2127	114.2127	61-63	0,2	0,04	0,16	5,60	2	-	Methanogen
114.2127	114.2127	48-50	0,2	0,03	0,14	5,30	16	-	Methanogen
114.2127	114.2127	10-12	0,2	0,24	14,8	22,0	32	-	Jernsulfatreduc.
FG1_1	114.3593	67-69	0,04	<0,3	0,43	6,5	3,7	6,6	Methanogen
FG1_2	114.3593	58-60	0	<0,3	0,16	2,9	6,9	3,1	Methanogen
FG1_3	114.3594	48-50	0,64	<0,3	0,24	8,6	42	0,21	Jernsulfatreduc.
FG1_4	114.3594	36-38	0	<0,3	0,57	2	70	0,64	Jernsulfatreduc.
FG1_5	114.3595	25-27	0,32	<0,3	4,1	21	30	5,9	Jernsulfatreduc.
FG1_6	114.3595	16-18	0	<0,3	4,5	1,8	43	13	Jernsulfatreduc.
B604_1	114.4175	48-50	1,3	0,68	0,45	<0,01	65	0,02	Oxideret
B604_2	114.4175	36-38	3,32	11	0,47	0,013	88	<0,01	Oxideret
B604_3	114.4176	25-27	0,87	0,42	1,4	0,046	110	1,1	Oxideret
B604_4	114.4176	18-20	0,81	0,83	0,74	0,13	140	0,04	Oxideret
B604_5	114.4175	10-12	1,68	1,7	6,1	0,017	110	0,12	Oxideret
B605_1	114.4177	63,5-65,5	2,23	<0,10	0,2	0,11	13	1,3	Oxideret
B605_2	114.4177	49-51	3,44	<0,10	0,23	0,2	29	0,94	Oxideret
B605_3	114.4178	42-44	2,37	0,29	0,68	0,27	75	2,3	Oxideret
B605_4	114.4178	32-34	3,83	<0,10	2,6	0,075	16	5,1	Oxideret
B605_5	114.4179	22-24	4,67	1,1	0,23	0,19	130	<0,01	Oxideret
B605_6	114.4179	11-13	5,35	0,8	0,58	0,074	160	0,11	Oxideret
114.1447	114.1447	69-70	0,01	0,3	0,4	3,5	130	i.a.	Jernsulfatreduc.
114.1447	114.1447	53,5-54,5	0,01	0,3	2,4	3	32	i.a.	Jernsulfatreduc.
114.1447	114.1447	42-43	0,01	0,3	1,9	40	47	i.a.	Jernsulfatreduc.
114.1447	114.1447	15-18,5	0,03	6,1	0,31	0,025	63	i.a.	Blandingsvand
114.2618	114.2618	70-72	0,03	0,49	0,28	0,23	34	0,03	Jernsulfatreduc.
114.2618	114.2618	63-65	0,02	0,3	1,10	3,1	84	0,85	Jernsulfatreduc.
114.2619	114.2619	54-56	0,02	0,3	0,59	0,53	9,3	2,90	Methanogen
114.2619	114.2619	46-48	0,03	0,3	3,7	6,3	21	i.a.	Jernsulfatreduc.
114.2620	114.2620	29-31	0,03	0,3	1,9	5,4	61	3,20	Jernsulfatreduc.
114.2620	114.2620	16-18	0,06	0,38	1,9	0,058	93	i.a.	Oxideret
B606_1	114.4180	57-59	0,8	0,45	0,41	0,13	33	1,2	Oxideret

B606_2	114.4180	46-48	0,77	0,96	1,7	0,26	93	3,2	Oxideret
B606_3	114.4181	32-34	0,1	0,51	4,1	12	57	2	Jernsulfatreduc.
B606_4	114.4181	18-20	0,15	0,1	0,99	0,4	23	0,85	Jernsulfatreduc.
B606_5	114.4180	11-13	0,11	0,42	0,32	0,41	130	4,2	Jernsulfatreduc.
B622-1	114.4052	33-34	0,06	0,63	1,3	23	8,3	5,8	Methanogen
B622-2	114.4003	27,5-28,5	0,03	<0,10	0,35	14	2,6	9,4	Methanogen
B622-3	114.4004	17,5-18,5	0,06	0,25	2,1	59	<0,5	2,4	Methanogen
B622-4	114.4005	8-9	0,03	0,2	2,9	2,5	57	3,5	Jernsulfatreduc.
B622-5	114.4006	3-4	0,21	<0,10	2,6	32	62	1,6	Jernsulfatreduc.

i.a. = ikke analyseret, - ikke målt.

Af nedenstående Figur 6-6 ses, at ved fabriksgrundens er der konstateret kraftig forurening med chlorerede opløsningsmidler både forholdsvis terrænnært og i stor dybde. I boring FG1 umiddelbart nedstrøms fabriksgrundens er der høje koncentrationer af chlorerede opløsningsmidler både i de to øverste filter og i de to nederste filtre, dette afspejler formentlig at der er både en terrænnær og en dyb fane tæt ved fabriksgrundens, der så synker dybere end i magasinet nedstrøms fabriksgrundens. Koncentrationerne varierer meget mellem borerne ved fabriksgrundens, hvilket må skyldes placering af borerne ift. hotspots på fabriksgrundens. Centralt i byen dykker fanen med chlorerede og nede ved åen er der påvist høje koncentrationer af chlorerede tæt ved terræn.

I B606, der er placeret på det tidligere rensningsanlæg/Svinget 12 i Grindsted, er der terrænnært høje indhold af vinylchlorid og DCE jf. Tabel 6-3, hvilket tyder på, at der er en terrænnær fane med chlorerede opløsningsmidler på vej mod Grindsted Å, idet der i B622 udført i GWD5 nedstrøms det tidligere rensningsanlæg også er høje indhold af chlorerede opløsningsmidler terrænnært.

Fangen med chlorerede stoffer vurderes ikke helt afgrænset i dybden, da der flere steder er ret høje koncentrationer i de dybeste filtre både tæt ved fabriksgrundens og ved åen.

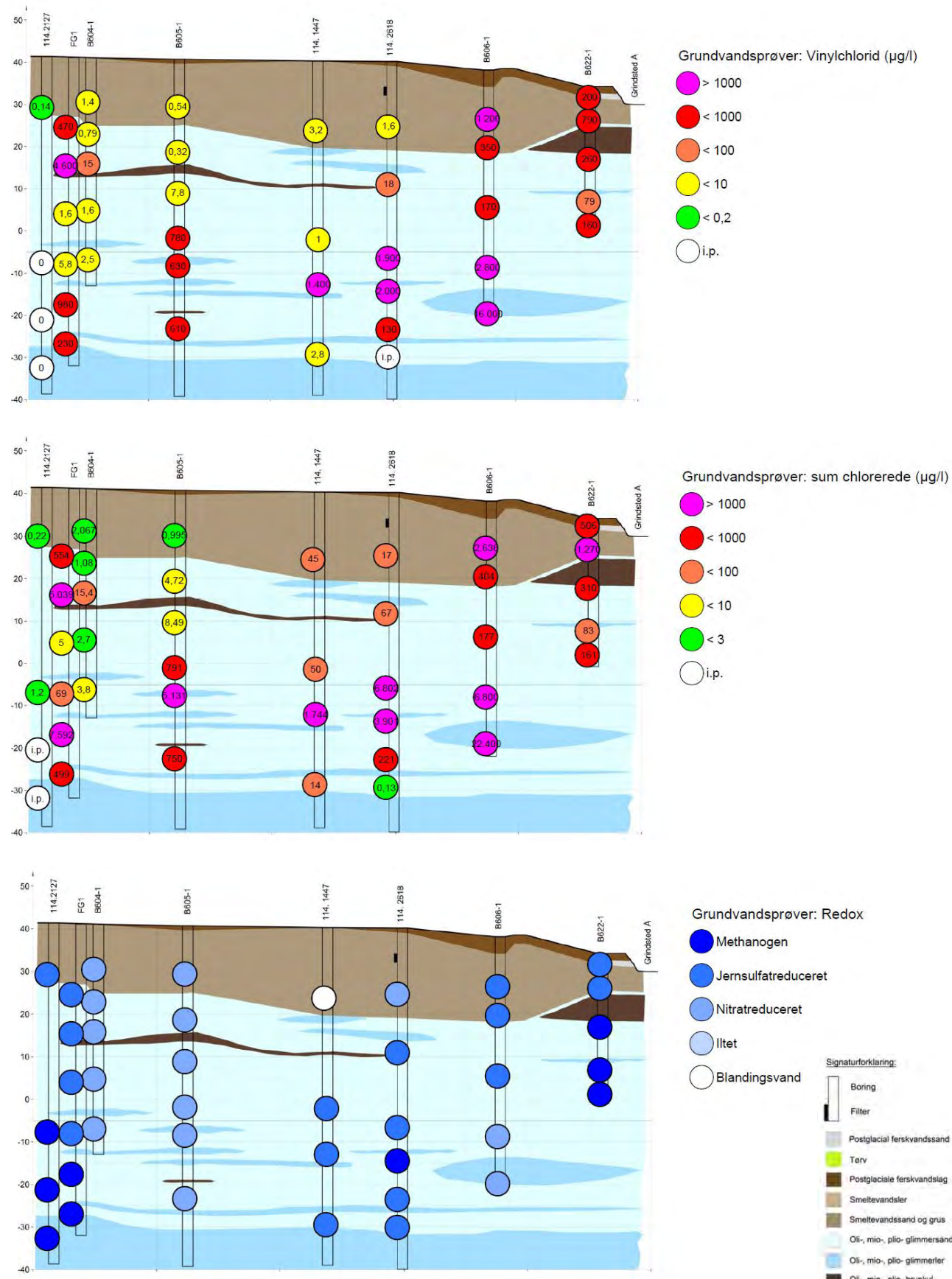
Det fremgår af figur 6-7, at der ligeledes er en terrænnær fane i B606 og B622 tæt ved åen med høje indhold af sulfonamider og sulfanilsyre (dog ikke i B622). For koncentrationen af sulfonamider ses der en svag udvikling i koncentrationerne med højere koncentrationer tættere på åen, hvor fanen også kommer tættere på terræn. For barbituraterne findes de højeste koncentrationer terrænnært tæt ved fabriksgrundens, men barbituraterne er konstateret i næsten allefiltrene i mellemhøje koncentrationer. Sulfanilsyre findes i de højeste koncentrationer ved B606 tæt ved åen.

Fanerne med farmaceutiske stoffer vurderes afgrænset i dybden, da der konstateres lave/aftagende indhold af både sulfonamider, sulfanilsyre og barbiturater i de dybe filtre (boring 114.1447 og 114.2618).

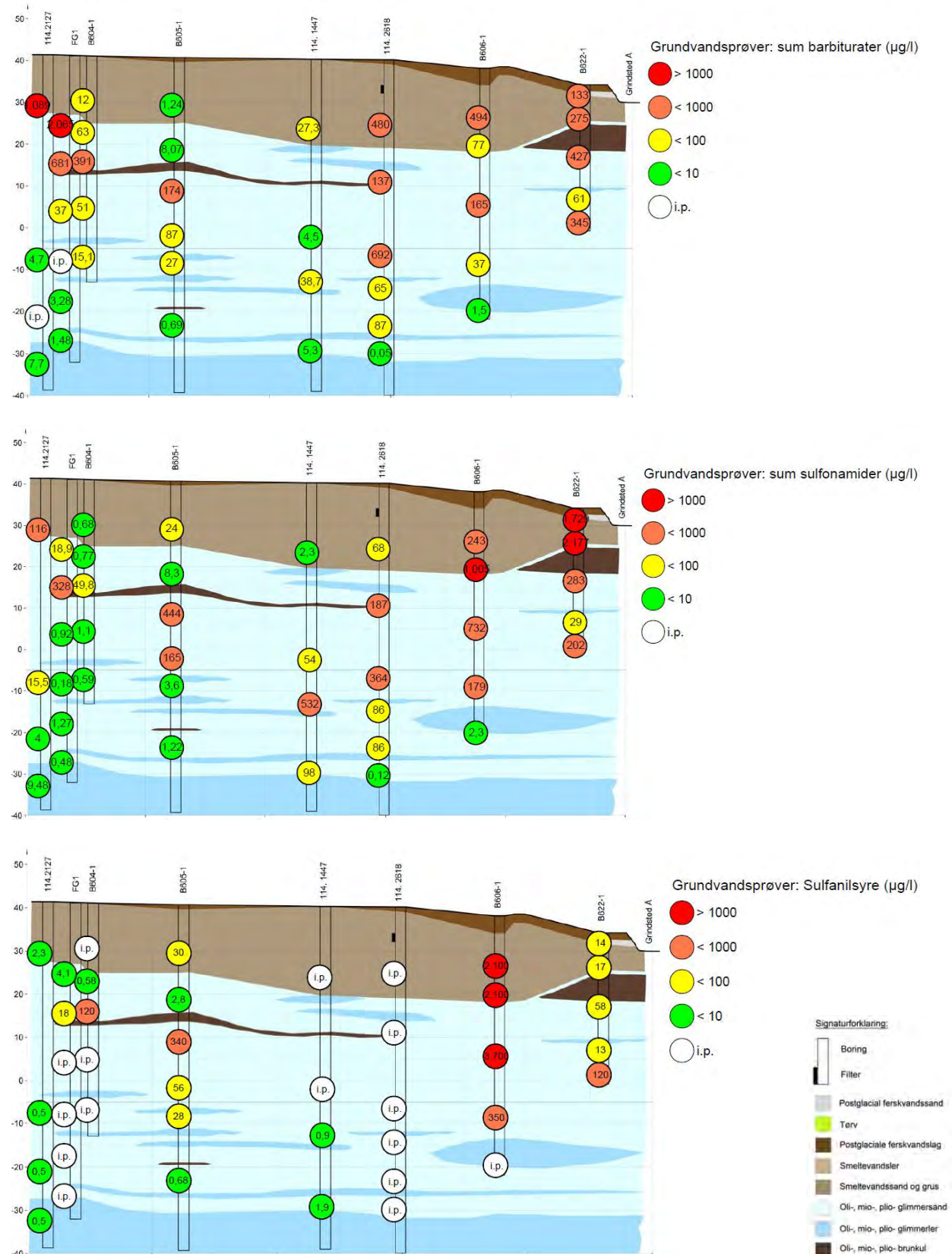
Der måles generelt høje til mellem hydrauliske ledningsevner ( $>1 \cdot 10^{-4} - 1 \cdot 10^{-5}$  m/s) i borerne i strømlinjen, hvilket indikerer en høj strømning af vand. I et område midt i byen ved 114.2618 er den hydrauliske ledningsevne lidt lavere.

Der er generelt gode nedbrydningsforhold for chlorerede opløsningsmidler i magasinet med methanogene og nitratreducerende/jernsulfatreducerende forhold i borerne tættest på fabriksgrundens og ved åen. I den nordlige og centrale del af strømlinjen er der iltede og jernsulfatreducerende forhold.

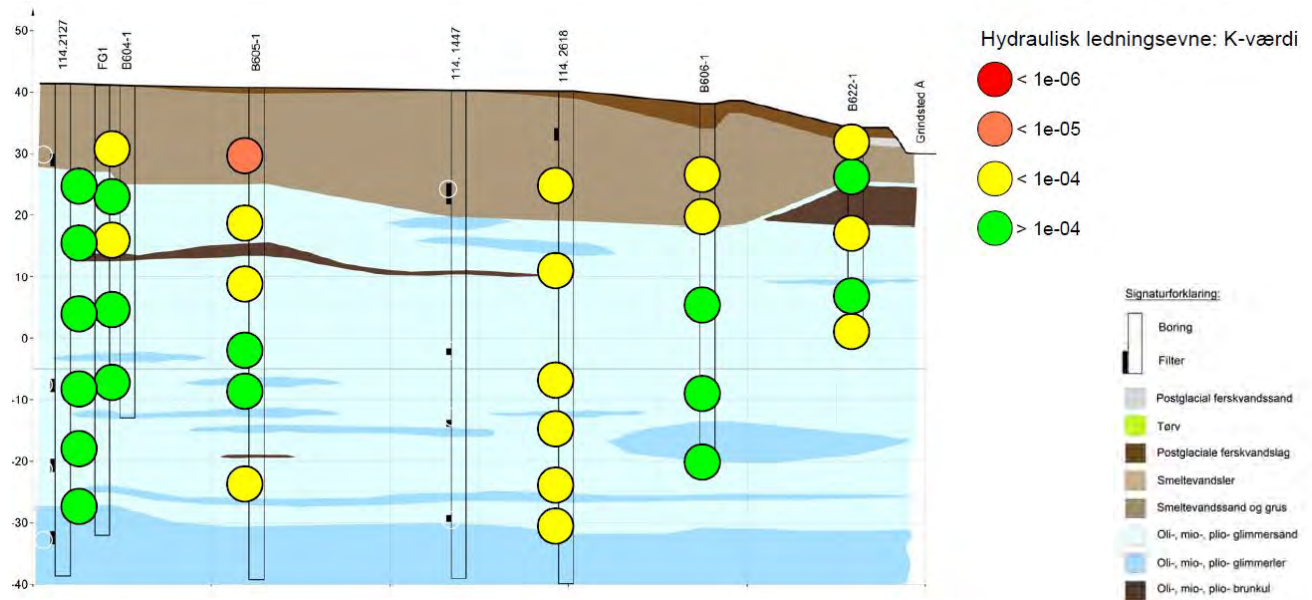
Sammenfattet ses der i strømlinjen fra fabriksgrunden til åen høje koncentrationer af klorerede (og VC) dybt i fanen centralet i byen og i hele dybden ved åen. De farmaceutiske stoffer ses i varierende koncentrationer i hele strømlinjen og over dybden men med specielt høje koncentrationer af sulfanilsyre tæt ved terræn ved det gamle rensningsanlæg. Der er mere reducerer forhold tæt ved åen over hele dybden.



Figur 6-6: Indhold af vinylchlorid, sum chlorerede og redoxforhold i strømlinje fra fabriksgrunden til Grindsted Å.



Figur 6-7: Indhold af sum barbiturater, sum sulfonamider og sulfanilsulfone i strømlinje fra fabriksgrunden til Grindsted Å.



Figur 6-8: Hydrauliske ledningsevne i strømlinje fra fabriksgrunden til Grindsted Å.

### 6.3 Boringer langs Grindsted Å

Boringerne langs Grindsted Å er beskrevet fra øst mod vest. Strækningen beskrives i det nedenstående ved inddeling i 3 delområdet: østlige, midterste og vestlige.

#### 6.3.1 Østlige del, borer i og omkring udstrømningsområderne GWD1-GWD3:



Figur 6-9 Placering af borerne opstrøms, i og mellem udstrømningsområderne GWD1-GWD3.

Boringer B635 og B636 er udført øst for Vestre Boulevard, se Figur 6-9. De er udført for østlig afgrænsning af fanen med farmaceutiske stoffer ved en senere borerunde, da fanen var bredere end først antaget.

Bemærk at B618 og B619 der fremgår af figurerne er beskrevet under den midterste del af åen.  
Analyseresultaterne for vandprøverne er vist i Tabel 6-5 og

Tabel 6-6 og illustreret på Figur 6-10, Figur 6-11 og Figur 6-12.

Tabel 6-5: Udvalgte analyseresultater fra boringer i området GWD1, GWD2 og GWD3. Chlorerede oplosningsmidler og nedbrydningsprodukter og farmaceutiske stoffer i  $\mu\text{g/l}$  samt k-værdier i  $\text{m/s}$ .

Borings ID/filter nr.	DGU nr.	Filtersætning (m u.t.)	TCE	DCE	VC	Sum chlorerede	Sulfanilsyre	Sum Sulfonamider	Sum Barbiturater	K-værdi [m/s]
B636_1	114.4185	19-20	<0,02	<0,02	<0,02	#	<0,1	#	#	1,91E-04
B636_2	114.4186	7-8	<0,02	<0,02	<0,02	#	<0,1	#	#	2,16E-04
B636_3	114.4187	3-4	<0,02	<0,02	<0,02	#	<0,1	#	#	2,04E-04
B635_1	114.4182	19-20	<0,02	<0,02	<0,02	#	<0,1	#	#	1,33E-05
B635_2	114.4183	7-8	3,8	4,7	0,045	8,6	<0,1	#	#	4,37E-04
B635_3	114.4184	3-4	1,8	3,8	<	5,6	1,3	6	141	4,33E-04
B631_1	114.4036	19-20	<0,02	<0,02	<0,02	#	<0,1	#	#	8,72E-06
B631_2	114.4037	7-8	1,9	6,9	0,36	9,2	0,16	60	430	1,40E-04
B631_3	114.4038	3-4	0,7	2,8	0,025	3,5	6,9	38	126	2,43E-05
B615_1	114.3980	12-13	<0,02	<0,02	<0,02	#	<0,1	#	#	6,39E-05
B615_2	114.3981	7-8	2,5	16	6,8	25,3	0,22	1014	2767	7,66E-05
B615_3	114.3982	3-4	0,042	2,7	0,07	2,8	<0,1	3	8	5,97E-05
B632_1	114.4039	12-13	0,084	1,4	8,3	9,8	<0,1	10	265	3,31E-06
B632_2	114.4039	7-8	3,6	240	1100	1344	0,29	534	379	6,66E-05
B632_3	114.4041	3-4	0,072	130	2300	2430	<0,1	58	104	1,63E-04
B616_1	114.3983	18-19	0,16	8,1	28	36,3	0,45	32	506	4,68E-06
B616_2	114.3984	12-13	0,66	1,8	17	19,5	1,1	52	472	3,59E-05
B616_3	114.3985	7-8	15	730	460	1205	450	361	2376	2,35E-05
B616_4	114.3986	3-4	<0,02	0,27	0,096	0,37	<0,1	#	#	7,95E-05
B617-1	114.3987	18-19	0,065	1,2	32	33,3	<0,1	8,9	83,7	1,21E-04
B617-2	114.3988	12-13	0,1	1,1	33	34,2	<0,1	59	215	6,83E-05
B617-3	114.3989	7-8	17	250	800	1067	0,53	110	531	3,43E-05
B617-4	114.3990	3-4	0,15	1,2	0,56	1,9	<0,1	1,49	0,11	1,07E-04

< = Indhold under detektions grænse #: ingen parametre påvist over detektionsgrænsen.

Tabel 6-6: Boringer i området GWD1, GWD2 og GWD3. Redox forhold/geokemi, koncentrationer i  $\text{mg/l}$ .

Borings ID/filter nr.	DGU nr.	Filtersætning (m u.t.)	Ilt ( $\text{O}_2$ )	Nitrat	Ammonium	Jern ( $\text{Fe}^{+2}$ )	Sulfat	Metan ( $\text{CH}_4$ )	Redoxforhold
B636_1	114.4185	19-20	0,06	0,31	0,22	18	11	<0,01	Methanogen

B636_2	114.4186	7-8	0,04	6,8	0,091	6,9	20	<0,01	Blandingsvand
B636_3	114.4187	3-4	0,14	6,6	0,0077	0,078	30	<0,01	Nitratreduceret
B635_1	114.4182	19-20	0,05	<0,1	0,13	0,33	3,1	<0,01	Methanogen
B635_2	114.4183	7-8	0,04	16	1,4	1	29	<0,01	blandingsvand
B635_3	114.4184	3-4	0,04	16	1,4	0,037	24	<0,01	Nitratreduceret
B631_1	114.4036	19-20	0,10	0,61	0,16	19	19	0,01	Methanogen
B631_2	114.4037	7-8	0,04	<0,1	0,088	2,3	33	0,064	Jernsulfatreduc.
B631_3	114.4038	3-4	0,21	3,6	1,7	4,3	36	0,087	Blandingsvand
B615_1	114.3980	12-13	0,09	<0,1	0,27	13	3,6	0,019	Methanogen
B615_2	114.3981	7-8	0,02	<0,1	1	35	38	2,3	Jernsulfatreduc.
B615_3	114.3982	3-4	0,21	18	0,15	0,39	27	0,013	Blandingsvand
B632_1	114.4039	12-13	0,19	<0,1	0,073	3,1	33	0,058	Jernsulfatreduc.
B632_2	114.4039	7-8	0,03	<0,1	2,1	42	51	3,7	Jernsulfatreduc.
B632_3	114.4041	3-4	0,42	<0,1	11	24	26	4,8	Jernsulfatreduc.
B616_1	114.3983	18-19	0,25	<0,1	0,028	0,43	24	0,039	Jernsulfatreduc.
B616_2	114.3984	12-13	0,16	0,14	0,06	0,32	25	0,031	Jernsulfatreduc.
B616_3	114.3985	7-8	0,03	0,1	0,42	25	46	2,2	Jernsulfatreduc.
B616_4	114.3986	3-4	3,83	15	<0,004	0,065	14	<0,01	Oxideret
B617-1	114.3987	18-19	0,67	<0,1	1	52	16	0,96	Methanogen
B617-2	114.3988	12-13	0,05	<0,1	0,079	3,9	34	0,061	Jernsulfatreduc.
B617-3	114.3989	7-8	0,05	<0,1	0,12	6,6	46	1,5	Jernsulfatreduc.
B617-4	114.3990	3-4	1,03	19	0,42	1,3	22	<0,01	Blandingsvand

\*< = Indhold under detektions grænse

Af nedenstående Figur 6-10 og Figur 6-11 fremgår det, at der i den østligste boring B636 ikke konstateres indhold af nogen af de analyserede stoffer over detektionsgrænsen i nogen af de 3 filtre og forureningen vurderes således afgrænset både horisontalt og vertikalt mod øst. I B635 filter 2 og 3 er der konstateret indhold af PCE på hhv. 30 og 35 µg/l, det konstaterede indhold vurderes ikke at stamme fra fabriksgrunden, men vurderes at være af lokal oprindelse.

Længere mod vest i borer B635 og B631 (vest for Sønder Boulevard) konstateres indhold af sum chlorerede i de mellemdybe og øvre filtre. Vinylchlorid udgør kun en mindre del af indholdet af sum chlorerede. I de dybe filtre i de to borer er der ikke påvist indhold af sum chlorerede og vinylchlorid over detektionsgrænsen og fanen med chlorerede stoffer vurderes afgrænset i dybden. Fanen med farmaceutiske stoffer er ligeledes afgrænset horisontalt mod øst i B636 og vertikalt i B631, B635 og B635.

Omtrent midt i området/snittet i B615 ses meget høje koncentrationer af farmaceutiske stoffer i især det mellemste filter. I i det nederste filter er der ikke påvist indhold af chlorerede og farmaceutiske stoffer over detektionsgrænsen og forureningen er forsæt afgrænset i dybden/vertikalt.

Længere mod vest i B632, B616 og B617 konstateres meget høje indhold af sum chlorerede hhv. i det øverste filter i B632 og i de næstøverste filtre i B616 og B617, hvor der også ses høje indhold i de dybe filtre. Indholdet af de chlorerede stoffer udgøres her primært af vinylchlorid, men også DCE er til stede med høje indhold. Der konstateres ligeledes høje indhold af farmaceutiske stoffer (både sum sulfonamider og sum barbiturater) i de/det mellemste og dybe filtre i dette område (B632, B616 og B617).

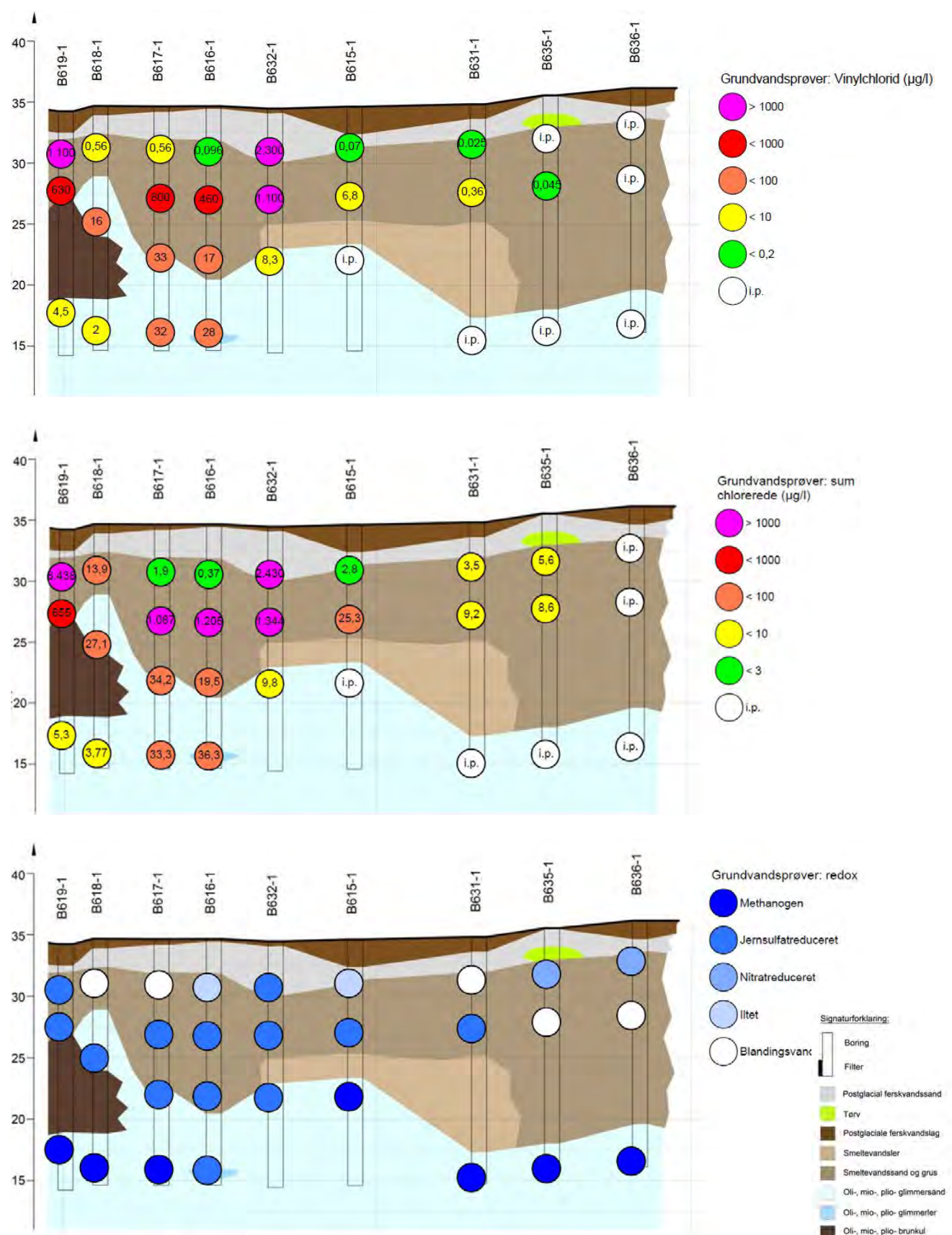
Indholdet af sulfanilsyre vurderes at være lavt i de østligste borer, og er ikke påvist i flere filtre. Kun i det næstøverste filter i B616 er der konstateret højt indhold af sulfanilsyre.

Der er gode nedbrydningsforhold for chlorerede opløsningsmidler i magasinet med methanogene forhold i de dybe filtre, og jernsulfat reducerende til nitrat reducerende forhold i de øvre filtre.

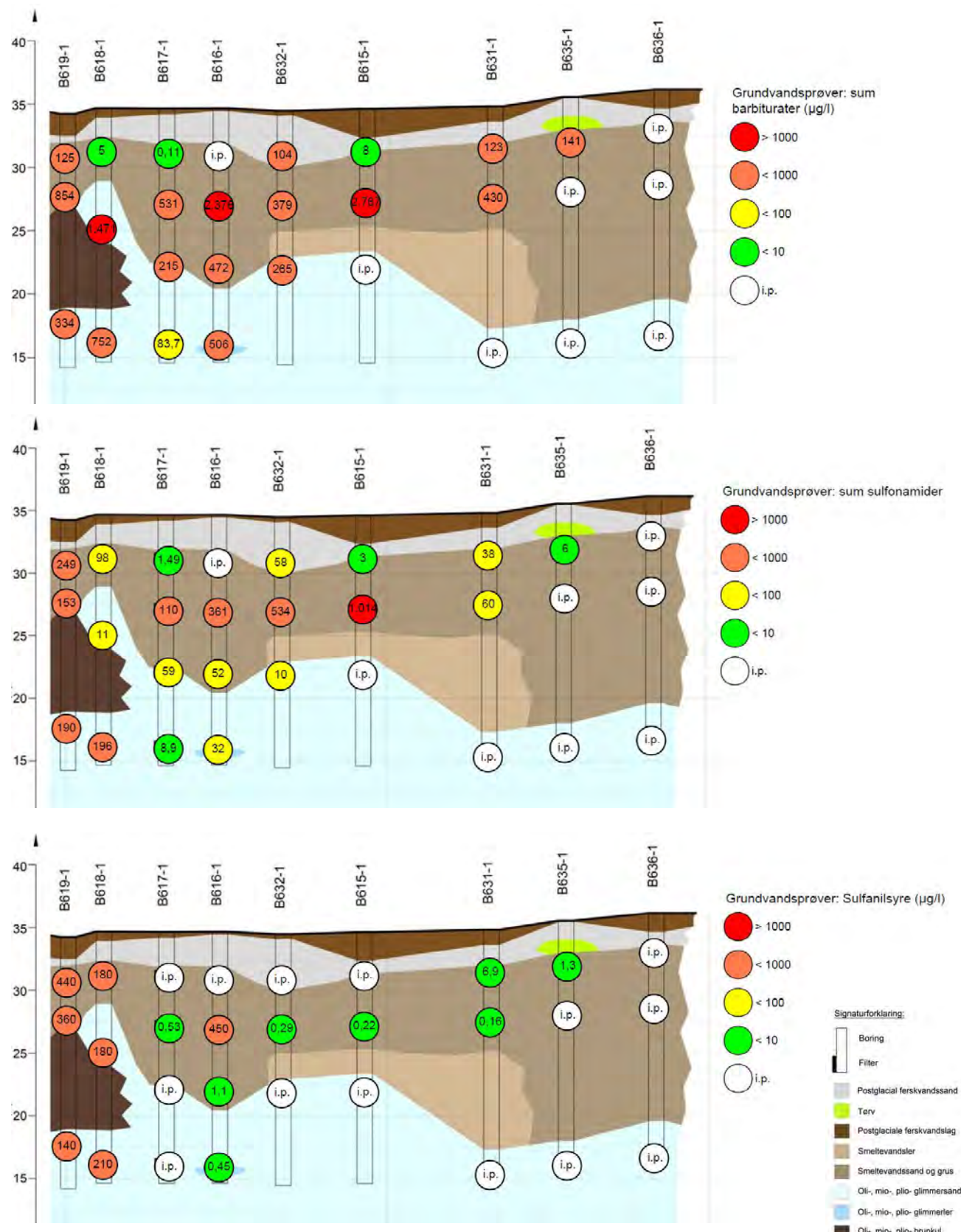
Der måles generelt høje til mellem hydrauliske ledningsevner ( $>1,0 \cdot 10^{-4} - 1 \cdot 10^{-5}$  m/s), hvilket indikerer en høj tilstrømning af vand. Der er dog også dybereliggende områder i magasinet med en lavere hydraulisk ledningsevne, og dermed mindre tilstrømning af vand. Disse er konstateret i området uden lag af brunkul og indikerer lavpermeable aflejringer, der ikke har kunnet erkendes i boreprøverne. Det er formentlig sådanne aflejringer, der medfører, at der er artesiske forhold i de nedre filter i B615-B617, B631, B632 samt B635 selvom laget af brunkul ikke er til stede.

Den kraftige forurening i B632 vurderes at skyldes en foretrakken grundvandsstrømning mod meanderbuer, der vender mod nord (i retning mod forureningsfanen).

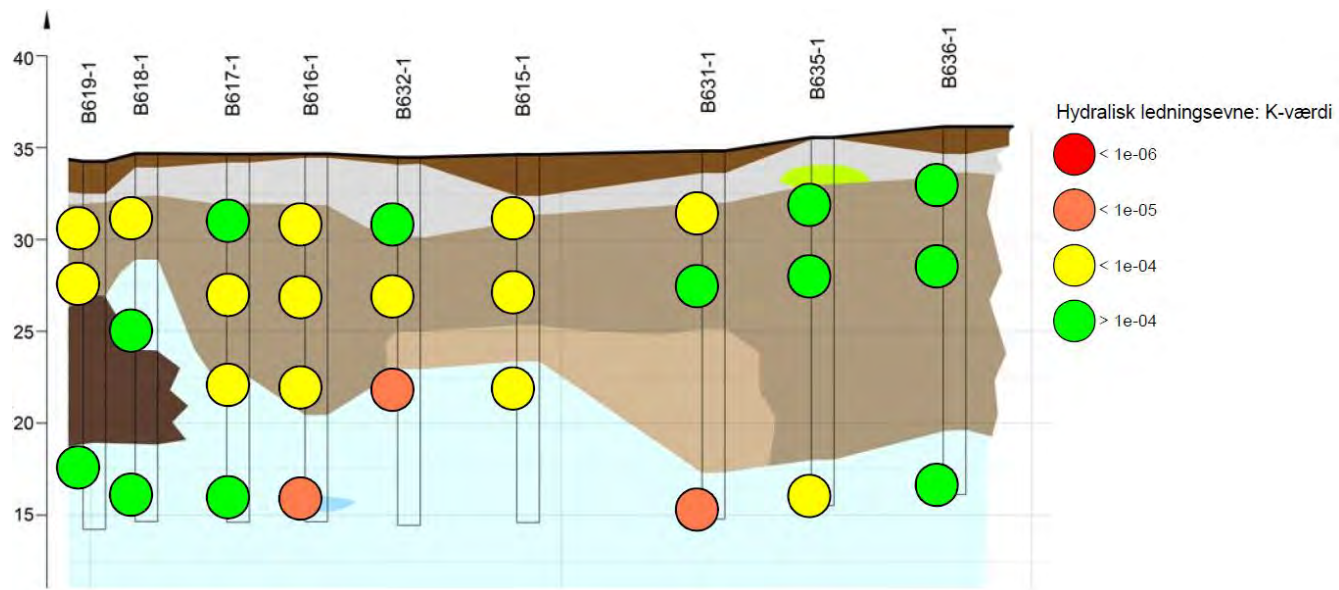
Samlet kan det konkluderes for den østligste del af transekten ved åen, at alle fanerne er afgrænset mod øst. Der er høje koncentrationer af farmaceutiske og chlorerede stoffer længst mod vest og mest i de terrænnære filtre. Mod vest er fanen ikke afgrænset nedad til.



Figur 6-10 Indhold af vinylchlorid, sum chlorerede stoffer og redoxforhold i den østligste del af undersøgelsesområdet langs Grindsted Å. B618 og B619 er beskrevet under den midterste del af åen.



Figur 6-11: Indhold af sum barbiturater, sum sulfonamider og sulfanilsyre i den østligste del af undersøgelsesområdet langs Grindsted Å. B618 og B619 er beskrevet under den midterste del af åen.



Figur 6-12: Hydraulisk ledningsevne i den østligste del af undersøgelsesområdet langs Grindsted Å. B618 og B619 er beskrevet under den midterste del af åen.

### 6.3.2 Midterste del, borer i og omkring udstrømningsområderne GWD4-GWD8:



Figur 6-13 Placering af borerne i og mellem udstrømningsområderne GWD4/GWD5-GWD8 (Sdr. Ringvej).

Strækningen er fra GWD4 og mod vest til GWD8 (Søndre Ringvej) og indeholder de to udstrømningsområder GWD5 og GWD7, hvor der forventes at strømme mest forurening ud i åen. GWD4 er placeret i en nu afsnøret meanderbue, hvorfor der ikke er udført borer langs selve meanderbuen, men i stedet nord for meanderbuen (B618 og B619) se Figur 6-13.

Analyseresultaterne for vandprøverne er vist i Tabel 6-7 og Tabel 6-8 og illustreret på Figur 6-14, Figur 6-15 og Figur 6-16.

Tabel 6-7: Udvælgte analyseresultater fra borer i området GWD4/GWD5-GWD8. Chlorerede oplosningsmidler og nedbrydningsprodukter og farmaceutiske stoffer i  $\mu\text{g/l}$  samt k-værdier i  $\text{m/s}$ .

Borings ID/filter nr.	DGU nr.	Filtersætning (m u.t.)	TCE	DCE	VC	Sum chlorerede	Sulfanilsyre	Sum Sulfonamider	Sum Barbiturater	K[m/s]
B618-1	114.3991	18-19	0,065	1,7	2	3,77	210	196	752	1,12E-04
B618-2	114.3992	9-10	0,093	11	16	27,1	180	11	1471	1,52E-04
B618-3	114.3993	3-4	6,9	6,4	0,56	13,9	180	98	5	6,53E-05
B619-1	114.3994	16-17	<0,02	0,8	4,5	5,3	140	190	334	1,35E-04
B619-2	114.3995	6-7	0,41	25	630	655	360	153	854	1,00E-05
B619-3	114.3996	3-4	38	5300	1100	6438	440	249	125	5,38E-05
B620-1	114.3997	17-18	<0,02	8,9	510	519	180	224	692	9,40E-05
B620-2	114.3998	8-9	0,2	19	140	159	150	72	2581	4,24E-05
B620-3	114.3999	3-4	1,2	250	760	1011	16	958	413	6,76E-05
B621-1	114.4000	17,5-18,5	<0,02	4,8	400	405	52	139	233	1,81E-04
B621-2	114.4001	8-9	0,15	1300	2800	4100	1500	250	365	1,21E-05
B621-3	114.4002	3-4	3,2	70	28	101	400	78	35	1,09E-04
B622-1	114.4052	33-34	<0,02	1,4	160	161	120	202	345	7,68E-05
B622-2	114.4003	27,5-28,5	<0,02	4,3	79	83	13	29	61	4,81E-04
B622-3	114.4004	17,5-18,5	0,035	50	260	310	58	283	427	8,90E-05
B622-4	114.4005	8-9	0,2	480	790	1270	17	2177	275	2,26E-04
B622-5	114.4006	3-4	36	270	200	506	14	1729	133	5,09E-05
B623-1	114.4007	18-19	<0,02	0,72	53	54	100	165	542	5,72E-05
B623-2	114.4008	10-11	<0,02	4,7	100	105	400	17	130	2,23E-04
B623-3	114.4009	7-8	2,6	35	410	448	15	74	159	2,30E-04
B623-4	114.4010	3-4	<0,02	<0,02	<0,02	#	0,66	1	2	8,72E-05
B624-1	114.4011	18-19	<0,02	<0,02	0,071	0,07	5,4	#	#	7,69E-05
B624-2	114.4012	12-13	<0,02	0,23	200	200	11	3	99	2,81E-04
B624-3	114.4013	7-8	<0,02	9,3	900	909	57	33	139	1,92E-04
B624-4	114.4014	3-4	0,27	38	210	248	<0,1	812	207	1,15E-04
B625-1	114.4015	18-19	<0,02	2,7	3,6	6	50	21	1286	7,42E-05
B625-2	114.4016	12-13	<0,02	1,4	440	441	1800	6	71	4,28E-04
B625-3	114.4017	7-8	0,64	130	67	198	770	576	195	2,31E-04
B625-4	114.4018	3-4	<0,02	94	1200	1294	3800	217	161	5,74E-05
B613-1	114.3972	19-20	<0,02	0,28	0,6	0,88	27	1	106	4,74E-05
B613-2	114.3973	12-13	<0,02	3	280	283	840	43	173	1,97E-04
B613-3	114.3974	7-8	<0,02	27	660	687	8200	83	102	1,03E-04
B613-4	114.3975	3,5-4,5	0,56	100	81	182	3300	493	232	7,94E-05
B612-1	114.3968	18,5-19,5	<0,02	0,47	1,2	1,67	38	45	265	7,03E-05
B612-2	114.3969	12-13	0,073	92	960	1052	107	105	189	2,34E-04
B612-3	114.3970	7,5-8,5	0,053	56	160	216	507	205	110	2,60E-04
B612-4	114.3971	3,5-4,5	3,2	2,4	0,029	5,63	0,22	35	52	1,60E-04
B611-1	114.3962	33-34	<0,02	1,4	2,4	3,8	43	15	537	6,82E-06
B611-2	114.3963	26-27	<0,02	<0,02	0,043	0,04	<0,1	#	6	7,85E-06
B611-3	114.3964	17,5-16,5	<0,02	0,19	1,7	1,9	25	29	90	7,54E-05
B611-4	114.3965	12-13	<0,02	30	200	230	2900	34	33	1,70E-04
B611-5	114.3966	7,5-8,5	<0,02	0,91	2,2	3,1	14	26	44	2,50E-04

B611-6	114.3967	3,5-4,5	0,059	0,25	0,12	0,43	<0,1	64	198	1,92E-04
B614-1	114.3976	19-20	<0,02	<0,02	<0,02	#	<0,1	#	#	7,52E-05
B614-2	114.3977	11-12	<0,02	<0,02	<0,02	0,04	130	1	5	4,76E-05
B614-3	114.3978	6,5-7,5	<0,02	<0,02	<0,02	0,00	<0,1	#	#	1,66E-05
B614-4	114.3979	3-4	0,093	230	390	620	11000	396	111	8,33E-05
B633-1	114.4042	20-21	<0,02	<0,02	<0,02	<	<0,1	#	#	3,54E-04
B633-2	114.4043	12-13	0,076	42	36	78,1	3000	200	9	1,63E-04
B633-3	114.4044	7-8	0,058	23	110	133	4800	153	11	3,76E-06
B633-4	114.4045	3-4	0,033	0,13	0,16	0,32	8,5	13	6	3,66E-05
B626-1	114.4019	21-22	<0,02	<0,02	<0,02	#	<0,10	#	#	7,65E-05
B626-2	114.4020	12-13	<0,02	0,3	0,12	0,42	530	34	34	2,22E-04
B626-3	114.4021	7-8	<0,02	0,13	<0,02	0,13	390	11	24	5,11E-06
B626-4	114.4022	3-4	0,048	<0,02	<0,02	0,05	7,5	1	7	1,30E-04
B627-1	114.4023	20,5-21,5	<0,02	<0,02	0,13	0,13	1,8	2	8	1,48E-04
B627-2	114.4024	12,2-13,2	0,07	13	3,3	16,4	1400	54	9	1,22E-06
B627-3	114.4025	8,8-9,8	<0,02	34	17	51	1500	40	12	1,01E-06
B627-4	114.4026	3-4	0,058	24	9,5	33,6	1500	96	15	9,34E-05
B628-1	114.4027	18-19	<0,02	<0,02	<0,02	#	<0,1	#	#	1,32E-04
B628-2	114.4028	10-11	<0,02	0,024	<0,02	0,02	1100	13	17	2,19E-04
B628-3	114.4029	6-7	<0,02	0,036	<0,02	0,04	1100	7	12	2,69E-06

< = Indhold under detektions grænse, #: ingen parametre påvist over detektionsgrænsen.

Tabel 6-8: Boringer i området for GWD4/GWD5-GWD8. Redox forhold/geokemi, koncentrationer i mg/l.

Borings ID/filter nr.	DGU nr.	Filtersætning (m u.t.)	Ilt (O <sub>2</sub> )	Nitrat	Ammonium	Jern (Fe <sup>++</sup> )	Sulfat	Metan (CH <sub>4</sub> )	Redoxforhold
B618-1	114.3991	18-19	0,03	0,12	0,23	42	7,5	1,9	Methanogen
B618-2	114.3992	9-10	0,04	<0,1	0,11	5	35	0,45	Jernsulfatreduc.
B618-3	114.3993	3-4	0,28	5,2	0,91	0,57	46	0,35	Blandingsvand
B619-1	114.3994	16-17	0,04	<0,1	0,3	38	14	3,6	Methanogen
B619-2	114.3995	6-7	0,03	<0,1	1,1	2,7	36	4,6	Jernsulfatreduc.
B619-3	114.3996	3-4	0,14	0,58	0,88	2,7	47	3,7	Jernsulfatreduc.
B620-1	114.3997	17-18	0,03	0,2	1,9	46	24	10	Jernsulfatreduc.
B620-2	114.3998	8-9	0,03	1,2	0,27	3,6	20	7,7	Blandingsvand
B620-3	114.3999	3-4	0,03	<0,1	3,1	18	36	5,3	Jernsulfatreduc.
B621-1	114.4000	17,5-18,5	0,20	<0,1	1	23	1,7	5,3	Methanogen
B621-2	114.4001	8-9	0,08	0,41	1,2	8,8	17	12	Methanogen
B621-3	114.4002	3-4	0,93	9,8	1	6,5	34	0,94	Blandingsvand
B622-1	114.4052	33-34	0,06	0,63	1,3	23	8,3	5,8	Methanogen
B622-2	114.4003	27,5-28,5	0,03	<0,1	0,35	14	2,6	9,4	Methanogen
B622-3	114.4004	17,5-18,5	0,06	0,25	2,1	59	<0,5	2,4	Methanogen
B622-4	114.4005	8-9	0,03	0,2	2,9	2,5	57	3,5	Jernsulfatreduc.
B622-5	114.4006	3-4	0,21	<0,10	2,6	32	62	1,6	Jernsulfatreduc.
B623-1	114.4007	18-19	0,05	<0,10	0,88	66	2,3	4,3	Methanogen
B623-2	114.4008	10-11	0,21	0,21	0,43	19	24	7	Jernsulfatreduc.
B623-3	114.4009	7-8	0,03	0,54	0,5	7,9	53	1,2	Jernsulfatreduc.

B623-4	114.4010	3-4	3,49	18	0,032	2	17	0,081	Blandingsvand
B624-1	114.4011	18-19	0,03	0,19	<0,004	11	4,4	<0,01	Methanogen
B624-2	114.4012	12-13	0,07	0,18	0,24	15	15	12	Methanogen
B624-3	114.4013	7-8	0,38	<0,1	0,31	9,6	35	7,2	Jernsulfatreduc.
B624-4	114.4014	3-4	0,02	<0,1	1,1	24	62	1,1	Jernsulfatreduc.
B625-1	114.4015	18-19	0,05	0,18	0,21	30	2,7	1,2	Methanogen
B625-2	114.4016	12-13	0,03	0,22	0,38	13	20	5,4	Methanogen
B625-3	114.4017	7-8	0,03	0,59	2,1	16	100	4	Jernsulfatreduc.
B625-4	114.4018	3-4	0,03	0,3	2,2	26	68	0,39	Jernsulfatreduc.
B613-1	114.3972	19-20	0,10	0,24	0,15	17	2,9	0,31	Methanogen
B613-2	114.3973	12-13	0,04	0,26	0,65	14	14	5,9	Methanogen
B613-3	114.3974	7-8	0,23	<0,1	1,1	2,7	130	3,1	Jernsulfatreduc.
B613-4	114.3975	3,5-4,5	0,28	<0,1	3	13	85	0,62	Jernsulfatreduc.
B612-1	114.3968	18,5-19,5	0,04	0,03	0,19	32	1,9	0,4	Methanogen
B612-2	114.3969	12-13	0,21	0,03	1,1	4,4	50	5,9	Jernsulfatreduc.
B612-3	114.3970	7,5-8,5	0,08	0,02	6,3	5,5	160	1,2	Jernsulfatreduc.
B612-4	114.3971	3,5-4,5	0,03	0,03	0,29	3,5	33	0,075	Jernsulfatreduc.
B611-1	114.3962	33-34	0,03	<0,1	0,13	19	4,5	0,92	Methanogen
B611-2	114.3963	26-27	0,04	0,33	0,15	36	130	0,058	Jernsulfatreduc.
B611-3	114.3964	17,5-16,5	0,04	0,27	0,23	34	<0,5	1,1	Methanogen
B611-4	114.3965	12-13	0,03	<0,1	0,7	24	73	5	Jernsulfatreduc.
B611-5	114.3966	7,5-8,5	0,06	0,15	0,27	14	50	0,17	Jernsulfatreduc.
B611-6	114.3967	3,5-4,5	0,05	1,7	0,58	2,1	36	0,028	Blandingsvand
B614-1	114.3976	19-20	0,03	<0,1	0,18	21	4,1	0,012	Methanogen
B614-2	114.3977	11-12	0,07	<0,1	0,18	22	2,1	0,27	Methanogen
B614-3	114.3978	6,5-7,5	0,25	<0,1	0,024	18	30	<0,01	Jernsulfatreduc.
B614-4	114.3979	3-4	0,40	0,13	2,4	46	140	5,7	Jernsulfatreduc.
B633-1	114.4042	20-21	0,04	0,48	0,21	21	5,5	0,01	Methanogen
B633-2	114.4043	12-13	0,03	0,12	0,7	57	160	1,6	Jernsulfatreduc.
B633-3	114.4044	7-8	0,03	<0,1	0,77	61	200	3,6	Jernsulfatreduc.
B633-4	114.4045	3-4	1,20	9,8	0,039	2,1	30	<0,01	Blandingsvand
B626-1	114.4019	21-22	0,05	2,4	<0,004	22	13	0,013	Methanogen
B626-2	114.4020	12-13	0,03	0,86	0,29	6,4	55	0,11	Jernsulfatreduc.
B626-3	114.4021	7-8	0,03	0,68	<0,004	7,1	31	0,028	Jernsulfatreduc.
B626-4	114.4022	3-4	1,11	15	0,023	0,055	22	<0,01	Oxideret
B627-1	114.4023	20,5-21,5	0,04	0,2	0,15	16	3,9	0,23	Methanogen
B627-2	114.4024	12,2-13,2	-	0,11	0,16	140	76	0,23	Jernsulfatreduc.
B627-3	114.4025	8,8-9,8	-	<0,1	0,18	88	110	0,18	Jernsulfatreduc.
B627-4	114.4026	3-4	0,07	0,77	0,14	20	120	0,29	Jernsulfatreduc.
B628-1	114.4027	18-19	0,03	0,24	0,13	8,4	15	0,011	Methanogen
B628-2	114.4028	10-11	0,06	0,18	0,2	7,5	68	0,084	Jernsulfatreduc.
B628-3	114.4029	6-7	1,05	1,5	0,14	19	32	0,053	Blandingsvand

\* < = Indhold under detektions grænse – ikke målt.

Af nedenstående Figur 6-14 ses, at der konstateres høje/meget høje indhold af vinylchlorid og sum chlorerede i alle borerne fra øst og hen til B626 i GWD5, GWD6 og GWD7 i filtrene over brunkulslaget. I de fleste af filtrene udgør vinylchlorid hovedparten af sum chlorerede, men også DCE udgør en væsentlig andel af de chlorerede stoffer. I enkelte (primært terrænnære) filtre udgør DCE hovedparten af sum chlorerede. Der er kun påvist spor af sum chlorerede og ingen indhold af vinylchlorid over detektionsgrænsen i B628 længst mod vest, og den øvre fane med

sum chlorerede/vinylchlorid vurderes dermed afgrænset mod vest mellem B627 og B628 (efter GWD8).

I boringerne B620, B621 og B622 i GWD5 (placeret mod øst og nord i meanderbuen) konstateres der endvidere høje indhold af sum chlorerede og vinylchlorid i filtrerne lige under laget af brunkul og under laget af ler, der i B622 er konstateret 25 m u.t. (omkring kote 9). Den dybe fane (lige under brunkulslaget) med sum chlorerede og vinylchlorid aftager betydeligt mod øst mellem B620 og B619 og mod vest omkring B623, med lave indhold i filtrerne under brunkulslaget samt i de dybe filtre i B611 i GWD7 længere mod vest. Den dybe fane vurderes dermed at være af begrænset horisontal udbredelse.

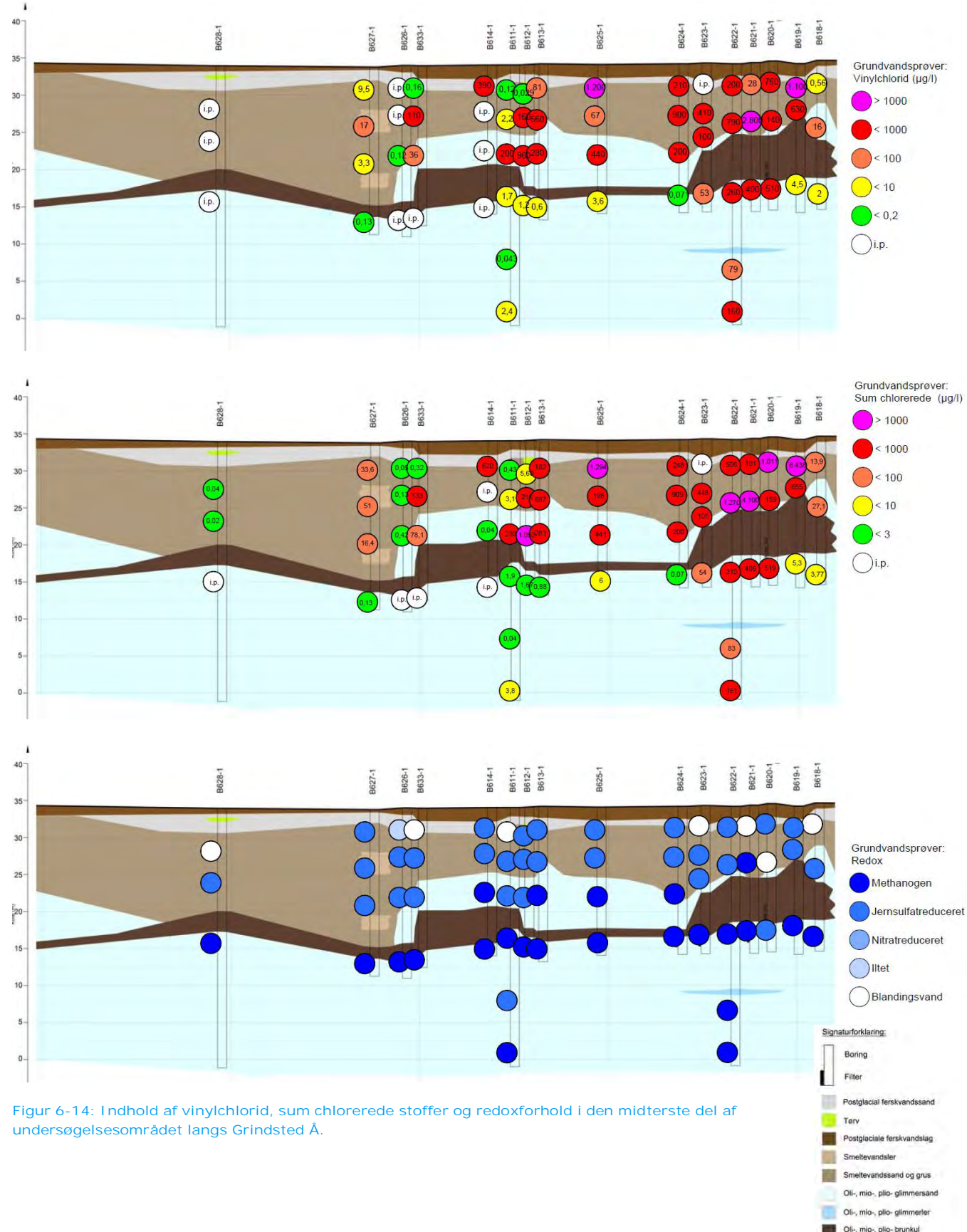
I B612 og B618 er der i de terrænnære filtre konstateret indhold af PCE på hhv. 110 og 99 µg/l, hvor sum af chlorerede (TCE+DCE+VC) er beregnet til hhv. 5,63 og 13,9 µg/l, der konstateres således et ret højt indhold af PCE i de 2 terrænnære filtre i forhold til de øvrige konstaterede indhold af chlorerede stoffer. Det høje indhold af PCE er kun konstateret i de terrænnære filtre i disse boringer, og vurderes at være af begrænset omfang og udbredelse. Indholdet vurderes ikke at stamme fra fabriksgrundens.

Indholdet af sum sulfonamider og sum barbiturater er højest i boringerne B618, B620 og B622 placeret før og i GWD5. Koncentrationerne aftager mod vest i GWD6 og GWD7, og indholdet aftager yderligere i GWD8, men er stadig påvist. De høje koncentrationer af sulfonamider og barbiturater forekommer både over og under laget af brunkul, men aftager mod vest i B626 og B627. Fanen med sum barbiturater er afgrænset mod vest i GWD7 mellem B611 og B612 både terrænnært og i dybden, hvorimod fanen med sulfonamider spredt sig længere mod vest til GWD8 omkring B633. Fanen med sulfanilsyre har et andet udseende end fanerne for sum sulfonamider og sum barbiturater. De højeste indhold af sulfanilsyre er påvist i den vestlige del, hvor sum sulfonamider og sum barbiturater er meget lavere.

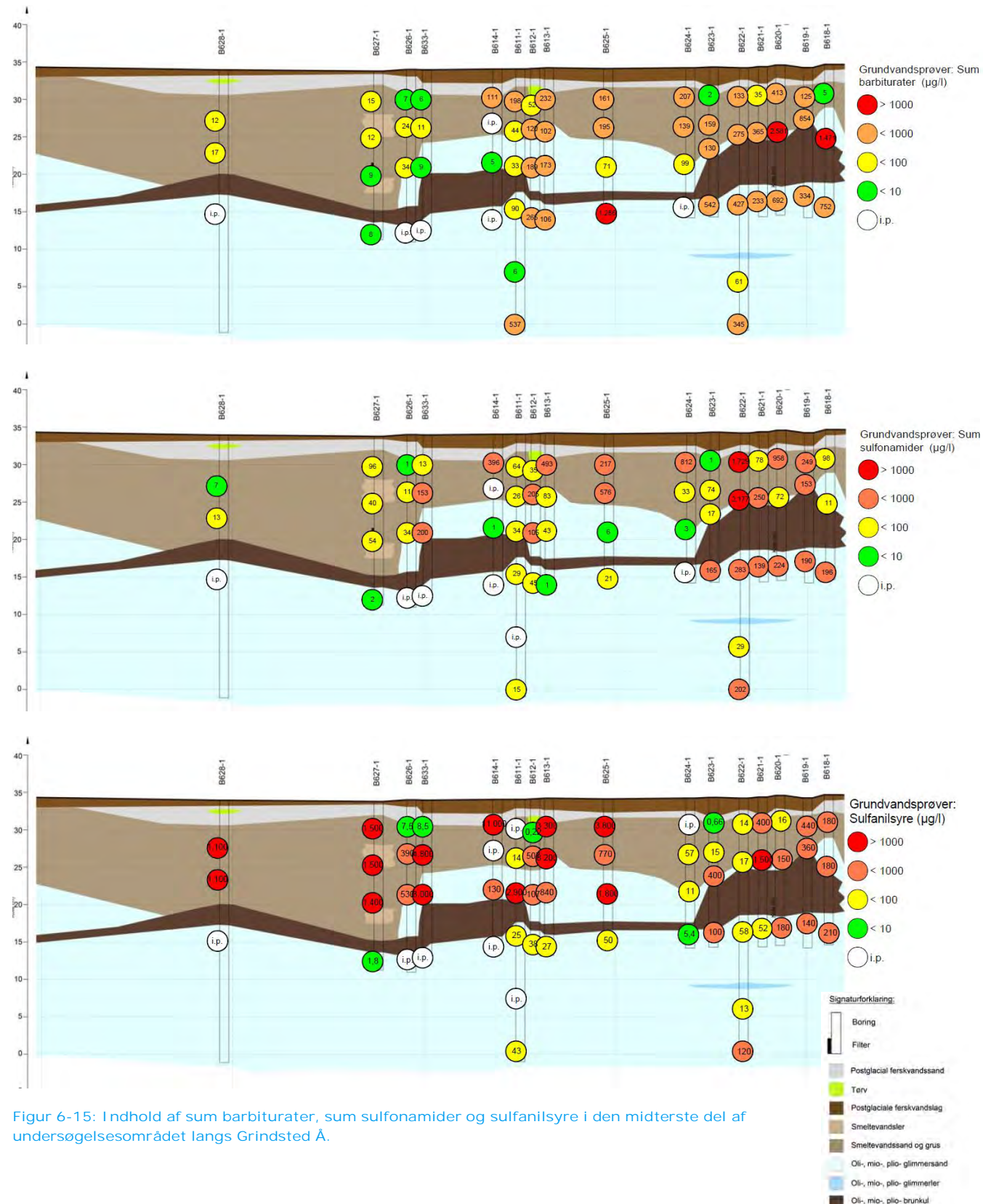
De hydrauliske ledningsevner målt i de primære indsvinningsområder GWD5, GWD6 og GWD7 er høje til mellem ( $>1,0 \cdot 10^{-4} - 1 \cdot 10^{-5}$  m/s) og indikerer dermed en høj tilstrømning af vand. I den vestlige del er der lidt lavere hydraulisk ledningsevne, hvilket også ses i de dybe filtre i B611.

Der er gode nedbrydningsforhold for chlorerede opløsningsmidler i magasinet med methanogene forhold under laget af brunkul, og jernsulfat reducerende forhold over laget af brunkul.

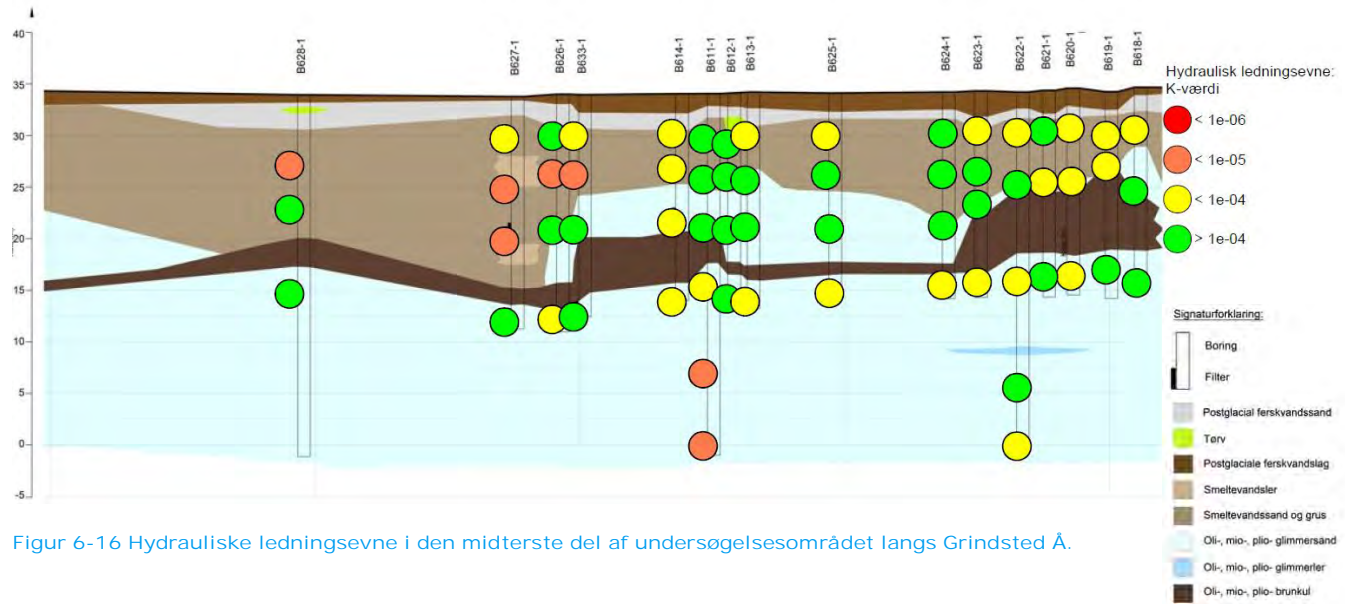
Samlet kan det for det midterste stykke af transektet ved åen konkluderes at ingen fanerne er afgrænset i dybden. Der er meget høje koncentrationer af sum klorerede (og VC) længst mod vest over hele dybden, og betragtelige koncentrationer af sulfanilsyre længst mod vest men ikke under kullaget længst mod vest.



Figur 6-14: Indhold af vinylchlorid, sum chlorerede stoffer og redoxforhold i den midterste del af undersøgelsesområdet langs Grindsted Å.



Figur 6-15: Indhold af sum barbiturater, sum sulfonamider og sulfanilsulfosyre i den midterste del af undersøgelsesområdet langs Grindsted Å.



Figur 6-16 Hydrauliske ledningsevne i den midterste del af undersøgelsesområdet langs Grindsted Å.

### 6.3.3 Vestlige del, borer i Engsøen/vest for Søndre Ringvej, GWD9-GWD10



Figur 6-17 Placeringen af borer vest for Søndre Ringvej/langs Engsøen GWD9-GWD10

Der er etableret 3 bore lokaliteter vest for Søndre Ringvej. Bore lokaliteterne er placeret hhv. midt i GWD9 og i den østlige del af GWD10 samt en bore lokalitet B634 midt mellem de to indsivningsområder i den nordlige side af en meanderbue se Figur 6-17. Der er ikke etableret bore lokaliteter i indsivningsområde GWD11 længere mod vest, da resultaterne af screeningen med Direct Push sonderinger ikke viste tegn på forurening i dette område. Analyseresultaterne for vandprøverne er vist i Tabel 6-9 og Tabel 6-10 og illustreret på Figur 6-18, Figur 6-19 og Figur 6-20.

Tabel 6-9: Udvalgte analyseresultater fra borer i området GWD9-GWD10. Chlorerede opløsningsmidler og nedbrydningsprodukter og farmaceutiske stoffer i  $\mu\text{g/l}$  samt k-værdier i  $\text{m/s}$ .

Borings ID/filter nr.	DGU nr.	Filtersætning (m u.t.)	TCE	DCE	VC	Sum chlorerede	Sulfanilsyre	Sum Sulfonamider	Sum Barbiturater	K-værdi [m/s]
B629-1	114.4030	22-23	<0,02	<0,02	<0,02	#	<0,1	#	#	5,96E-05

B629-2	114.4031	12-13	<0,02	0,25	<0,02	0,25	2400	10	14	1,91E-04
B629-3	114.4032	6-7	<0,02	<0,02	<0,02	#	57	2	#	1,57E-04
B634-1	114.4046	23,5-24,5	<0,02	<0,02	0,24	0,24	1100	#	2	8,06E-05
B634-2	114.4047	12-13	<0,02	<0,02	<0,02	#	530	1	1	1,33E-04
B634-3	114.4048	6-7	<0,02	<0,02	<0,02	#	120	#	#	1,57E-04
B630-1	114.4033	25,5-26,5	<0,02	<0,02	2,2	2,2	1400	2	3	9,18E-05
B630-2	114.4034	12-13	<0,02	<0,02	<0,02	#	1200	#	#	1,53E-04
B630-3	114.4035	6-7	<0,02	<0,02	<0,02	#	700	#	#	1,21E-04

< = Indhold under detektions grænse, #: ingen parametre påvist over detektionsgrænsen.

Tabel 6-10: Boringer i området GWD9-GWD10. Redox forhold/geokemi, koncentrationer i mg/l.

Borings ID/filter nr.	DGU nr.	Filtersætning (m u.t.)	Ilt (O <sub>2</sub> )	Nitrat	Ammonium	Jern (Fe <sup>++</sup> )	Sulfat	Metan (CH <sub>4</sub> )	Redoxforhold
B629-1	114.4030	22-23	0,05	0,28	0,15	6,6	3,6	0,074	Methanogen
B629-2	114.4031	12-13	0,04	0,39	0,085	2,2	30	0,5	Jernsulfatreduc.
B629-3	114.4032	6-7	0,21	1,7	0,064	4	38	<0,01	Blandingsvand
B634-1	114.4046	23,5-24,5	0,03	0,2	0,68	10	<0,5	4,4	Methanogen
B634-2	114.4047	12-13	0,04	0,99	<0,004	3,9	47	0,88	Jernsulfatreduc.
B634-3	114.4048	6-7	0,03	0,31	<0,004	4,6	29	0,04	Jernsulfatreduc.
B630-1	114.4033	25,5-26,5	0,03	0,35	1,2	3,1	5,6	6,9	Methanogen
B630-2	114.4034	12-13	0,03	0,75	<0,004	3,1	18	0,36	Methanogen
B630-3	114.4035	6-7	0,03	<0,1	0,058	2,9	23	0,13	Jernsulfatreduc.

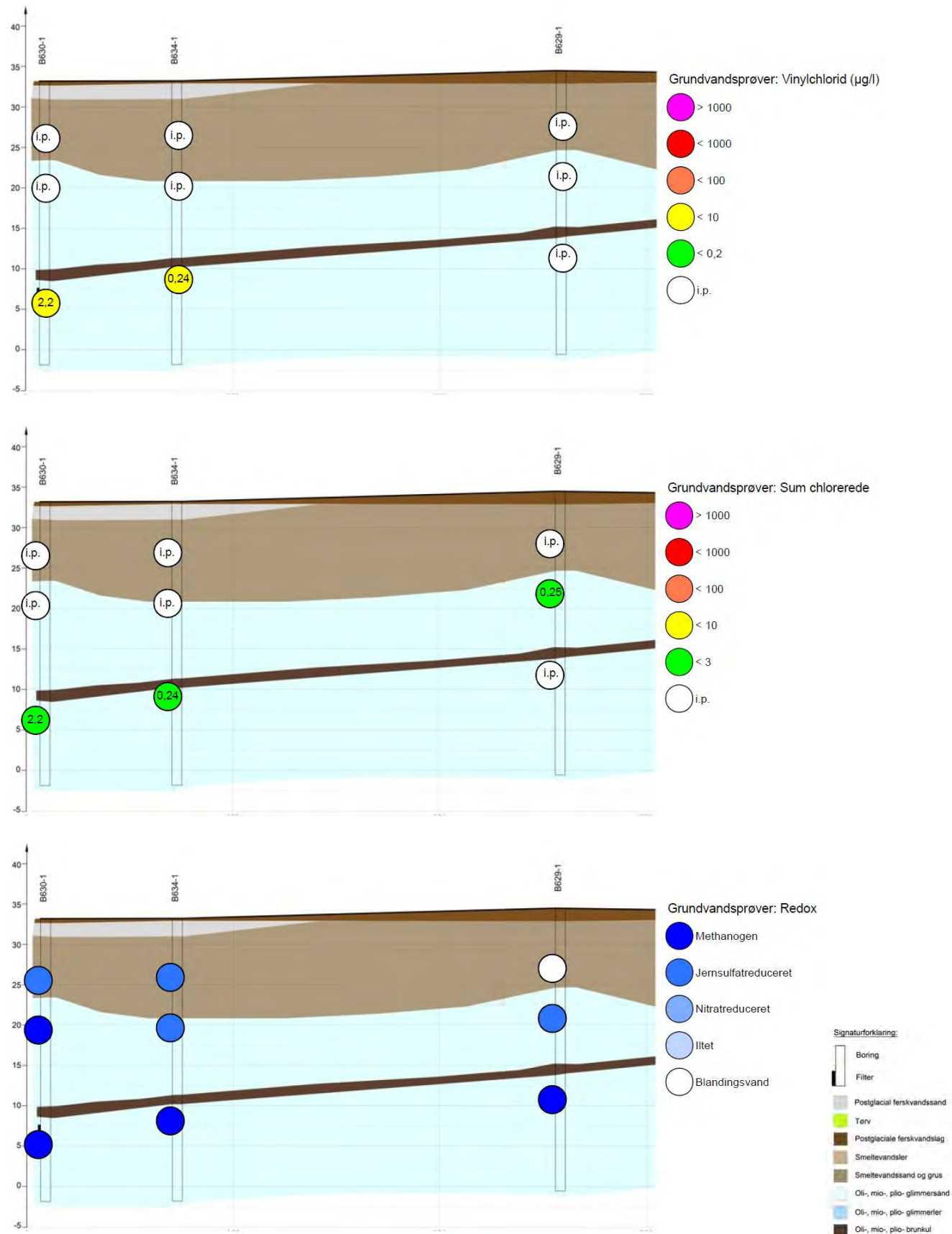
\* < = Indhold under detektions grænse

Af nedenstående Figur 6-18 ses, at der er fundet mindre indhold af sum chlorerede (hele indholdet udgøres af vinylchlorid) i 2 ud af de 3 boringer og kun i de dybe filtre under laget af brunkul.

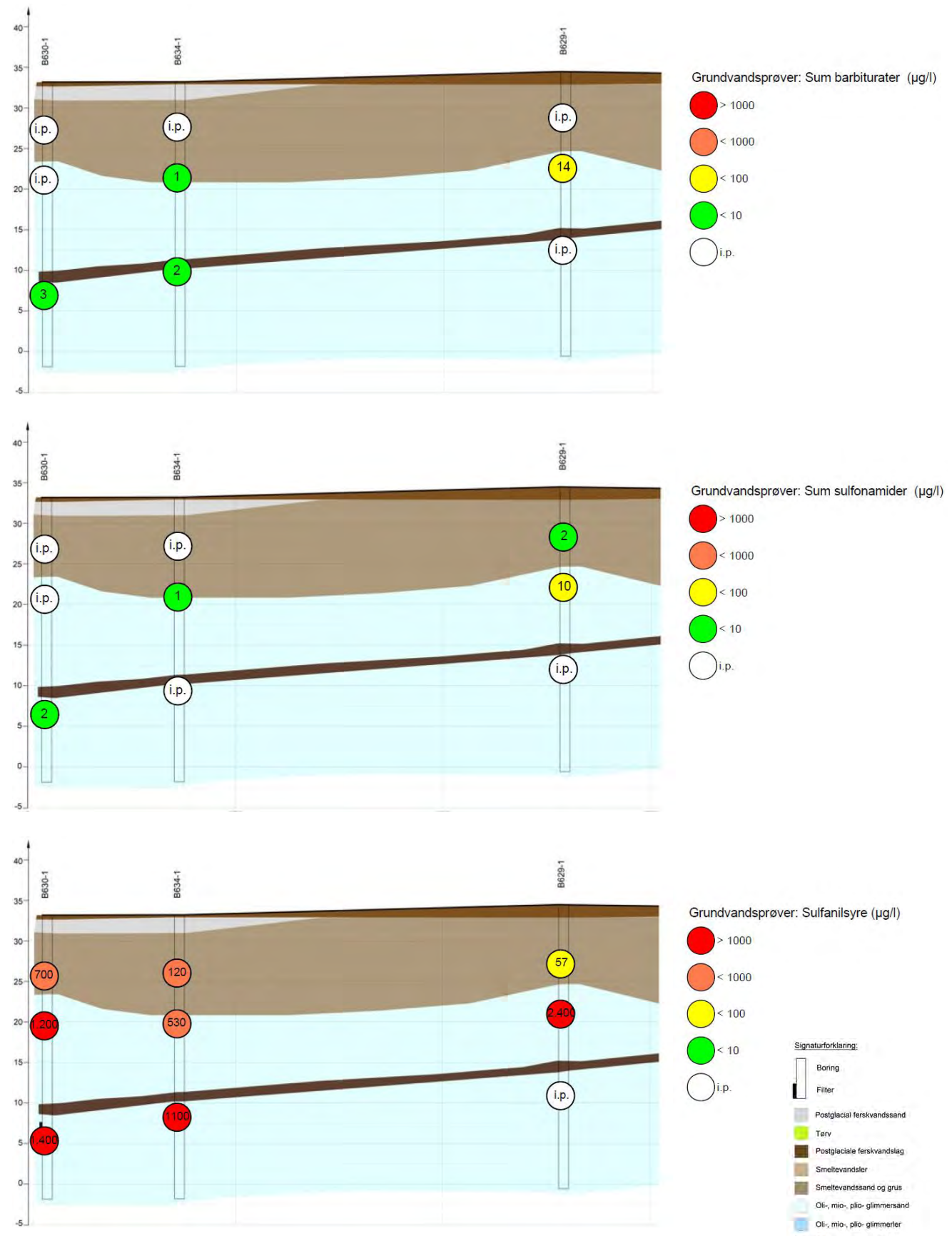
Af Figur 6-19 ses, at koncentrationen af sulfanilsyre er markant højere end de andre farmaceutiske stoffer. Fanen med sulfanilsyre er ikke afgrænset hverken i dybden eller mod vest. Det bemærkes, at der ikke konstateres indhold af sulfanilsyre i det nedre filter i B629, men at det er i denne dybde de højeste indhold er påvist i de 2 andre boringer. De dybe filtre er i alle tre boringer placeret lige under laget af brunkul.

Der konstateres generelt lave og aftagende indhold af sum chlorerede, sum sulfonamider og sum barbiturater på den vestlige del af strækningen langs åen især over brunkulslaget. Det bemærkes, at længst mod vest konstateres højere indhold af især sum klorerede i det dybe grundvand under laget af brunkul sammenlignet med over brunkulslaget, men der er tale om lave koncentrationer. Både den øvre og nedre fane med sum sulfonamider, sum barbiturater og sum klorerede vurderes afgrænset mod vest. Fanen med sulfanilsyre er ikke afgrænset hverken mod vest eller i dybden.

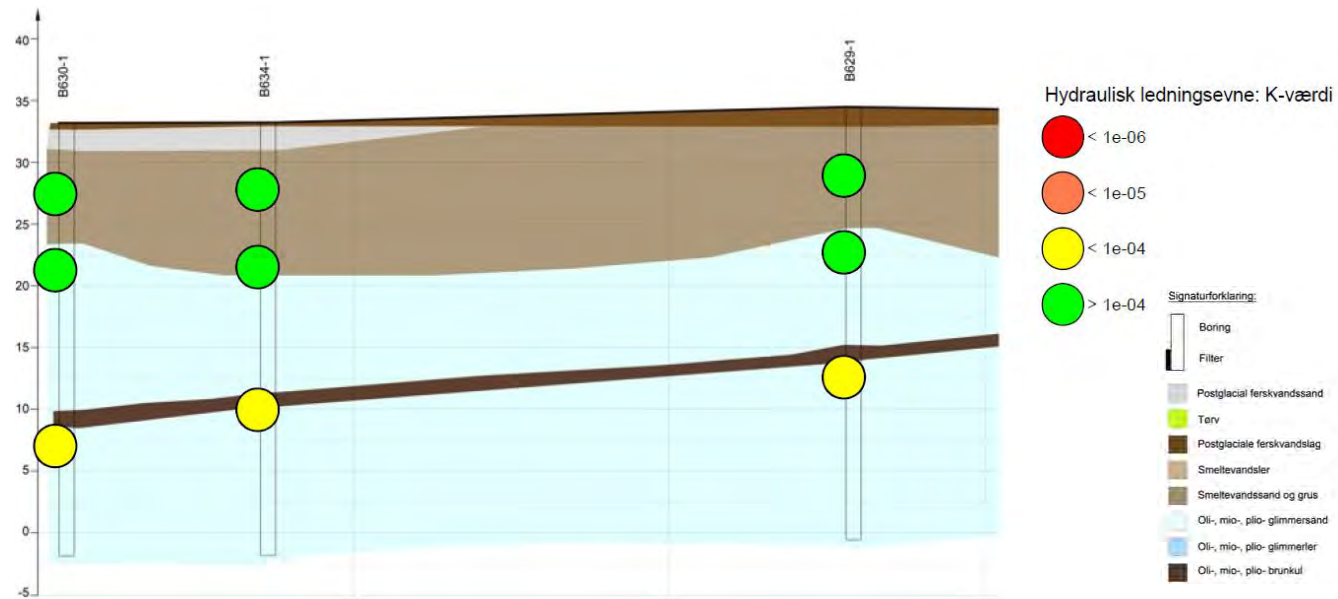
De hydrauliske ledningsevner er høje til mellem ( $>1,0 \cdot 10^{-4} - 1 \cdot 10^{-5}$  m/s) og indikerer dermed en høj tilstrømning af vand. Der er gode nedbrydningsforhold for chlorerede opløsningsmidler i magasinet med methanogene og jernsulfatreducerende forhold.



Figur 6-18: Indhold af vinylchlorid, sum chlorerede og redoxforhold i den vestligste del af undersøgelsesområdet langs Grindsted Å.



Figur 6-19: Indhold af sum barbiturater, sum sulfonamider og sulfanilsyre i den vestligste del af undersøgesområdet langs Grindsted Å.



Figur 6-20: Hydrauliske ledningsevne i den vestligste del af undersøgelsesområdet langs Grindsted Å.

#### 6.4 Slugtest

Resultaterne af udførte slugtest med tolkning af hydraulisk ledningsevne ( $k$ -værdi [ $m/s$ ]) for borerne i transekten, strømlinjen og langs Grindsted Å fremgår af ovenstående Tabel 6-1, Tabel 6-3, Tabel 6-5, Tabel 6-7 og Tabel 6-9 og data er vist på Figur 6-4, Figur 6-8, Figur 6-12, Figur 6-16 og Figur 6-20. De tolkede  $k$ -værdier ligger generelt i intervallet  $1 \cdot 10^{-4} m/s$  til  $1 \cdot 10^{-6} m/s$  svarende til groft til finkornet sand.

#### 6.5 Pejledata

Resultaterne af synkronpejlerunden udført oktober 2022 er vist på Figur 6-21. Data for optegning af potentialekortet er vedlagt i bilag 6 og potentialekortet er vedlagt i større format i bilag 7.

Overordnet er det tydeligt, at grundvandet strømmer fra nordøst mod sydvest – fra fabriksgrunden mod Grindsted Å. Gradienten mellem potentialelinjerne er størst i den østlige del af området tættest ved Svinget og det gamle rensningsanlæg. Længere mod vest ved Engsøen flader potentialet ud. Den sydøstlige strømningsretning i grundvandet er formentlig årsagen til, at de største forureningskoncentrationer er konstateret i borerne placeret i meanderbuer med en nordøstlig orientering.



Figur 6-21: Potentialekort optegnet på baggrund af synkronpejlinger udført oktober 2022 af Region Syddanmark og Rambøll /15/.

## 7. KONKLUSION

Der er udført en række undersøgelser af forureningsfanen fra fabriksgrunden i Grindsted. Det primære fokus med undersøgelserne har været at bidrage til yderligere afgrænsning af forureningsfanen og identifikation af indsvningsområder langs Grindsted Å og dermed fastlæggelse af indsatsområder for oprensning af forureningsfanen, inden forureningen strømmer ud i åen.

Undersøgelserne er udført primært ved etablering af en række bore lokaliteter, hvor der er etableret 3-6 filtre i forskellige dybder. Fra filtrene er der efterfølgende udtaget vandprøver til analyse, udført slugtest til bestemmelse af hydraulisk ledningsevne samt udført pejlinger af vandspejlet for optegning af bl.a. potentialekort. De indsamlede data indgår desuden i en række projekter hos DTU Miljø, samt i Region Syddanmarks opdatering af de eksisterende geologiske og hydrogeologiske modeller for området.

Geologien i de udførte borer er beskrevet, og i borerne udført i Grindsted By er der fundet kvartære smellevandsaflejringer med en tykkelse på ca. 20 m. Tykkelsen aftager mod syd mod åen, hvor der ånaert er ca. 5 m kvartære aflejringer. Under de kvartære aflejringer kommer de Miocæne aflejringer. Den øvre del udgøres primært af fin- til mellemkornede sandede aflejringer, men omkring 45-50 m u.t. bliver aflejringerne grovere. Ca. 65-70 m u.t. anbores Arnum Fm., hvor der i den øvre del træffes vekslende lag af fed, siltet, meget mørkebrunt, lamineret ler og glimmerholdigt sand. I de Miocæne sandaflejringer forekommer der lag af glimmerler, oftest med en tykkelse på ca. 1 m. I borerne udført langs åen er der i den centrale del konstateret et udbredt lag af brunkul. Laget dykker og tynder ud mod vest, mens det ikke er tilstede mod øst. Der er udført slugtest i de udførte borer for bestemmelse af den hydrauliske ledningsevne. De tolkede k-værdier ligger generelt i intervallet  $1 \cdot 10^{-4}$  m/s til  $1 \cdot 10^{-6}$  m/s svarende til groft til finkornet sand, hvilket stemmer med den geologiske beskrivelse af prøverne.

Der er udført flere runder af synkronpejlerunder, der viser, at der tættest på fabriksgrunden er svag nedadrettet gradient og midt i byen er der svag opadrettet gradient. Ved åen er der artesiske forhold under laget af brunkul med vandspejl op til 125 cm over terræn. I filtrene over brunkulslaget er der et frit magasin med vandspejl lige under terræn. I området mod øst, hvor laget af brunkul ikke er til stede, er der på trods af dette stadig artesiske forhold i de dybe filtre.

Der er udført tre dybe moniteringsboringer i Grindsted By, der sammen med to tidligere udførte borer nu udgør et transekts på tværs af/vinkelret på forureningsfanen fra fabriksgrunden. Samlet for dette transekt på tværs af fanen kan det konkluderes, at stofferne ikke spredes sig helt ens, men at de højeste koncentrationer findes i de midterste borer, og fanen er rimeligt godt afgrænset i dybden ved overgangen til Arnum Fm. 65-70 m u.t. Horisontalt er fanen afgrænset, undtagen for sulfanilsyre, sum barbiturater og sum klorerede, helt terrænnært mod øst, og sulfanilsyre helt terrænnært mod vest.

Sammenfattet ses der i strømlinjen fra fabriksgrunden til åen høje koncentrationer af klorerede (og VC) dybt i fanen centralt i byen og i hele dybden ved åen. De farmaceutiske stoffer ses i varierende koncentrationer i hele strømlinjen og over dybden, men med specielt høje koncentrationer af sulfanilsyre tæt ved terræn ved det gamle rensningsanlæg. Der er mere reducerer forhold tæt ved åen over hele dybden.

I borerne langs åen ses der en dyb forurening under laget af brunkul med både chlorerede opløsningsmidler og farmaceutiske stoffer i den centrale del af transekten i indsvningsområde GWD5. Fanen vurderes at være relativ smal, men er ikke afgrænset i dybden.

Over laget af brunkul ses den kraftigste forurening med chlorerede opløsningsmidler og farmaceutiske stoffer i et bredere centralt område ved GWD5 og GWD7, men der er også en betydelig forurening i den vestligste del af GWD6 (B625), hvor meanderbuen har en nordøstlig orientering. Fanen vurderes afgrænset mod vest omkring GWD8 (B627), da indholdet af chlorerede opløsningsmidler og farmaceutiske stoffer er aftagende. Fanen med sulfanilsyre er ikke afgrænset mod vest. Mod øst er fanerne afgrænset ved boring B636.

Der konstateres generelt lave og aftagende indhold af sum chlorerede, sum sulfonamider og sum barbiturater på den vestlige del af strækningen langs åen især over brunkulslaget. Det bemærkes, at længst mod vest konstateres højere indhold af især sum klorerede i det dybe grundvand under laget af brunkul sammenlignet med over brunkulslaget, men der er tale om lave koncentrationer. Både den øvre og nedre fane med sum sulfonamider, sum barbiturater og sum klorerede vurderes afgrænset mod vest. Fanen med sulfanilsyre er ikke afgrænset hverken mod vest eller i dybden.

## 8. REFERENCER

- /1/ Draborg, H., Ottosen, C. B., Broholm, M. M., Bjerg, P. L. (2021b). Note om indsvinvingsområder for forureningskomponenter til Grindsted Å. Internt notat, DTU Miljø, Danmarks Tekniske Universitet, Lyngby.
- /2/ Frederiksen, M., Broholm, M.M og Bjerg, P.L. (2019). Vurdering af jord- og grundvandsforurening på Grindstedværkets grund og påvirkning af nedstrøms grundvand. Institut for Vand og Miljøteknologi, Danmarks Tekniske Universitet.
- /3/ Andreasen, C.S. og Lade, C.B.M. (2021). Vurdering af grundvandsstrømninger og transport af farmaceutiske stoffer til Grindsted Å. Danmarks Tekniske Universitet.
- /4/ Rasmussen, E. S., Dybkjær, K. og Piasecki, S. (2010). Lithostratigraphy of the Upper Oligocene – Miocene succession of Denmark. Geological Survey of Denmark and Greenland, Bulletin 22.
- /5/ Maurya, P.K.; Balbarini, N.; Balling, I.; Rønde, V.; Christiansen, A.V.; Bjerg, P.L.; Auken, E.; Fiandaca, G. (2018) Subsurface imaging of water electrical conductivity, hydraulic permeability and lithology at contaminated sites by induced polarization, Geophysical Journal International. 213, 2, 770–785.
- /6/ NIRAS. (2009). Redegørelse over anvendte kemikalier på Grindstedværket og deres potentielle trussel i forhold til miljøet. (November).
- /7/ Rambøll (2020). Indsats over for jordforurening. Moniteringsboringer, Grindsted. Teknisk rapport. Pulje 9 2019. Udført på foranledning af Region Syddanmark.
- /8/ Frederiksen, M., Broholm, M.M og Bjerg, P.L. (2019). Vurdering af jord- og grundvandsforurening på Grindstedværkets grund og påvirkning af nedstrøms grundvand. Institut for Vand og Miljøteknologi, Danmarks Tekniske Universitet.
- /9/ Balbarini, N., Frederiksen, M., Rønde, V., Møller, I.B., Sonne, A.T., McKnight, U.S., Pedersen, J.K., Binning, P.J., Bjerg, P.L. (2020). Assessment of the fate of pharmaceutical compounds in a layered aquifer discharging to a stream. *Groundwater*, 58(2), 208-223.
- /10/ Balbarini, N.; Rønde, V.; Maurya, P.; Fiandaca, G.; Ingelise Møller, I.; Klint, K.E.; Christiansen, A.V.; Philip J. Binning, P.J.; Bjerg, P.L. (2018). Geophysics based contaminant mass discharge quantification downgradient of a landfill and a former pharmaceutical factory. *Water Resources Research*, 54, 8, 5436-5456.
- /11/ Region Syddanmark, 2021. Miniudbud af videregående forureningsundersøgelse (Pulje 30). 6. april 2021.
- /12/ Tilbud videregående forureningsundersøgelser pulje 30. Undersøgelser i Grindsted. Rambøll, 21. maj 2021.
- /13/ Notat nr. 08-EN-20. Palynologisk analyse af fem borer fra Grindsted. GEUS, december 2020.

- /14/ An Excel Workbook for Identifying Redox Processes in Ground Water. USGS. Open-File Report 2009-1004
- /15/ Indsamling af supplerende data til Monitoreringsplan for Grindsted. Afrapportering af Fase 2. Delrapport 1. Teknisk rapport. Udført efter anmodning fra Ribe Amt. Ejlskov (2005).
- /16/ Mail fra Regions Syddanmark med Pejledata, Synkronpejlinger og optegnede potentialekort. 24.03.2023

**APPENDIX A  
RAPPORT FASE I**

[Tekst]

**APPENDIX B  
DATARAPPORT FASE II**

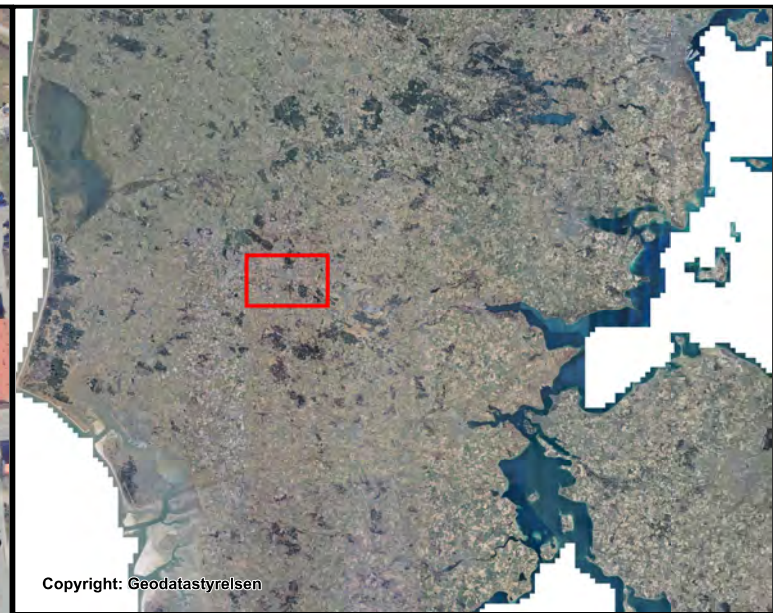
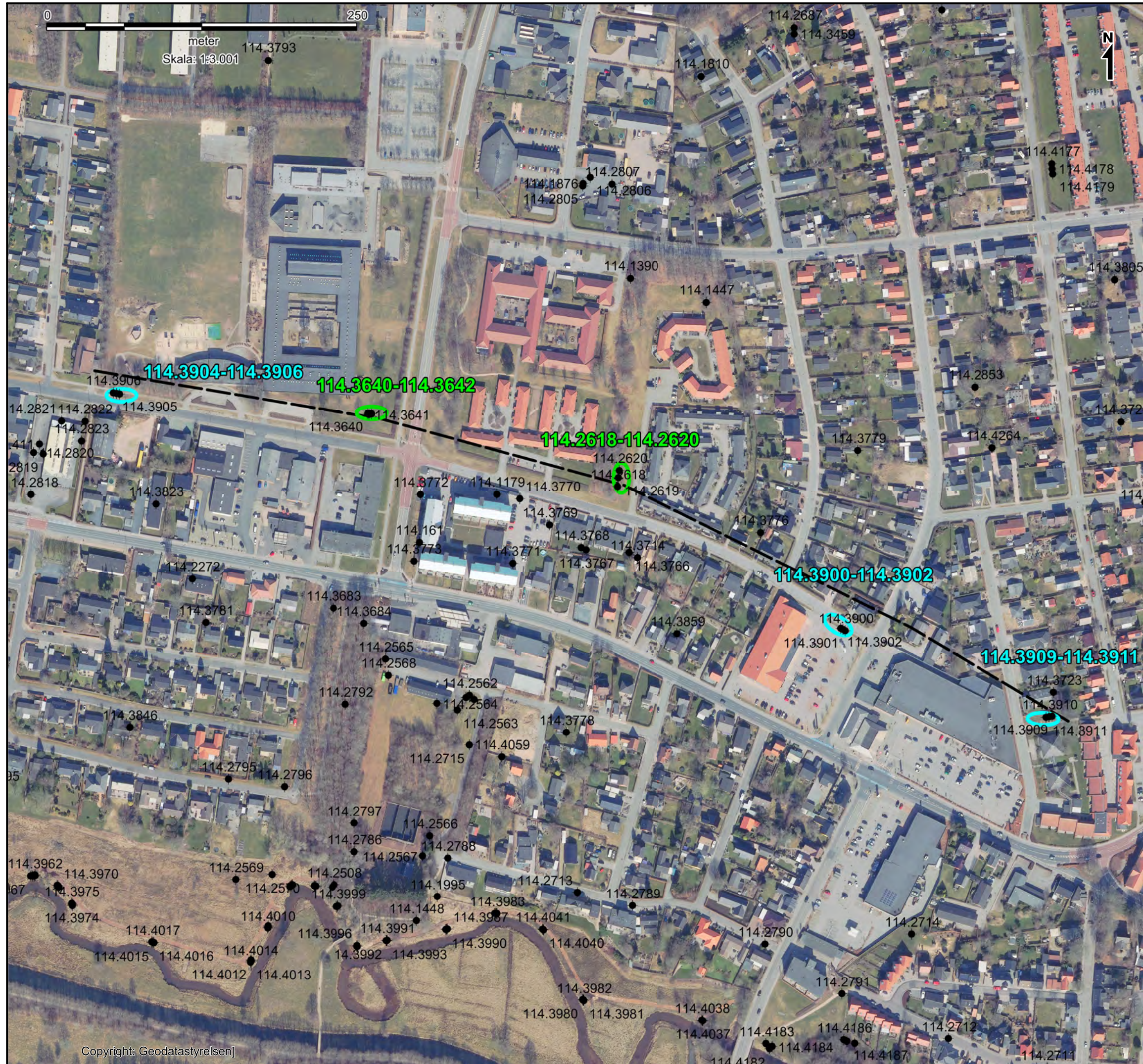
[Text]

**APPENDIX C  
DATARAPPORT FASE III**

**APPENDIX D  
ANALYSERAPPORTER FASE I-III**

[Text]

**BILAG 1  
OVERSIGTSKORT**



### Tegnforklaring

- Danske borer - Geus Jupiterdatabase
- Boresteder 2022
- Boresteder 2017 og B2019
- Transekts

Dato Konst/Tegn Kontrol Godk.  
21-04-2023 HGM BRB BRB

**RAMBØLL**

Englandsgade 25  
5000 Odense C  
Tlf. 5161 1000  
[www.ramboll.dk](http://www.ramboll.dk)

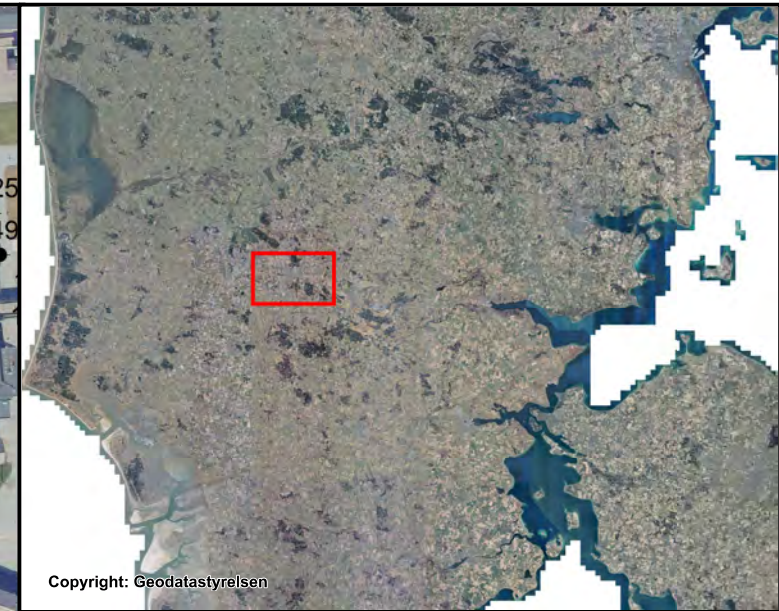
Sag 1100047870 Udg. 1 Mål 1:3000

**Region Syddanmark**  
**Videregående undersøgelser 2021, Pulje 30**

Grindsted Lok. nr. 565-00072

Oversigtskort - Borer i transekt

Bilag 1A



Tegnforklaring

- Danske borer - Geus Jupiterdatabase

Boringer placeret på strømlinjesnit mod Grindsted Å

	Boringer udført 2022
	Boringer udført ved tidl. borekampagner

Dato	Konst./Tegn	Kontrol	Godk.
21-04-2023	HGM	BBB	BBB

RAMBOLL

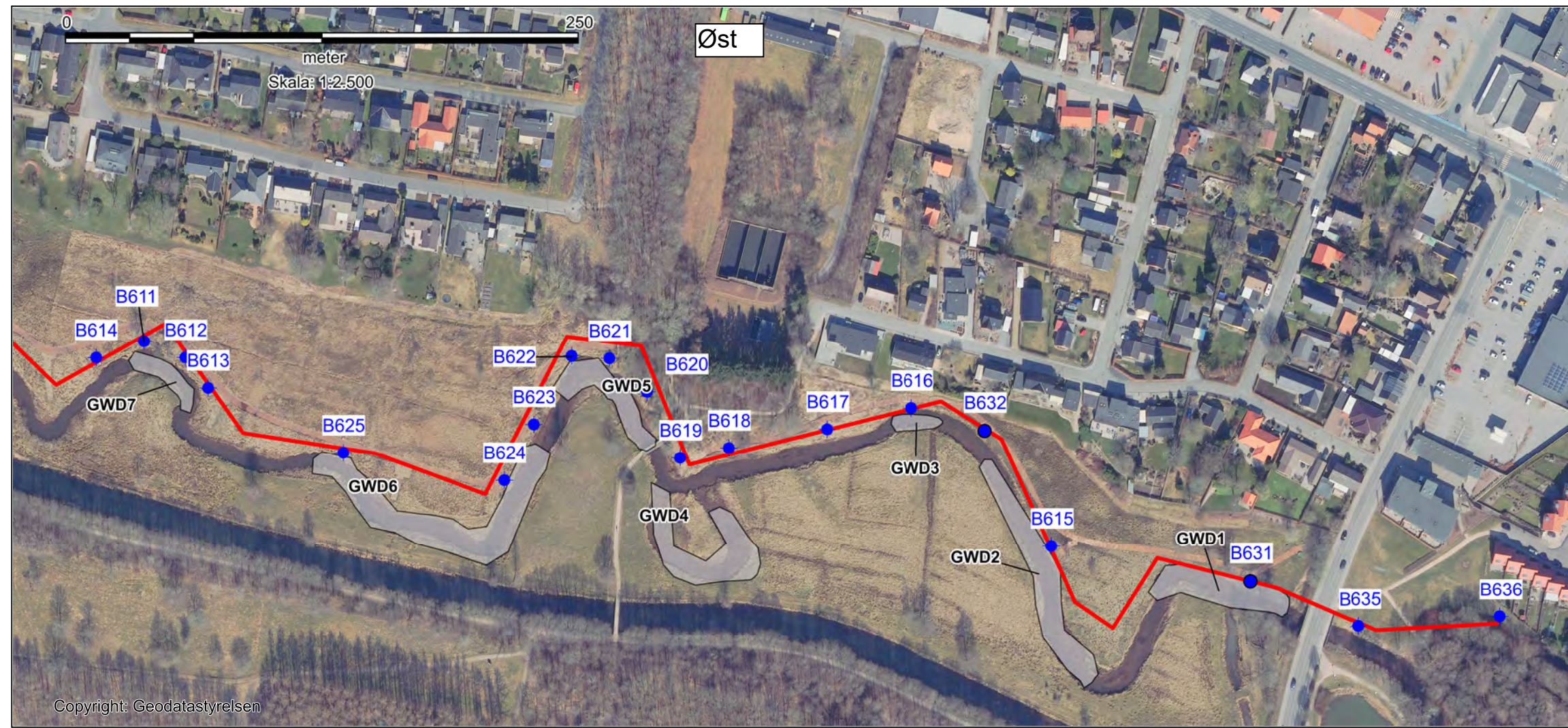
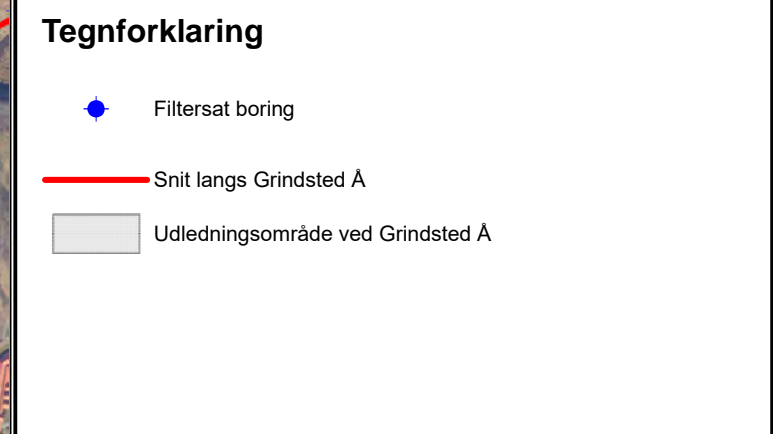
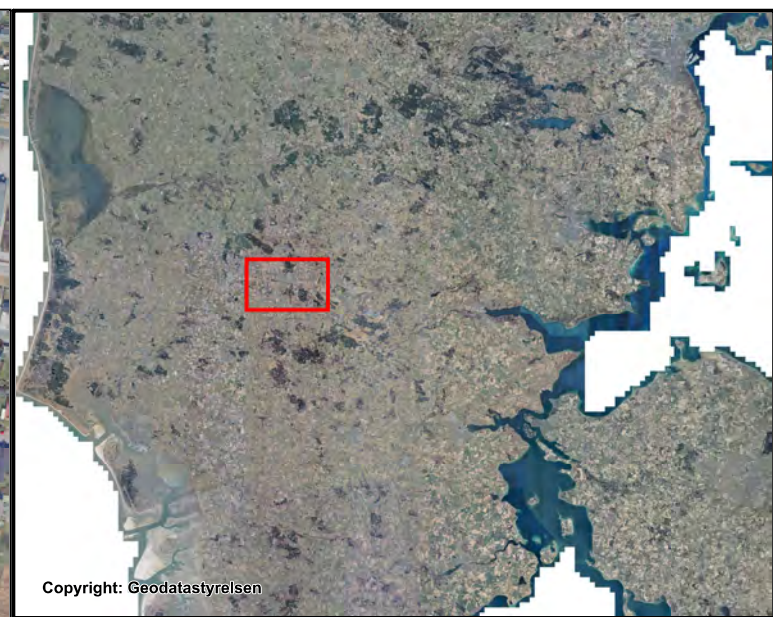
**Englandsgade 25  
5000 Odense C  
Tlf. 5161 1000  
[www.ramboll.dk](http://www.ramboll.dk)**

Sag 1100047870 Udg. 1 Mål 1:4000

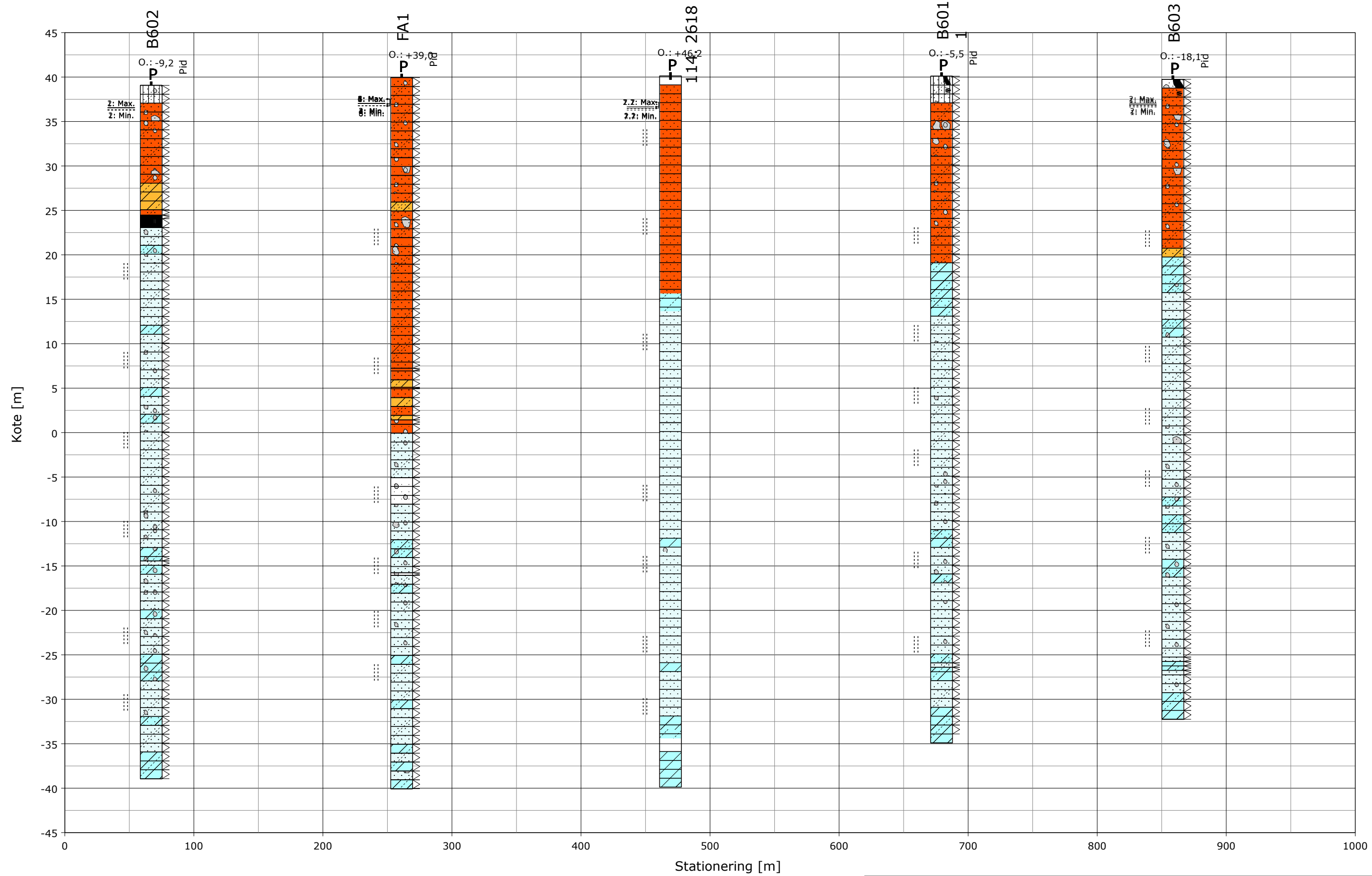
Region Syddanmark  
Videregående undersøgelser 2021, Pulje 30

Grindsted Lok. nr. 565-00072 Oversigtskort -

## Boringer langs strømlinje



**BILAG 2  
GEOLOGISKE SNIT**



Horisontal Skala:  
Vertikal Skala:

1:2817  
1:409

Transekt snit

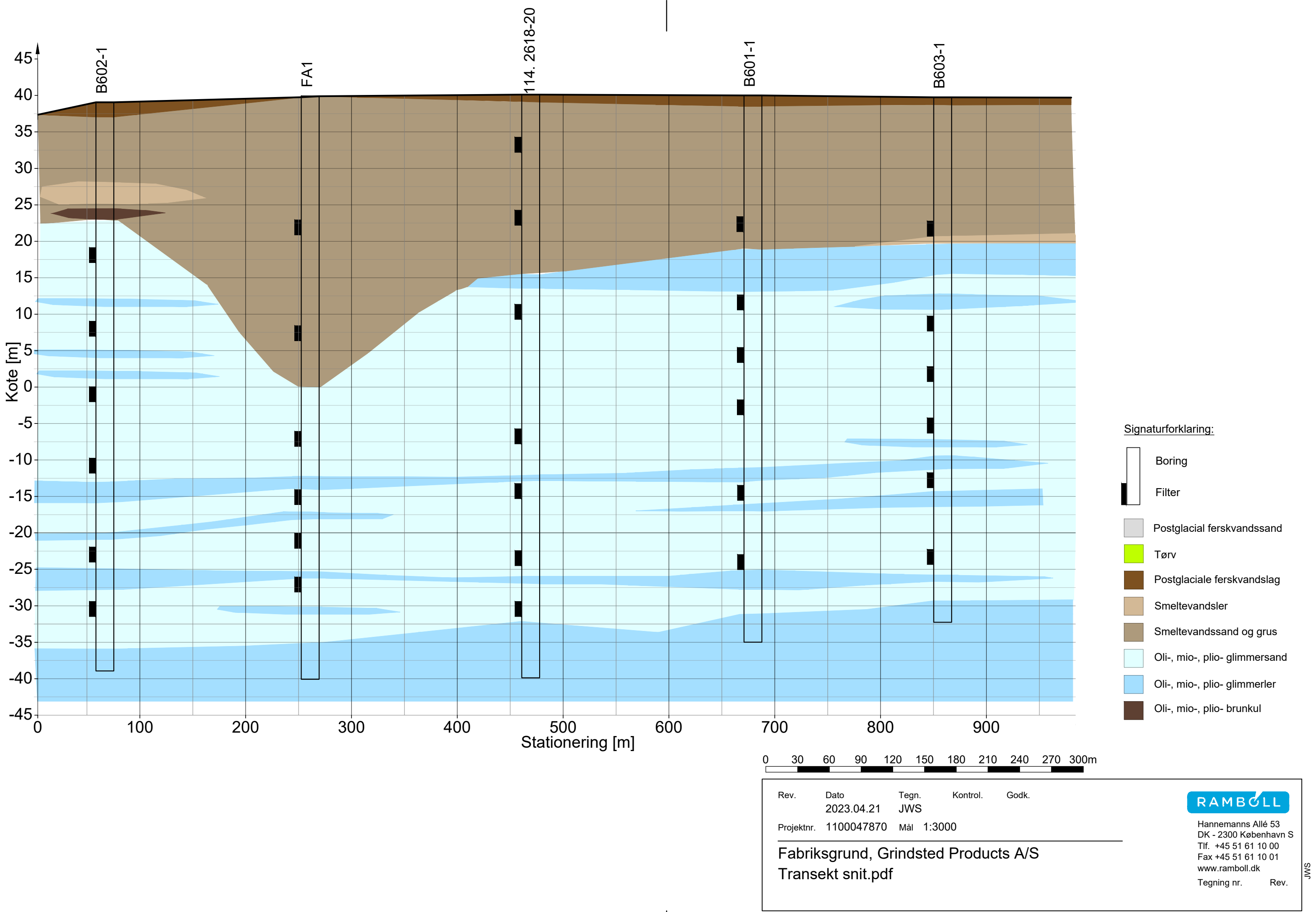
Sag:  
565-00072 Fabriksgrund, Grindsted Products A/S

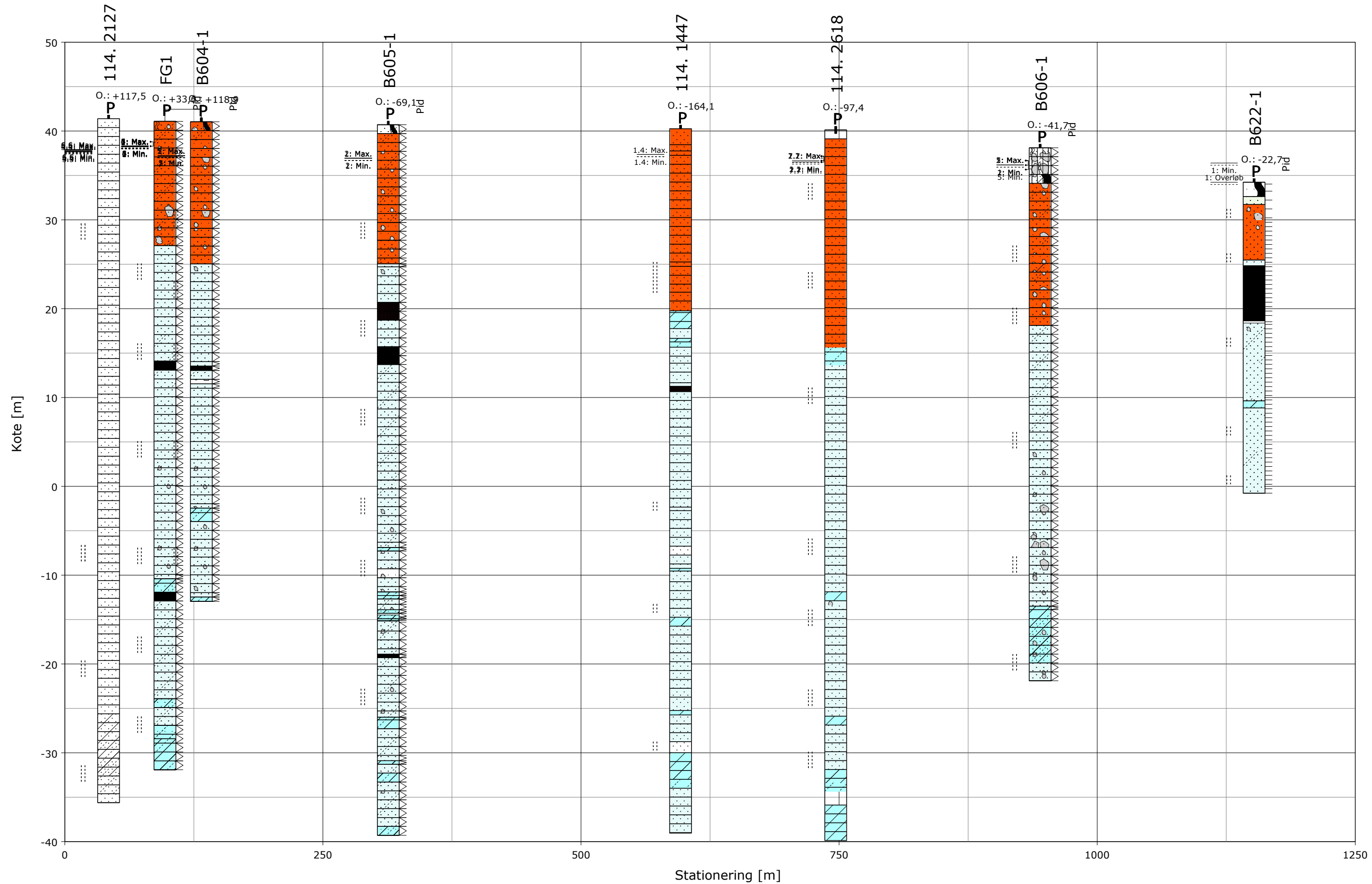
**RAMBOLL**

Dato  
2023.03.20

Rapport

Tegningsnr.





Fabriksgrund til Grindsted Å

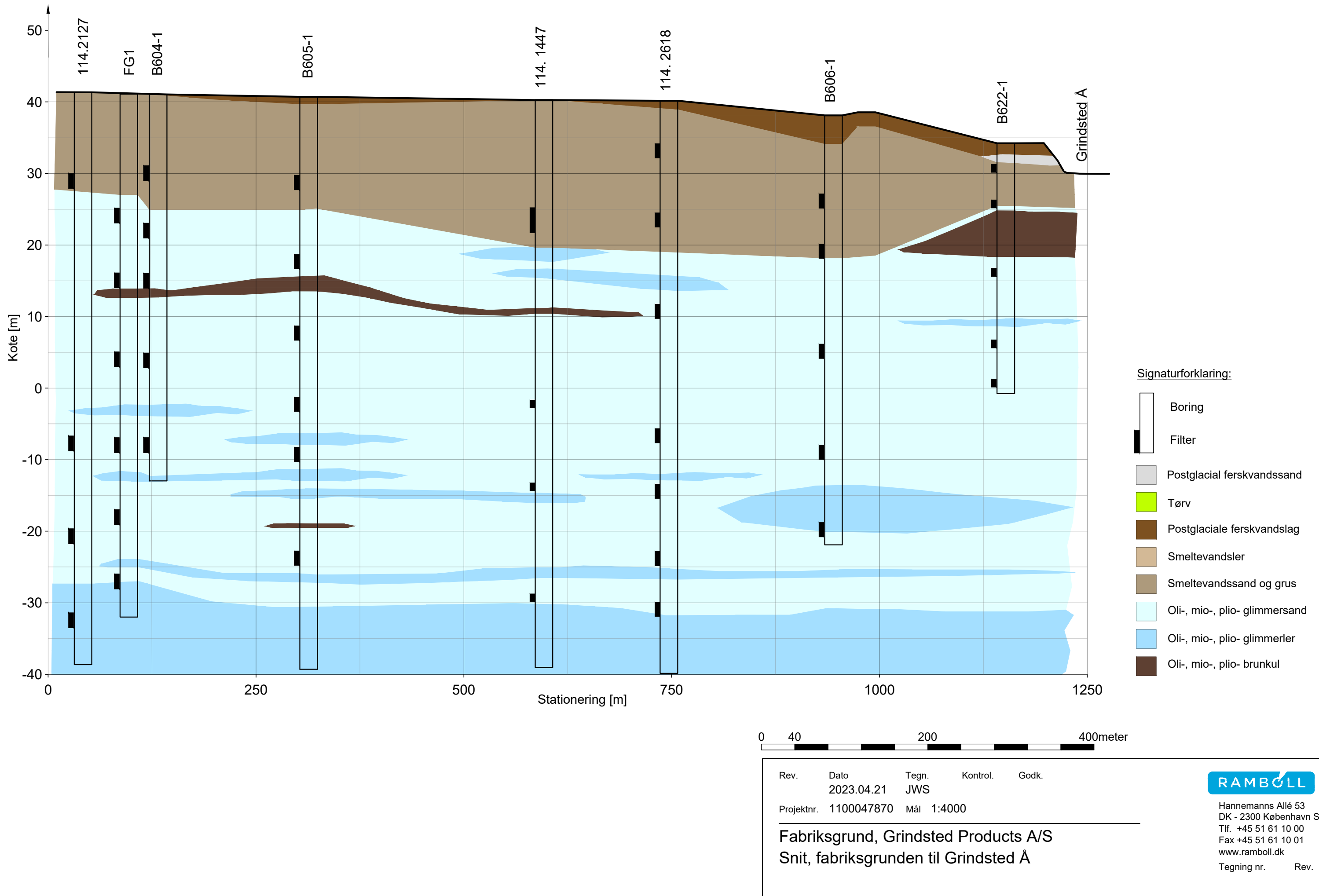
Sag:  
565-00072 Fabriksgrund, Grindsted Products A/S

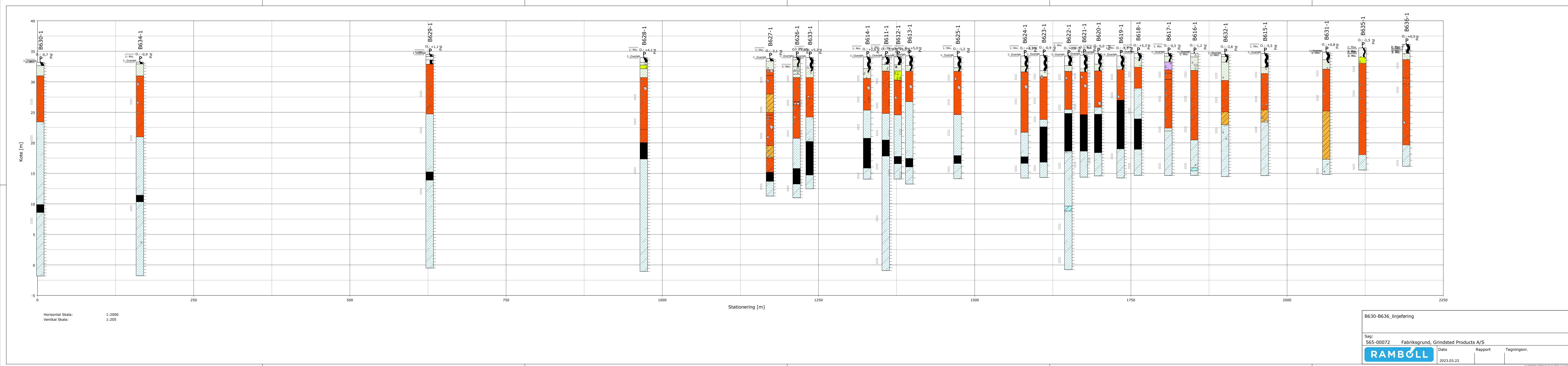
**RAMBOLL**

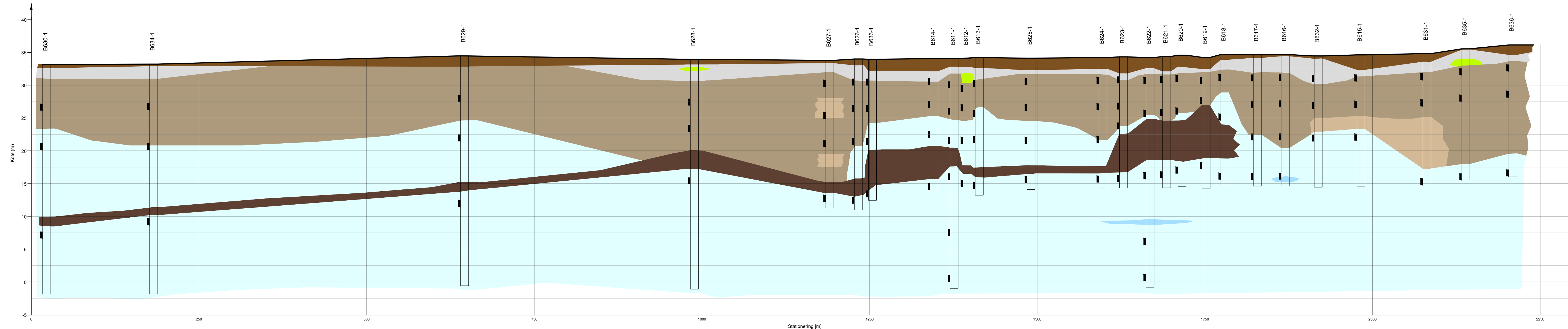
Dato  
2023.04.18

Rapport

Tegningsnr.







#### Signaturforklaring:

- Postglacial ferskvandssand
- Tørv
- Postglaciale ferskvandslag
- Smeltevandsler
- Smeltevandssand og grus
- Oli-, mio-, plio- glimmersand
- Oli-, mio-, plio- glimmerler
- Oli-, mio-, plio- brunkul

Boring

Filter

0 30 60 90 120 150 180 210 240 270 300m

Rev. Dato Tegn. Kontrol. Godk.

2023.03.20 JWS

Projektnr. 1100047870 Mål 1:3000

Fabriksgrund, Grindsted Products A/S

Snit, B630-B636 linjeføring horisontal

**RAMBOLL**

Hannemanns Allé 53  
DK - 2300 København S  
Tlf. +45 51 61 10 00  
Fax +45 51 61 10 01  
www.ramboll.dk  
Tegning nr. Rev.

**BILAG 3  
RESULTATER VANDPRØVER**

Boring	Filter	DGU nr	Dato udtaget	Fase	Benzen	Toluen	Ethylbenzen	m/p-xilen	o-xilen	Xylen (o,-m- og p-xilen)	Xylen (o,-m-, p-xilen og ethylbenzen)	Ethan	Ethylen	Naphthalen	Kulbrinter n-C6 - n-C10	Kulbrinter >n-C10 - n-C15	Kulbrinter >n-C15 - n-C20	Kulbrinter >n-C20 - n-C35	Total kulbrinter (C6-C35)
-	-	-	-	µg/l	µg/l	µg/l	µg/l	µg/l	µg/l	µg/l	µg/l	µg/l	µg/l	µg/l	µg/l	µg/l	µg/l	µg/l	
114.2507 - 1	1	114.2507	07-03-2022	II	200	1,6	1,3	0,59	0,94	1,5	2,8	91	670	<0,020	210	5,4	<5,0	<5,0	220
114.2507 - 2	2	114.2507	07-03-2022	II	140	1,1	1,7	0,63	1	1,6	3,3	190	520	<0,020	150	<5,0	<5,0	<5,0	150
114.2508 - 1	1	114.2508	07-03-2022	II	240	11	6	2,4	2,3	4,7	11	93	820	<0,020	270	<5,0	<5,0	<5,0	270
B601	1	114.3900	25-01-2022	II	<0,020	<0,020	<0,020	<0,020	0,03	<0,040	<0,060	<0,50	<0,50	<0,020	<5,0	<5,0	<5,0	<5,0	<5,0
B601	2	114.3900	25-01-2022	II	0,11	<0,020	<0,020	0,03	0,033	0,063	0,063	0,68	1,3	<0,020	<5,0	<5,0	<5,0	<5,0	<5,0
B601	3	114.3901	25-01-2022	II	0,58	<0,020	0,022	0,071	0,032	0,1	0,13	0,55	0,59	<0,020	14	<5,0	<5,0	<5,0	14
B601	4	114.3901	25-01-2022	II	0,71	<0,020	0,029	0,067	0,16	0,23	0,26	11	0,68	<0,020	13	7,1	<5,0	<5,0	20
B601	5	114.3902	25-01-2022	II	2,7	<0,020	0,14	0,066	0,22	0,29	0,43	29	2,9	<0,020	19	<5,0	<5,0	<5,0	19
B601	6	114.3902	25-02-2022	II	23	0,23	0,77	0,21	0,35	0,56	1,3	350	71	<0,020	26	13	<5,0	<5,0	39
B602	1	114.3904	01-02-2022	II	<0,020	<0,020	<0,020	<0,020	<0,020	<0,040	<0,060	<0,50	<0,50	<0,020	<5,0	<5,0	<5,0	<5,0	<5,0
B602	2	114.3904	01-02-2022	II	<0,020	<0,020	<0,020	<0,020	<0,020	<0,040	<0,060	<0,50	<0,50	<0,020	<5,0	<5,0	<5,0	<5,0	<5,0
B602	3	114.3905	01-02-2022	II	0,95	<0,020	<0,020	0,026	<0,020	<0,040	<0,060	<0,50	<0,50	<0,020	<5,0	<5,0	<5,0	<5,0	<5,0
B602	4	114.3905	03-10-2022	III	<0,020	<0,020	<0,020	<0,020	<0,020	<0,040	<0,060	<0,5	<0,5	<0,020	<5,0	<5,0	<5,0	<5,0	<5,0
B602	5	114.3906	01-02-2022	II	0,34	<0,020	<0,020	0,033	0,023	0,056	<0,060	<0,50	<0,50	<0,020	5,6	8	<5,0	<5,0	14
B602	6	114.3906	01-02-2022	II	2,4	<0,020	0,026	0,11	0,059	0,17	0,2	<0,50	<0,50	<0,020	<5,0	<5,0	<5,0	<5,0	<5,0
B603	1	114.3909	15-02-2022	II	<0,020	<0,020	<0,020	<0,020	<0,020	<0,040	<0,060	<0,5	<0,5	<0,020	<5,0	<5,0	<5,0	<5,0	<5,0
B603	2	114.3909	15-02-2022	II	0,045	<0,020	<0,020	<0,020	<0,020	<0,040	<0,060	<0,5	<0,5	<0,020	<5,0	<5,0	<5,0	<5,0	<5,0
B603	3	114.3910	15-02-2022	II	0,094	<0,020	<0,020	<0,020	<0,020	<0,040	<0,060	<0,5	<0,5	<0,020	<5,0	<5,0	<5,0	<5,0	<5,0
B603	4	114.3910	15-02-2022	II	<0,020	<0,020	<0,020	<0,020	<0,020	<0,040	<0,060	<0,5	<0,5	<0,020	<5,0	<5,0	<5,0	<5,0	<5,0
B603	5	114.3911	15-02-2022	II	<0,020	<0,020	<0,020	<0,020	<0,020	<0,040	<0,060	<0,5	<0,5	<0,020	<5,0	<5,0	<5,0	<5,0	<5,0
B603	6	114.3911	15-02-2022	II	9,5	<0,020	0,024	<0,020	0,038	<0,040	0,062	1,6	1,1	<0,020	<5,0	<5,0	<5,0	<5,0	<5,0
B611	1	114.3962	01-03-2022	II	3,4	0,033	0,11	0,051	0,09	0,14	0,25	3,5	3,6	<0,020	<5,0	<5,0	<5,0	<5,0	<5,0
B611	2	114.3963	01-03-2022	II	<0,020	0,082	0,029	0,14	0,036	0,18	0,21	<0,50	<0,50	<0,020	<5,0	<5,0	<5,0	<5,0	<5,0
B611	3	114.3964	01-03-2022	II	7,6	0,14	0,17	0,051	0,049	0,1	0,27	99	26	<0,020	8	<5,0	<5,0	<5,0	8
B611	4	114.3965	01-03-2022	II	6,9	0,037	<0,020	0,043	0,025	0,068	0,068	190	520	<0,020	7	<5,0	<5,0	<5,0	7
B611	5	114.3966	01-03-2022	II	1,9	<0,020	<0,020	<0,020	<0,020	<0,040	<0,060	<0,50	0,77	<0,020	<5,0	<5,0	<5,0	<5,0	<5,0
B611	6	114.3967	01-03-2022	II	0,29	<0,020	<0,020	<0,020	<0,020	<0,040	<0,060	<0,50	<0,50	<0,020	<5,0	<5,0	<5,0	<5,0	<5,0
B612	1	114.3968	01-03-2022	II	17	0,28	0,38	0,06	0,11	0,17	0,55	110	67	<0,020	18	<5,0	<5,0	<5,0	18
B612	2	114.3969	01-03-2022	II	39	0,074	<0,020	0,032	<0,020	<0,040	<0,060	240	2500	<0,020	39	<5,0	<5,0	<5,0	39
B612	3	114.3970	01-03-2022	II	20	0,029	<0,020	<0,020	0,023	<0,040	<0,060	0,98	21	<0,020	20	<5,0	<5,0	<5,0	20
B612	4	114.3971	01-03-2022	II	0,36	0,052	<0,020	0,03	0,046	0,076	0,076	<0,50	<0,50	<0,020	<5,0	<5,0	<5,0	<5,0	<5,0
B613	1	114.3972	22-02-2022	II	3,8	0,024	0,062	0,03	0,03	0,06	0,12	11	1,3	<0,020	<5,0	<5,0	<5,0	<5,0	<5,0
B613	2	114.3973	22-02-2022	II	27	0,021	<0,020	<0,020	<0,020	<0,040	<0,060	470	2300	<0,020	27	<5,0	<5,0	<5,0	27
B613	3	114.3974	22-02-2022	II	2,9	0,021													

Boring	Filter	DGU nr	Dato udtaget	Fase	Benzen	Toluen	Ethylbenzen	m/p-xilen	o-xilen	Xylen (o,-m- og p-xilen)	Xylen (o,-m-, p-xilen og ethylbenzen)	Ethan	Ethylen	Naphthalen	Kulbrinter n-C6 - n-C10	Kulbrinter >n-C10 - n-C15	Kulbrinter >n-C15 - n-C20	Kulbrinter >n-C20 - n-C35	Total kulbrinter (C6-C35)
-	-	-	-	µg/l	µg/l	µg/l	µg/l	µg/l	µg/l	µg/l	µg/l	µg/l	µg/l	µg/l	µg/l	µg/l	µg/l	µg/l	
B615	2	114.3981	10-03-2022	II	6,2	0,2	0,36	0,24	0,36	0,6	0,96	270	43	<0,020	55	9,4	<5,0	<5,0	64
B615	3	114.3982	10-03-2022	II	0,039	<0,020	<0,020	<0,020	0,035	<0,040	<0,060	1,4	<0,50	<0,020	<5,0	<5,0	<5,0	<5,0	
B616	1	114.3983	15-03-2022	II	1,1	0,09	0,04	0,081	0,23	0,31	0,35	13	<0,50	<0,020	12	<5,0	<5,0	<5,0	12
B616	2	114.3984	15-03-2022	II	1,4	0,058	<0,020	<0,020	0,16	0,16	0,16	33	<0,50	<0,020	19	<5,0	<5,0	<5,0	19
B616	3	114.3985	15-03-2022	II	15	1,5	0,14	0,31	1,4	1,7	1,9	240	110	<0,020	32	<5,0	<5,0	<5,0	32
B616	4	114.3986	15-03-2022	II	0,023	<0,020	<0,020	<0,020	<0,020	<0,040	<0,060	<0,50	<0,50	<0,020	<5,0	<5,0	<5,0	<5,0	
B617	1	114.3987	09-03-2022	II	4,2	0,054	0,067	0,091	0,15	0,24	0,31	5,6	20	<0,020	<5,0	<5,0	<5,0	<5,0	<5,0
B617	2	114.3988	09-03-2022	II	1,4	0,05	0,035	0,051	0,11	0,16	0,2	22	1,1	<0,020	<5,0	<5,0	<5,0	<5,0	<5,0
B617	3	114.3989	09-03-2022	II	24	1,1	0,81	0,39	0,87	1,3	2,1	300	68	<0,020	53	<5,0	<5,0	<5,0	53
B617	4	114.3990	09-03-2022	II	0,048	0,031	<0,020	<0,020	<0,020	<0,040	<0,060	5,3	<0,50	<0,020	<5,0	<5,0	<5,0	<5,0	<5,0
B618	1	114.3991	08-03-2022	II	1,2	0,72	0,96	0,81	0,25	1,1	2	300	<0,51	<0,020	20	<5,0	<5,0	<5,0	20
B618	2	114.3992	08-03-2022	II	1,5	0,025	<0,020	<0,020	<0,020	<0,040	<0,060	130	6	<0,020	<5,0	<5,0	<5,0	<5,0	<5,0
B618	3	114.3993	08-03-2022	II	0,56	0,033	<0,020	<0,020	0,029	<0,040	<0,060	2,2	0,82	<0,020	12	<5,0	<5,0	<5,0	12
B619	1	114.3994	08-03-2022	II	3,3	0,5	0,3	0,55	0,11	0,66	0,96	200	3,3	<0,020	14	<5,0	<5,0	<5,0	14
B619	2	114.3995	08-03-2022	II	79	1,3	0,7	0,48	0,69	1,2	1,9	270	370	<0,020	99	<5,0	<5,0	<5,0	99
B619	3	114.3996	08-03-2022	II	61	1,4	0,19	0,8	1,3	2,1	2,3	73	98	<0,020	72	<5,0	<5,0	<5,0	72
B620	1	114.3997	08-03-2022	II	160	1,4	3,8	0,52	0,72	1,2	5	560	340	<0,020	180	<5,0	<5,0	<5,0	180
B620	2	114.3998	08-03-2022	II	52	0,065	<0,020	<0,020	<0,020	<0,040	<0,060	670	360	<0,020	52	<5,0	<5,0	<5,0	52
B620	3	114.3999	08-03-2022	II	38	0,64	1,2	0,52	0,96	1,5	2,7	160	140	<0,020	59	11	<5,0	<5,0	70
B621	1	114.4000	08-03-2022	II	230	1,3	2,2	0,68	0,92	1,6	3,8	240	490	<0,020	240	<5,0	<5,0	<5,0	240
B621	2	114.4001	08-03-2022	II	320	8,3	1,2	0,27	0,48	0,75	2	830	1000	<0,020	330	<5,0	<5,0	<5,0	330
B621	3	114.4002	08-03-2022	II	0,83	0,079	0,057	0,03	0,13	0,16	0,22	11	0,75	<0,020	6,7	<5,0	<5,0	<5,0	6,7
B622	1	114.4052	04-03-2022	II	210	0,67	3	0,37	0,5	0,87	3,9	260	200	<0,020	220	<5,0	<5,0	<5,0	220
B622	2	114.4003	04-03-2022	II	87	0,87	0,33	0,4	0,31	0,72	1	250	2300	<0,020	89	<5,0	<5,0	<5,0	89
B622	3	114.4004	04-03-2022	II	240	3,4	3,2	2,5	2,6	5,1	8,3	91	680	<0,020	260	<5,0	<5,0	<5,0	260
B622	4	114.4005	04-03-2022	II	83	0,36	0,6	0,079	0,052	0,13	0,73	150	340	<0,020	84	<5,0	<5,0	<5,0	84
B622	5	114.4006	04-03-2022	II	4,6	0,22	0,18	0,075	0,17	0,25	0,43	4,6	1,9	<0,020	<5,0	<5,0	<5,0	<5,0	<5,0
B623	1	114.4007	02-02-2022	II	100	0,77	1,3	0,37	0,51	0,88	2,2	210	590	<0,020	130	<5,0	<5,0	<5,0	130
B623	2	114.4008	02-02-2022	II	23	0,045	<0,020	0,04	<0,020	0,04	<0,060	420	650	<0,020	25	<5,0	<5,0	<5,0	25
B623	3	114.4009	02-02-2022	II	21	0,028	<0,020	<0,020	<0,020	<0,040	<0,060	16	96	<0,020	21	<5,0	<5,0	<5,0	21
B623	4	114.4010	02-02-2022	II	0,024	<0,020	<0,020	<0,020	<0,020	<0,040	<0,060	0,75	0,73	<0,020	<5,0	<5,0	<5,0	<5,0	
B624	1	114.4011	02-02-2022	II	<0,020	<0,020	<0,020	<0,020	<0,020	<0,040	<0,060	<0,50	<0,50	<0,020	<5,0	<5,0	<5,0	<5,0	
B624	2	114.4012	02-02-2022	II	0,21	0,042	<0,020	0,055	0,049	0,1	0,1	870	1700	<0,020	<5,0	<5,0	<5,0	<5,0	
B624	3	114.4013	02-02-2022	II	6,2	0,024	<0,020	0,024	<0,020	<0,040	<0,060	280	890	<0,020	6,2	<5,0	<5,0	<5,0	6,2
B624	4	114.4014	02-02-2022	II	14	0,048	<0,020	<0,020	<0,020	<0,040	<0,060	21	91	<0,020	14	<5,0	<5,0	<5,0	14
B625	1	114.4015	23-02-2022	II	6														

Boring	Filter	DGU nr	Dato udtaget	Fase	Benzen	Toluen	Ethylbenzen	m/p-xilen	o-xilen	Xylen (o,-m- og p-xilen og ethylbenzen)	Ethan	Ethylen	Naphthalen	Kulbrinter n-C6 - n-C10	Kulbrinter >n-C10 - n-C15	Kulbrinter >n-C15 - n-C20	Kulbrinter >n-C20 - n-C35	Total kulbrinter (C6-C35)	
-	-	-	-	µg/l	µg/l	µg/l	µg/l	µg/l	µg/l	µg/l	µg/l	µg/l	µg/l	µg/l	µg/l	µg/l	µg/l		
B626	2	114.4020	15-03-2022	II	0,74	0,023	<0,020	<0,020	<0,020	<0,040	<0,060	<0,50	<0,50	<0,020	<5,0	<5,0	<5,0	<5,0	
B626	3	114.4021	15-03-2022	II	0,08	<0,020	<0,020	<0,020	<0,020	<0,040	<0,060	<0,50	<0,50	<0,020	<5,0	<5,0	<5,0	<5,0	
B626	4	114.4022	15-03-2022	II	<0,020	<0,020	<0,020	<0,020	<0,020	<0,040	<0,060	<0,50	<0,50	<0,020	<5,0	<5,0	<5,0	<5,0	
B627	1	114.4023	15-03-2022	II	13	0,052	0,049	0,023	0,066	0,089	0,14	18	<0,50	<0,020	13	<5,0	<5,0	<5,0	13
B627	2	114.4024	15-03-2022	II	9	0,087	<0,020	0,077	0,02	0,097	0,097	<0,50	2,6	<0,020	9	<5,0	<5,0	<5,0	9
B627	3	114.4025	15-03-2022	II	35	0,14	0,027	0,15	0,045	0,2	0,22	<0,50	2,1	<0,020	35	<5,0	<5,0	<5,0	35
B627	4	114.4026	15-03-2022	II	28	0,08	<0,020	<0,020	0,06	0,06	0,06	<0,50	3,1	<0,020	28	<5,0	<5,0	<5,0	28
B628	1	114.4027	15-03-2022	II	<0,020	0,034	<0,020	<0,020	0,053	0,053	<0,060	<0,50	<0,50	<0,020	<5,0	<5,0	<5,0	<5,0	
B628	2	114.4028	15-03-2022	II	<0,020	0,025	<0,020	<0,020	0,063	0,063	0,063	<0,50	<0,50	<0,020	<5,0	<5,0	<5,0	<5,0	
B628	3	114.4029	15-03-2022	II	0,057	0,043	<0,020	<0,020	0,051	0,051	<0,060	<0,50	<0,50	<0,020	<5,0	<5,0	<5,0	<5,0	
B629	1	114.4030	16-03-2022	II	<0,020	<0,020	<0,020	0,026	<0,020	<0,040	<0,060	<0,50	<0,50	<0,020	<5,0	<5,0	<5,0	<5,0	
B629	2	114.4031	16-03-2022	II	<0,020	<0,020	<0,020	<0,020	<0,020	<0,040	<0,060	<0,50	<0,50	<0,020	<5,0	<5,0	<5,0	<5,0	
B629	3	114.4032	16-03-2022	II	<0,020	<0,020	<0,020	<0,020	<0,020	<0,040	<0,060	<0,50	<0,50	<0,020	<5,0	<5,0	<5,0	<5,0	
B630	1	114.4033	16-03-2022	II	<0,020	<0,020	<0,020	<0,020	0,04	<0,020	0,04	<0,060	9,5	1,7	<0,020	<5,0	<5,0	<5,0	<5,0
B630	2	114.4034	16-03-2022	II	<0,020	<0,020	<0,020	<0,020	<0,020	<0,040	<0,060	<0,50	<0,50	<0,020	<5,0	<5,0	<5,0	<5,0	
B630	3	114.4035	16-03-2022	II	<0,020	<0,020	<0,020	<0,020	<0,020	<0,040	<0,060	<0,50	<0,50	<0,020	<5,0	<5,0	<5,0	<5,0	
B631	1	114.4036	14-03-2022	II	<0,020	0,074	<0,020	0,08	0,052	0,13	0,13	<0,50	<0,50	<0,020	<5,0	<5,0	<5,0	<5,0	
B631	2	114.4037	14-03-2022	II	0,088	<0,020	<0,020	0,034	0,05	0,084	0,084	5,7	<0,50	<0,020	7,1	<5,0	<5,0	<5,0	7,1
B631	3	114.4038	14-03-2022	II	0,35	0,022	0,048	0,047	<0,020	0,047	0,095	1,4	<0,50	<0,020	7,4	<5,0	<5,0	<5,0	7,4
B632	1	114.4039	10-03-2022	II	0,48	0,076	0,11	0,13	0,4	0,53	0,64	7,3	<0,50	<0,020	49	<5,0	<5,0	<5,0	49
B632	2	114.4040	10-03-2022	II	35	2,9	0,65	0,6	4,2	4,8	5,5	470	320	<0,020	46	13	<5,0	<5,0	59
B632	3	114.4041	10-03-2022	II	25	2,1	0,27	0,63	4,2	4,8	5,1	530	270	<0,020	62	25	16	<5,0	100
B633	1	114.4042	14-03-2022	II	<0,020	<0,020	<0,020	<0,020	<0,020	<0,040	<0,060	<0,50	<0,50	<0,020	<5,0	<5,0	<5,0	<5,0	
B633	2	114.4043	14-03-2022	II	24	<0,020	<0,020	<0,020	<0,020	<0,040	<0,060	26	72	<0,020	24	<5,0	<5,0	<5,0	24
B633	3	114.4044	14-03-2022	II	12	0,021	<0,020	<0,020	<0,020	<0,040	<0,060	110	250	<0,020	18	6,9	<5,0	<5,0	25
B633	4	114.4045	14-03-2022	II	0,08	0,05	<0,020	<0,020	0,027	<0,040	<0,060	<0,50	<0,50	<0,020	<5,0	<5,0	<5,0	<5,0	
B634	1	114.4046	16-03-2022	II	<0,020	<0,020	<0,020	0,069	<0,020	0,069	0,069	6,7	<0,50	<0,020	<5,0	<5,0	<5,0	<5,0	
B634	2	114.4047	16-03-2022	II	<0,020	<0,020	<0,020	0,02	<0,020	<0,040	<0,060	1	<0,50	<0,020	<5,0	<5,0	<5,0	<5,0	
B634	3	114.4048	16-03-2022	II	<0,020	<0,020	<0,020	<0,020	<0,020	0,03	<0,040	<0,060	<0,50	<0,50	<0,020	<5,0	<5,0	<5,0	
B635	1	114.4182	16-09-2022	II	<0,020	<0,020	<0,020	<0,020	<0,020	<0,040	<0,060	<0,50	<0,50	<0,020	<5,0	<5,0	<5,0	<5,0	
B635	2	114.4183	16-09-2022	II	0,021	<0,020	<0,020	0,041	<0,020	0,041	<0,060	<0,50	<0,50	<0,020	<5,0	<5,0	<5,0	<5,0	
B635	3	114.4184	16-09-2022	II	0,023	<0,020	<0,020	<0,020	<0,020	<0,040	<0,060	<0,50	<0,50	<0,020	<5,0	<5,0	<5,0	<5,0	
B636	1	114.4185	16-09-2022	II	<0,020	0,044	0,028	0,18	0,029	0,21	0,24	<0,50	<0,50	<0,020	<5,0	<5,0	<5,0	<5,0	
B636	2	114.4186	16-09-2022	II	<0,020	<0,020	<0,020	<0,020	<0,020	<0,040	<0,060	<0,50	<0,50	<0,020					

Boring	Filter	DGU nr	Dato udtaget	Fase	Trichlormethan (Chloroform)	1,1,1-trichloretan	Tetrachlormethan	Trichloretan	Tetrachloretan	Chloretan	Vinylchlorid	1,1-dichloretan	trans-1,2-dichloretan	cis-1,2-dichloretan	1,2-dichloretan	1,1-dichloretan	Dichlormethan	SUM (Chlor)
-	-	-	-	-	µg/l	µg/l	µg/l	µg/l	µg/l	µg/l	µg/l	µg/l	µg/l	µg/l	µg/l	µg/l	µg/l	
114.2507 - 1	1	114.2507	07-03-2022	II	<0,020	<0,020	<0,020	<0,020	<0,020	<0,10	260	<0,020	1,2	9,1	<0,020	0,022	<0,10	270,3
114.2507 - 2	2	114.2507	07-03-2022	II	<0,020	<0,020	<0,020	<0,020	<0,020	<0,10	190	<0,020	1,3	2,3	<0,020	<0,020	0,43	194,0
114.2508 - 1	1	114.2508	07-03-2022	II	<0,020	<0,020	<0,020	0,076	0,047	0,7	3300	0,093	17	73	<0,020	0,069	<0,10	3391,0
B601	1	114.3900	25-01-2022	II	< 0,02	< 0,02	< 0,02	< 0,02	< 0,02	< 0,02	0,26	< 0,02	< 0,02	< 0,02	< 0,02	< 0,02	0,3	
B601	2	114.3900	25-01-2022	II	< 0,02	< 0,02	< 0,02	0,076	< 0,02	< 0,02	6,5	< 0,02	0,083	0,8	< 0,02	< 0,02	< 0,02	7,5
B601	3	114.3901	25-01-2022	II	< 0,02	< 0,02	< 0,02	< 0,02	< 0,02	0,31	16	< 0,02	0,16	1,4	0,025	< 0,02	< 0,02	17,9
B601	4	114.3901	25-01-2022	II	< 0,02	< 0,02	< 0,02	< 0,02	< 0,02	0,11	3,4	0,027	0,29	3,5	0,42	< 0,02	< 0,02	7,7
B601	5	114.3902	25-01-2022	II	< 0,02	< 0,02	< 0,02	< 0,02	< 0,02	0,22	8,8	< 0,02	0,29	2,3	0,8	0,022	< 0,02	12,4
B601	6	114.3902	25-01-2022	II	< 0,02	< 0,02	< 0,02	0,1	0,086	0,11	3	< 0,02	0,66	2,4	1,4	0,065	< 0,02	7,8
B601	1	114.3900	25-01-2022	II	<0,020	<0,020	<0,020	<0,020	<0,020	<0,10	0,29	<0,020	<0,020	<0,020	<0,020	<0,020	<0,10	0,3
B601	2	114.3900	25-01-2022	II	<0,020	<0,020	<0,020	0,069	<0,020	<0,10	8,2	<0,020	0,07	0,84	<0,020	<0,020	<0,10	9,2
B601	3	114.3901	25-01-2022	II	<0,020	<0,020	<0,020	<0,020	<0,020	0,3	13	<0,020	0,13	1,1	0,033	<0,020	<0,10	14,6
B601	4	114.3901	25-01-2022	II	<0,020	<0,020	<0,020	<0,020	<0,020	<0,10	3	<0,020	0,28	2,8	0,3	<0,020	<0,10	6,4
B601	5	114.3902	25-01-2022	II	<0,020	<0,020	<0,020	<0,020	<0,020	0,23	7,7	<0,020	0,23	2	0,65	<0,020	<0,10	10,8
B601	6	114.3902	25-02-2022	II	<0,020	<0,020	<0,020	0,11	0,093	<0,10	2,5	<0,020	0,39	2,3	<0,020	0,048	<0,10	5,4
B602	1	114.3904	01-02-2022	II	<0,020	<0,020	<0,020	<0,020	<0,020	<0,10	<0,020	<0,020	<0,020	<0,020	<0,020	<0,10	0,0	
B602	2	114.3904	01-02-2022	II	<0,020	<0,020	<0,020	0,27	<0,020	<0,10	<0,020	<0,020	<0,020	<0,020	<0,020	<0,10	0,3	
B602	3	114.3905	01-02-2022	II	<0,020	<0,020	<0,020	0,085	<0,020	<0,10	<0,020	<0,020	<0,020	<0,020	0,27	<0,020	<0,10	0,4
B602	4	114.3905	03-10-2022	III	<0,020	<0,020	<0,020	<0,020	<0,020	<0,10	0,057	<0,020	<0,020	0,063	<0,020	<0,020	<0,10	0
B602	5	114.3906	01-02-2022	II	<0,020	<0,020	<0,020	0,1	<0,020	<0,10	<0,020	<0,020	<0,020	<0,020	0,54	<0,020	<0,10	0,6
B602	6	114.3906	01-02-2022	II	<0,020	<0,020	<0,020	0,11	<0,020	<0,10	<0,020	<0,020	<0,020	<0,020	3,8	<0,020	<0,10	4,0
B603	1	114.3909	15-02-2022	II	<0,020	<0,020	<0,020	<0,020	<0,020	<0,10	<0,020	<0,020	<0,020	<0,020	<0,020	<0,10	0,0	
B603	2	114.3909	15-02-2022	II	<0,020	<0,020	<0,020	<0,020	<0,020	<0,10	<0,020	<0,020	<0,020	<0,020	<0,020	<0,10	0,0	
B603	3	114.3910	15-02-2022	II	<0,020	<0,020	<0,020	<0,020	<0,020	<0,10	<0,020	<0,020	<0,020	<0,020	<0,020	<0,10	0,0	
B603	4	114.3910	15-02-2022	II	<0,020	<0,020	<0,020	<0,020	<0,020	<0,10	<0,020	<0,020	<0,020	<0,020	<0,020	<0,10	0,0	
B603	5	114.3911	15-02-2022	II	<0,020	<0,020	<0,020	<0,020	<0,020	<0,10	<0,020	<0,020	<0,020	<0,020	<0,020	<0,10	0,0	
B603	6	114.3911	15-02-2022	II	<0,020	<0,020	<0,020	0,38	0,34	0,29	20	0,65	5,2	69	3,3	0,021	<0,10	99,2
B611	1	114.3962	01-03-2022	II	<0,020	<0,020	<0,020	<0,020	<0,020	0,32	2,4	<0,020	0,059	1,4	0,33	<0,020	<0,10	4,5
B611	2	114.3963	01-03-2022	II	<0,020	<0,020	<0,020	<0,020	<0,020	<0,10	0,043	<0,020	<0,020	<0,020	<0,020	<0,10	0,0	
B611	3	114.3964	01-03-2022	II	<0,020	<0,020	<0,020	<0,020	<0,020	0,79	1,7	<0,020	0,14	0,19	<0,020	<0,020	<0,10	2,8
B611	4	114.3965	01-03-2022	II	<0,020	<0,020	<0,020	<0,020	<0,020	<0,10	200	0,43	0,68	30	2,2	0,025	<0,10	233,3
B611	5	114.3966	01-03-2022	II	<0,020	<0,020	<0,020	<0,020	<0,020	<0,10	2,2	<0,020	0,035	0,91	1,3	<0,020	<0,10	4,4
B611	6	114.3967	01-03-2022	II	<0,020	<0,020	<0,020	0,059	0,048	<0,10	0,12	<0,020	<0,020	0,25	1,9	<0,020	<0,10	2,4
B612	1	114.3968	01-03-2022	II	<0,020	<0,020	<0,020	<0,020	<0,020	0,94	1,2	<0,020	0,17	0,47	<0,020</td			

Boring	Filter	DGU nr	Dato udtaget	Fase	Trichlormethan (Chloroform)	1,1,1-trichlorehan	Tetrachlormethan	Trichlorehen	Tetrachlorehen	Chlorehan	Vinylchlorid	1,1-dichlorehen	trans-1,2-dichlorehen	cis-1,2-dichlorehen	1,2-dichlorehan	1,1-dichlorehan	Dichlormethan	SUM (Chlor)
-	-	-	-	-	µg/l	µg/l	µg/l	µg/l	µg/l	µg/l	µg/l	µg/l	µg/l	µg/l	µg/l	µg/l	µg/l	
B613	3	114.3974	22-02-2022	II	<0,020	<0,020	<0,020	<0,020	<0,020	<0,10	660	0,41	1,3	27	3,1	0,06	<0,10	691,9
B613	4	114.3975	22-02-2022	II	<0,020	<0,020	<0,020	0,56	2	0,18	81	1,9	5	100	16	0,13	<0,10	206,8
B614	1	114.3976	23-02-2022	II	<0,020	<0,020	<0,020	<0,020	<0,020	<0,10	<0,020	<0,020	<0,020	<0,020	<0,020	<0,020	<0,10	0,0
B614	2	114.3977	23-02-2022	II	<0,020	<0,020	<0,020	<0,020	<0,020	<0,10	0,042	<0,020	<0,020	<0,020	<0,020	<0,020	<0,10	0,0
B614	3	114.3978	23-02-2022	II	<0,020	<0,020	<0,020	<0,020	<0,020	<0,10	<0,020	<0,020	<0,020	<0,020	<0,020	<0,020	<0,10	0,0
B614	4	114.3979	23-02-2022	II	<0,020	<0,020	<0,020	0,093	<0,020	<0,10	390	1,5	2,4	230	8,3	0,053	<0,10	632,3
B615	1	114.3980	10-03-2022	II	<0,020	<0,020	<0,020	<0,020	<0,020	<0,10	<0,020	<0,020	<0,020	<0,020	<0,020	<0,020	<0,10	0,0
B615	2	114.3981	10-03-2022	II	<0,020	<0,020	<0,020	2,5	3	3,1	6,8	0,17	0,39	16	1,3	0,054	<0,10	33,3
B615	3	114.3982	10-03-2022	II	0,023	<0,020	<0,020	0,042	0,11	<0,10	0,07	<0,020	0,11	2,7	<0,020	<0,020	<0,10	3,1
B616	1	114.3983	15-03-2022	II	<0,020	<0,020	<0,020	0,16	0,64	1,2	28	<0,020	0,18	8,1	0,13	<0,020	<0,10	38,4
B616	2	114.3984	15-03-2022	II	<0,020	<0,020	<0,020	0,66	3,1	2,3	17	<0,020	0,16	1,8	0,11	<0,020	<0,10	25,1
B616	3	114.3985	15-03-2022	II	<0,020	<0,020	<0,020	15	65	27	460	0,93	7,3	730	<0,020	0,067	<0,10	1305,3
B616	4	114.3986	15-03-2022	II	0,047	<0,020	<0,020	<0,020	0,36	<0,10	0,096	<0,020	<0,020	0,27	<0,020	<0,020	<0,10	0,8
B617	1	114.3987	09-03-2022	II	<0,020	<0,020	<0,020	0,065	<0,020	<0,10	32	<0,020	0,14	1,2	<0,020	<0,020	<0,10	33,4
B617	2	114.3988	09-03-2022	II	<0,020	<0,020	<0,020	0,1	0,47	4,5	33	<0,020	0,23	1,1	0,089	<0,020	<0,10	39,5
B617	3	114.3989	09-03-2022	II	<0,020	<0,020	<0,020	17	43	27	800	0,43	14	250	<0,020	0,079	<0,10	1151,5
B617	4	114.3990	09-03-2022	II	0,035	0,064	<0,020	0,15	2	<0,10	0,56	<0,020	0,044	1,2	<0,020	<0,020	<0,10	4,1
B618	1	114.3991	08-03-2022	II	<0,020	<0,020	<0,020	0,065	0,071	1	2	<0,020	0,21	1,7	0,25	<0,020	<0,10	5,3
B618	2	114.3992	08-03-2022	II	<0,020	<0,020	<0,020	0,093	0,024	0,59	16	0,2	0,74	11	0,37	<0,020	1,1	30,1
B618	3	114.3993	08-03-2022	II	0,75	0,026	<0,020	6,9	99	<0,10	0,56	0,11	0,31	6,4	0,42	<0,020	1,4	115,9
B619	1	114.3994	08-03-2022	II	<0,020	<0,020	<0,020	<0,020	<0,020	0,9	4,5	<0,020	0,27	0,8	0,28	<0,020	1,4	8,2
B619	2	114.3995	08-03-2022	II	<0,020	<0,020	<0,020	0,41	0,77	0,86	630	0,084	5,4	25	<0,020	0,045	0,93	663,5
B619	3	114.3996	08-03-2022	II	1,5	<0,020	<0,020	38	230	6,3	1100	0,82	18	5300	<0,020	0,078	1,4	6696,1
B620	1	114.3997	08-03-2022	II	<0,020	<0,020	<0,020	<0,020	<0,020	<0,10	510	<0,020	3,2	8,9	<0,020	0,073	0,17	522,3
B620	2	114.3998	08-03-2022	II	<0,020	<0,020	<0,020	0,2	<0,020	0,21	140	0,08	0,82	19	<0,020	<0,020	<0,10	160,3
B620	3	114.3999	08-03-2022	II	0,086	<0,020	<0,020	1,2	0,086	34	760	0,48	7,4	250	<0,020	0,12	<0,10	1053,4
B621	1	114.4000	08-03-2022	II	<0,020	<0,020	<0,020	<0,020	<0,020	<0,10	400	<0,020	1,6	4,8	<0,020	0,033	<0,10	406,4
B621	2	114.4001	08-03-2022	II	<0,020	<0,020	<0,020	0,15	<0,020	0,14	2800	1,9	45	1300	<0,020	0,067	0,27	4147,5
B621	3	114.4002	08-03-2022	II	0,18	0,026	<0,020	3,2	57	1,9	28	0,17	0,97	70	<0,020	<0,020	<0,10	161,4
B622	1	114.4052	04-03-2022	II	<0,020	<0,020	<0,020	<0,020	<0,020	<0,10	160	<0,020	1,2	1,4	<0,020	0,033	<0,10	162,6
B622	2	114.4003	04-03-2022	II	<0,020	<0,020	<0,020	<0,020	<0,020	<0,10	79	<0,020	0,34	4,3	<0,020	<0,020	<0,10	83,6
B622	3	114.4004	04-03-2022	II	<0,020	<0,020	<0,020	0,035	<0,020	<0,10	260	0,057	1,8	50	<0,020	0,061	<0,10	312,0
B622	4	114.4005	04-03-2022	II	<0,020	<0,020	<0,020	0,2	0,09	0,31	790	4,4	14	480	16	0,2	<0,10	1305,2
B622	5	114.4006	04-03-2022	II	<0,020	<0,020	<0,020	36	35	4,8	200	2,1	6,2	270	6	0,092	<0,10	560,2
B623	1	114.4007	02-02-2022	II	<0,020	<0,020	<0,020	<0,020	<0,020	<0,10	53	<0,020	0,42	0,72	<0,020	0,041	<0,10	54,2
B623	2																	

Boring	Filter	DGU nr	Dato udtaget	Fase	Trichlormethan (Chloroform)	1,1,1-trichloretan	Tetrachlormethan	Trichloretan	Tetrachloretan	Chloretan	Vinylchlorid	1,1-dichloretan	trans-1,2-dichloretan	cis-1,2-dichloretan	1,2-dichloretan	1,1-dichloretan	Dichlormethan	SUM (Chlor)	
-	-	-	-	-	µg/l	µg/l	µg/l	µg/l	µg/l	µg/l	µg/l	µg/l	µg/l	µg/l	µg/l	µg/l	µg/l		
B624	2	114.4012	02-02-2022	II	<0,020	<0,020	<0,020	<0,020	<0,020	<0,10	200	<0,020	<0,020	0,23	<0,020	<0,020	0,19	200,4	
B624	3	114.4013	02-02-2022	II	<0,020	<0,020	<0,020	<0,020	<0,020	<0,10	900	0,051	0,35	9,3	0,62	<0,020	<0,10	910,3	
B624	4	114.4014	02-02-2022	II	<0,020	<0,020	<0,020	0,27	0,82	1	210	0,7	1,4	38	8,8	0,11	0,11	261,2	
B625	1	114.4015	23-02-2022	II	<0,020	<0,020	<0,020	<0,020	<0,020	0,53	3,6	0,04	0,064	2,7	0,36	<0,020	<0,10	7,3	
B625	2	114.4016	23-02-2022	II	<0,020	<0,020	<0,020	<0,020	<0,020	<0,10	440	<0,020	0,067	1,4	0,078	<0,020	<0,10	441,5	
B625	3	114.4017	25-02-2022	II	<0,020	<0,020	<0,020	0,64	0,43	0,35	67	2,1	2,4	130	11	0,11	0,24	214,3	
B625	4	114.4018	25-02-2022	II	<0,020	<0,020	<0,020	<0,020	<0,020	0,13	1200	1,8	2,5	94	5,6	0,11	0,29	1304,4	
B626	1	114.4019	15-03-2022	II	<0,020	<0,020	<0,020	<0,020	<0,020	<0,10	<0,020	<0,020	<0,020	<0,020	<0,020	<0,020	<0,10	0,0	
B626	2	114.4020	15-03-2022	II	<0,020	<0,020	<0,020	<0,020	<0,020	<0,10	0,12	<0,020	<0,020	0,3	1,3	<0,020	<0,10	1,7	
B626	3	114.4021	15-03-2022	II	<0,020	<0,020	<0,020	<0,020	<0,020	<0,10	<0,020	<0,020	<0,020	0,13	0,83	<0,020	<0,10	1,0	
B626	4	114.4022	15-03-2022	II	<0,020	<0,020	<0,020	0,048	0,2	<0,10	<0,020	<0,020	<0,020	<0,020	0,09	<0,020	<0,10	0,3	
B627	1	114.4023	15-03-2022	II	<0,020	<0,020	<0,020	<0,020	<0,020	<0,10	0,13	<0,020	0,037	<0,020	<0,020	<0,020	<0,10	0,2	
B627	2	114.4024	15-03-2022	II	<0,020	0,024	<0,020	0,07	<0,020	<0,10	3,3	0,11	0,14	13	1,8	<0,020	<0,10	18,4	
B627	3	114.4025	15-03-2022	II	<0,020	<0,020	<0,020	<0,020	<0,020	<0,10	17	0,45	0,81	34	4,3	0,028	<0,10	56,6	
B627	4	114.4026	15-03-2022	II	<0,020	<0,020	<0,020	0,058	0,039	<0,10	9,5	0,34	0,27	24	3,5	0,027	<0,10	37,7	
B628	1	114.4027	15-03-2022	II	<0,020	<0,020	<0,020	<0,020	<0,020	<0,10	<0,020	<0,020	<0,020	<0,020	<0,020	<0,10	0,0		
B628	2	114.4028	15-03-2022	II	<0,020	<0,020	<0,020	<0,020	<0,020	0,04	<0,10	<0,020	<0,020	<0,020	0,024	0,56	<0,020	<0,10	0,6
B628	3	114.4029	15-03-2022	II	<0,020	<0,020	<0,020	<0,020	<0,020	<0,10	<0,020	<0,020	<0,020	0,036	0,4	<0,020	<0,10	0,4	
B629	1	114.4030	16-03-2022	II	<0,020	<0,020	<0,020	<0,020	<0,020	<0,10	<0,020	<0,020	<0,020	<0,020	<0,020	<0,10	0,0		
B629	2	114.4031	16-03-2022	II	<0,020	<0,020	<0,020	<0,020	<0,020	<0,10	<0,020	<0,020	<0,020	0,25	<0,020	<0,020	<0,10	0,3	
B629	3	114.4032	16-03-2022	II	<0,020	<0,020	<0,020	<0,020	<0,020	<0,10	<0,020	<0,020	<0,020	<0,020	<0,020	<0,10	0,0		
B630	1	114.4033	16-03-2022	II	<0,020	<0,020	<0,020	<0,020	<0,020	<0,10	2,2	<0,020	<0,020	<0,020	<0,020	<0,020	<0,10	2,2	
B630	2	114.4034	16-03-2022	II	<0,020	<0,020	<0,020	<0,020	<0,020	<0,10	<0,020	<0,020	<0,020	<0,020	<0,020	<0,10	0,0		
B630	3	114.4035	16-03-2022	II	<0,020	<0,020	<0,020	<0,020	<0,020	<0,10	<0,020	<0,020	<0,020	<0,020	<0,020	<0,10	0,0		
B631	1	114.4036	14-03-2022	II	<0,020	<0,020	<0,020	<0,020	<0,020	0,072	<0,10	<0,020	<0,020	<0,020	<0,020	<0,020	<0,10	0,1	
B631	2	114.4037	14-03-2022	II	<0,020	<0,020	<0,020	1,9	4,9	<0,10	0,36	0,06	0,099	6,9	0,34	<0,020	<0,10	14,6	
B631	3	114.4038	14-03-2022	II	<0,020	<0,020	<0,020	0,7	1,7	<0,10	0,025	<0,020	0,14	2,8	0,25	<0,020	<0,10	5,6	
B632	1	114.4039	10-03-2022	II	<0,020	<0,020	<0,020	0,084	0,29	0,4	8,3	<0,020	0,12	1,4	<0,020	<0,020	<0,10	10,6	
B632	2	114.4040	10-03-2022	II	<0,020	<0,020	<0,020	3,6	5,9	52	1100	0,3	14	240	1,9	0,077	<0,10	1417,8	
B632	3	114.4041	10-03-2022	II	<0,020	<0,020	<0,020	0,072	0,06	57	2300	0,5	16	130	<0,020	<0,020	<0,10	2503,6	
B633	1	114.4042	14-03-2022	II	<0,020	<0,020	<0,020	<0,020	<0,020	<0,10	<0,020	<0,020	<0,020	<0,020	<0,020	<0,10	0,0		
B633	2	114.4043	14-03-2022	II	<0,020	<0,020	<0,020	0,076	<0,020	<0,10	36	0,49	1,2	42	5,5	0,041	<0,10	85,3	
B633	3	114.4044	14-03-2022	II	<0,020	<0,020	<0,020	0,058	<0,020	<0,10	110	0,24	0,49	23	3,5	<0,020	<0,10	137,3	
B633	4	114.4045	14-03-2022	II	0,11	<0,020	<0,020	0,033	0,3	<0,10	0,16	<0,020	<0,020	0,13	0,57	<0,020	<0,10	1,3	
B634	1	114																	

Boring	Filter	DGU nr	Dato udtaget	Fase	Trichlormethan (Chloroform)	1,1,1-trichloretan	Tetrachlormethan	Trichloretan	Tetrachloretan	Chloretan	Vinylchlorid	1,1-dichloretan	trans-1,2-dichloretan	cis-1,2-dichloretan	1,2-dichloretan	1,1-dichloretan	Dichlormethan	SUM (Chlor)
-	-	-	-	-	µg/l	µg/l	µg/l	µg/l	µg/l	µg/l	µg/l	µg/l	µg/l	µg/l	µg/l	µg/l	µg/l	
B635	3	114.4184	16-09-2022	II	<0,020	<0,020	<0,020	1,8	35	<0,10	<0,020	0,12	0,23	3,8	0,21	<0,020	<0,10	41,2
B636	1	114.4185	16-09-2022	II	<0,020	<0,020	<0,020	<0,020	<0,020	<0,10	<0,020	<0,020	<0,020	<0,020	<0,020	<0,020	<0,10	0,0
B636	2	114.4186	16-09-2022	II	<0,020	<0,020	<0,020	<0,020	<0,020	0,088	<0,10	<0,020	<0,020	<0,020	<0,020	<0,020	<0,10	0,1
B636	3	114.4187	16-09-2022	II	<0,020	<0,020	<0,020	<0,020	<0,020	0,075	<0,10	<0,020	<0,020	<0,020	<0,020	<0,020	<0,10	0,1
GWD7	Dræn		01-03-2022	II	<0,020	<0,020	<0,020	<0,020	<0,020	0,18	<0,10	<0,020	<0,020	<0,020	<0,020	<0,020	<0,10	0,2

- : ikke målt

#: ingen parametre er påvist

B601: Supplerende analyser for chlorerede opløsningsmidler og nedbrydningsprodukter, udført for afklaring af om B603 skulle udføres.

Boring	Filter	DGU nr	Dato udtaget	Fase	Vandtemperatur (felt)	Redoxpotential (felt)	pH (felt)	ilt (felt)	Konduktivitet (Ledningsevne)	Ammonium, Filt Felt	Fluorid (F)	Mangan (Mn), Filt Felt	Calcium (Ca), filt Felt	Magnesium (Mg) Filt Felt	Kalium (K) Filt Felt	Natrium (Na), Filt Felt	Jern (Fe)	Nitrit	Nitrat	Total-P
-	-	-	-	-	°C	mV	pH	mg/l	µS/cm	mg/l	mg/l	mg/l	mg/l	mg/l	mg/l	mg/l	mg/l	mg/l	mg/l	mg/l
114.2507 - 1	1	114.2507	07-03-2022	II	-	-	-	-	0,87	<0,030	0,23	6,1	1,6	1,4	49	18	<0,0010	<0,10	0,12	
114.2507 - 2	2	114.2507	07-03-2022	II	-	-	-	-	0,87	0,045	0,3	8,7	2,4	1,4	51	26	<0,0010	<0,10	0,11	
114.2508 - 1	1	114.2508	07-03-2022	II	-	-	-	-	-	2,2	0,28	0,39	5,8	1,6	2,5	93	53	<0,0010	0,16	0,065
B601	1	114.3900	25-01-2022	II	9,7	-63	6,45	0,21	233	0,19	0,15	0,21	18	4,7	2	16	3	0,008	0,19	0,074
B601	2	114.3900	25-01-2022	II	9,7	-82	6,61	0,02	331	0,24	0,19	0,27	12	2,3	1,7	57	3,4	0,023	0,46	0,13
B601	3	114.3901	25-01-2022	II	10,2	-323	7,08	0,13	484	1,3	0,27	0,86	9,9	2,7	1,6	71	13	0,008	0,47	0,28
B601	4	114.3901	25-01-2022	II	10,6	-160	6,87	0,32	503	3,1	0,37	1,8	14	4,3	1,5	41	44	<0,0010	0,22	0,043
B601	5	114.3902	25-01-2022	II	10,5	-96	6,90	0,29	561	4,9	0,33	1,5	15	3,7	1,8	73	19	0,033	0,16	0,22
B601	6	114.3902	25-02-2022	II	11,0	-223	7,84	0,18	823	9,4	0,39	2	22	5,2	2,9	120	28	<0,0010	0,18	0,11
B602	1	114.3904	01-02-2022	II	8,9	-129	9,03	0,30	309	0,22	0,095	0,062	25	5,8	3,8	39	3,2	0,066	0,71	0,18
B602	2	114.3904	01-02-2022	II	8,6	-27	7,00	0,07	286	0,26	<0,030	0,18	15	3,3	1,9	25	4,8	0,079	0,5	0,14
B602	3	114.3905	01-02-2022	II	8,5	14	6,38	0,04	235	0,31	<0,030	0,23	8,8	2,1	1,8	27	2,7	0,033	0,95	0,019
B602	4	114.3905	03-10-2022	III	-	-	-	-	-	0,075	0,54	<0,0020	2,6	0,66	4,2	250	0,039	0,41	2,2	0,36
B602	5	114.3906	01-02-2022	II	9,2	31,2	6,4	0,9	275,6	0,78	0,053	0,46	7,6	1,8	1,4	28	5,5	0,021	0,14	0,014
B602	6	114.3906	01-02-2022	II	9,0	-4	6,40	0,05	315	1,3	0,032	0,16	9,7	2	2,4	31	9,5	0,03	0,17	0,11
B603	1	114.3909	15-02-2022	II	9,2	49	8,89	0,03	393	0,27	0,081	0,0056	17	3,8	3	58	0,13	0,027	0,19	0,085
B603	2	114.3909	15-02-2022	II	9,2	-41	8,22	0,04	389	0,24	0,17	0,066	4,5	0,71	1,6	69	0,66	0,062	0,69	0,17
B603	3	114.3910	15-02-2022	II	9,4	-14	7,70	0,05	431	0,23	0,11	0,37	11	2,8	1,9	54	3	0,014	0,45	0,073
B603	4	114.3910	15-02-2022	II	10,0	48	7,89	1,48	414	0,099	0,15	0,37	16	6,1	1,5	49	0,096	0,078	36	0,092
B603	5	114.3911	15-02-2022	II	10,0	102	8,03	3,95	372	0,12	0,1	0,23	17	4	1,6	36	0,067	0,065	27	0,04
B603	6	114.3911	15-02-2022	II	10,8	-102	7,60	0,03	463	0,32	0,4	2	16	3,6	1,2	60	19	<0,0010	0,2	0,29
B611	1	114.3962	01-03-2022	II	8,8	-45	6,17	0,03	228	0,13	0,036	0,32	14	4,1	1,2	13	19	<0,0010	<0,10	0,1
B611	2	114.3963	01-03-2022	II	9,0	-64	6,17	0,04	568	0,15	0,034	0,5	21	5,6	1,5	72	36	<0,0010	0,33	0,13
B611	3	114.3964	01-03-2022	II	9,2	-12	5,98	0,04	269	0,23	0,036	0,31	9,7	2,4	2	18	34	<0,0010	0,27	0,049
B611	4	114.3965	01-03-2022	II	10,8	8	5,06	0,03	758	0,7	<0,030	0,58	43	11	3,8	67	24	0,0092	<0,10	0,018
B611	5	114.3966	01-03-2022	II	11,2	59	5,27	0,06	259	0,27	<0,030	0,17	15	3,4	1,7	20	14	<0,0010	0,15	0,051
B611	6	114.3967	01-03-2022	II	11,2	-11	5,46	0,05	258	0,58	0,057	2,1	14	3,7	2,8	23	2,1	0,0051	1,7	0,048
B612	1	114.3968	01-03-2022	II	9,0	-23	5,98	0,04	311	0,19	<0,030	0,25	6,9	1,6	1,4	29	32	<0,0010	<0,10	0,074
B612	2	114.3969	01-03-2022	II	11,0	87	4,95	0,21	886	1,1	<0,030	0,34	23	8,4	2,6	130	4,4	<0,0010	<0,10	0,02
B612	3	114.3970	01-03-2022	II	11,1	93	4,90	0,08	605	6,3	<0,030	0,63	34	12	3,9	49	5,5	<0,0010	<0,10	0,019
B612	4	114.3971	01-03-2022	II	11,4	66	5,35	0,03	207	0,29	0,039	0,75	12	3,4	1,4	18	3,5	<0,0010	<0,10	0,038
B613	1	114.3972	22-02-2022	II	8,9	-47	6,34	0,10	170	0,15	0,036	0,17	8,3	1,7	1,3	11	17	<0,0010	0,24	0,17
B613	2	114.3973	22-02-2022	II	10,6	63	5,23	0,04	817	0,65	<0,030	0,46	29	7,9	2,8	95	14	<0,0010	0,26	0,068
B613	3	114.3974	22-02-2022	II	10,8	82	5,08	0,23	708	1,1	<0,030	0,075	18	5,4	2,7	100	2,7	<0,0010	<0,10	0,037
B613	4	114.3975	22-02-2022	II	10,8	51	5,41	0,28	373	3	0,049	0,92	19	5,4	2,4	29	13	<0,0010	<0,10	0,094
B614	1	114.3976	23-02-2022	II	9,0	-50	6,47	0,03	192	0,18	0,04	0,26	14	2,8	1,2	11	21	<0,0010	<0,10	0

Boring	Filter	DGU nr	Dato udtaget	Fase	Vandtemperatur (felt)	Redoxpotential (felt)	pH (felt)	Ilt (felt)	Konduktivitet (Ledningsevne)	Ammonium, Filt Felt	Fluorid (F)	Mangan (Mn), Filt Felt	Calcium (Ca), filt Felt	Magnesium (Mg) Filt Felt	Kalium (K) Filt Felt	Natrium (Na), Filt Felt	Jern (Fe)	Nitrit	Nitrat	Total-P
					°C	mV	pH	mg/l	µS/cm	mg/l	mg/l	mg/l	mg/l	mg/l	mg/l	mg/l	mg/l	mg/l	mg/l	mg/l
-	-	-	-	-																
B615	1	114.3980	10-03-2022	II	9,2	-62	6,18	0,09	208	0,27	0,047	0,26	16	5,4	0,83	10	13	<0,0010	<0,10	0,094
B615	2	114.3981	10-03-2022	II	12,0	-109	5,31	0,02	702	1	0,16	5	36	9,1	1,4	76	35	<0,0010	<0,10	0,72
B615	3	114.3982	10-03-2022	II	11,8	76	5,74	0,21	277	0,15	<0,030	0,22	9,7	1,2	3,1	39	0,39	0,0067	18	0,011
B616	1	114.3983	15-03-2022	II	11,1	92	5,66	0,25	264	0,028	0,033	0,047	3,5	1,4	1	44	0,43	<0,0010	<0,10	0,008
B616	2	114.3984	15-03-2022	II	9,7	169	5,54	0,16	269	0,06	<0,030	0,05	3,8	1,7	0,92	44	0,32	0,013	0,14	0,04
B616	3	114.3985	15-03-2022	II	11,9	7	5,84	0,03	643	0,42	0,07	2,2	28	5,5	1,5	69	25	<0,0010	0,1	0,23
B616	4	114.3986	15-03-2022	II	11,7	161	5,41	3,83	216	<0,0040	<0,030	0,072	12	1,8	3,2	27	0,065	<0,0010	15	0,003
B617	1	114.3987	09-03-2022	II	8,7	-177	6,35	0,67	334	1	0,39	1,9	5,8	1,6	0,64	22	52	<0,0010	<0,10	0,097
B617	2	114.3988	09-03-2022	II	9,6	-107	6,25	0,05	348	0,079	0,068	5,1	10	3,3	0,33	45	3,9	<0,0010	<0,10	0,06
B617	3	114.3989	09-03-2022	II	11,8	-16	5,96	0,05	511	0,12	<0,030	0,26	12	3,7	1,3	73	6,6	0,0016	<0,10	0,2
B617	4	114.3990	09-03-2022	II	11,3	110	5,66	1,03	267	0,42	<0,030	1,7	9,3	1,6	2,6	30	1,3	0,0064	19	0,16
B618	1	114.3991	08-03-2022	II	9,6	-120	5,91	0,03	525	0,23	0,095	1,3	23	6,1	1,1	48	42	<0,0010	0,12	0,049
B618	2	114.3992	08-03-2022	II	11,7	-130	5,64	0,04	286	0,11	0,033	0,093	7,7	2,4	1,3	46	5	0,0028	<0,10	0,13
B618	3	114.3993	08-03-2022	II	11,5	-90	5,60	0,28	402	0,91	<0,030	3,7	11	4,2	3,1	48	0,57	0,011	5,2	0,027
B619	1	114.3994	08-03-2022	II	9,1	-141	5,96	0,04	449	0,3	0,05	0,52	23	4,7	1,9	32	38	<0,0010	<0,10	0,071
B619	2	114.3995	08-03-2022	II	11,5	-165	6,00	0,03	519	1,1	0,034	0,14	8,8	3,7	1,2	78	2,7	0,0028	<0,10	0,061
B619	3	114.3996	08-03-2022	II	11,2	-44	4,83	0,14	454	0,88	<0,030	2,2	18	4,4	2,1	53	2,7	0,002	0,58	0,098
B620	1	114.3997	08-03-2022	II	9,3	-169	5,74	0,03	677	1,9	0,048	0,79	19	5	2,5	86	46	<0,0010	0,2	0,068
B620	2	114.3998	08-03-2022	II	11,4	-101	5,36	0,03	435	0,27	<0,030	0,14	9,1	4,3	1,5	66	3,6	<0,0010	1,2	0,063
B620	3	114.3999	08-03-2022	II	11,3	-170	5,90	0,03	716	3,1	0,14	1,5	26	5,6	2,3	110	18	<0,0010	<0,10	0,28
B621	1	114.4000	08-03-2022	II	8,7	-175	5,81	0,20	430	1	<0,030	0,33	9,4	2,3	1,7	56	23	<0,0010	<0,10	0,15
B621	2	114.4001	08-03-2022	II	10,9	-124	6	0,08	581	1,2	<0,030	0,2	15	3,8	2	86	8,8	<0,0010	0,41	0,035
B621	3	114.4002	08-03-2022	II	10,3	4	6,07	0,93	287	1	0,034	0,67	13	3,9	2,3	42	6,5	<0,0010	9,8	0,023
B622	1	114.4052	04-03-2022	II	8,9	-146	5,70	0,06	429	1,3	<0,030	0,56	11	3,1	1,9	49	23	<0,0010	0,63	0,19
B622	2	114.4003	04-03-2022	II	8,9	-127	5,42	0,03	426	0,35	<0,030	0,35	12	2,8	1,8	52	14	<0,0010	<0,10	0,12
B622	3	114.4004	04-03-2022	II	8,9	-144	5,53	0,06	839	2,1	0,16	0,59	22	5,1	2,1	94	59	<0,0010	0,25	0,077
B622	4	114.4005	04-03-2022	II	11,1	467	5,49	0,03	-58	2,9	<0,030	0,065	8,6	1,4	1,7	74	2,5	<0,0010	0,2	0,055
B622	5	114.4006	04-03-2022	II	11,3	-93	5,72	0,21	454	2,6	0,075	1,5	12	3	1,9	68	32	<0,0010	<0,10	0,083
B623	1	114.4007	02-02-2022	II	9,4	-150	6,70	0,05	693	0,88	0,073	0,53	25	5,6	2,4	66	66	<0,0010	<0,10	0,086
B623	2	114.4008	02-02-2022	II	11,1	5	5,35	0,21	633	0,43	<0,030	0,47	29	5,7	3,2	79	19	<0,0010	0,21	0,035
B623	3	114.4009	02-02-2022	II	11,4	-95	5,76	0,03	357	0,5	0,041	0,79	22	2,5	1,8	42	7,9	<0,0010	0,54	0,5
B623	4	114.4010	02-02-2022	II	10,9	3	5,40	3,49	218	0,032	<0,030	0,3	12	2,1	2,7	23	2	0,0051	18	0,025
B624	1	114.4011	02-02-2022	II	8,7	-48	6,31	0,03	171	<0,0040	0,037	0,11	15	2,4	1,4	11	11	<0,0010	0,19	0,11
B624	2	114.4012	02-02-2022	II	10,9	-22	5,1													

Boring	Filter	DGU nr	Dato udtaget	Fase	Vandtemperatur (felt)	Redoxpotential (felt)	pH (felt)	ilt (felt)	Konduktivitet (Ledningsevne)	Ammonium, Filt Felt	Fluorid (F)	Mangan (Mn), Filt Felt	Calcium (Ca), filt Felt	Magnesium (Mg) Filt Felt	Kalium (K) Filt Felt	Natrium (Na), Filt Felt	Jern (Fe)	Nitrit	Nitrat	Total-P
-	-	-	-	-	°C	mV	pH	mg/l	µS/cm	mg/l	mg/l	mg/l	mg/l	mg/l	mg/l	mg/l	mg/l	mg/l	mg/l	mg/l
B625	4	114.4018	25-02-2022	II	10,8	8	5,88	0,03	359	2,2	0,048	1	14	4,5	2,2	31	26	<0,0010	0,3	0,25
B626	1	114.4019	15-03-2022	II	9,9	-63	5,55	0,05	196	<0,0040	0,042	0,25	11	2,3	1,5	17	22	<0,0010	2,4	0,16
B626	2	114.4020	15-03-2022	II	11,4	-11	5,61	0,03	238	0,29	<0,030	0,24	14	4	1,5	22	6,4	<0,0010	0,86	0,11
B626	3	114.4021	15-03-2022	II	12,5	-52	5,78	0,03	209	<0,0040	0,033	0,13	11	2	3,1	21	7,1	<0,0010	0,68	0,16
B626	4	114.4022	15-03-2022	II	11,5	154	5,33	1,11	210	0,023	0,036	0,21	13	1,7	4,4	18	0,055	0,0038	15	<0,0030
B627	1	114.4023	15-03-2022	II	8,7	-17	6,03	0,04	158	0,15	<0,030	0,18	6	1,2	1,3	12	16	<0,0010	0,2	0,099
B627	2	114.4024	15-03-2022	II	-	-	-	-	-	0,16	<0,030	1,9	74	22	10	29	140	0,0012	0,11	2,7
B627	3	114.4025	15-03-2022	II	-	-	-	-	-	0,18	<0,030	1,2	47	14	6,6	35	88	0,0055	<0,10	1,2
B627	4	114.4026	15-03-2022	II	8,9	17	5,79	0,07	501	0,14	<0,030	0,59	28	8,4	2,3	30	20	<0,0010	0,77	0,08
B628	1	114.4027	15-03-2022	II	8,9	-94,0	6,1	0,03	261,2	0,13	0,06	0,15	18	4,1	2,1	21	8,4	0,031	0,24	0,15
B628	2	114.4028	15-03-2022	II	10,8	-17	5,91	0,06	367	0,2	0,039	0,1	10	2,1	2,5	47	7,5	0,0093	0,18	0,059
B628	3	114.4029	15-03-2022	II	10,0	5	5,97	1,05	237	0,14	<0,030	0,25	24	4	3,9	23	19	0,002	1,5	0,26
B629	1	114.4030	16-03-2022	II	10,4	-226	6,01	0,05	152	0,15	0,034	0,24	15	1,7	1,2	11	6,6	<0,0010	0,28	0,039
B629	2	114.4031	16-03-2022	II	11,1	55	5,61	0,04	220	0,085	<0,030	0,085	12	2,5	1,3	24	2,2	<0,0010	0,39	0,034
B629	3	114.4032	16-03-2022	II	10,3	23	5,86	0,21	254	0,064	0,047	0,2	14	3	2,6	23	4	<0,0010	1,7	0,071
B630	1	114.4033	16-03-2022	II	10,4	-127	5,76	0,03	-120	1,2	0,031	0,094	12	2	1,7	45	3,1	<0,0010	0,35	0,055
B630	2	114.4034	16-03-2022	II	10,8	-79	5,66	0,03	-86	<0,0040	<0,030	0,088	10	1,5	1,4	14	3,1	<0,0010	0,75	0,15
B630	3	114.4035	16-03-2022	II	9,8	-68	5,65	0,03	-101	0,058	<0,030	0,083	11	1,3	1,2	15	2,9	<0,0010	<0,10	0,058
B631	1	114.4036	14-03-2022	II	14,2	-32	6,29	0,10	238	0,16	0,068	0,73	56	4,9	2	11	19	<0,0010	0,61	0,41
B631	2	114.4037	14-03-2022	II	11,6	60	5,90	0,04	261	0,088	0,039	0,52	13	6,3	1,1	30	2,3	<0,0010	<0,10	0,049
B631	3	114.4038	14-03-2022	II	11,0	-9	6,03	0,21	280	1,7	0,049	4,2	9,5	3,9	1,9	32	4,3	<0,0010	3,6	0,051
B632	1	114.4039	10-03-2022	II	12,0	-33	6,13	0,19	335	0,073	<0,030	0,22	16	2,7	1,6	41	3,1	0,0067	<0,10	0,072
B632	2	114.4040	10-03-2022	II	12,2	-106	6,33	0,03	921	2,1	0,15	15	40	12	1,5	100	42	<0,0010	<0,10	1,1
B632	3	114.4041	10-03-2022	II	12,0	-105	6,22	0,42	700	11	0,12	9,3	8	2,6	3,1	96	24	<0,0010	<0,10	0,32
B633	1	114.4042	14-03-2022	II	9,1	5	6,07	0,04	165	0,21	<0,030	0,18	6,5	1,4	1,5	12	21	<0,0010	0,48	0,19
B633	2	114.4043	14-03-2022	II	10,7	-12	5,88	0,03	707	0,7	<0,030	1,2	42	9,5	3,2	43	57	<0,0010	0,12	0,27
B633	3	114.4044	14-03-2022	II	11,2	45	5,80	0,03	946	0,77	<0,030	1,9	55	14	3,6	72	61	<0,0010	<0,10	0,065
B633	4	114.4045	14-03-2022	II	10,9	136	5,88	1,20	248	0,039	0,043	0,49	16	2	3,8	24	2,1	0,0022	9,8	0,015
B634	1	114.4046	16-03-2022	II	9,2	-130	5,73	0,03	347	0,68	0,035	0,2	20	3	1,7	33	10	<0,0010	0,2	0,09
B634	2	114.4047	16-03-2022	II	10,7	-55	5,70	0,04	299	<0,0040	0,033	0,09	13	2,3	1,6	42	3,9	<0,0010	0,99	0,091
B634	3	114.4048	16-03-2022	II	10,2	-8	5,65	0,03	170	<0,0040	<0,030	0,14	12	1,2	1,3	14	4,6	<0,0010	0,31	0,17
B635	1	114.4182	16-09-2022	II	10,9	23	5,82	0,05	114	0,13	<0,030	0,28	6,9	2,7	0,79	11	0,33	<0,0010	<0,10	0,011
B635	2	114.4183	16-09-2022	II	10,7	89	5,09	0,04	193	1,4	0,03	1,1	10	4,7	1	14	1	0,023	16	0,01
B635	3	114.4184	16-09-2022	II	12,3	91	6,03	0,04	514	1,4	0,031	1,5	24	3,3	4,9	61	0,037	0,014	16	0,11
B636	1	114.4185	16-09-2022	II	11,3	109	6,51	0,06	193	0,22	0,094	0,41	11	2,5	0,65	10	18	<0,0010	0,31	0,073
B636	2	114.4186	16-09-2022	II	10,2	-76	5,90	0,04	182	0,091	<0,030	0,39								

Boring	Filter	DGU nr	Dato udtaget	Fase	Hydrogencarbonat (Granplot)													Feltmålinger, hovedbestanddele (boringskontrol), og tungmetaller												
					Chlorid	Sulfat	Hydrogencarbonat	Aggressiv kuldioxid	Inddampningsrest	Hydrogensulfid-H2S	N VOC, ikke flygt,org,carbon	Arsen (As) Filt Felt	Bor (B) Filt Felt	Bly, Pb, Filt Felt	Cadmium, Cd, Filt Felt	Barium (Ba) Filt Felt	Chrom, Cr, Filt Felt	Kobber, Cu, Filt Felt	Kviksølv, Hg, Filt Felt	Methylkviksølv, filtr.										
-	-	-	-	-	mg/l	mg/l	mg/l	mg/l	mg/l	mg/l	mg/l	µg/l	µg/l	µg/l	µg/l	µg/l	µg/l	µg/l	µg/l	µg/l	ng/l									
114.2507 - 1	1	114.2507	07-03-2022	II	-	64	9,2	66	55	210	0,5	4,9	26	470	0,037	0,0036	51	2,4	0,09	-	-									
114.2507 - 2	2	114.2507	07-03-2022	II	-	73	3,1	83	45	240	0,096	4,7	16	690	0,092	<0,0030	62	1,4	0,59	-	-									
114.2508 - 1	1	114.2508	07-03-2022	II	-	100	22	130	36	340	0,053	6,5	19	1400	<0,025	<0,0030	110	0,25	<0,030	-	-									
B601	1	114.3900	25-01-2022	II	-	17	7,1	99	29	150	<0,020	3	1,9	72	0,043	0,011	51	0,2	0,13	<0,002	1,4									
B601	2	114.3900	25-01-2022	II	-	30	48	110	24	350	<0,020	5,1	14	22	0,53	0,013	60	1,4	0,46	0,032	1,84									
B601	3	114.3901	25-01-2022	II	-	40	69	120	9	390	<0,020	5,9	54	45	0,12	0,012	95	0,5	0,9	0,00868	0,33									
B601	4	114.3901	25-01-2022	II	6,7	57	58	-	19	260	0,041	2,9	3,4	47	0,055	0,0042	130	0,4	0,15	<0,002	0,333									
B601	5	114.3902	25-01-2022	II	-	46	90	110	31	530	<0,020	4,7	9,9	65	0,2	0,026	140	0,99	0,41	0,0279	0,47									
B601	6	114.3902	25-02-2022	II	-	69	65	220	14	470	0,051	5,1	41	34	0,058	0,034	150	0,09	0,2	0,00471	0,295									
B602	1	114.3904	01-02-2022	II	-	20	23	170	<5	450	0,02	8,1	7,6	160	0,2	<0,0030	66	1,2	0,38	0,38	0,0132									
B602	2	114.3904	01-02-2022	II	-	22	20	83	49	230	<0,020	3,6	6,1	39	0,1	<0,0030	73	5,6	0,16	0,16	0,00531									
B602	3	114.3905	01-02-2022	II	-	19	39	41	71	150	0,074	1,5	1,5	15	0,08	<0,0030	79	0,26	0,12	0,12	0,00345									
B602	4	114.3905	03-10-2022	III	-	57	300	350	<5	1600	<0,020	1,6	42	120	0,32	0,054	27	0,34	4,1	0,0043	0,0905									
B602	5	114.3906	01-02-2022	II	-	25	27	54	68	140	0,025	0,93	6	18	<0,025	0,041	61	0,27	0,11	0,11	0,00286									
B602	6	114.3906	01-02-2022	II	-	33	34	51	56	200	0,054	3,1	11	18	0,079	0,011	55	0,49	0,15	0,15	0,0156									
B603	1	114.3909	15-02-2022	II	-	17	15	170	<5	250	<0,020	3,8	4,8	180	0,32	<0,0030	22	0,28	0,49	0,00507	<0,03									
B603	2	114.3909	15-02-2022	II	-	30	60	130	21	480	<0,020	2,5	9,3	29	3	0,049	19	1,4	2,8	0,0504	<0,03									
B603	3	114.3910	15-02-2022	II	-	37	76	70	34	380	<0,020	3,5	2,6	19	1	0,048	59	0,82	2,1	0,0257	<0,03									
B603	4	114.3910	15-02-2022	II	-	31	63	76	22	360	<0,020	1,7	1,3	30	0,88	0,085	76	0,48	1,9	0,0175	<0,03									
B603	5	114.3911	15-02-2022	II	-	24	50	57	35	240	<0,020	4,4	0,64	30	0,48	0,021	51	0,4	1,1	0,013	<0,03									
B603	6	114.3911	15-02-2022	II	-	34	41	97	18	240	0,023	2,9	19	130	0,24	0,013	41	0,19	0,77	0,00545	<0,03									
B611	1	114.3962	01-03-2022	II	-	25	4,5	86	44	130	0,021	1,9	19	450	0,044	0,0043	65	0,47	0,03	-	-									
B611	2	114.3963	01-03-2022	II	-	58	130	76	32	570	<0,020	19	32	810	0,078	0,0059	140	2,4	0,31	-	-									
B611	3	114.3964	01-03-2022	II	50	46	<0,50	-	65	190	<0,020	3,7	25	740	0,052	<0,0030	130	0,38	0,058	-	-									
B611	4	114.3965	01-03-2022	II	18	170	73	-	110	890	<0,020	4,6	10	530	0,048	<0,0030	220	0,37	0,093	-	-									
B611	5	114.3966	01-03-2022	II	8,5	29	50	-	71	170	0,054	4,8	2,8	300	0,058	0,0076	55	0,16	0,079	-	-									
B611	6	114.3967	01-03-2022	II	20	38	36	-	55	170	<0,020	2,7	2,6	54	0,028	0,41	120	0,2	0,071	-	-									
B612	1	114.3968	01-03-2022	II	-	54	1,9	78	58	180	0,051	2,6	33	730	0,05	<0,0030	84	0,37	2,9	-	-									
B612	2	114.3969	01-03-2022	II	14	210	50	-	130	510	0,07	7,1	1,2	110	0,044	<0,0030	300	0,74	0,4	-	-									
B612	3	114.3970	01-03-2022	II	8,1	57	160	-	117	380	0,043	7,9	1,3	120	0,071	<0,0030	19	0,27	0,29	-	-									
B612	4	114.3971	01-03-2022	II	12	29	33	-	67	130	<0,020	1,5	8,3	71	0,047	0,036	89	0,21	0,22	-	-									
B613	1	114.3972	22-02-2022	II	-	22	2,9	61	50	570	<0,020	5,7	16	24	0,058	0,0078	67	0,34	0,1	-	-									
B613	2	114.3973	22-02-2022	II	21	210	14	-	116	590	<0,020	6,1	7,7	16	0,033	<0,0030	640	0,44												

Boring	Filter	DGU nr	Dato udtaget	Fase	Hydrogencarbonat (Granplot)													Kviksølv, Hg, Filt Felt	Methylkviksølv, filtr.		
					Chlorid	Sulfat	Hydrogencarbonat	Aggressiv kuldioxid	Inddampningsrest	Hydrosulfid-H2S	N VOC, ikke flygt,org,carbon	Arsen (As) Filt Felt	Bor (B) Filt Felt	Bly, Pb, Filt Felt	Cadmium, Cd, Filt Felt	Barium (Ba) Filt Felt	Chrom, Cr, Filt Felt	Kobber, Cu, Filt Felt			
-	-	-	-	-	mg/l	mg/l	mg/l	mg/l	mg/l	mg/l	µg/l	µg/l	µg/l	µg/l	µg/l	µg/l	µg/l	ng/l			
B615	1	114.3980	10-03-2022	II	-	17	3,6	88	35	100	<0,020	2,8	18	320	<0,025	<0,0030	59	0,56	<0,030	-	-
B615	2	114.3981	10-03-2022	II	-	78	38	230	21	430	0,041	8	27	850	0,029	<0,0030	88	0,16	0,21	-	-
B615	3	114.3982	10-03-2022	II	11	47	27	-	49	170	<0,020	2,6	0,62	33	0,034	0,025	64	0,13	0,9	-	-
B616	1	114.3983	15-03-2022	II	14	48	24	-	72	180	<0,020	1,3	0,21	170	<0,025	0,028	160	0,24	1,9	-	-
B616	2	114.3984	15-03-2022	II	12	53	25	-	79	230	<0,020	4,6	0,55	170	<0,025	0,022	240	0,012	<0,030	-	-
B616	3	114.3985	15-03-2022	II	-	100	46	140	87	380	<0,020	3,7	27	720	<0,025	<0,0030	120	0,069	0,036	-	-
B616	4	114.3986	15-03-2022	II	-	41	14	34	26	140	<0,020	1,2	0,11	18	0,031	0,072	80	0,15	1,6	-	-
B617	1	114.3987	09-03-2022	II	-	34	16	54	5	400	400	3,3	17	1300	<0,025	<0,0030	61	0,078	0,043	-	-
B617	2	114.3988	09-03-2022	II	-	48	34	77	<2	280	280	3,6	2,1	150	<0,025	0,01	120	0,087	0,086	-	-
B617	3	114.3989	09-03-2022	II	-	100	46	44	125	340	340	4,8	24	180	0,028	<0,0030	360	0,49	1,2	-	-
B617	4	114.3990	09-03-2022	II	7,7	49	22	-	27	180	180	4,7	1,5	50	0,03	0,4	80	0,21	1,2	-	-
B618	1	114.3991	08-03-2022	II	-	77	7,5	130	47	340	0,092	10	4,3	960	<0,025	<0,0030	210	0,082	<0,030	-	-
B618	2	114.3992	08-03-2022	II	23	59	35	-	107	640	<0,020	2,8	1,6	140	<0,025	<0,0030	110	0,2	0,063	-	-
B618	3	114.3993	08-03-2022	II	23	72	46	-	85	220	<0,020	2,6	1,2	39	0,027	0,83	86	0,3	0,41	-	-
B619	1	114.3994	08-03-2022	II	-	57	14	120	31	250	0,02	4,7	19	930	<0,025	0,0049	90	0,46	0,06	-	-
B619	2	114.3995	08-03-2022	II	-	95	36	57	110	370	<0,020	4,1	1,1	74	<0,025	<0,0030	130	0,31	<0,030	-	-
B619	3	114.3996	08-03-2022	II	-	81	47	44	100	260	<0,020	4,8	5,4	77	0,033	0,064	120	0,59	0,48	-	-
B620	1	114.3997	08-03-2022	II	-	100	24	100	57	450	<0,020	21	20	1100	0,027	<0,0030	160	0,62	0,053	-	-
B620	2	114.3998	08-03-2022	II	33	110	20	-	120	570	<0,020	5,1	1,5	110	0,073	<0,0030	370	0,36	0,079	-	-
B620	3	114.3999	08-03-2022	II	-	83	36	220	61	400	0,052	12	30	410	0,04	<0,0030	100	0,73	0,083	-	-
B621	1	114.4000	08-03-2022	II	-	85	1,7	74	48	240	0,33	5,2	4	560	0,026	<0,0030	82	1,9	0,067	-	-
B621	2	114.4001	08-03-2022	II	-	120	17	93	108	410	0,14	15	1,5	210	0,034	<0,0030	110	0,22	<0,030	-	-
B621	3	114.4002	08-03-2022	II	-	57	34	41	54	210	<0,020	2,4	3,2	170	<0,025	0,25	74	0,17	0,73	-	-
B622	1	114.4052	04-03-2022	II	-	81	8,3	100	45	270	0,16	4,9	2,8	610	<0,025	<0,0030	82	1,4	0,17	-	-
B622	2	114.4003	04-03-2022	II	-	98	2,6	58	56	260	0,29	3,1	4,8	380	<0,025	<0,0030	90	1,3	0,066	-	-
B622	3	114.4004	04-03-2022	II	-	160	<0,50	180	<5	980	<0,020	6	35	1600	<0,025	<0,0030	100	0,15	<0,030	-	-
B622	4	114.4005	04-03-2022	II	-	69	57	58	127	330	0,1	12	1,1	72	<0,025	<0,0030	35	0,25	0,2	-	-
B622	5	114.4006	04-03-2022	II	-	64	62	130	57	320	<0,020	5,3	18	840	<0,025	<0,0030	53	0,066	0,044	-	-
B623	1	114.4007	02-02-2022	II	-	120	2,3	170	<5	1200	<0,020	7,5	44	1500	0,035	<0,0030	95	0,39	0,098	-	-
B623	2	114.4008	02-02-2022	II	-	160	24	34	118	490	0,14	4,3	8,5	410	<0,025	<0,0030	130	0,33	0,074	-	-
B623	3	114.4009	02-02-2022	II	-	47	53	54	74	500	<0,020	8,4	12	170	0,088	0,044	54	0,53	0,087	-	-
B623	4	114.4010	02-02-2022	II	13	37	17	-	54	140	<0,020	2,8	1,7	60	0,043	0,13	82	0,48	0,5	-	-
B624	1	114.4011	02-02-2022	II	-	18	4,4	72	38	320	<0,020	2,7	14	250	0,63	0,0078	66	2,1	1,7	-	-
B624	2	114.4012	02-02-2022	II	<0,30	180	15	-	119	520	<0,020	11	1,9	310	0,03	<0,0030	89	0,64	0,13	-	-
B624	3	114.4013	02-02-2022	II	-	150	35														

Boring	Filter	DGU nr	Dato udtaget	Fase	Hydrogencarbonat (Granplot)													Kviksølv, Hg, Filt Felt			
					Chlorid	Sulfat	Hydrogencarbonat	Aggressiv kuldioxid	Inddampningsrest	Hydrosulfid-H2S	NVOC, ikke flygt,org,carbon	Arsen (As) Filt Felt	Bor (B) Filt Felt	Bly, Pb, Filt Felt	Cadmium, Cd, Filt Felt	Barium (Ba) Filt Felt	Chrom, Cr, Filt Felt				
-	-	-	-	-	mg/l	mg/l	mg/l	mg/l	mg/l	mg/l	µg/l	µg/l	µg/l	µg/l	µg/l	µg/l	µg/l	ng/l			
B625	4	114.4018	25-02-2022	II	-	38	68	42	57	220	0,052	4,2	71	540	0,032	0,014	36	0,26	0,18	-	-
B626	1	114.4019	15-03-2022	II	-	32	13	40	44	1900	<0,020	3	16	620	0,13	0,0031	120	0,81	<0,030	-	-
B626	2	114.4020	15-03-2022	II	9	37	55	-	67	790	<0,020	6,6	2,9	170	0,028	<0,0030	97	0,25	<0,030	-	-
B626	3	114.4021	15-03-2022	II	7,7	30	31	-	54	450	<0,020	36	4,2	190	<0,025	<0,0030	170	0,32	0,059	-	-
B626	4	114.4022	15-03-2022	II	-	34	22	<3,0	<5	140	<0,020	1,2	<0,030	22	0,11	0,2	93	0,22	1	-	-
B627	1	114.4023	15-03-2022	II	-	23	3,9	51	56	1500	<0,020	6,4	1	440	0,54	0,015	59	0,52	0,2	-	-
B627	2	114.4024	15-03-2022	II	-	49	76	120	38	15000	<0,020	6	2,7	2200	0,04	0,029	99	0,4	<0,030	-	-
B627	3	114.4025	15-03-2022	II	<0,30	73	110	-	87	6500	<0,020	7,7	0,074	1500	<0,025	0,004	32	<0,010	<0,030	-	-
B627	4	114.4026	15-03-2022	II	14	60	120	-	103	340	0,041	6,5	0,14	520	<0,025	<0,0030	120	<0,010	<0,030	-	-
B628	1	114.4027	15-03-2022	II	-	19	15	98	21	240	<0,020	1,3	19	280	0,061	0,0053	31	<0,010	1,3	-	-
B628	2	114.4028	15-03-2022	II	-	42	68	34	74	240	0,1	4,9	<0,030	200	0,03	0,0033	66	0,34	0,19	-	-
B628	3	114.4029	15-03-2022	II	-	32	32	30	79	1000	<0,020	4,8	<0,030	280	2,6	0,095	75	0,83	6,4	-	-
B629	1	114.4030	16-03-2022	II	-	19	3,6	40	52	130	<0,020	9,6	2,7	180	<0,025	<0,0030	37	0,29	<0,030	-	-
B629	2	114.4031	16-03-2022	II	9,1	40	30	-	76	210	<0,020	7,6	4,2	77	<0,025	0,025	160	0,2	0,062	-	-
B629	3	114.4032	16-03-2022	II	16	39	38	-	46	110	0,068	1,7	2,7	120	<0,025	0,057	80	0,12	0,14	-	-
B630	1	114.4033	16-03-2022	II	-	64	5,6	46	115	330	0,055	24	0,97	100	<0,025	<0,0030	55	0,51	<0,030	-	-
B630	2	114.4034	16-03-2022	II	13	37	18	-	73	690	<0,020	15	9,6	120	0,028	<0,0030	61	0,28	0,14	-	-
B630	3	114.4035	16-03-2022	II	11	27	23	-	53	120	0,035	2,2	3,1	77	<0,025	<0,0030	35	0,069	0,091	-	-
B631	1	114.4036	14-03-2022	II	-	23	19	150	20	1100	<0,020	2,4	0,47	450	17	0,18	85	14	18	-	-
B631	2	114.4037	14-03-2022	II	-	42	33	33	78	160	<0,020	2,3	20	240	0,056	0,014	82	0,29	0,76	-	-
B631	3	114.4038	14-03-2022	II	-	38	36	35	50	160	<0,020	3,3	1,1	230	<0,025	0,071	61	0,19	0,86	-	-
B632	1	114.4039	10-03-2022	II	-	50	33	40	76	430	<0,020	2,3	6,1	240	0,038	0,018	210	0,29	0,067	-	-
B632	2	114.4040	10-03-2022	II	-	120	51	280	<5	560	0,049	6,8	21	980	0,025	0,0096	120	0,29	3,6	-	-
B632	3	114.4041	10-03-2022	II	-	120	26	160	54	340	<0,020	6,7	15	580	0,05	0,33	85	0,27	0,83	-	-
B633	1	114.4042	14-03-2022	II	-	22	5,5	46	54	240	<0,020	7,1	1,3	550	13	0,15	55	4,1	3,1	-	-
B633	2	114.4043	14-03-2022	II	19	77	160	-	63	630	0,051	16	8,7	1400	3,2	0,027	33	6,9	3,1	-	-
B633	3	114.4044	14-03-2022	II	17	150	200	-	98	680	0,13	16	0,77	1500	0,76	0,03	140	1,6	1,4	-	-
B633	4	114.4045	14-03-2022	II	2,5	42	30	-	49	100	<0,020	1,1	1,8	65	<0,025	0,29	110	0,26	0,49	-	-
B634	1	114.4046	16-03-2022	II	-	71	<0,50	53	78	280	0,34	13	0,79	250	<0,025	<0,0030	65	0,18	<0,030	-	-
B634	2	114.4047	16-03-2022	II	22	55	47	-	85	510	<0,020	6,6	12	120	<0,025	<0,0030	99	0,26	<0,030	-	-
B634	3	114.4048	16-03-2022	II	9,3	26	29	-	49	270	<0,020	4	1,6	120	<0,025	<0,0030	29	0,019	<0,030	-	-
B635	1	114.4182	16-09-2022	II	-	18	3,1	32	65	130	<0,020	0,99	0,12	39	<0,025	0,031	120	0,057	0,99	<0,0010	<0,03
B635	2	114.4183	16-09-2022	II	4,4	26	29	-	58	150	<0,020	0,6	0,12	50	<0,025	0,38	310	0,033	0,4	0,0013	<0,03
B635	3	114.4184	16-09-2022	II	-	110	24	40	55	330	<0,020	3,8	0,37	67	0,03	0,25	90	0,036	0,9	0,0019	<0,03
B636	1	114.4185	16-09-2022	II	-	23	11	61													

Boring	Filter	DGU nr	Dato udtaget	Fase	Nikel (Ni)	Nikel, Ni, Filt Felt	Zink, Zn, Filt Felt	Lithium	Lithium, felfiltreret	Bromid Filtr	Methylisobutylketon (MIBK)	Methan
-	-	-	-	-	µg/l	µg/l	µg/l	µg/l	µg/l	mg/l	µg/l	mg/l
114.2507 - 1	1	114.2507	07-03-2022	II	0,4	0,34	1,6	1,6	1,5	2,4	-	3,6
114.2507 - 2	2	114.2507	07-03-2022	II	0,99	0,88	3,4	1,1	1,1	3	-	4,2
114.2508 - 1	1	114.2508	07-03-2022	II	1	0,9	2,5	0,47	0,51	0,48	-	7,8
B601	1	114.3900	25-01-2022	II	0,64	0,38	1,8	4,8	4,6	0,028	<0,50	0,16
B601	2	114.3900	25-01-2022	II	1,9	0,95	3	3,1	2,9	0,52	<0,50	0,43
B601	3	114.3901	25-01-2022	II	2,1	0,8	3	1,1	0,58	3,8	<0,50	0,18
B601	4	114.3901	25-01-2022	II	2,6	2,2	2,8	0,6	0,47	5	<0,50	0,43
B601	5	114.3902	25-01-2022	II	5	2,9	5,8	1,2	0,74	3,9	<0,50	2,1
B601	6	114.3902	25-02-2022	II	7	6,1	3,6	0,57	0,71	3,5	<0,50	4,4
B602	1	114.3904	01-02-2022	II	8,8	0,46	1,5	5,8	4	0,032	-	0,024
B602	2	114.3904	01-02-2022	II	5	0,35	3,5	8,8	7,4	0,057	-	0,23
B602	3	114.3905	01-02-2022	II	0,84	0,67	4,3	6,1	5,9	0,5	-	0,13
B602	4	114.3905	03-10-2022	III		2,9	12	15	8,2	0,11	-	<0,010
B602	5	114.3906	01-02-2022	II	3,4	4	17	1,9	1,5	0,071	-	0,11
B602	6	114.3906	01-02-2022	II	2,4	1,4	5,8	2,4	1,8	0,95	-	0,086
B603	1	114.3909	15-02-2022	II	0,35	0,25	2,6	6,1	5,3	0,052	<0,50	0,023
B603	2	114.3909	15-02-2022	II	2,8	1,1	14	4,8	3	0,057	<0,50	0,13
B603	3	114.3910	15-02-2022	II	2,5	1,6	8,9	2,4	2,4	0,08	<0,50	<0,010
B603	4	114.3910	15-02-2022	II	1,8	0,99	6,2	2,5	2,5	0,1	<0,50	<0,010
B603	5	114.3911	15-02-2022	II	0,9	0,57	8,1	3,1	2,2	0,092	<0,50	<0,010
B603	6	114.3911	15-02-2022	II	1,7	1,2	19	0,81	0,79	2	<0,50	0,32
B611	1	114.3962	01-03-2022	II	0,49	0,49	2,4	1,2	1,1	2,4	-	0,92
B611	2	114.3963	01-03-2022	II	3,4	1,8	30	1,9	1,8	0,11	-	0,058
B611	3	114.3964	01-03-2022	II	2,3	0,97	7,1	2,7	1,2	0,52	-	1,1
B611	4	114.3965	01-03-2022	II	12	2,8	22	8,8	7,5	1,2	-	5
B611	5	114.3966	01-03-2022	II	1,3	0,76	12	4,8	4,4	0,17	-	0,17
B611	6	114.3967	01-03-2022	II	17	16	20	2	1,8	0,14	-	0,028
B612	1	114.3968	01-03-2022	II	0,81	0,82	7,4	2,1	1,9	2,6	-	0,4
B612	2	114.3969	01-03-2022	II	2,3	2,1	21	6,3	6,4	0,58	-	5,9
B612	3	114.3970	01-03-2022	II	3	2,8	32	8,9	8,8	0,09	-	1,2
B612	4	114.3971	01-03-2022	II	8,2	8,4	24	2,8	2,9	0,17	-	0,075
B613	1	114.3972	22-02-2022	II	1,2	0,46	11	1,1	1,2	0,43	-	0,31
B613	2	114.3973	22-02-2022	II	6,9	4,6	32	5	3,9	2,4	-	5,9
B613	3	114.3974	22-02-2022	II	2,8	1,6	27	5,7	5,4	0,22	-	3,1
B613	4	114.3975	22-02-2022	II	4,4	3,5	26	5,2	5,6	0,11	-	0,62
B614	1	114.3976	23-02-2022	II	17	1,2	32	1,1	0,64	0,03	-	0,012
B614	2	114.3977	23-02-2022	II	7,7	2,3	39	1,5	1	0,33	-	0,27
B614	3	114.3978	23-02-2022	II	8,5	1,5	14	2,5	2,1	0,06	-	<0,010
B614	4	114.3979	23-02-2022	II	4	4	22	6,8	6,3	0,47	-	5,7

- : ikke målt

#: ingen parametre er påvist

Boring	Filter	DGU nr	Dato udtaget	Fase	Nikel (Ni)	Nikel, Ni, Filtr Felt	Zink, Zn, Filtr Felt	Lithium	Lithium, feltfiltreret	Bromid Filtr	Methylisobutylketon (MIBK)	Methan
-	-	-	-	-	µg/l	µg/l	µg/l	µg/l	µg/l	mg/l	µg/l	mg/l
B615	1	114.3980	10-03-2022	II	0,76	0,8	2,1	1,2	1,1	0,02	-	0,019
B615	2	114.3981	10-03-2022	II	8,1	7,3	10	2,1	2	8,4	-	2,3
B615	3	114.3982	10-03-2022	II	1,2	1,1	8,1	0,41	0,44	0,09	-	0,013
B616	1	114.3983	15-03-2022	II	2,8	2,7	37	3,5	3,6	12	-	0,039
B616	2	114.3984	15-03-2022	II	2,8	1,9	2,8	3,7	3,5	12	-	0,031
B616	3	114.3985	15-03-2022	II	9,7	9,5	36	5,7	5,7	6,6	-	2,2
B616	4	114.3986	15-03-2022	II	0,95	1	12	0,29	0,32	0,05	-	<0,010
B617	1	114.3987	09-03-2022	II	0,94	0,46	3,4	0,73	0,61	4	-	0,96
B617	2	114.3988	09-03-2022	II	3,1	3,1	9,9	1	0,82	5,4	-	0,061
B617	3	114.3989	09-03-2022	II	4,5	3,7	28	4,6	4,5	2,3	-	1,5
B617	4	114.3990	09-03-2022	II	5,6	5,6	39	0,66	0,67	0,08	-	<0,010
B618	1	114.3991	08-03-2022	II	4,7	4,4	16	0,79	0,77	9,7	-	1,9
B618	2	114.3992	08-03-2022	II	1,8	0,89	13	6,2	5,9	6,3	-	0,45
B618	3	114.3993	08-03-2022	II	13	14	19	1,3	1,3	0,18	-	0,35
B619	1	114.3994	08-03-2022	II	1,5	1,3	7,4	0,59	0,71	6,1	-	3,6
B619	2	114.3995	08-03-2022	II	2	1,1	8,1	2,7	2,9	3,9	-	4,6
B619	3	114.3996	08-03-2022	II	7,1	6,7	30	3,4	3,4	0,6	-	3,7
B620	1	114.3997	08-03-2022	II	1,5	1,1	12	1,2	1,2	0,23	-	10
B620	2	114.3998	08-03-2022	II	4,6	1,2	13	2,4	2,1	6,3	-	7,7
B620	3	114.3999	08-03-2022	II	14	14	3,4	0,92	0,91	1,1	-	5,3
B621	1	114.4000	08-03-2022	II	0,8	0,72	1	1,9	1,9	3	-	5,3
B621	2	114.4001	08-03-2022	II	2,3	1,8	8,6	3,9	3,8	2,2	-	12
B621	3	114.4002	08-03-2022	II	6,8	6,5	19	2,5	2,4	0,16	-	0,94
B622	1	114.4052	04-03-2022	II	0,68	0,7	2,1	2,2	2,1	3,4	-	5,8
B622	2	114.4003	04-03-2022	II	0,3	0,26	1,5	3,4	3,2	1,9	-	9,4
B622	3	114.4004	04-03-2022	II	0,6	0,41	5,1	0,81	0,66	3,3	-	2,4
B622	4	114.4005	04-03-2022	II	3,5	3,1	9,6	3,2	3,1	0,31	-	3,5
B622	5	114.4006	04-03-2022	II	6,8	1,5	4,6	1,9	0,45	0,27	-	1,6
B623	1	114.4007	02-02-2022	II	0,73	0,48	2,7	0,85	0,79	4,6	-	4,3
B623	2	114.4008	02-02-2022	II	2,6	1,6	25	7,8	7,4	3	-	7
B623	3	114.4009	02-02-2022	II	5,3	2,6	7,9	3,9	3,5	0,24	-	1,2
B623	4	114.4010	02-02-2022	II	6,2	5,7	21	1,3	1,5	0,05	-	0,081
B624	1	114.4011	02-02-2022	II	0,82	0,76	27	0,91	0,85	0,03	-	<0,010
B624	2	114.4012	02-02-2022	II	1	0,97	17	8,5	6,3	1,7	-	12
B624	3	114.4013	02-02-2022	II	3,3	1,9	17	6,2	5,8	1,1	-	7,2
B624	4	114.4014	02-02-2022	II	2,7	2,9	12	4	3,5	0,21	-	1,1
B625	1	114.4015	23-02-2022	II	1,4	0,86	7	1,1	1,1	5,7	-	1,2
B625	2	114.4016	23-02-2022	II	4,4	4,5	21	4,1	4,3	2,3	-	5,4
B625	3	114.4017	25-02-2022	II	4,6	3,9	22	4,3	4,3	0,26	-	4

- : ikke målt

#: ingen parametre er påvist

Boring	Filter	DGU nr	Dato udtaget	Fase	Nikel (Ni)	Nikel, Ni, Filtr Felt	Zink, Zn, Filtr Felt	Lithium	Lithium, feltfiltreret	Bromid Filtr	Methylisobutylketon (MIBK)	Methan
-	-	-	-	-	µg/l	µg/l	µg/l	µg/l	µg/l	mg/l	µg/l	mg/l
B625	4	114.4018	25-02-2022	II	4,6	4,1	16	4,2	4,5	0,14	-	0,39
B626	1	114.4019	15-03-2022	II	12	1,6	24	1,7	0,99	0,03	-	0,013
B626	2	114.4020	15-03-2022	II	6,4	2,2	19	4,5	4,1	0,39	-	0,11
B626	3	114.4021	15-03-2022	II	4,6	1,6	11	3,4	2,7	0,1	-	0,028
B626	4	114.4022	15-03-2022	II	2,3	2,1	18	0,59	0,6	0,07	-	<0,010
B627	1	114.4023	15-03-2022	II	3,2	3,2	7,8	<0,20	<0,20	0,1	-	0,23
B627	2	114.4024	15-03-2022	II	1,8	1,7	4,3	3,4	1,2	0,6	-	0,23
B627	3	114.4025	15-03-2022	II	1,5	0,057	0,66	2,9	2,7	0,91	-	0,18
B627	4	114.4026	15-03-2022	II	1,9	<0,030	0,3	8,6	8,4	0,57	-	0,29
B628	1	114.4027	15-03-2022	II	1,4	<0,030	2,9	39	11	0,03	-	0,011
B628	2	114.4028	15-03-2022	II	3,1	1,2	10	11	1,9	0,53	-	0,084
B628	3	114.4029	15-03-2022	II	0,051	0,049	8	12	0,39	0,44	-	0,053
B629	1	114.4030	16-03-2022	II	0,75	0,25	36	0,59	0,53	0,04	-	0,074
B629	2	114.4031	16-03-2022	II	8,5	4,9	28	2,9	3,1	0,12	-	0,5
B629	3	114.4032	16-03-2022	II	8,2	8	18	2,3	2,2	0,09	-	<0,010
B630	1	114.4033	16-03-2022	II	1,2	0,54	6,5	66	65	0,48	-	6,9
B630	2	114.4034	16-03-2022	II	11	2,1	32	4	3,5	0,11	-	0,36
B630	3	114.4035	16-03-2022	II	0,3	0,31	12	3,3	3,2	0,07	-	0,13
B631	1	114.4036	14-03-2022	II	34	23	130	5,1	6,8	0,03	-	0,01
B631	2	114.4037	14-03-2022	II	3,6	3,5	23	2,5	2,1	0,22	-	0,064
B631	3	114.4038	14-03-2022	II	3,4	3	19	0,27	0,22	2,5	-	0,087
B632	1	114.4039	10-03-2022	II	11	3,5	39	4,6	3,9	12	-	0,058
B632	2	114.4040	10-03-2022	II	14	12	12	1,8	1,6	3,6	-	3,7
B632	3	114.4041	10-03-2022	II	22	22	13	0,31	0,31	2,3	-	4,8
B633	1	114.4042	14-03-2022	II	4	1,3	11	2,1	1,4	0,02	-	0,01
B633	2	114.4043	14-03-2022	II	0,75	0,73	22	1,2	1,1	7	-	1,6
B633	3	114.4044	14-03-2022	II	10	9	27	3,6	3,4	0,49	-	3,6
B633	4	114.4045	14-03-2022	II	4,5	4,4	23	1,4	1,4	0,1	-	<0,010
B634	1	114.4046	16-03-2022	II	0,61	0,45	0,71	72	71	0,53	-	4,4
B634	2	114.4047	16-03-2022	II	2,6	0,21	10	4,3	3,8	0,21	-	0,88
B634	3	114.4048	16-03-2022	II	2,2	1,4	32	2,6	2,2	0,07	-	0,04
B635	1	114.4182	16-09-2022	II	-	2,5	21	1,2	1,2	0,035	-	<0,010
B635	2	114.4183	16-09-2022	II	-	7,3	16	3,5	3,7	0,073	-	<0,010
B635	3	114.4184	16-09-2022	II	-	4,1	7	0,25	0,27	0,57	-	<0,010
B636	1	114.4185	16-09-2022	II	-	2	15	0,76	0,7	0,038	-	<0,010
B636	2	114.4186	16-09-2022	II	-	2,5	7,2	2,1	2	0,057	-	<0,010
B636	3	114.4187	16-09-2022	II	-	2,4	4,9	0,25	0,26	0,088	-	<0,010
GWD7	Dræn		01-03-2022	II	0,75	0,66	2,3	0,44	0,37	0,06	-	0,011

- : ikke målt

#: ingen parametre er påvist

Boring	Filter	DGU nr	Dato udtaget	Fase	Acetanilid	Acetyl/sulfaguanidin	Acetyl/sulfansyre	Acetallymal	Allyl-n-butyrylbarbituryrat	5-allyl-5-isobutyl-barbitursyre (Butalital)	5-allyl-5-(methylbutyl)-barbitursyre	Aniliin	Barbital	Butobarbital (N-butylethylbarbitursyre)	Butybarbiturat	o-chloracetanilid	5,5-diallylbarbitursyre (Allobarital)	N-N-diethylnicotinamid	Dipropenylamin	5-ethyl-5-sec-butylbarbitursyre (Butabarital)		
-	-	-	-	-	µg/l	µg/l	µg/l	µg/l	µg/l	µg/l	µg/l	µg/l	µg/l	µg/l	µg/l	µg/l	µg/l	µg/l	µg/l	µg/l	µg/l	
114.2507 - 1	1	114.2507	07-03-2022	II	<0,10	<0,10	<0,10	1,1	<0,10	4,8	0,33	<0,10	23	2	1,9	<0,10	<0,10	130	<0,10	<0,10	2,5	
114.2507 - 2	2	114.2507	07-03-2022	II	<0,10	<0,10	<0,10	1,2	<0,10	4,3	0,45	<0,10	24	3,4	2	<0,10	<0,10	120	<0,10	<0,10	3,1	
114.2508 - 1	1	114.2508	07-03-2022	II	<0,10	<0,10	70	1	0,45	23	2,7	<0,10	25	6,1	20	<0,10	<0,10	89	0,93	<0,10	5,4	
B601	1	114.3900	25-01-2022	II	<0,10	<0,10	<0,10	<0,10	<0,10	<0,10	<0,10	<0,10	<0,10	<0,10	<0,10	<0,10	<0,10	<0,10	14	<0,10		
B601	2	114.3900	25-01-2022	II	<0,10	<0,10	<0,10	<0,10	<0,10	0,13	<0,10	<0,10	<0,10	2,7	<0,10	2,2	<0,10	<0,10	4,6	<0,10	5,9	0,19
B601	3	114.3901	25-01-2022	II	<0,10	<0,10	<0,10	0,28	0,58	4,1	0,47	<0,10	17	0,46	19	<0,10	<0,10	200	<0,10	5,1	10	
B601	4	114.3901	25-01-2022	II	<0,10	<0,10	<0,10	1,6	3,6	26	2,1	<0,10	46	0,74	1300	<0,10	<0,10	820	0,16	4,6	69	
B601	5	114.3902	25-01-2022	II	<0,10	<0,10	<0,10	4,1	4,9	37	2,9	<0,10	120	1,2	190	<0,10	<0,10	660	0,47	4,9	50	
B601	6	114.3902	25-02-2022	II	<0,10	<0,10	110	3,4	3,7	60	4	<0,10	94	4,1	140	<0,10	<0,10	390	1,3	8,7	23	
B602	1	114.3904	01-02-2022	II	<0,10	<0,10	<0,10	<0,10	<0,10	<0,10	<0,10	<0,10	<0,10	<0,10	<0,10	<0,10	<0,10	0,13	6,9	<0,10		
B602	2	114.3904	01-02-2022	II	<0,10	<0,10	<0,10	<0,10	<0,10	<0,10	<0,10	<0,10	<0,10	<0,10	<0,10	<0,10	<0,10	<0,10	7,5	<0,10		
B602	3	114.3905	01-02-2022	II	<0,10	<0,10	1,1	<0,10	<0,10	<0,10	<0,10	<0,10	<0,10	1,3	<0,10	<0,10	<0,10	3,9	7,3	6,6	0,11	
B602	4	114.3905	03-10-2022	III	<0,10	<0,10	0,26	<0,10	<0,10	<0,10	<0,10	<0,10	<0,10	<0,10	<0,10	<0,10	<0,10	0,32	<0,10	<0,10		
B602	5	114.3906	01-02-2022	II	<0,10	<0,10	27	<0,10	<0,10	0,26	<0,10	<0,10	<0,10	1,1	0,14	<0,10	<0,10	9,5	10	7,1	0,46	
B602	6	114.3906	01-02-2022	II	<0,10	<0,10	69	0,18	<0,10	0,98	0,14	<0,10	7,3	0,6	<0,10	<0,10	<0,10	37	27	3,8	1,9	
B603	1	114.3909	15-02-2022	II	<0,10	<0,10	<0,10	<0,10	<0,10	<0,10	<0,10	<0,10	<0,10	<0,10	<0,10	<0,10	<0,10	<0,10	<0,10	<0,10		
B603	2	114.3909	15-02-2022	II	<0,10	<0,10	3,4	<0,10	<0,10	<0,10	<0,10	<0,10	<0,10	<0,10	<0,10	<0,10	<0,10	0,37	<0,10	<0,10		
B603	3	114.3910	15-02-2022	II	<0,10	<0,10	2,4	<0,10	<0,10	<0,10	<0,10	<0,10	<0,10	<0,10	<0,10	<0,10	<0,10	0,54	<0,10	<0,10		
B603	4	114.3910	15-02-2022	II	<0,10	<0,10	<0,10	<0,10	<0,10	<0,10	<0,10	<0,10	<0,10	<0,10	<0,10	<0,10	<0,10	0,52	<0,10	<0,10		
B603	5	114.3911	15-02-2022	II	<0,10	<0,10	0,26	<0,10	<0,10	<0,10	<0,10	<0,10	<0,10	<0,10	<0,10	<0,10	<0,10	0,49	<0,10	<0,10		
B603	6	114.3911	15-02-2022	II	<0,10	<0,10	22	1,6	0,9	6,7	1,1	<0,10	77	5,9	0,75	<0,10	<0,10	1100	0,33	<0,10	4,9	
B611	1	114.3962	01-03-2022	II	<0,10	<0,10	<0,10	1,8	0,42	7,2	1,2	<0,10	23	10	0,73	<0,10	<0,10	475	<0,10	<0,10	9,6	
B611	2	114.3963	01-03-2022	II	<0,10	<0,10	<0,10	<0,10	<0,10	<0,10	<0,10	<0,10	0,26	<0,10	<0,10	<0,10	5,3	<0,10	<0,10			
B611	3	114.3964	01-03-2022	II	<0,10	<0,10	<0,10	0,51	<0,10	0,28	0,15	<0,10	7,2	0,98	0,22	<0,10	<0,10	51	<0,10	<0,10	1,1	
B611	4	114.3965	01-03-2022	II	<0,10	<0,10	<0,10	0,73	<0,10	<0,10	<0,10	<0,10	12	0,12	0,12	<0,10	<0,10	13	<0,10	<0,10		
B611	5	114.3966	01-03-2022	II	<0,10	<0,10	<0,10	1,6	<0,10	<0,10	<0,10	<0,10	12	<0,10	<0,10	<0,10	30	<0,10	<0,10			
B611	6	114.3967	01-03-2022	II	<0,10	<0,10	1,3	0,46	3,5	0,39	<0,10	9,9	4	<0,10	<0,10	<0,10	166	18	<0,10	4		
B612	1	114.3968	01-03-2022	II	<0,10	<0,10	<0,10	1,2	0,11	1,1	0,19	<0,10	18	2,4	0,65	<0,10	<0,10	220	<0,10	<0,10	2,3	
B612	2	114.3969	01-03-2022	II	<0,10	<0,10	<0,10	5,1	<0,10	<0,10	<0,10	<0,10	67	0,77	0,86	<0,10	<0,10	74	<0,10	<0,10	0,91	
B612	3	114.3970	01-03-2022	II	<0,10	<0,10	<0,10	6,2	<0,10	<0,10	<0,10	<0,10	45	0,29	0,27	<0,10	<0,10	56	<0,10	<0,10	0,32	
B612	4	114.3971	01-03-2022	II	<0,10	<0,10	<0,10	0,51	0													

<b>Boring</b>	<b>Filter</b>	<b>DGU nr</b>	<b>Dato udtaget</b>	<b>Fase</b>	<b>Acetanilid</b>	<b>Acetyl/sulfaguanidin</b>	<b>Acetyl/sulfansyre</b>	<b>Acetallymal</b>	<b>Allyl-n-butyl/barbituryrat</b>	<b>5-allyl-5-isobutyl-barbitursyre (Butalital)</b>	<b>5-allyl-5-(methylbutyl)-barbitursyre</b>	<b>Aniliin</b>	<b>Barbital</b>	<b>Butobarbital (N-butyylethylbarbitursyre)</b>	<b>Butybarbiturat</b>	<b>o-chloracetanilid</b>	<b>5,5-diallylbarbitursyre (Allobarital)</b>	<b>N-N-diethylnicotinamid</b>	<b>Dipropenylamin</b>	<b>5-ethyl-5-sec-butylbarbitursyre (Butabarbital)</b>	
					µg/l	µg/l	µg/l	µg/l	µg/l	µg/l	µg/l	µg/l	µg/l	µg/l	µg/l	µg/l	µg/l	µg/l	µg/l		
-	-	-	-	-	<0,10	<0,10	<0,10	<0,10	<0,10	<0,10	<0,10	<0,10	<0,10	<0,10	<0,10	<0,10	<0,10	<0,10	<0,10		
B615	1	114.3980	10-03-2022	II	<0,10	<0,10	54	3,8	39	43	5,6	<0,10	340	47	2,9	<0,10	2200	1,3	2	28	
B615	2	114.3981	10-03-2022	II	<0,10	<0,10	2,3	<0,10	4,2	3,8	<0,10	<0,10	<0,10	<0,10	<0,10	<0,10	0,12	0,19	<0,10	<0,10	
B615	3	114.3982	10-03-2022	II	<0,10	<0,10	2,2	0,34	1	1,4	0,45	<0,10	11	4,7	<0,10	<0,10	480	0,33	<0,10	3,7	
B616	1	114.3983	15-03-2022	II	<0,10	<0,10	3,6	0,55	1,1	3,5	0,63	<0,10	23	5	<0,10	<0,10	430	0,19	<0,10	3,5	
B616	2	114.3984	15-03-2022	II	<0,10	<0,10	44	3,7	7,7	19	5,6	<0,10	640	23	0,79	<0,10	<0,10	1600	2,1	<0,10	15
B616	3	114.3985	15-03-2022	II	<0,10	<0,10	0,49	<0,10	<0,10	<0,10	<0,10	<0,10	<0,10	<0,10	<0,10	<0,10	0,22	<0,10	<0,10	<0,10	
B616	4	114.3986	15-03-2022	II	<0,10	<0,10	3	<0,10	<0,10	0,62	0,13	<0,10	3,3	0,81	0,33	<0,10	<0,10	75	<0,10	<0,10	0,64
B617	1	114.3987	09-03-2022	II	<0,10	<0,10	16	0,38	0,16	1,7	0,36	<0,10	11	2,9	0,4	<0,10	<0,10	190	<0,10	<0,10	2,3
B617	2	114.3988	09-03-2022	II	<0,10	<0,10	39	1,3	0,55	12	4,7	<0,10	23	14	1,3	<0,10	<0,10	420	1,3	<0,10	11
B617	3	114.3989	09-03-2022	II	<0,10	<0,10	4,7	<0,10	<0,10	<0,10	<0,10	0,18	<0,10	<0,10	<0,10	<0,10	0,11	1,9	<0,10	<0,10	
B617	4	114.3990	09-03-2022	II	<0,10	<0,10	14	1,6	0,1	7,6	2,4	<0,10	83	9,8	1	<0,10	<0,10	600	0,38	<0,10	7,8
B618	1	114.3991	08-03-2022	II	<0,10	<0,10	2,8	1,2	<0,10	0,73	<0,10	0,11	150	1,7	1	<0,10	<0,10	1300	<0,10	<0,10	1,4
B618	2	114.3992	08-03-2022	II	<0,10	<0,10	26	<0,10	<0,10	0,18	0,14	2	0,28	0,18	<0,10	<0,10	3,8	3,7	<0,10	0,18	
B619	1	114.3994	08-03-2022	II	<0,10	<0,10	14	0,97	<0,10	4,4	1,6	<0,10	43	4,7	0,54	<0,10	<0,10	250	0,33	<0,10	3,5
B619	2	114.3995	08-03-2022	II	<0,10	<0,10	18	0,94	<0,10	3,3	3,2	<0,10	81	3,9	4,4	<0,10	<0,10	690	0,73	<0,10	3,2
B619	3	114.3996	08-03-2022	II	<0,10	<0,10	55	0,32	0,27	1,4	1,4	0,46	5,7	3,7	0,64	<0,10	<0,10	62	7,5	<0,10	3,7
B620	1	114.3997	08-03-2022	II	<0,10	<0,10	3,8	0,21	11	3,5	<0,10	81	17	3,9	<0,10	<0,10	430	0,2	<0,10	13	
B620	2	114.3998	08-03-2022	II	<0,10	<0,10	7,1	0,24	8	0,33	<0,10	150	21	1,8	<0,10	<0,10	2300	<0,10	<0,10	15	
B620	3	114.3999	08-03-2022	II	<0,10	<0,10	130	3,2	0,18	8,8	10	<0,10	65	19	4,3	<0,10	<0,10	190	1,4	<0,10	16
B621	1	114.4000	08-03-2022	II	<0,10	<0,10	24	1	0,34	1,3	1,6	<0,10	56	8,1	4,5	<0,10	<0,10	130	0,51	<0,10	7,7
B621	2	114.4001	08-03-2022	II	<0,10	<0,10	0,31	<0,10	0,36	0,53	<0,10	3,1	1,1	<0,10	<0,10	<0,10	18	2,8	<0,10	1,2	
B621	3	114.4002	08-03-2022	II	<0,10	<0,10	1,7	0,38	5,5	2	<0,10	44	7,8	2	<0,10	<0,10	190	0,16	<0,10	7,4	
B622	1	114.4052	04-03-2022	II	<0,10	<0,10	3,4	0,36	0,72	1,2	<0,10	58	5,3	1,5	<0,10	<0,10	270	0,19	<0,10	5,3	
B622	2	114.4003	04-03-2022	II	<0,10	<0,10	150	2,2	0,28	0,46	0,61	<0,10	35	4,4	1,5	<0,10	<0,10	150	2,2	<0,10	4
B622	3	114.4004	04-03-2022	II	<0,10	<0,10	150	0,93	0,36	0,94	2,6	<0,10	9,6	4,7	0,42	<0,10	<0,10	87	7,2	<0,10	3,9
B622	4	114.4005	04-03-2022	II	<0,10	<0,10	3,6	0,79	6,4	2,8	<0,10	64	13	0,74	<0,10	<0,10	370	0,22	<0,10	12	
B622	5	114.4006	04-03-2022	II	<0,10	<0,10	1	<0,10	<0,10	<0,10	<0,10	32	0,64	0,56	<0,10	<0,10	48	<0,10	<0,10	0,8	
B623	1	114.4007	02-02-2022	II	<0,10	<0,10	2,6	0,29	1,1	<0,10	<0,10	26	1,3	0,57	<0,10	<0,10	100	2,2	<0,10	1,4	
B623	2	114.4008	02-02-2022	II	<0,10	<0,10	3,4	0,19	0,26	<0,10	<0,10	22	1,4	0,59	<0,10	<0,10	150	1,7	<0,10	1,2	
B623	3	114.4009	02-02-2022	II	<0,10	<0,10	0,71	<0,10	<0,10	<0,10	<0,10	34	<0,10	1,1	<0,10	<0,10	16	<0,10	<0,10	0,11	
B623	4	114.4010	02-02-2022	II	<0,10	<0															

Boring	Filter	DGU nr	Dato udtaget	Fase	Acetanilid	Acetyl/sulfaguanidin	Acetyl/sulfansyre	Acetallymal	Allyl-n-butyrylbarbituryrat	5-allyl-5-isobutyl-barbitursyre (Butalital)	5-allyl-5-(methylbutyl)-barbitursyre	Aniliin	Barbital	Butobarbital (N-butylethylbarbitursyre)	Butybarbiturat	o-chloracetanilid	5,5-diallylbarbitursyre (Allobarbital)	N-N-diethylnicotinamid	Dipropenylamin	5-ethyl-5-sec-butylybarbitursyre (Butabarbital)	
-	-	-	-	-	µg/l	µg/l	µg/l	µg/l	µg/l	µg/l	µg/l	µg/l	µg/l	µg/l	µg/l	µg/l	µg/l	µg/l	µg/l	µg/l	µg/l
B625	4	114.4018	25-02-2022	II	<0,10	<0,10	<0,10	3,6	<0,10	<0,10	<0,10	56	0,3	1,5	<0,10	<0,10	47	<0,10	<0,10	0,17	
B626	1	114.4019	15-03-2022	II	<0,10	<0,10	0,24	<0,10	<0,10	<0,10	<0,10	<0,10	<0,10	<0,10	<0,10	<0,10	<0,10	<0,10	<0,10	<0,10	
B626	2	114.4020	15-03-2022	II	<0,10	<0,10	30	0,3	<0,10	<0,10	<0,10	<0,10	6,6	0,38	<0,10	<0,10	<0,10	25	13	<0,10	0,37
B626	3	114.4021	15-03-2022	II	<0,10	<0,10	19	0,25	<0,10	<0,10	<0,10	<0,10	6	0,13	<0,10	<0,10	<0,10	17	0,51	<0,10	0,16
B626	4	114.4022	15-03-2022	II	<0,10	<0,10	1,8	<0,10	<0,10	0,17	<0,10	<0,10	0,49	0,16	<0,10	<0,10	<0,10	5,4	<0,10	<0,10	0,14
B627	1	114.4023	15-03-2022	II	<0,10	<0,10	0,19	<0,10	<0,10	<0,10	<0,10	<0,10	0,22	<0,10	<0,10	<0,10	<0,10	0,44	<0,10	<0,10	<0,10
B627	2	114.4024	15-03-2022	II	<0,10	<0,10	50	0,14	<0,10	<0,10	<0,10	<0,10	2,5	<0,10	<0,10	<0,10	<0,10	4,3	0,14	<0,10	<0,10
B627	3	114.4025	15-03-2022	II	<0,10	<0,10	120	0,24	<0,10	<0,10	<0,10	<0,10	5,1	<0,10	<0,10	<0,10	<0,10	6,3	<0,10	<0,10	<0,10
B627	4	114.4026	15-03-2022	II	<0,10	<0,10	65	0,27	<0,10	<0,10	<0,10	<0,10	5,1	0,12	<0,10	<0,10	<0,10	7,7	0,1	<0,10	0,11
B628	1	114.4027	15-03-2022	II	<0,10	<0,10	<0,10	<0,10	<0,10	<0,10	<0,10	<0,10	<0,10	<0,10	<0,10	<0,10	<0,10	<0,10	<0,10	<0,10	<0,10
B628	2	114.4028	15-03-2022	II	<0,10	<0,10	24	0,15	<0,10	<0,10	<0,10	<0,10	4,6	0,13	<0,10	<0,10	<0,10	11	3,3	<0,10	0,12
B628	3	114.4029	15-03-2022	II	<0,10	<0,10	28	0,13	<0,10	<0,10	<0,10	<0,10	4,1	0,12	<0,10	<0,10	<0,10	7,4	1	<0,10	<0,10
B629	1	114.4030	16-03-2022	II	<0,10	<0,10	<0,10	<0,10	<0,10	<0,10	<0,10	<0,10	<0,10	<0,10	<0,10	<0,10	<0,10	<0,10	<0,10	<0,10	<0,10
B629	2	114.4031	16-03-2022	II	<0,10	<0,10	20	0,21	<0,10	<0,10	<0,10	<0,10	5,3	<0,10	<0,10	<0,10	<0,10	8,5	<0,10	<0,10	<0,10
B629	3	114.4032	16-03-2022	II	<0,10	<0,10	0,13	<0,10	<0,10	<0,10	<0,10	<0,10	<0,10	<0,10	<0,10	<0,10	<0,10	<0,10	<0,10	<0,10	<0,10
B630	1	114.4033	16-03-2022	II	<0,10	<0,10	43	<0,10	<0,10	<0,10	<0,10	<0,10	<0,10	1,1	<0,10	0,37	<0,10	<0,10	<0,10	<0,10	<0,10
B630	2	114.4034	16-03-2022	II	<0,10	<0,10	31	<0,10	<0,10	<0,10	<0,10	<0,10	<0,10	0,27	<0,10	<0,10	<0,10	0,13	<0,10	<0,10	<0,10
B630	3	114.4035	16-03-2022	II	<0,10	<0,10	15	<0,10	<0,10	<0,10	<0,10	<0,10	<0,10	0,18	<0,10	<0,10	<0,10	<0,10	<0,10	<0,10	<0,10
B631	1	114.4036	14-03-2022	II	<0,10	<0,10	<0,10	<0,10	<0,10	<0,10	<0,10	<0,10	<0,10	<0,10	<0,10	<0,10	<0,10	<0,10	<0,10	<0,10	<0,10
B631	2	114.4037	14-03-2022	II	<0,10	<0,10	10	0,79	9,5	11	1,6	<0,10	31	10	1,1	<0,10	<0,10	340	0,14	0,96	7,3
B631	3	114.4038	14-03-2022	II	<0,10	<0,10	10	0,26	16	15	0,84	1,3	8,6	2,6	0,65	<0,10	<0,10	75	0,54	0,31	2
B632	1	114.4039	10-03-2022	II	<0,10	<0,10	6,9	0,24	2,2	2	0,92	<0,10	10	3,5	<0,10	<0,10	240	0,11	<0,10	2,5	
B632	2	114.4040	10-03-2022	II	<0,10	<0,10	40	0,76	4,7	5,4	3,8	<0,10	33	9,2	4,9	<0,10	<0,10	250	1,2	0,59	6,3
B632	3	114.4041	10-03-2022	II	<0,10	<0,10	17	<0,10	12	14	0,6	<0,10	0,36	0,15	26	<0,10	<0,10	1	2,2	<0,10	0,16
B633	1	114.4042	14-03-2022	II	<0,10	<0,10	<0,10	<0,10	<0,10	<0,10	<0,10	<0,10	<0,10	<0,10	<0,10	<0,10	<0,10	<0,10	<0,10	<0,10	
B633	2	114.4043	14-03-2022	II	<0,10	<0,10	3000	0,16	<0,10	<0,10	<0,10	<0,10	1,8	<0,10	<0,10	<0,10	<0,10	5	<0,10	<0,10	<0,10
B633	3	114.4044	14-03-2022	II	<0,10	<0,10	4800	0,21	<0,10	<0,10	<0,10	<0,10	3,1	<0,10	<0,10	<0,10	<0,10	4,4	<0,10	<0,10	<0,10
B633	4	114.4045	14-03-2022	II	<0,10	<0,10	8	<0,10	<0,10	0,14	<0,10	<0,10	0,46	0,22	<0,10	<0,10	4,5	0,96	<0,10	0,19	
B634	1	114.4046	16-03-2022	II	<0,10	<0,10	32	<0,10	<0,10	<0,10	<0,10	<0,10	0,54	<0,10	0,26	<0,10	<0,10	<0,10	<0,10	<0,10	
B634	2	114.4047	16-03-2022	II	<0,10	<0,10	38	<0,10	<0,10	<0,10	<0,10	<0,10	0,45	<0,10	<0,10	<0,10	<0,10	0,48			

Boring	Filter	DGU nr	Dato udtaget	Fase	Ethylurethan	Phthalylsulfathiazol	Hexobarbital	Isobutylbarbitursyre	Sopropylbarbitursyre	Meprobamat	Methoxypropionitril	N-methyl-diethylbarbitursyre (Methharbital)	Monoethylbarbitursyre	Pentobarbital	Amobarbital	SUM (BARBITAL)	4-chloranilin	2-chloranilin	Apronal	2-chloreddiksyre	Sulfanilamid	
-	-	-	-	-	µg/l	µg/l	µg/l	µg/l	µg/l	µg/l	µg/l	µg/l	µg/l	µg/l	µg/l	µg/l	µg/l	µg/l	µg/l	µg/l	µg/l	
114.2507 - 1	1	114.2507	07-03-2022	II	85	<0,10	<0,10	2,2	22	150	<0,10	0,46	<0,10	5,2	6,2	201	<0,050	<0,050	-	-	41	
114.2507 - 2	2	114.2507	07-03-2022	II	14	<0,10	<0,10	1,9	34	330	<0,10	0,5	<0,10	8	8	210	<0,050	<0,050	-	-	29	
114.2508 - 1	1	114.2508	07-03-2022	II	46	<0,10	<0,10	23	29	52	<0,10	0,36	0,78	15	14	254	<0,050	<0,050	-	-	130	
B601	1	114.3900	25-01-2022	II	<0,10	<0,10	<0,10	<0,10	<0,10	<0,10	<0,10	<0,10	<0,10	<0,10	0	<0,050	<0,050	<0,10	<0,10	0,14		
B601	2	114.3900	25-01-2022	II	<0,10	<0,10	<0,10	2,7	<0,10	5,1	<0,10	<0,10	<0,10	<0,10	0,11	13	<0,050	<0,050	<0,10	<0,10	0,17	
B601	3	114.3901	25-01-2022	II	<0,10	<0,10	<0,10	27	<0,10	54	<0,10	<0,10	<0,10	1,2	1,6	281	<0,050	<0,050	<0,10	<0,10	1	
B601	4	114.3901	25-01-2022	II	0,61	<0,10	<0,10	832	<0,10	870	<0,10	<0,10	<0,10	3,8	4,9	3108	<0,050	<0,050	<0,10	<0,10	16	
B601	5	114.3902	25-01-2022	II	1,8	<0,10	<0,10	260	1	160	<0,10	<0,10	8,2	5	6,6	1347	<0,050	<0,050	<0,10	<0,10	21	
B601	6	114.3902	25-02-2022	II	4	<0,10	<0,10	190	6,5	180	<0,10	<0,10	41	23	18	997	<0,050	<0,050	0,13	<0,10	59	
B602	1	114.3904	01-02-2022	II	<0,10	<0,10	<0,10	<0,10	<0,10	<0,10	<0,10	<0,10	<0,10	<0,10	0	<0,050	<0,050	<0,10	<0,10	<0,10		
B602	2	114.3904	01-02-2022	II	<0,10	<0,10	<0,10	<0,10	<0,10	<0,10	<0,10	<0,10	<0,10	<0,10	0	<0,050	<0,050	<0,10	<0,10	<0,10		
B602	3	114.3905	01-02-2022	II	0,1	<0,10	<0,10	<0,10	<0,10	0,59	3,3	<0,10	<0,10	2	<0,10	<0,10	8	<0,050	<0,050	<0,10	<0,10	3,6
B602	4	114.3905	03-10-2022	III	<0,10	<0,10	<0,10	<0,10	<0,10	0,27	<0,10	<0,10	<0,10	<0,10	0	0,08	<0,050			<0,10		
B602	5	114.3906	01-02-2022	II	<0,10	<0,10	<0,10	<0,10	0,13	6,8	<0,10	<0,10	3	0,36	0,49	15	<0,050	<0,050	<0,10	<0,10	10	
B602	6	114.3906	01-02-2022	II	1,2	<0,10	<0,10	<0,10	<0,10	0,91	15	<0,10	<0,10	8	1,4	1,5	60	<0,050	<0,050	0,18	<0,10	25
B603	1	114.3909	15-02-2022	II	<0,10	<0,10	<0,10	<0,10	<0,10	0,1	<0,10	<0,10	<0,10	<0,10	0	<0,050	<0,050	<0,10	<0,10	<0,10		
B603	2	114.3909	15-02-2022	II	<0,10	<0,10	<0,10	<0,10	<0,10	0,55	<0,10	<0,10	<0,10	<0,10	0	<0,050	<0,050	<0,10	<0,10	<0,10		
B603	3	114.3910	15-02-2022	II	<0,10	<0,10	<0,10	<0,10	<0,10	0,44	<0,10	<0,10	<0,10	<0,10	1	<0,050	<0,050	<0,10	<0,10	<0,10		
B603	4	114.3910	15-02-2022	II	<0,10	<0,10	<0,10	<0,10	<0,10	0,31	<0,10	<0,10	<0,10	<0,10	1	<0,050	<0,050	<0,10	<0,10	<0,10		
B603	5	114.3911	15-02-2022	II	<0,10	<0,10	<0,10	<0,10	<0,10	0,54	<0,10	<0,10	<0,10	<0,10	0	<0,050	<0,050	<0,10	<0,10	<0,10		
B603	6	114.3911	15-02-2022	II	52	<0,10	<0,10	0,77	4,3	85	<0,10	<0,10	<0,10	4	4,8	1211	<0,050	<0,050	<0,10	<0,10	4	
B611	1	114.3962	01-03-2022	II	61	<0,10	<0,10	0,68	2,7	36	<0,10	2	<0,10	2,1	2,4	537	<0,050	<0,050	-	-	7,2	
B611	2	114.3963	01-03-2022	II	<0,10	<0,10	<0,10	<0,10	<0,10	0,31	<0,10	<0,10	<0,10	<0,10	6	<0,050	<0,050	-	-	0,12		
B611	3	114.3964	01-03-2022	II	<0,10	0,43	<0,10	0,22	25	5,2	<0,10	<0,10	<0,10	2	2,3	90	<0,050	<0,050	-	-	12	
B611	4	114.3965	01-03-2022	II	2,8	0,37	<0,10	<0,10	7,7	0,58	<0,10	<0,10	<0,10	<0,10	33	<0,050	<0,050	-	-	26		
B611	5	114.3966	01-03-2022	II	17	<0,10	<0,10	<0,10	1,6	<0,10	<0,10	<0,10	<0,10	44	<0,050	<0,050	-	-	25			
B611	6	114.3967	01-03-2022	II	1,4	<0,10	<0,10	<0,10	<0,10	6,2	<0,10	0,13	<0,10	5	5,1	198	<0,050	<0,050	-	-	26	
B612	1	114.3968	01-03-2022	II	310	0,34	<0,10	0,63	15	77	<0,10	0,51	<0,10	2,2	2	265	<0,050	<0,050	-	-	18	
B612	2	114.3969	01-03-2022	II	6,1	2,2	<0,10	0,95	43	1,2	<0,10	0,62	<0,10	0,29	0,4	189	<0,050	<0,050	-	-	93	
B612	3	114.3970	01-03-2022	II	0,4	0,16	<0,10	0,37	7,9	0,47	<0,10	0,12	<0,10	<0,10	110	<0,050	<0,050	-	-	178		
B612	4	114.3971	01-03-2022	II	<0,10	<0,10	0,11	<0,10	0,25	3,6	<0,10	<0,10	<0,10	1,1	1,1	52	<0,050	<0,050	-	-	27	
B613	1	114.3972	22-02-2022	II	26	<0,10	<0,10	0,14	3,5	9,1	<0,10	<0,10	<0,10									

Boring	Filter	DGU nr	Dato udtaget	Fase	Ethylurethan	Phthalylsulfathiazol	Hexobarbital	Isobutylbarbitursyre	Sopropylbarbitursyre	Meprobamat	Methoxypropionitril	N-methyl-diethylbarbitursyre (Methharbital)	Monoethylbarbitursyre	Pentobarbital	Amobarbital	SUM (BARBITAL)	4-chloranilin	2-chloranilin	Apronal	2-chloreddiksyre	Sulfanilamid
-	-	-	-	-	µg/l	µg/l	µg/l	µg/l	µg/l	µg/l	µg/l	µg/l	µg/l	µg/l	µg/l	µg/l	µg/l	µg/l	µg/l	µg/l	µg/l
B615	1	114.3980	10-03-2022	II	<0,10	<0,10	<0,10	<0,10	<0,10	<0,10	<0,10	<0,10	<0,10	<0,10	0	<0,050	<0,050	-	-	<0,10	
B615	2	114.3981	10-03-2022	II	<0,10	<0,10	<0,10	3,6	31	380	<0,10	<0,10	1,2	12	14	2767	<0,050	<0,050	-	-	290
B615	3	114.3982	10-03-2022	II	<0,10	<0,10	<0,10	<0,10	<0,10	0,16	<0,10	<0,10	<0,10	0,17	0,16	8	<0,050	<0,050	-	-	0,64
B616	1	114.3983	15-03-2022	II	<0,10	9,5	<0,10	<0,10	1,2	98	<0,10	<0,10	<0,10	1,2	1,2	506	<0,050	<0,050	-	-	11
B616	2	114.3984	15-03-2022	II	<0,10	7,6	<0,10	<0,10	0,73	69	<0,10	<0,10	<0,10	2,2	2,5	472	<0,050	<0,050	-	-	14
B616	3	114.3985	15-03-2022	II	11	<0,10	<0,10	0,93	28	180	<0,10	0,44	<0,10	16	20	2376	<0,050	<0,050	-	-	160
B616	4	114.3986	15-03-2022	II	<0,10	<0,10	<0,10	<0,10	<0,10	<0,10	<0,10	<0,10	<0,10	<0,10	0	<0,050	<0,050	-	-	<0,10	
B617	1	114.3987	09-03-2022	II	19	<0,10	:	0,42	1,6	16	<0,10	<0,10	<0,10	0,44	0,42	84	<0,050	<0,050	-	-	4,7
B617	2	114.3988	09-03-2022	II	<0,10	<0,10	<0,10	0,36	2,8	33	<0,10	<0,10	<0,10	1,4	1,5	215	<0,050	<0,050	-	-	26
B617	3	114.3989	09-03-2022	II	<0,10	<0,10	<0,10	1,5	5,3	210	<0,10	<0,10	<0,10	16	22	531	<0,050	<0,050	-	-	<0,10
B617	4	114.3990	09-03-2022	II	<0,10	<0,10	<0,10	<0,10	<0,10	<0,10	<0,10	<0,10	<0,10	<0,10	0	<0,050	<0,050	-	-	0,33	
B618	1	114.3991	08-03-2022	II	650	<0,10	<0,10	0,99	21	87	<0,10	<0,10	0,38	8,6	9,3	752	<0,050	<0,050	-	-	62
B618	2	114.3992	08-03-2022	II	1,7	<0,10	<0,10	1	14	16	<0,10	<0,10	<0,10	0,44	0,41	1471	<0,050	<0,050	-	-	9,9
B618	3	114.3993	08-03-2022	II	<0,10	<0,10	<0,10	<0,10	<0,10	1,2	<0,10	<0,10	<0,10	0,37	0,35	5	<0,050	<0,050	-	-	50
B619	1	114.3994	08-03-2022	II	450	<0,10	<0,10	0,58	14	51	<0,10	<0,10	0,25	5,4	6	334	<0,050	<0,050	-	-	50
B619	2	114.3995	08-03-2022	II	1,4	<0,10	<0,10	5,2	42	68	<0,10	<0,10	<0,10	8,4	9,4	854	<0,050	<0,050	-	-	68
B619	3	114.3996	08-03-2022	II	0,84	<0,10	<0,10	0,72	5,1	61	<0,10	<0,10	<0,10	16	24	125	<0,050	<0,050	-	-	130
B620	1	114.3997	08-03-2022	II	0,62	<0,10	<0,10	4,6	67	560	<0,10	2,4	1,5	32	25	692	<0,050	<0,050	-	-	37
B620	2	114.3998	08-03-2022	II	3,1	<0,10	<0,10	1,9	66	620	<0,10	1,2	<0,10	7,2	8	2581	<0,050	<0,050	-	-	54
B620	3	114.3999	08-03-2022	II	11	<0,10	0,23	5,1	20	120	<0,10	2,3	<0,10	42	30	413	<0,050	<0,050	-	-	36
B621	1	114.4000	08-03-2022	II	15	<0,10	<0,10	3,2	43	430	<0,10	0,59	0,87	11	9,6	233	<0,050	<0,050	-	-	28
B621	2	114.4001	08-03-2022	II	26	<0,10	<0,10	5,1	110	65	<0,10	0,76	2,5	21	16	365	<0,050	<0,050	-	-	31
B621	3	114.4002	08-03-2022	II	3,6	<0,10	<0,10	<0,10	2,3	660	<0,10	<0,10	<0,10	4	4,1	35	<0,050	<0,050	-	-	45
B622	1	114.4052	04-03-2022	II	600	2,4	<0,10	2,2	50	36	<0,10	0,64	0,95	17	15	345	<0,050	<0,050	-	-	61
B622	2	114.4003	04-03-2022	II	39	0,63	<0,10	0,26	7,1	5,8	<0,10	<0,10	<0,10	1,5	1,7	61	<0,050	<0,050	-	-	7,9
B622	3	114.4004	04-03-2022	II	380	3,5	<0,10	1,4	51	21	<0,10	2,2	2,2	14	14	427	<0,050	<0,050	-	-	73
B622	4	114.4005	04-03-2022	II	270	1,8	<0,10	1,7	67	28	<0,10	0,43	<0,10	5,1	4,8	275	<0,050	<0,050	-	-	1400
B622	5	114.4006	04-03-2022	II	4	0,31	0,19	0,44	2,7	47	<0,10	0,33	<0,10	10	9,7	133	6,1	<0,050	-	-	1000
B623	1	114.4007	02-02-2022	II	830	<0,10	<0,10	0,82	32	530	<0,10	2,4	1,7	18	17	542	<0,050	<0,050	-	-	29
B623	2	114.4008	02-02-2022	II	5,5	<0,10	<0,10	0,43	46	1,4	<0,10	0,16	0,41	0,49	0,53	130	<0,050	<0,050	-	-	15
B623	3	114.4009	02-02-2022	II	4,9	<0,10	0,12	0,57	24	4,3	<0,10	<0,10	<0,10	1,5	1,8	159	<0,050	<0,050	-	-	15
B623	4	114.4010	02-02-2022	II	0,32	<0,10	<0,10	<0,10	<0,10	<0,10	<0,10	<0,10	<0,10	<0,10	<0,10	2	<0,050	<0,050	-	-	0,34
B624	1	114.4011	02-02-2022	II	0,12	<0,10	<0,10	<0,10	<0,10	<0,10	<0,10	<0,10	<0,10	<0,10	<0,10	0	<0,050	<0,050	-	-	<0,10
B6																					

Boring	Filter	DGU nr	Dato udtaget	Fase	Ethylurethan	Phthalylsulfathiazol	Hexobarbital	Isobutylbarbitursyre	Sopropylbarbitursyre	Meprobamat	Methoxypropionitril	N-methyl-diethylbarbitursyre (Methharbital)	Monoethylbarbitursyre	Pentobarbital	Amobarbital	SUM (BARBITAL)	4-chloranilin	2-chloranilin	Apronal	2-chloreddiksyre	Sulfanilamid
-	-	-	-	-	µg/l	µg/l	µg/l	µg/l	µg/l	µg/l	µg/l	µg/l	µg/l	µg/l	µg/l	µg/l	µg/l	µg/l	µg/l	µg/l	µg/l
B625	4	114.4018	25-02-2022	II	1,9	1,1	<0,10	1,7	54	<0,10	<0,10	0,21	<0,10	<0,10	<0,10	161	<0,050	<0,050	-	-	200
B626	1	114.4019	15-03-2022	II	<0,10	<0,10	<0,10	<0,10	<0,10	<0,10	<0,10	<0,10	<0,10	<0,10	0	<0,050	<0,050	-	-	<0,10	
B626	2	114.4020	15-03-2022	II	0,28	0,28	<0,10	<0,10	0,27	22	<0,10	<0,10	<0,10	0,5	0,46	34	<0,050	<0,050	-	-	20
B626	3	114.4021	15-03-2022	II	6,5	<0,10	<0,10	<0,10	0,24	4,6	<0,10	<0,10	<0,10	0,12	0,13	24	<0,050	<0,050	-	-	8,9
B626	4	114.4022	15-03-2022	II	<0,10	<0,10	<0,10	<0,10	<0,10	0,62	<0,10	<0,10	<0,10	0,37	0,34	7	<0,050	<0,050	-	-	0,42
B627	1	114.4023	15-03-2022	II	11	<0,10	<0,10	<0,10	7,2	0,56	<0,10	<0,10	<0,10	0,1	<0,10	8	<0,050	<0,050	-	-	0,89
B627	2	114.4024	15-03-2022	II	2	<0,10	<0,10	<0,10	1,7	2,7	<0,10	<0,10	<0,10	<0,10	<0,10	9	<0,050	<0,050	-	-	42
B627	3	114.4025	15-03-2022	II	0,99	<0,10	<0,10	<0,10	0,51	0,39	<0,10	<0,10	<0,10	<0,10	<0,10	12	<0,050	<0,050	-	-	24
B627	4	114.4026	15-03-2022	II	0,59	<0,10	<0,10	<0,10	1,5	3,5	<0,10	<0,10	<0,10	0,11	0,11	15	<0,050	<0,050	-	-	77
B628	1	114.4027	15-03-2022	II	<0,10	<0,10	<0,10	<0,10	<0,10	<0,10	<0,10	<0,10	<0,10	<0,10	0	<0,050	<0,050	-	-	<0,10	
B628	2	114.4028	15-03-2022	II	<0,10	<0,10	<0,10	<0,10	0,81	6,1	<0,10	<0,10	<0,10	0,11	<0,10	17	<0,050	<0,050	-	-	10
B628	3	114.4029	15-03-2022	II	4,1	<0,10	<0,10	<0,10	0,4	3,4	<0,10	<0,10	<0,10	<0,10	<0,10	12	<0,050	<0,050	-	-	5,6
B629	1	114.4030	16-03-2022	II	<0,10	<0,10	<0,10	<0,10	<0,10	<0,10	<0,10	<0,10	<0,10	<0,10	0	<0,050	<0,050	-	-	<0,10	
B629	2	114.4031	16-03-2022	II	1,6	<0,10	<0,10	<0,10	<0,10	2,1	<0,10	<0,10	<0,10	<0,10	<0,10	14	<0,050	<0,050	-	-	9
B629	3	114.4032	16-03-2022	II	<0,10	<0,10	<0,10	<0,10	<0,10	<0,10	<0,10	<0,10	<0,10	<0,10	0	<0,050	<0,050	-	-	1,6	
B630	1	114.4033	16-03-2022	II	4,1	<0,10	<0,10	0,14	1,1	<0,10	<0,10	<0,10	<0,10	<0,10	3	<0,050	<0,050	-	-	0,56	
B630	2	114.4034	16-03-2022	II	5,3	<0,10	<0,10	<0,10	<0,10	<0,10	<0,10	<0,10	<0,10	<0,10	0	<0,050	<0,050	-	-	0,35	
B630	3	114.4035	16-03-2022	II	2,4	<0,10	<0,10	<0,10	<0,10	<0,10	<0,10	<0,10	<0,10	<0,10	0	<0,050	<0,050	-	-	<0,10	
B631	1	114.4036	14-03-2022	II	<0,10	<0,10	<0,10	<0,10	<0,10	<0,10	<0,10	<0,10	<0,10	<0,10	0	<0,050	<0,050	-	-	<0,10	
B631	2	114.4037	14-03-2022	II	1,6	<0,10	<0,10	1,2	11	160	<0,10	<0,10	0,13	2,9	2,8	430	<0,050	<0,050	-	-	26
B631	3	114.4038	14-03-2022	II	<0,10	<0,10	<0,10	0,84	0,35	2,3	<0,10	<0,10	<0,10	2,1	2,1	126	<0,050	<0,050	-	-	19
B632	1	114.4039	10-03-2022	II	<0,10	<0,10	<0,10	<0,10	0,26	110	<0,10	<0,10	<0,10	1,7	1,7	265	<0,050	<0,050	-	-	5,3
B632	2	114.4040	10-03-2022	II	130	<0,10	0,37	6,1	34	100	<0,10	<0,10	<0,10	10	11	379	<0,050	<0,050	-	-	140
B632	3	114.4041	10-03-2022	II	1,5	<0,10	<0,10	39	2,4	3,7	<0,10	<0,10	<0,10	4,1	4,2	104	<0,050	<0,050	-	-	14
B633	1	114.4042	14-03-2022	II	<0,10	<0,10	<0,10	<0,10	<0,10	<0,10	<0,10	<0,10	<0,10	<0,10	0	<0,050	<0,050	-	-	<0,10	
B633	2	114.4043	14-03-2022	II	<0,10	<0,10	<0,10	<0,10	2,2	1,9	<0,10	<0,10	<0,10	<0,10	<0,10	9	<0,050	<0,050	-	-	160
B633	3	114.4044	14-03-2022	II	0,64	0,18	<0,10	<0,10	3,1	0,42	<0,10	<0,10	<0,10	<0,10	<0,10	11	<0,050	<0,050	-	-	140
B633	4	114.4045	14-03-2022	II	<0,10	0,28	<0,10	<0,10	<0,10	2,9	<0,10	<0,10	<0,10	0,39	0,36	6	<0,050	<0,050	-	-	6,4
B634	1	114.4046	16-03-2022	II	3,9	<0,10	<0,10	0,13	0,79	<0,10	<0,10	<0,10	<0,10	<0,10	2	<0,050	<0,050	-	-	0,19	
B634	2	114.4047	16-03-2022	II	4,2	0,61	<0,10	<0,10	0,13	<0,10	<0,10	<0,10	<0,10	<0,10	1	<0,050	<0,050	-	-	1,1	
B634	3	114.4048	16-03-2022	II	<0,10	<0,10	<0,10	<0,10	<0,10	<0,10	<0,10	<0,10	<0,10	<0,10	0	<0,050	<0,050	-	-	<0,10	
B635	1	114.4182	16-09-2022	II	<0,10	<0,10	<0,10	<0,10	<0,10	<0,10	<0,10	<0,10	<0,10	<0,10	0	<0,050	<0,050	-	-	<0,10	

Boring	Filter	DGU nr	Dato udtaget	Fase	Sulfaguanidine	Sulfamethazin (Sulfadimidin)	Sulfamethiazol	Sulfadiazin	Sulfanilsyre	Sulfacetamid	Sulfadoxin	Sulfamerazin	Sulfanilylurinstof	Sulfapyridin	Sulfathiazol	SUM (SULFONAMID)	Methylurethan
-	-	-	-	-	µg/l	µg/l	µg/l	µg/l	µg/l	µg/l	µg/l	µg/l	µg/l	µg/l	µg/l	µg/l	
114.2507 - 1	1	114.2507	07-03-2022	II	12	39	0,96	0,42	31	<0,10	<0,050	2,6	4,8	<0,10	0,78	102	-
114.2507 - 2	2	114.2507	07-03-2022	II	11	56	0,74	0,32	38	<0,10	<0,050	2,4	5,7	<0,10	0,9	106	-
114.2508 - 1	1	114.2508	07-03-2022	II	55	260	95	0,62	1300	<0,10	<0,050	5,3	20	<0,10	18	584	-
B601	1	114.3900	25-01-2022	II	<0,050	<0,10	<0,050	<0,050	<0,10	<0,10	<0,050	<0,050	<0,10	<0,10	<0,050	0	<0,10
B601	2	114.3900	25-01-2022	II	<0,050	<0,10	<0,050	<0,050	<0,10	<0,10	<0,050	<0,050	<0,10	<0,10	<0,050	0	<0,10
B601	3	114.3901	25-01-2022	II	0,43	1,3	0,12	0,12	0,16	<0,10	<0,050	0,26	<0,10	<0,10	0,25	3	<0,10
B601	4	114.3901	25-01-2022	II	5,2	5,3	0,88	0,66	350	<0,10	<0,050	0,82	0,37	<0,10	1,9	31	<0,10
B601	5	114.3902	25-01-2022	II	11	15	3	1,6	56	<0,10	<0,050	2,7	0,74	<0,10	6,6	62	<0,10
B601	6	114.3902	25-02-2022	II	38	130	76	0,68	790	0,34	<0,050	2,3	4,1	<0,10	11	321	<0,10
B602	1	114.3904	01-02-2022	II	<0,050	<0,10	<0,050	<0,050	<0,10	<0,10	<0,050	<0,050	<0,10	<0,10	<0,050	0	<0,10
B602	2	114.3904	01-02-2022	II	<0,050	<0,10	<0,050	<0,050	0,64	<0,10	<0,050	<0,050	<0,10	<0,10	<0,050	0	<0,10
B602	3	114.3905	01-02-2022	II	1,8	0,52	0,23	0,083	16	<0,10	<0,050	0,29	<0,10	<0,10	0,73	7	<0,10
B602	4	114.3905	03-10-2022	III	<0,050	0,15	<0,050	<0,050	63	<0,10	<0,050	<0,050	0,12	<0,10	<0,050	0	
B602	5	114.3906	01-02-2022	II	6,6	2	0,59	0,22	43	<0,10	<0,050	1	0,13	<0,10	3,9	24	<0,10
B602	6	114.3906	01-02-2022	II	16	5,9	3	0,76	1800	<0,10	<0,050	3,2	0,92	<0,10	6,6	61	<0,10
B603	1	114.3909	15-02-2022	II	<0,050	<0,10	<0,050	<0,050	<0,10	<0,10	<0,050	<0,050	<0,10	<0,10	<0,050	0	<0,10
B603	2	114.3909	15-02-2022	II	<0,050	<0,10	<0,050	<0,050	0,35	<0,10	<0,050	<0,050	<0,10	<0,10	<0,050	0	<0,10
B603	3	114.3910	15-02-2022	II	<0,050	<0,10	<0,050	<0,050	0,16	<0,10	<0,050	<0,050	<0,10	<0,10	<0,050	0	<0,10
B603	4	114.3910	15-02-2022	II	<0,050	<0,10	<0,050	<0,050	<0,10	<0,10	<0,050	<0,050	<0,10	<0,10	<0,050	0	<0,10
B603	5	114.3911	15-02-2022	II	<0,050	<0,10	<0,050	<0,050	<0,10	<0,10	<0,050	<0,050	<0,10	<0,10	<0,050	0	<0,10
B603	6	114.3911	15-02-2022	II	1,1	<0,10	0,074	<0,050	240	<0,10	<0,050	<0,050	<0,10	<0,10	<0,050	5	<0,10
B611	1	114.3962	01-03-2022	II	2,2	1,4	0,38	0,19	43	<0,10	<0,050	0,22	3	<0,10	0,18	15	-
B611	2	114.3963	01-03-2022	II	<0,050	<0,10	<0,050	<0,050	<0,10	<0,10	<0,050	<0,050	<0,10	<0,10	<0,050	0	-
B611	3	114.3964	01-03-2022	II	3,3	9,8	0,3	0,11	25	<0,10	<0,050	0,4	2,5	<0,10	0,12	29	-
B611	4	114.3965	01-03-2022	II	8	<0,10	<0,050	<0,050	2900	<0,10	<0,050	<0,050	0,15	<0,10	<0,050	34	-
B611	5	114.3966	01-03-2022	II	1,2	<0,10	<0,050	<0,050	14	<0,10	<0,050	<0,050	<0,10	<0,10	<0,050	26	-
B611	6	114.3967	01-03-2022	II	27	2,5	1,5	0,11	<0,10	<0,10	<0,050	0,6	2,7	<0,10	3,8	64	-
B612	1	114.3968	01-03-2022	II	5,8	16	0,68	0,11	38	<0,10	<0,050	0,65	3,8	<0,10	0,38	45	-
B612	2	114.3969	01-03-2022	II	11	<0,10	<0,050	<0,050	107	<0,10	<0,050	<0,050	1,1	<0,10	<0,050	105	-
B612	3	114.3970	01-03-2022	II	27	<0,10	<0,050	0,06	507	<0,10	<0,050	<0,050	<0,10	<0,10	<0,050	205	-
B612	4	114.3971	01-03-2022	II	6,9	0,4	0,3	0,13	0,22	<0,10	<0,050	0,16	0,12	<0,10	0,44	35	-
B613	1	114.3972	22-02-2022	II	0,097	<0,10	<0,050	<0,050	27	<0,10	<0,050	<0,050	1,1	<0,10	<0,050	1	-
B613	2	114.3973	22-02-2022	II	3,9	<0,10	<0,050	<0,050	840	<0,10	<0,050	<0,050	<0,10	<0,10	<0,050	43	-
B613	3	114.3974	22-02-2022	II	2,2	<0,10	<0,050	<0,050	8200	<0,10	<0,050	<0,050	<0,10	<0,10	<0,050	83	-
B613	4	114.3975	22-02-2022	II	73	<0,10	<0,050	0,064	3300	<0,10	<0,050	<0,050	<0,10	<0,10	<0,050	493	-
B614	1	114.3976	23-02-2022	II	<0,050	<0,10	<0,050	<0,050	<0,10	<0,10	<0,050	<0,050	<0,10	<0,10	<0,050	0	-
B614	2	114.3977	23-02-2022	II	<0,050	<0,10	<0,050	<0,050	130	<0,10	<0,050	<0,050	0,67	<0,10	<0,050	1	-
B614	3	114.3978	23-02-2022	II	<0,050	<0,10	<0,050	<0,050	<0,10	<0,10	<0,050	<0,050	<0,10	<0,10	<0,050	0	-
B614	4	114.3979	23-02-202														

<b>Boring</b>	<b>Filter</b>	<b>DGU nr</b>	<b>Dato udtaget</b>	<b>Fase</b>	Sulfaguanidine	Sulfamethazin (Sulfadimidin)	Sulfamethiazol	Sulfadiazin	Sulfanilsyre	Sulfacetamid	Sulfadoxin	Sulfamerazin	Sulfanilylurinstof	Sulfapyridin	Sulfathiazol	<b>SUM (SULFONAMID)</b>	Methylurethan
					µg/l	µg/l	µg/l	µg/l	µg/l	µg/l	µg/l	µg/l	µg/l	µg/l	µg/l	µg/l	
-	-	-	-	-	<0,050	<0,10	<0,050	<0,050	<0,10	<0,10	<0,050	<0,050	<0,10	<0,10	<0,050	0	-
B615	1	114.3980	10-03-2022	II	<0,050	180	270	0,95	0,22	<0,10	<0,050	3,4	8,7	<0,10	11	1014	-
B615	2	114.3981	10-03-2022	II	0,22	1,5	0,23	<0,050	<0,10	<0,10	<0,050	0,05	0,15	<0,10	0,16	3	-
B615	3	114.3982	10-03-2022	II	9	9,1	0,59	0,26	0,45	0,15	<0,050	0,95	0,22	<0,10	0,84	32	-
B616	1	114.3983	15-03-2022	II	19	15	0,67	0,32	1,1	0,36	<0,050	1,5	<0,10	<0,10	0,66	52	-
B616	2	114.3984	15-03-2022	II	78	100	17	0,48	450	0,24	<0,050	2,8	<0,10	<0,10	2	361	-
B616	3	114.3985	15-03-2022	II	<0,050	<0,10	<0,050	<0,050	<0,10	<0,10	<0,050	<0,050	<0,10	<0,10	<0,050	0	-
B617	1	114.3987	09-03-2022	II	0,84	2,5	0,13	0,068	<0,10	0,14	<0,050	0,26	0,11	<0,10	0,15	9	-
B617	2	114.3988	09-03-2022	II	6,8	20	0,41	0,42	<0,10	0,46	<0,050	2,7	1,6	<0,10	0,73	59	-
B617	3	114.3989	09-03-2022	II	44	46	7,2	0,43	0,53	4	<0,050	2	5,2	<0,10	0,81	110	-
B617	4	114.3990	09-03-2022	II	<0,050	0,9	0,16	<0,050	<0,10	0,1	<0,050	<0,050	<0,10	<0,10	<0,050	1	-
B618	1	114.3991	08-03-2022	II	23	91	8,6	0,53	210	0,73	<0,050	1,9	4,6	<0,10	3,6	196	-
B618	2	114.3992	08-03-2022	II	0,91	<0,10	<0,050	<0,050	180	<0,10	<0,050	<0,050	0,61	<0,10	<0,050	11	-
B618	3	114.3993	08-03-2022	II	14	8,6	9,6	0,075	180	<0,10	<0,050	0,65	8	<0,10	6,8	98	-
B619	1	114.3994	08-03-2022	II	17	100	9,6	0,31	140	0,55	<0,050	1,3	7,7	<0,10	3,9	190	-
B619	2	114.3995	08-03-2022	II	20	44	12	1,2	360	<0,10	<0,050	3,8	4,1	<0,10	0,32	153	-
B619	3	114.3996	08-03-2022	II	66	15	18	0,25	440	<0,10	<0,050	0,63	8,2	<0,10	11	249	-
B620	1	114.3997	08-03-2022	II	27	130	8,1	0,6	180	<0,10	<0,050	4,1	14	<0,10	2,8	224	-
B620	2	114.3998	08-03-2022	II	10	0,12	0,11	<0,050	150	<0,10	<0,050	<0,050	7,5	<0,10	<0,050	72	-
B620	3	114.3999	08-03-2022	II	83	530	260	0,084	16	<0,10	<0,050	0,66	28	<0,10	20	958	-
B621	1	114.4000	08-03-2022	II	14	82	1,3	0,38	52	<0,10	<0,050	3,2	8,6	<0,10	1,2	139	-
B621	2	114.4001	08-03-2022	II	59	71	58	0,32	1500	<0,10	<0,050	0,92	28	<0,10	1,4	250	-
B621	3	114.4002	08-03-2022	II	11	0,72	12	<0,050	400	<0,10	<0,050	0,13	8,1	<0,10	1	78	-
B622	1	114.4052	04-03-2022	II	19	96	8,8	0,31	120	0,12	<0,050	2,3	12	<0,10	2,8	202	-
B622	2	114.4003	04-03-2022	II	3,1	15	0,31	0,15	13	<0,10	<0,050	0,71	1,8	<0,10	0,28	29	-
B622	3	114.4004	04-03-2022	II	46	130	5,7	2	58	<0,10	<0,050	8,5	16	<0,10	2,2	283	-
B622	4	114.4005	04-03-2022	II	440	45	55	1,7	17	<0,10	<0,050	0,96	230	<0,10	4,2	2177	-
B622	5	114.4006	04-03-2022	II	390	120	85	0,75	14	<0,10	<0,050	0,93	110	<0,10	22	1729	-
B623	1	114.4007	02-02-2022	II	19	92	3,9	0,73	100	<0,10	<0,050	3,3	14	<0,10	3	165	-
B623	2	114.4008	02-02-2022	II	1,6	<0,10	<0,050	<0,050	400	<0,10	<0,050	<0,050	<0,10	<0,10	<0,050	17	-
B623	3	114.4009	02-02-2022	II	26	0,27	0,16	0,13	15	<0,10	<0,050	0,17	32	<0,10	0,37	74	-
B623	4	114.4010	02-02-2022	II	0,17	<0,10	<0,050	<0,050	0,66	<0,10	<0,050	<0,050	<0,10	<0,10	<0,050	1	-
B624	1	114.4011	02-02-2022	II	<0,050	<0,10	<0,050	<0,050	5,4	<0,10	<0,050	<0,050	<0,10	<0,10	<0,050	0	-
B624	2	114.4012	02-02-2022	II	0,18	<0,10	<0,050	<0,050	11	<0,10	<0,050	<0,050	<0,10	<0,10	<0,050	3	-
B624	3	114.4013	02-02-2022	II	1,6	<0,10	<0,050	<0,050	57	<0,10	<0,050	<0,050	<0,10	<0,10	<0,050	33	-
B624	4	114.4014	02-02-2022	II	73	0,15	<0,050	0,079	<0,10	<0,10	<0,050	<0,050	79	<0,10	<0,050	812	-
B625	1	114.4015	23-02-2022	II	3,5	0,94	0,7	0,39	50	<0,10	<0,050	0,27	4,4	<0,10	0,089	21	-
B625	2	114.4016	23-02-2022	II	0,11	<0,10	<0,050	<0,050	1800	<0,10	<0,050	<0,050	<0,10	<0,10	<0,050	6	-
B625	3	114.4017	25-02-2022	II	92	1,3	<0,050	2	770	<0,10	<0,050	0,12	10	<0,10	0,17	576	-

- : ikke målt

#: ingen parametre er påvist

<b>Boring</b>	<b>Filter</b>	<b>DGU nr</b>	<b>Dato udtaget</b>	<b>Fase</b>	Sulfaguanidine	Sulfamethazin (Sulfadimidin)	Sulfamethiazol	Sulfadiazin	Sulfanilsyre	Sulfacetamid	Sulfadoxin	Sulfamerazin	Sulfanilylurinstof	Sulfapyridin	Sulfathiazol	<b>SUM (SULFONAMID)</b>	Methylurethan
					µg/l	µg/l	µg/l	µg/l	µg/l	µg/l	µg/l	µg/l	µg/l	µg/l	µg/l	µg/l	
-	-	-	-	-													
B625	4	114.4018	25-02-2022	II	9,7	<0,10	<0,050	<0,050	3800	<0,10	<0,050	<0,050	7,3	<0,10	<0,050	217	-
B626	1	114.4019	15-03-2022	II	<0,050	<0,10	<0,050	<0,050	<0,10	<0,10	<0,050	<0,050	<0,10	<0,10	<0,050	0	-
B626	2	114.4020	15-03-2022	II	14	0,16	0,077	0,12	530	<0,10	<0,050	0,12	<0,10	<0,10	<0,050	34	-
B626	3	114.4021	15-03-2022	II	1,8	<0,10	<0,050	<0,050	390	<0,10	<0,050	<0,050	<0,10	<0,10	<0,050	11	-
B626	4	114.4022	15-03-2022	II	0,37	<0,10	<0,050	<0,050	7,5	<0,10	<0,050	<0,050	<0,10	<0,10	<0,050	1	-
B627	1	114.4023	15-03-2022	II	0,26	0,33	0,052	<0,050	1,8	<0,10	<0,050	0,058	0,48	<0,10	<0,050	2	-
B627	2	114.4024	15-03-2022	II	12	<0,10	<0,050	0,34	1400	<0,10	<0,050	<0,050	<0,10	<0,10	<0,050	54	-
B627	3	114.4025	15-03-2022	II	16	<0,10	<0,050	<0,050	1500	<0,10	<0,050	<0,050	<0,10	<0,10	<0,050	40	-
B627	4	114.4026	15-03-2022	II	18	<0,10	0,088	0,68	1500	<0,10	<0,050	<0,050	<0,10	<0,10	<0,050	96	-
B628	1	114.4027	15-03-2022	II	<0,050	<0,10	<0,050	<0,050	<0,10	<0,10	<0,050	<0,050	<0,10	<0,10	<0,050	0	-
B628	2	114.4028	15-03-2022	II	3,2	<0,10	<0,050	<0,050	1100	<0,10	<0,050	<0,050	0,13	<0,10	<0,050	13	-
B628	3	114.4029	15-03-2022	II	1,6	<0,10	<0,050	<0,050	1100	<0,10	<0,050	<0,050	<0,10	<0,10	<0,050	7	-
B629	1	114.4030	16-03-2022	II	<0,050	<0,10	<0,050	<0,050	<0,10	<0,10	<0,050	<0,050	<0,10	<0,10	<0,050	0	-
B629	2	114.4031	16-03-2022	II	1,3	<0,10	<0,050	<0,050	2400	<0,10	<0,050	<0,050	<0,10	<0,10	<0,050	10	-
B629	3	114.4032	16-03-2022	II	<0,050	<0,10	<0,050	<0,050	57	<0,10	<0,050	<0,050	<0,10	<0,10	<0,050	2	-
B630	1	114.4033	16-03-2022	II	1,4	<0,10	<0,050	<0,050	1400	<0,10	<0,050	<0,050	<0,10	<0,10	<0,050	2	-
B630	2	114.4034	16-03-2022	II	<0,050	<0,10	<0,050	<0,050	1200	<0,10	<0,050	<0,050	<0,10	<0,10	<0,050	0	-
B630	3	114.4035	16-03-2022	II	<0,050	<0,10	<0,050	<0,050	700	<0,10	<0,050	<0,050	<0,10	<0,10	<0,050	0	-
B631	1	114.4036	14-03-2022	II	<0,050	<0,10	<0,050	<0,050	<0,10	<0,10	<0,050	<0,050	<0,10	<0,10	<0,050	0	-
B631	2	114.4037	14-03-2022	II	22	6,2	2,7	0,58	0,16	<0,10	<0,050	0,82	0,38	<0,10	1,2	60	-
B631	3	114.4038	14-03-2022	II	10	3	3	0,65	6,9	<0,10	<0,050	0,92	0,78	<0,10	1	38	-
B632	1	114.4039	10-03-2022	II	1,8	0,77	1,2	0,14	<0,10	<0,10	<0,050	0,21	0,25	<0,10	0,15	10	-
B632	2	114.4040	10-03-2022	II	100	240	38	0,51	0,29	<0,10	<0,050	4,4	5,9	<0,10	5,5	534	-
B632	3	114.4041	10-03-2022	II	6,3	26	6	0,2	<0,10	<0,10	<0,050	2	0,32	<0,10	3	58	-
B633	1	114.4042	14-03-2022	II	<0,050	<0,10	<0,050	<0,050	<0,10	<0,10	<0,050	<0,050	<0,10	<0,10	<0,050	0	-
B633	2	114.4043	14-03-2022	II	40	<0,10	<0,050	<0,050	3000	<0,10	<0,050	<0,050	<0,10	<0,10	<0,050	200	-
B633	3	114.4044	14-03-2022	II	13	<0,10	<0,050	<0,050	4800	<0,10	<0,050	<0,050	<0,10	<0,10	<0,050	153	-
B633	4	114.4045	14-03-2022	II	5,8	<0,10	0,13	<0,050	8,5	<0,10	<0,050	<0,050	<0,10	<0,10	0,17	13	-
B634	1	114.4046	16-03-2022	II	0,081	<0,10	<0,050	<0,050	1100	<0,10	<0,050	<0,050	<0,10	<0,10	<0,050	0	-
B634	2	114.4047	16-03-2022	II	0,09	<0,10	<0,050	<0,050	530	<0,10	<0,050	<0,050	<0,10	<0,10	<0,050	1	-
B634	3	114.4048	16-03-2022	II	<0,050	<0,10	<0,050	<0,050	120	<0,10	<0,050	<0,050	<0,10	<0,10	<0,050	0	-
B635	1	114.4182	16-09-2022	II	<0,050	<0,10	<0,050	<0,050	<0,10	<0,10	<0,050	<0,050	<0,10	<0,10	<0,050	0	-
B635	2	114.4183	16-09-2022	II	<0,050	<0,10	<0,050	<0,050	<0,10	<0,10	<0,050	<0,050	<0,10	<0,10	<0,050	0	-
B635	3	114.4184	16-09-2022	II	0,61	0,71	0,77	0,1	1,3	<0,10	<0,050	0,19	<0,10	<0,10	0,32	6	-
B636	1	114.4185	16-09-2022	II	<0,050	<0,10	<0,050	<0,050	<0,10	<0,10	<0,050	<0,050	<0,10	<0,10	<0,050	0	-
B636	2	114.4186	16-09-2022	II	<0,050	<0,10	<0,050	<0,050	<0,10	<0,10	<0,050	<0,050	<0,10	<0,10	<0,050	0	-
B636	3	114.4187	16-09-2022	II	0,051	<0,10	<0,050	<0,050	<0,10	<0,10	<0,050	<0,050	<				

Boring	Filter	DGU nr	Dato udtaget	Fase	PFHpA, Perfluorheptansyre	PFOA, Perfluoroctansyre	PFNA, Perfluoronansyre	PFBS, Perfluorbutansulfonsyre	PFHxS, Perfluorhexansulfonsyre	PFOS, Perfluoroctansulfonsyre	PFOSA, Perfluoroctansulfonamid	PFHxA, Perfluorhexansyre	PFBA, Perfluorbutansyre	PFPeA, Perfluorpentansyre	PFDA, Perfluordecansyre	6:2 FTS, 1H,1H,2H,2H-Perfluoroctansulfonsyre	Sum af PFAS, 12 stoffer
-	-	-	-	-	µg/l	µg/l	µg/l	µg/l	µg/l	µg/l	µg/l	µg/l	µg/l	µg/l	µg/l	µg/l	µg/l
B601	1	114.3900	25-01-2022	II	<0,0010	<0,0010	<0,0010	<0,0010	<0,0010	<0,0010	<0,0010	<0,0010	<0,0010	<0,0010	<0,0010	<0,010	
B601	2	114.3900	25-01-2022	II	<0,0010	<0,0010	<0,0010	<0,0010	<0,0010	<0,0010	<0,0010	<0,0010	0,0048	<0,0010	<0,0010	<0,0010	<0,010
B601	3	114.3901	25-01-2022	II	<0,0010	<0,0010	<0,0010	<0,0010	<0,0010	<0,0010	<0,0010	<0,0010	<0,0010	<0,0010	<0,0010	<0,010	
B601	4	114.3901	25-01-2022	II	<0,0010	<0,0010	<0,0010	<0,0010	<0,0010	<0,0010	<0,0010	<0,0010	0,0069	<0,0010	<0,0010	<0,0010	<0,010
B601	5	114.3902	25-01-2022	II	<0,0010	<0,0010	<0,0010	<0,0010	<0,0010	<0,0010	<0,0010	<0,0010	<0,0010	<0,0010	<0,0010	<0,010	
B601	6	114.3902	25-01-2022	II	<0,0010	<0,0010	<0,0010	<0,0010	<0,0010	<0,0010	<0,0010	<0,0010	<0,0010	<0,0010	<0,0010	<0,010	
B602	1	114.3904	01-02-2022	II	<0,00100	<0,00100	<0,00100	<0,00100	<0,00100	<0,00100	<0,00100	<0,00100	<0,00100	<0,00100	<0,00100	<0,010	
B602	2	114.3904	01-02-2022	II	<0,00100	<0,00100	<0,00100	<0,00100	<0,00100	<0,00100	<0,00100	<0,00100	<0,00100	<0,00100	<0,00100	<0,010	
B602	3	114.3905	01-02-2022	II	<0,00100	<0,00100	<0,00100	<0,00100	<0,00100	<0,00100	<0,00100	<0,00100	<0,00100	<0,00100	<0,00100	<0,010	
B602	5	114.3906	01-02-2022	II	<0,00100	<0,00100	<0,00100	<0,00100	<0,00100	<0,00100	<0,00100	<0,00100	<0,00100	<0,00100	<0,00100	<0,010	
B602	6	114.3906	01-02-2022	II	<0,00100	<0,00100	<0,00100	<0,00100	<0,00100	<0,00100	<0,00100	<0,00100	<0,00100	<0,00100	<0,00100	<0,010	
B603	1	114.3909	15-02-2022	II	<0,0010	<0,0010	<0,0010	<0,0010	<0,0010	<0,0010	<0,0010	<0,0010	<0,0010	<0,0010	<0,0010	<0,010	
B603	2	114.3909	15-02-2022	II	<0,0010	<0,0010	<0,0010	<0,0010	<0,0010	<0,0010	<0,0010	<0,0010	<0,0010	<0,0010	<0,0010	<0,010	
B603	3	114.3910	15-02-2022	II	<0,0010	<0,0010	<0,0010	<0,0010	<0,0010	<0,0010	<0,0010	<0,0010	<0,0010	<0,0010	<0,0010	<0,010	
B603	4	114.3910	15-02-2022	II	<0,0010	<0,0010	<0,0010	<0,0010	<0,0010	<0,0010	<0,0010	<0,0010	<0,0010	<0,0010	<0,0010	<0,010	
B603	5	114.3911	15-02-2022	II	<0,0010	<0,0010	<0,0010	<0,0010	<0,0010	<0,0010	<0,0010	<0,0010	<0,0010	<0,0010	<0,0010	<0,010	
B603	6	114.3911	15-02-2022	II	<0,0010	<0,0010	<0,0010	<0,0010	<0,0010	<0,0010	<0,0010	<0,0010	<0,0010	<0,0010	<0,0010	<0,010	

- : ikke målt

#: ingen parametre er påvist

<b>Boring</b>	<b>Filter</b>	<b>DGU nr</b>	<b>Dato udtaget</b>	<b>Fase</b>	<b>PFBA (Perfluorbutansyre)</b>	<b>PFBS (Perfluorbutansulfonsyre)</b>	<b>PFPeA (Perfluorpentansyre)</b>	<b>PFPeS (Perfluorpentansulfonsyre)</b>	<b>PFHxA (Perfluorthexansyre)</b>	<b>PFHxS (Perfluorthexansulfonsyre)</b>	<b>PFHpA (Perfluorheptansyre)</b>	<b>PFHpS (Perfluorheptansulfonsyre)</b>	<b>PFOA (Perfluoroktansyre)</b>	<b>PFOS (Perfluoroktansulfonsyre)</b>	<b>6:2 FTS (Fluortelomersulfonat)</b>	<b>PFOSA (Perfluoroktansulfonamid)</b>	<b>PFNA (Perfluoronansyre)</b>	<b>PFNS (Perfluornansulfonsyre)</b>	<b>PFDA (Perfluordekanesulfansyre)</b>	<b>PFDS (Perfluordekanesulfonsyre)</b>	<b>PFUnDA (Perfluorundekansyre)</b>
					ng/l	ng/l	ng/l	ng/l	ng/l	ng/l	ng/l	ng/l	ng/l	ng/l	ng/l	ng/l	ng/l	ng/l	ng/l		
-	-	-	-	-	<0,60	<0,30	<0,30	<0,30	<0,30	<0,30	<0,30	<0,30	<0,30	<0,30	<0,30	<0,30	<0,30	<0,30	<0,30		
B611	3	114.3964	01-03-2022	II	<0,60	<0,30	<0,30	<0,30	<0,30	<0,30	<0,30	<0,30	<0,30	<0,30	<0,30	<0,30	<0,30	<0,30	<0,30		
B611	6	114.3967	01-03-2022	II	<0,60	<0,30	<0,30	<0,30	<0,30	<0,30	<0,30	<0,30	<0,30	0,42	<0,30	<0,30	<0,30	<0,30	<0,30		
B612	2	114.3969	01-03-2022	II	<0,60	<0,30	<0,30	<0,30	<0,30	<0,30	<0,30	<0,30	<0,30	<0,20	<0,30	<0,30	<0,30	<0,30	<0,30		
B612	4	114.3971	01-03-2022	II	0,75	<0,30	3,7	<0,30	2,2	<0,30	0,4	<0,30	<0,30	<0,20	<0,30	<0,30	<0,30	<0,30	<0,30		
B613	1	114.3972	22-02-2022	II	<0,60	<0,30	<0,30	<0,30	<0,30	<0,30	<0,30	<0,30	<0,30	<0,20	<0,30	<0,30	<0,30	<0,30	<0,30		
B613	4	114.3975	22-02-2022	II	<0,60	<0,30	0,81	<0,30	0,34	<0,30	<0,30	<0,30	<0,30	<0,20	<0,30	<0,30	<0,30	<0,30	<0,30		
B614	2	114.3977	23-02-2022	II	<0,60	<0,30	<0,30	<0,30	<0,30	<0,30	<0,30	<0,30	<0,30	<0,20	<0,30	<0,30	<0,30	<0,30	<0,30		
B614	3	114.3978	23-02-2022	II	<0,60	<0,30	<0,30	<0,30	<0,30	<0,30	<0,30	<0,30	<0,30	<0,20	<0,30	<0,30	<0,30	<0,30	<0,30		
B615	3	114.3982	10-03-2022	II	1	0,62	0,44	<0,30	0,65	0,51	0,41	<0,30	2	1,4	<0,30	<0,30	<0,30	<0,30	<0,30		
B616	2	114.3984	15-03-2022	II	<0,60	<0,30	<0,30	<0,30	<0,30	<0,30	<0,30	<0,30	<0,30	<0,20	<0,30	<0,30	<0,30	<0,30	<0,30		
B617	1	114.3987	09-03-2022	II	<0,60	<0,30	<0,30	<0,30	<0,30	<0,30	<0,30	<0,30	<0,30	<0,20	<0,30	<0,30	<0,30	<0,30	<0,30		
B618	3	114.3993	08-03-2022	II	2,1	0,53	0,5	<0,30	0,74	0,55	0,34	<0,30	3,5	0,71	<0,30	<0,30	<0,30	<0,30	<0,30		
B619	2	114.3995	08-03-2022	II	<0,60	<0,30	<0,30	<0,30	<0,30	<0,30	<0,30	<0,30	0,37	<0,20	<0,30	<0,30	<0,30	<0,30	<0,30		
B620	1	114.3997	08-03-2022	II	<20	<0,30	<0,30	<0,30	<0,30	<0,30	<0,30	<0,30	<0,30	<0,20	<0,30	<0,30	<0,30	<0,30	<0,30		
B620	3	114.3999	08-03-2022	II	<0,60	<0,30	<0,30	<0,30	<0,30	<0,30	<0,30	<0,30	0,46	<0,20	<0,30	<0,30	<0,30	<0,30	<0,30		
B621	2	114.4001	08-03-2022	II	<20	<0,30	<0,30	<0,30	<0,30	<0,30	<0,30	<0,30	<0,30	<0,20	<0,30	<0,30	<0,30	<0,30	<0,30		
B622	1	114.4052	04-03-2022	II	<0,60	<0,30	<0,30	<0,30	<0,30	<0,30	<0,30	<0,30	<0,30	<0,20	<0,30	<0,30	<0,30	<0,30	<0,30		
B622	3	114.4004	04-03-2022	II	<0,60	<0,30	<0,30	<0,30	<0,30	<0,30	<0,30	<0,30	<0,30	<0,20	<0,30	<0,30	<0,30	<0,30	<0,30		
B626	2	114.4020	15-03-2022	II	<0,60	<0,30	<0,30	<0,30	<0,30	<0,30	<0,30	<0,30	<0,30	<0,20	<0,30	<0,30	<0,30	<0,30	<0,30		
B627	3	114.4025	15-03-2022	II	<0,60	<0,30	<0,30	<0,30	<0,30	<0,30	<0,30	<0,30	<0,30	<0,20	<0,30	<0,30	<0,30	0,4			
B628	2	114.4028	15-03-2022	II	<0,60	<0,30	<0,30	<0,30	<0,30	<0,30	<0,30	<0,30	0,38	0,22	<0,30	<0,30	<0,30	<0,30	<0,30		
B629	3	114.4032	16-03-2022	II	<0,60	14	8,3	0,71	19	6,5	7,9	<0,30	19	5	2,5	0,52	0,63	<0,30	0,32		
B630	1	114.4033	16-03-2022	II	<0,60	2,6	1,7	<0,30	4,2	1,1	1,5	<0,30	5,9	0,89	0,39	<0,30	<0,30	<0,30			
B631	2	114.4037	14-03-2022	II	<0,60	<0,30	<0,30	<0,30	<0,30	<0,30	<0,30	<0,30	<0,30	<0,20	<0,30	<0,30	<0,30	<0,30			
B632	2	114.4040	10-03-2022	II	<0,60	<0,30	<0,30	<0,30	<0,30	<0,30	<0,30	<0,30	0,48	<0,20	<0,30	<0,30	<0,30	<0,30			
B633	1	114.4042	14-03-2022	II	<0,60	<0,30	<0,30	<0,30	<0,30	<0,30	<0,30	<0,30	<0,30	<0,20	<0,30	<0,30	<0,30	<0,30			
B634	2	114.4047	16-03-2022	II	<0,60	1,5	0,94	<0,30	2	0,59	0,98	<0,30	2,7	0,64	<0,30	<0,30	<0,30	<0,30			

- : ikke målt

#: ingen parametre er påvist

Boring	Filter	DGU nr	Dato udtaget	Fase	PFUnDS (Perfluorundekansulfonsyre)	PFDoDA (Perfluordodekansyre)	PFDoDS (Perfluordodekansulfonsyre)	PFTnDA (Perfluortridekansyre)	PFTnDS (Perfluortridekansulfonsyre)	Sum af PFOA,PFOS,PFNA og PFHxS	Sum af PFOA,PFOS,PFNA og PFHxS	Sum af 22 PFAS	Sum af 22 PFAS
-	-	-	-	-	ng/l	ng/l	ng/l	ng/l	ng/l	µg/l	ng/l	µg/l	ng/l
B611	3	114.3964	01-03-2022	II	<1,0	<0,30	<1,0	<1,0	<1,0	#	#	#	#
B611	6	114.3967	01-03-2022	II	<1,0	<0,30	<1,0	<1,0	<1,0	0,00042	0,42	0,00042	0,42
B612	2	114.3969	01-03-2022	II	<1,0	<0,30	<1,0	<1,0	<1,0	#	#	#	#
B612	4	114.3971	01-03-2022	II	<1,0	<0,30	<1,0	<1,0	<1,0	#	#	0,0071	7,1
B613	1	114.3972	22-02-2022	II	<1,0	<0,30	<1,0	<1,0	<1,0	#	#	#	#
B613	4	114.3975	22-02-2022	II	<1,0	<0,30	<1,0	<1,0	<1,0	#	#	0,0012	1,2
B614	2	114.3977	23-02-2022	II	<1,0	<0,30	<1,0	<1,0	<1,0	#	#	#	#
B614	3	114.3978	23-02-2022	II	<1,0	<0,30	<1,0	<1,0	<1,0	#	#	#	#
B615	3	114.3982	10-03-2022	II	<1,0	<0,30	<1,0	<1,0	<1,0	0,0039	3,9	0,007	7
B616	2	114.3984	15-03-2022	II	<1,0	<0,30	<1,0	<1,0	<1,0	#	#	#	#
B617	1	114.3987	09-03-2022	II	<1,0	<0,30	<1,0	<1,0	<1,0	#	#	#	#
B618	3	114.3993	08-03-2022	II	<1,0	<0,30	<1,0	<1,0	<1,0	0,0048	4,8	0,009	9
B619	2	114.3995	08-03-2022	II	<1,0	<0,30	<1,0	<1,0	<1,0	0,00037	0,37	0,00037	0,37
B620	1	114.3997	08-03-2022	II	<1,0	<0,30	<1,0	<1,0	<1,0	#	#	#	#
B620	3	114.3999	08-03-2022	II	<1,0	<0,30	<1,0	<1,0	<1,0	0,00046	0,46	0,00046	0,46
B621	2	114.4001	08-03-2022	II	<1,0	<0,30	<1,0	<1,0	<1,0	#	#	#	#
B622	1	114.4052	04-03-2022	II	<1,0	<0,30	<1,0	<1,0	<1,0	#	#	#	#
B622	3	114.4004	04-03-2022	II	<1,0	<0,30	<1,0	<1,0	<1,0	#	#	#	#
B626	2	114.4020	15-03-2022	II	<1,0	<0,30	<1,0	<1,0	<1,0	#	#	#	#
B627	3	114.4025	15-03-2022	II	<1,0	<0,30	<1,0	<1,0	<1,0	#	#	0,0004	0,4
B628	2	114.4028	15-03-2022	II	<1,0	<0,30	<1,0	<1,0	<1,0	0,0006	0,6	0,0006	0,6
B629	3	114.4032	16-03-2022	II	<1,0	<0,30	<1,0	<1,0	<1,0	0,031	31	0,084	84
B630	1	114.4033	16-03-2022	II	<1,0	<0,30	<1,0	<1,0	<1,0	0,0079	7,9	0,018	18
B631	2	114.4037	14-03-2022	II	<1,0	<0,30	<1,0	<1,0	<1,0	#	#	#	#
B632	2	114.4040	10-03-2022	II	<1,0	<0,30	<1,0	<1,0	<1,0	0,00048	0,48	0,00048	0,48
B633	1	114.4042	14-03-2022	II	<1,0	<0,30	<1,0	<1,0	<1,0	#	#	#	#
B634	2	114.4047	16-03-2022	II	<1,0	<0,30	<1,0	<1,0	<1,0	0,0039	3,9	0,0094	9,4

- : ikke målt

#: ingen parametre er påvist

<b>Boring</b>	<b>Filter</b>	<b>DGU nr</b>	<b>Dato udtaget</b>	<b>Fase</b>	Benzen	Toluen	Ethylbenzen	m/p-xilen	Oxylen	Xylen (o-,m- og p-xilen)	Xylen (o-,m-, p-xylen og ethylbenzen)	Ethan	Ethylen	Naphthalen	Kulbrinter n-C6 - n-C10	Kulbrinter >n-C10 - n-C15	Kulbrinter >n-C15 - n-C20	Kulbrinter >n-C20 - n-C35	Total kulbrinter (C6-C35)
					µg/l	µg/l	µg/l	µg/l	µg/l	µg/l	µg/l	µg/l	µg/l	µg/l	µg/l	µg/l	µg/l	µg/l	
-	-	-	-	-	0,16	0,028	0,043	0,13	0,035	0,17	0,21	<0,5	0,68	<0,020	<5,0	<5,0	<5,0	<5,0	
B604	1	114.4175	27-09-2022	III	<0,020	<0,020	<0,020	0,2	1,3	1,5	1,5	<0,5	<0,5	<0,020	8,8	24	<5,0	<5,0	
B604	2	114.4175	27-09-2022	III	0,48	<0,020	0,072	0,084	0,041	0,13	0,2	10	3,4	<0,020	<5,0	<5,0	<5,0	<5,0	
B604	3	114.4176	27-09-2022	III	0,25	0,035	0,037	0,11	<0,020	0,11	0,15	<0,50	<0,50	<0,020	15	<5,0	<5,0	<5,0	
B604	4	114.4176	27-09-2022	III	0,37	0,11	0,03	0,13	0,086	0,22	0,25	<0,5	<0,5	<0,020	12	<5,0	<5,0	<5,0	
B604	5	114.4175	27-09-2022	III	12	0,12	<0,020	0,098	<0,020	0,098	0,098	<0,50	250	<0,020	12	<5,0	<5,0	12	
B605	1	114.4177	03-10-2022	III	37	1,5	0,16	0,41	0,15	0,56	0,72	2,5	36	<0,020	49	<5,0	<5,0	49	
B605	2	114.4177	03-10-2022	III	14	<0,020	0,054	0,18	0,17	0,35	0,4	43	750	<0,020	19	<5,0	<5,0	19	
B605	3	114.4178	03-10-2022	III	<0,020	<0,020	0,022	0,049	<0,020	0,049	0,071	250	35	<0,020	10	5,3	<5,0	15	
B605	4	114.4178	03-10-2022	III	0,11	<0,020	<0,020	0,038	<0,020	<0,040	<0,060	<0,50	<0,50	<0,020	8	<5,0	<5,0	8	
B605	5	114.4179	03-10-2022	III	0,17	0,031	<0,020	0,049	<0,020	0,049	<0,060	1,6	0,97	<0,020	6,9	5,5	<5,0	12	
B606	1	114.4180	27-09-2022	III	160	82	0,25	0,74	0,25	0,99	1,2	1,4	940	<0,020	270	<5,0	<5,0	270	
B606	1	114.4180	16-11-2022	III	-	-	-	-	-	-	-	2,3	1100	-	-	-	-	-	
B606	2	114.4180	27-09-2022	III	220	7,2	0,85	0,54	0,58	1,1	2	15	200	<0,020	230	<5,0	<5,0	230	
B606	2	114.4180	16-11-2022	III	-	-	-	-	-	-	-	32	360	-	-	-	-	-	
B606	4	114.3905	03-10-2022	III	<0,020	<0,020	<0,020	<0,020	<0,020	<0,040	<0,060	<0,50	<0,50	<0,020	<5,0	<5,0	<5,0	<5,0	
B606	3	114.4181	27-09-2022	III	16	1,7	1,2	0,29	0,26	0,55	1,8	27	65	<0,020	20	<5,0	<5,0	20	
B606	4 (15-17 m)	114.4181	12-10-2022	III	55	1,8	2,9	2,1	2,7	4,8	7,7	330	26	<0,020	65	<5,0	<5,0	65	
B606	4 (18-20 m)	114.4181	16-11-2022	III	11	1,3	0,18	0,15	0,83	0,98	1,2	110	5,8	<0,020	15	8,5	8,3	<5,0	
B606	5	114.4180	27-09-2022	III	180	4,5	0,67	0,77	3,9	4,7	5,3	160	280	0,11	240	<5,0	<5,0	240	
Drænudløb Nord			12-10-2022	III	<0,020	<0,020	<0,020	<0,020	<0,020	<0,040	<0,060	-	-	<0,020	<5,0	<5,0	<5,0		

- : ikke målt / ikke analyseret

#: ingen parametre er påvist

Boring	Filter	DGU nr	Dato udtaget	Fase	Trichlormethan (Chloroform)	1,1,1-trichlorehan	Tetrachlormethan	Trichlorehen	Tetrachlorehen	Chlorehan	Vinylchlorid	1,1-dichlorehen	trans-1,2-dichlorehen	cis-1,2-dichlorehen	1,2-dichlorehan	1,1-dichlorehan	Dichlormethan	SUM (CHLOR)	
-	-	-	-	-	µg/l	µg/l	µg/l	µg/l	µg/l	µg/l	µg/l	µg/l	µg/l	µg/l	µg/l	µg/l	µg/l		
B604	1	114.4175	27-09-2022	III	<0,020	<0,020	<0,020	<0,020	0,059	<0,10	2,5	<0,020	0,022	1,3	<0,020	<0,020	<0,10	4	
B604	2	114.4175	27-09-2022	III	<0,020	<0,020	<0,020	<0,020	0,053	<0,10	1,6	<0,020	<0,020	1,1	0,24	<0,020	<0,10	3	
B604	3	114.4176	27-09-2022	III	<0,020	<0,020	<0,020	<0,020	<0,020	<0,10	15	<0,020	0,073	0,39	2,1	0,034	<0,10	18	
B604	4	114.4176	27-09-2022	III	<0,020	<0,020	<0,020	<0,020	<0,020	<0,10	0,79	<0,020	0,14	0,29	<0,020	<0,020	<0,10	1	
B604	5	114.4175	27-09-2022	III	<0,020	<0,020	<0,020	0,027	0,024	<0,10	1,4	<0,020	0,025	0,64	0,08	<0,020	<0,10	2	
B605	1	114.4177	03-10-2022	III	<0,020	<0,020	<0,020	0,15	0,037	<0,10	610	0,26	1,8	140	<0,020	<0,020	<0,10	752	
B605	2	114.4177	03-10-2022	III	0,042	<0,020	<0,020	0,99	0,092	<0,10	630	9,2	48	4500	<0,020	<0,020	<0,10	5188	
B605	3	114.4178	03-10-2022	III	<0,020	<0,020	<0,020	<0,020	0,021	<0,10	780	<0,020	4,2	11	<0,020	0,054	<0,10	795	
B605	4	114.4178	03-10-2022	III	<0,020	<0,020	<0,020	<0,020	<0,020	<0,10	7,8	<0,020	0,03	0,69	0,14	0,12	<0,10	9	
B605	5	114.4179	03-10-2022	III	<0,020	<0,020	<0,020	1,1	2,6	<0,10	0,32	0,051	0,062	3,3	0,32	<0,020	<0,10	8	
B605	6	114.4179	03-10-2022	III	<0,020	<0,020	<0,020	0,035	<0,020	<0,10	0,54	<0,020	0,039	0,42	0,08	<0,020	<0,10	1	
B606	1	114.4180	27-09-2022	III	<0,020	<0,020	<0,020	0,1	0,23	<0,10	16000	13	59	6400	<0,020	<0,020	<0,10	22472	
B606	2	114.4180	27-09-2022	III	<0,020	<0,020	<0,020	0,28	0,33	<0,10	2800	2,6	44	4000	8,1	0,033	<0,10	6855	
B606	3	114.4181	27-09-2022	III	<0,020	<0,020	<0,020	0,19	0,91	1,1	170	0,029	1	6,7	0,75	0,06	<0,10	181	
B606	4 (15-17 m)	114.4181	12-10-2022	III	<0,020	<0,020	<0,020	<0,020	<0,020	<0,020	36	170	0,5	7,4	<0,020	<0,020	0,054	<0,10	214
B606	4 (18-20 m)	114.4181	16-11-2022	III	<0,020	<0,020	<0,020	0,044	0,37	19	350	0,032	3,4	31	0,31	0,027	<0,10	404	
B606	5	114.4180	27-09-2022	III	1,1	<0,020	<0,020	36	29	29	1200	1,6	41	1400	<0,020	0,21	<0,10	2738	
Drænudløb Nord			12-10-2022	III	0,093	<0,020	<0,020	2,1	12	2,2	38	0,13	0,71	21	0,25	<0,020	<0,10	76	

- : ikke målt

#: ingen parametre er påvist

B606-4 (15-17 m): der ikke arbejdes videre med disse data, da filteret var fejlplaceret, og det efterfølgende er blevet flyttet.

Boring	Filter	DGU nr	Dato udtaget	Fase	°Vandtemperatur (felt)	Redoxpotential (felt)	pH (felt)	llt (felt)	Konduktivitet (Ledningsevne)	Ammonium, Filt Felt	Fluorid (F)	Mangan (Mn) Filt Felt	Calcium (Ca), Filt Felt	Magnesium (Mg) Filt Felt	Kalium (K) Filt Felt	Natrium (Na), Filt Felt	Jern (Fe) oplost	Nitrit	Nitrat
-	-	-	-	-	°C	mV	pH	mg/l	µS/cm	mg/l	mg/l	mg/l	mg/l	mg/l	mg/l	mg/l	mg/l	mg/l	
B604	1	114.4175	27-09-2022	III	11,6	43	6,96	1,3	412	0,45	0,08	0,19	14	3,1	3,8	60	<0,010	0,0099	0,68
B604	2	114.4175	27-09-2022	III	11,6	62	7,26	3,32	5,31	0,47	0,2	0,22	14	3,3	3,4	86	0,013	0,56	11
B604	3	114.4176	27-09-2022	III	11,5	-14	6,81	0,87	477	1,4	0,21	0,24	22	3,7	4,9	140	0,046	0,14	0,42
B604	4	114.4176	27-09-2022	III	11,5	-42	7,17	0,81	599	0,74	0,37	0,035	7,3	1,5	4,6	150	0,13	0,3	0,83
B604	5	114.4175	27-09-2022	III	11,5	87	7,6	1,68	87	6,1	0,21	0,19	12	2,4	5,7	130	0,017	0,29	1,7
B605	1	114.4177	03-10-2022	III	12,1	89	6,97	2,23	697	0,2	0,083	0,15	32	6,8	4,3	100	0,11	0,011	<0,10
B605	2	114.4177	03-10-2022	III	12,3	75	6,48	3,44	548	0,23	0,056	0,14	17	4	3,1	140	0,2	0,0092	<0,10
B605	3	114.4178	03-10-2022	III	12,2	62	6,89	2,37	795	0,68	0,11	0,57	13	3,2	2,7	150	0,27	0,063	0,29
B605	4	114.4178	03-10-2022	III	12,3	94	6,78	3,83	687	2,6	0,15	0,091	10	2	3,2	130	0,075	0,02	<0,10
B605	5	114.4179	03-10-2022	III	12,3	24	8,11	4,67	772	0,23	0,29	0,16	9,5	2	4,8	160	0,19	0,52	1,1
B605	6	114.4179	03-10-2022	III	12,4	46	7,62	5,35	985	0,58	0,33	0,33	14	2,9	5,7	220	0,074	0,38	0,8
B606	1	114.4180	27-09-2022	III	11,4	27	6,43	0,8	541	0,41	0,05	0,3	14	2,5	2,5	92	0,13	0,4	0,45
B606	2	114.4180	27-09-2022	III	11,3	59	6,88	0,77	765	1,7	0,15	0,39	16	3,4	3,8	140	0,26	0,21	0,96
B606	3	114.4181	27-09-2022	III	11,4	-61	6,57	0,1	583	4,1	0,18	0,53	12	2,3	2,9	94	12	<0,0010	0,51
B606	4 (15-17 m)	114.4181	12-10-2022	III	12,5	4	6,17	0,04	597	0,67	0,037	0,079	19	4,5	1,5	120	1,3	<0,0010	0,18
B606	4 (18-20 m)	114.4181	16-11-2022	III	-	-	-	-	-	0,99	0,042	0,18	30	11	1,7	100	0,4	<0,0010	0,1
B606	5	114.4180	27-09-2022	III	11,9	33	6,53	0,11	1154	0,32	0,097	0,67	31	5,8	7	170	0,41	0,41	0,42
Drænudløb Nord			12-10-2022	III	-	-	-	-	-	0,18	0,031	0,45	22	2,2	3,3	39	0,48	0,0073	9,2

- : ikke målt

#: ingen parametre er påvist

B606-4 (15-17 m): der ikke arbejdes videre med disse data, da filteret var fejlplaceret, og det efterfølgende er blevet flyttet.

Boring	Filter	DGU nr	Dato udtaget	Fase	Total-P	Hydrogencarbonat (Grampot)	Chlorid	Sulfat	Hydrogencarbonat	Aggressiv kuldioxid	Inddampnings test	Hydrogensulfid-H2S	NVOC, ikke flygt.org.carbon	Arsen (As) Filtr Felt	Bor (B) Filtr Felt	Bly, Pb, Filtr Felt	Cadmium, Cd, Filtr Felt	Barium (Ba) Filtr Felt	Chrom, Cr, Filtr Felt
-	-	-	-	-	mg/l	mg/l	mg/l	mg/l	mg/l	mg/l	mg/l	mg/l	mg/l	µg/l	µg/l	µg/l	µg/l	µg/l	
B604	1	114.4175	27-09-2022	III	0,048	-	39	65	120	21	330	<0,020	20	21	40	0,045	0,003	53	0,096
B604	2	114.4175	27-09-2022	III	0,084	-	35	88	160	<5	370	<0,020	8,8	4,4	58	0,042	0,0056	36	0,083
B604	3	114.4176	27-09-2022	III	0,09	-	41	110	130	19	390	0,073	5,5	3,2	57	0,037	0,0037	66	0,11
B604	4	114.4176	27-09-2022	III	0,075	-	36	140	230	<5	590	<0,020	9,8	11	78	0,19	0,0092	18	0,23
B604	5	114.4175	27-09-2022	III	0,078	-	72	110	210	<5	460	<0,020	4,3	4,8	110	<0,025	0,0039	27	0,14
B605	1	114.4177	03-10-2022	III	0,062	-	61	13	170	17	510	<0,020	2,6	2,2	69	0,17	0,013	43	0,62
B605	2	114.4177	03-10-2022	III	0,032	-	43	29	100	36	400	<0,020	2,5	3,4	36	0,13	0,01	31	0,49
B605	3	114.4178	03-10-2022	III	0,19	-	120	75	190	26	670	<0,020	4,6	2,6	42	0,26	0,02	60	2,3
B605	4	114.4178	03-10-2022	III	0,094	-	29	16	250	35	520	<0,020	5,4	4,9	41	0,12	0,015	24	1,2
B605	5	114.4179	03-10-2022	III	0,1	-	52	130	260	13	720	<0,020	14	14	84	0,61	0,053	22	0,85
B605	6	114.4179	03-10-2022	III	0,1	-	55	160	330	<5	690	<0,020	4,2	2,8	150	0,21	0,041	27	0,17
B606	1	114.4180	27-09-2022	III	0,097	-	100	33	110	47	440	<0,020	10	2,9	39	0,09	0,0086	62	0,54
B606	2	114.4180	27-09-2022	III	0,27	-	100	93	220	31	710	<0,020	12	4,5	65	0,14	0,011	82	0,94
B606	3	114.4181	27-09-2022	III	0,56	-	65	57	170	49	360	<0,020	11	5,8	530	0,075	0,018	76	0,34
B606	4 (15-17 m)	114.4181	12-10-2022	III	0,034	-	78	22	210	85	370	0,041	7,5	20	70	0,052	0,027	43	0,087
B606	4 (18-20 m)	114.4181	16-11-2022	III	0,029	-	84	23	220	65	370	0,042	6,3	2,6	36	1,5	0,042	58	0,19
B606	5	114.4180	27-09-2022	III	0,019	-	110	130	230	75	610	0,02	5,6	2	110	0,041	0,082	80	0,078
Drænudløb Nord			12-10-2022	III	0,018	-	39	18	42	52	200	<0,020	2,2	1,2	39	-	-	61	-

- : ikke målt

#: ingen parametre er påvist

B606-4 (15-17 m): der ikke arbejdes videre med disse data, da filteret var fejlplaceret, og det efterfølgende er blevet flyttet.

Boring	Filter	DGU nr	Dato udtaget	Fase	Kobber, Cu, Filt Felt	Kvikksølv, Hg, Filt Felt	Methylkviksølv , filtr.	Nikel, Ni, Filt Felt	Zink, Zn, Filt Felt	Lithium	Lithium, felfiltreret	Bromid Filt	Methan
-	-	-	-	-	µg/l	µg/l	ng/l	µg/l	µg/l	µg/l	µg/l	mg/l	mg/l
B604	1	114.4175	27-09-2022	III	0,13	<0,0010	<0,03	0,54	2,3	2,4	2,2	0,45	0,02
B604	2	114.4175	27-09-2022	III	0,21	0,001	0,0334	0,81	1,7	1,1	1,1	1,7	<0,010
B604	3	114.4176	27-09-2022	III	0,19	0,0015	<0,03	0,85	1,4	0,69	0,99	1,5	1,1
B604	4	114.4176	27-09-2022	III	1,4	0,0053	<0,03	1,2	3,3	1	0,98	0,51	0,04
B604	5	114.4175	27-09-2022	III	0,46	0,0044	<0,03	1,6	0,84	2,4	2,2	3,6	0,12
B605	1	114.4177	03-10-2022	III	0,91	0,0011	<0,03	0,89	6,3	11	11	0,05	1,3
B605	2	114.4177	03-10-2022	III	0,39	0,0039	0,0687	0,9	2,7	5,9	5,7	0,46	0,94
B605	3	114.4178	03-10-2022	III	0,8	0,0025	0,0797	2,3	4,6	3,8	5	0,18	2,3
B605	4	114.4178	03-10-2022	III	0,82	0,0049	0,157	4,3	6,4	1,4	1,3	0,77	5,1
B605	5	114.4179	03-10-2022	III	4	0,01	0,052	3,7	4	2,4	1,8	0,19	<0,010
B605	6	114.4179	03-10-2022	III	2,9	0,0063	0,186	4,9	3,4	5,3	6,2	0,23	0,11
B606	1	114.4180	27-09-2022	III	0,36	0,0013	0,0486	1	8,7	5,3	5,2	0,05	1,2
B606	2	114.4180	27-09-2022	III	0,5	0,0031	0,0537	2,8	3,8	5	4,4	0,39	3,2
B606	3	114.4181	27-09-2022	III	0,16	0,0028	0,0407	13	9,7	3,4	1,7	2,4	2
B606	4 (15-17 m)	114.4181	12-10-2022	III	0,86	0,0033	<0,03	16	48	0,62	0,55	2,8	1,8
B606	4 (18-20 m)	114.4181	16-11-2022	III	0,32	0,015	<0,03	16	72	0,76	0,73	1,6	0,85
B606	5	114.4180	27-09-2022	III	0,52	0,0016	<0,03	6,4	9,9	11	11	2,2	4,2
Drænudløb Nord			12-10-2022	III	-	<0,0010	-	5,5	-	-	-	-	<0,010

- : ikke målt

#: ingen parametre er påvist

B606-4 (15-17 m): der ikke arbejdes videre med disse data, da filteret var fejlplaceret, og det efterfølgende er blevet flyttet.

Boring	Filter	DGU nr	Dato udtaget	Fase	Acetanilid	Acetyl/sulfaguanidin	Acetyl/sulfanilsyre	Aetallymal	Allyl-n-butylbarbityrat	5-allyl-5-isobutyl-barbitursyre (Butalbital)	5-allyl-5-(methylbutyl)-barbitursyre	Anilin	Barbital	Butobarbital (N-butylethylbarbitursyre)	Butylbarbiturat	o-chloracetanilid	p-chloracetanilid	5,5-diallylbarbitursyre (Allobarbital)	N-N-diethylnicotinamid
-	-	-	-	-	µg/l	µg/l	µg/l	µg/l	µg/l	µg/l	µg/l	µg/l	µg/l	µg/l	µg/l	µg/l	µg/l	µg/l	
B604	1	114.4175	27-09-2022	III	<0,10	<0,10	<0,10	<0,10	1,2	<0,10	0,21	<0,10	1,1	1,7	1,1	<0,10	<0,10	6,3	0,13
B604	2	114.4175	27-09-2022	III	<0,10	<0,10	0,26	0,37	4,1	0,26	<0,10	<0,10	4,4	5,1	3,5	<0,10	<0,10	26	0,27
B604	3	114.4176	27-09-2022	III	<0,10	<0,10	24	9,4	160	1,5	3	<0,10	76	9	56	<0,10	<0,10	30	0,42
B604	4	114.4176	27-09-2022	III	<0,10	<0,10	<0,10	0,42	11	0,39	<0,10	<0,10	7,1	4,4	6,1	<0,10	<0,10	21	0,15
B604	5	114.4175	27-09-2022	III	<0,10	<0,10	<0,10	0,11	1,4	<0,10	<0,10	<0,10	0,98	1,3	0,87	<0,10	<0,10	4,3	0,22
B605	1	114.4177	03-10-2022	III	<0,10	<0,10	0,29	<0,10	<0,10	<0,10	<0,10	<0,10	0,26	<0,10	<0,10	<0,10	<0,10	0,21	<0,10
B605	2	114.4177	03-10-2022	III	<0,10	<0,10	0,66	<0,10	8,1	0,88	<0,10	<0,10	0,17	<0,10	4,7	<0,10	<0,10	0,24	<0,10
B605	3	114.4178	03-10-2022	III	<0,10	<0,10	21	0,51	11	3,7	0,31	<0,10	7,3	1,9	12	<0,10	<0,10	3,5	0,18
B605	4	114.4178	03-10-2022	III	<0,10	<0,10	85	0,56	8,2	2,4	1,4	<0,10	16	8,8	11	<0,10	<0,10	4,9	0,8
B605	5	114.4179	03-10-2022	III	<0,10	<0,10	51	0,2	0,18	<0,10	<0,10	<0,10	1	0,24	<0,10	<0,10	<0,10	0,73	1,4
B605	6	114.4179	03-10-2022	III	<0,10	<0,10	<0,10	19	<0,10	<0,10	<0,10	<0,10	0,19	<0,10	<0,10	<0,10	<0,10	<0,10	0,5
B606	1	114.4180	27-09-2022	III	<0,10	<0,10	<0,10	<0,10	<0,10	<0,10	<0,10	<0,10	<0,10	<0,10	0,13	<0,10	<0,10	0,56	<0,10
B606	2	114.4180	27-09-2022	III	<0,10	<0,10	120	<0,10	7	0,12	<0,10	<0,10	0,81	0,58	0,68	<0,10	<0,10	1,1	1,2
B606	3	114.4181	27-09-2022	III	<0,10	<0,10	220	1,4	6,6	0,45	10	<0,10	16	13	12	<0,10	<0,10	16	3,7
B606	4 (15-17 m)	114.4181	12-10-2022	III	<1,0	<1,0	260	1,1	0,21	7,2	8,6	<1,0	20	6,5	<0,10	<1,0	<1,0	8,7	2,4
B606	4 (18-20 m)	114.4181	16-11-2022	III	<0,10	<0,10	130	0,54	1	8,5	2,6	<0,10	8,2	3,6	<0,10	<0,10	<0,10	3,4	1,1
B606	5	114.4180	27-09-2022	III	<0,10	<0,10	110	9,9	8,4	2,8	29	<0,10	53	23	41	<0,10	<0,10	23	5,7
Drænudløb Nord			12-10-2022	III	-	<0,10	1,6	0,23	<0,10	0,42	0,26	-	3,5	1,6	<0,10	-	-	1,5	1,7

- : ikke målt

#: ingen parametre er påvist

B606-4 (15-17 m): der ikke arbejdes videre med disse data, da filteret var fejlplaceret, og det efterfølgende er blevet flyttet.

Boring	Filter	DGU nr	Dato udtaget	Fase	Dipropenylamin	5-ethyl-5-sec-butylbarbitursyre (Butabarbital)	Ethylurethan	Phthalylsulfathiazol	Hexobarbital	Isobutylbarbitursyre	Isopropylbarbitursyre	Meprobamat	Methoxypropionitri	N-methyldiethylbarbitursyre (Metharbital)	Monoethylbarbitursyre	Pentobarbital	Amobarbital	SUM (BARBITAL)	4-chloranilin
-	-	-	-	-	µg/l	µg/l	µg/l	µg/l	µg/l	µg/l	µg/l	µg/l	µg/l	µg/l	µg/l	µg/l	µg/l	µg/l	
B604	1	114.4175	27-09-2022	III	<0,10	1,8	4,7	<0,10	<0,10	0,1	<0,10	28	<0,10	<0,10	0,48	0,56	0,58	15	<0,050
B604	2	114.4175	27-09-2022	III	<0,10	5,6	11	<0,10	<0,10	0,19	<0,10	54	<0,10	<0,10	0,65	0,84	1,1	52	<0,050
B604	3	114.4176	27-09-2022	III	<0,10	11	220	<0,10	<0,10	19	7,3	26	<0,10	<0,10	0,59	10	7,8	391	<0,050
B604	4	114.4176	27-09-2022	III	<0,10	4,6	4,3	<0,10	<0,10	2,4	0,27	20	<0,10	<0,10	0,47	2,8	2,1	63	<0,050
B604	5	114.4175	27-09-2022	III	<0,10	1,5	4,2	<0,10	<0,10	0,32	<0,10	19	<0,10	<0,10	0,38	0,27	0,42	12	<0,050
B605	1	114.4177	03-10-2022	III	<0,10	<0,10	3,7	<0,10	<0,10	<0,10	<0,10	1,3	<0,10	<0,10	<0,10	0,11	0,11	1	0,08
B605	2	114.4177	03-10-2022	III	0,52	<0,10	3,3	<0,10	<0,10	5,4	5,5	2,2	<0,10	<0,10	0,96	0,54	0,53	27	<0,050
B605	3	114.4178	03-10-2022	III	0,82	1,8	44	4,5	<0,10	6,8	2,9	23	<0,10	<0,10	17	9,8	9,3	87	<0,050
B605	4	114.4178	03-10-2022	III	0,71	8,4	150	1,6	<0,10	14	6,6	96	<0,10	9,4	3	42	38	174	<0,050
B605	5	114.4179	03-10-2022	III	0,29	0,22	14	<0,10	<0,10	<0,10	4,1	0,75	<0,10	<0,10	0,34	0,65	0,61	8	<0,050
B605	6	114.4179	03-10-2022	III	0,29	<0,10	0,35	<0,10	<0,10	<0,10	0,16	0,86	<0,10	<0,10	0,28	0,32	0,29	1	<0,050
B606	1	114.4180	27-09-2022	III	<0,10	<0,10	5	<0,10	<0,10	<0,10	<0,10	4	<0,10	<0,10	<0,10	0,4	0,41	2	<0,050
B606	2	114.4180	27-09-2022	III	<0,10	1,1	24	<0,10	<0,10	18	2,4	20	<0,10	<0,10	0,25	2,8	2,3	37	<0,050
B606	3	114.4181	27-09-2022	III	<0,10	14	28	<0,10	<0,10	3	4,7	33	<0,10	<0,10	1,7	37	31	165	<0,050
B606	4 (15-17 m)	114.4181	12-10-2022	III	<1,0	6	92	<1,0	<0,10	4,8	5,2	81	<0,10	<0,10	8,6	38	44	158	<0,50
B606	4 (18-20 m)	114.4181	16-11-2022	III	<0,10	3,3	71	<0,10	<0,10	8,5	6,5	42	<0,10	<0,10	7,3	12	12	77	<0,050
B606	5	114.4180	27-09-2022	III	<0,10	30	10	<0,10	<0,10	16	7,8	82	<0,10	<0,10	<0,10	140	120	494	<0,050
Drænudløb Nord			12-10-2022	III	0,22	1,6	<0,10	<0,10	<0,10	0,2	1	7,2	<0,10	<0,10	9,4	9,4	29	-	

- : ikke målt

#: ingen parametre er påvist

B606-4 (15-17 m): der ikke arbejdes videre med disse data, da filteret var fejlplaceret, og det efterfølgende er blevet flyttet.

Boring	Filter	DGU nr	Dato udtaget	Fase	2-chloranilin	Sulfanilamid	Sulfaguanidine	Sulfamethazin (Sulfadimdin)	Sulfamethiazol	Sulfadiazin	Sulfanilsyre	Sulfacetamid	Sulfadoxin	Sulfamerazin	Sulfamilylurinstof	Sulfapyridin	Sulfathiazol	SUM (SULFONAMID)
-	-	-	-	-	µg/l	µg/l	µg/l	µg/l	µg/l	µg/l	µg/l	µg/l	µg/l	µg/l	µg/l	µg/l	µg/l	
B604	1	114.4175	27-09-2022	III	<0,050	0,3	0,082	0,16	<0,050	0,05	<0,10	<0,10	<0,050	<0,050	<0,10	<0,10	<0,050	1
B604	2	114.4175	27-09-2022	III	<0,050	0,39	0,13	0,21	0,097	0,17	<0,10	<0,10	<0,050	0,054	<0,10	<0,10	<0,050	1
B604	3	114.4176	27-09-2022	III	<0,050	41	1,8	2,2	0,59	0,53	120	<0,10	<0,050	0,45	<0,10	<0,10	3,2	50
B604	4	114.4176	27-09-2022	III	<0,050	0,13	<0,050	0,24	0,08	0,1	0,58	<0,10	<0,050	0,073	<0,10	<0,10	0,15	1
B604	5	114.4175	27-09-2022	III	<0,050	0,21	0,099	0,19	0,07	0,11	<0,10	<0,10	<0,050	<0,050	<0,10	<0,10	<0,050	1
B605	1	114.4177	03-10-2022	III	<0,050	0,74	0,16	<0,10	<0,050	<0,050	0,68	<0,10	<0,050	<0,050	0,32	<0,10	<0,050	1
B605	2	114.4177	03-10-2022	III	<0,050	1,5	0,13	1,2	0,087	0,14	28	<0,10	<0,050	0,069	0,44	<0,10	0,055	4
B605	3	114.4178	03-10-2022	III	<0,050	40	20	77	8,7	0,72	56	1,7	<0,050	8,9	6,7	<0,10	1,6	165
B605	4	114.4178	03-10-2022	III	<0,050	160	46	170	34	0,52	340	2,5	<0,050	3,9	20	<0,10	7,1	444
B605	5	114.4179	03-10-2022	III	<0,050	4,2	0,67	1,9	0,19	<0,050	2,8	<0,10	<0,050	0,42	0,92	<0,10	<0,050	8
B605	6	114.4179	03-10-2022	III	<0,050	5,8	1,5	11	1,4	0,14	30	0,17	<0,050	0,67	1,9	<0,10	1,6	24
B606	1	114.4180	27-09-2022	III	<0,050	0,78	0,65	0,82	0,082	<0,050	<0,10	<0,10	<0,050	<0,050	<0,10	<0,10	<0,050	2
B606	2	114.4180	27-09-2022	III	<0,050	48	15	78	27	0,85	350	0,47	<0,050	2,7	2	<0,10	5	179
B606	3	114.4181	27-09-2022	III	<0,050	400	95	100	100	0,52	3700	<0,10	<0,050	0,58	24	<0,10	12	732
B606	4 (15-17 m)	114.4181	12-10-2022	III	<0,50	500	170	700	190	<0,50	3200	<1,0	<0,50	500	53	<1,0	15	2128
B606	4 (18-20 m)	114.4181	16-11-2022	III	<0,050	460	160	160	170	0,3	2100	<0,10	<0,050	1,1	35	<0,10	19	1005
B606	5	114.4180	27-09-2022	III	<0,050	150	51	31	2	1,8	2100	<0,10	<0,050	1,8	4,9	<0,10	0,21	243
Drænudløb Nord			12-10-2022	III	-	1200	4,5	17	5	<0,050	0,95	0,21	<0,050	<0,050	6	<0,10	0,37	1233

- : ikke målt

#: ingen parametre er påvist

B606-4 (15-17 m): der ikke arbejdes videre med disse data, da filteret var fejlplaceret, og det efterfølgende er blevet flyttet.

Boring	Filter	DGU nr	Dato udtaget	Fase	PFBA (Perfluorbutansyre)	PFBs (Perfluorbutansulfonsyre)	PFPeA (Perfluorpentansyre)	PFPeS (Perfluorpentansulfonsyre)	PFHxA (Perfluorhexansyre)	PFHxS (Perfluorhexansulfonsyre)	PFHpA (Perfluorheptansyre)	PFHpS (Perfluorheptansulfonsyre)	PFOA (Perfluoroktansyre)	PFOS (Perfluoroktansulfonsyre)	6:2 FTS (Fluorotelomersulfonat)	PFOSA (Perfluoroktansulfonamid)	PFNA (Perfluoronansyre)	PFNS (Perfluormonansyre)	PFDA (Perfluordekansyre)
-	-	-	-	-	ng/l	ng/l	ng/l	ng/l	ng/l	ng/l	ng/l	ng/l	ng/l	ng/l	ng/l	ng/l	ng/l	ng/l	
B604	1	114.4175	27-09-2022	III	<0,60	<0,30	<0,30	<0,30	<0,30	<0,30	<0,30	<0,30	<0,30	<0,20	<0,30	<0,30	<0,30	<0,30	
B604	2	114.4175	27-09-2022	III	<0,60	<0,30	<0,30	<0,30	<0,30	<0,30	<0,30	<0,30	<0,30	<0,20	<0,30	<0,30	<0,30	<0,30	
B604	3	114.4176	27-09-2022	III	<0,60	<0,30	<0,30	<0,30	<0,30	<0,30	<0,30	<0,30	0,44	<0,20	<0,30	<0,30	<0,30	<0,30	
B604	4	114.4176	27-09-2022	III	<0,60	<0,30	<0,30	<0,30	<0,30	<0,30	<0,30	<0,30	<0,30	<0,20	<0,30	<0,30	<0,30	<0,30	
B604	5	114.4175	27-09-2022	III	<0,60	<0,30	0,4	<0,30	<0,30	<0,30	0,3	<0,30	0,63	<0,20	<0,30	<0,30	<0,30	<0,30	

- : ikke målt

#: ingen parametre er påvist

<b>Boring</b>	<b>Filter</b>	<b>DGU nr</b>	<b>Dato udtaget</b>	<b>Fase</b>	PFAS											
					PFDS (Perflordekanesulfonsyre)	PFUnDA (Perfluorundekansulfonsyre)	PFUnDS (Perfluorundekansulfonsyre)	PFDoDA (Perfluordodekansulfonsyre)	PFDoDS (Perfluordodekansulfonsyre)	PFTrDA (Perfluortridekansulfonsyre)	PFTrDS (Perfluortridekansulfonsyre)	Sum af PFOA,PFOS,PFNA og PFHxS	Sum af 22 PFAS	Sum af 22 PFAS	Sum af 22 PFAS	
-	-	-	-	-	ng/l	ng/l	ng/l	ng/l	ng/l	ng/l	ng/l	μg/l	ng/l	μg/l	ng/l	
B604	1	114.4175	27-09-2022	III	<0,30	<0,30	<1,0	<0,30	<1,0	<1,0	<1,0	#	#	#	#	
B604	2	114.4175	27-09-2022	III	<0,30	<0,30	<1,0	<0,30	<1,0	<1,0	<1,0	#	#	#	#	
B604	3	114.4176	27-09-2022	III	<0,30	<0,30	<1,0	<0,30	<1,0	<1,0	<1,0	0,00044	0,44	0,00044	0,44	
B604	4	114.4176	27-09-2022	III	<0,30	<0,30	<1,0	<0,30	<1,0	<1,0	<1,0	#	#	#	#	
B604	5	114.4175	27-09-2022	III	<0,30	<0,30	<1,0	<0,30	<1,0	<1,0	<1,0	0,00063	0,63	0,0013	1,3	

- : ikke målt

#: ingen parametre er påvist

**BILAG 4**  
**VURDERING REDOXFORHOLD**

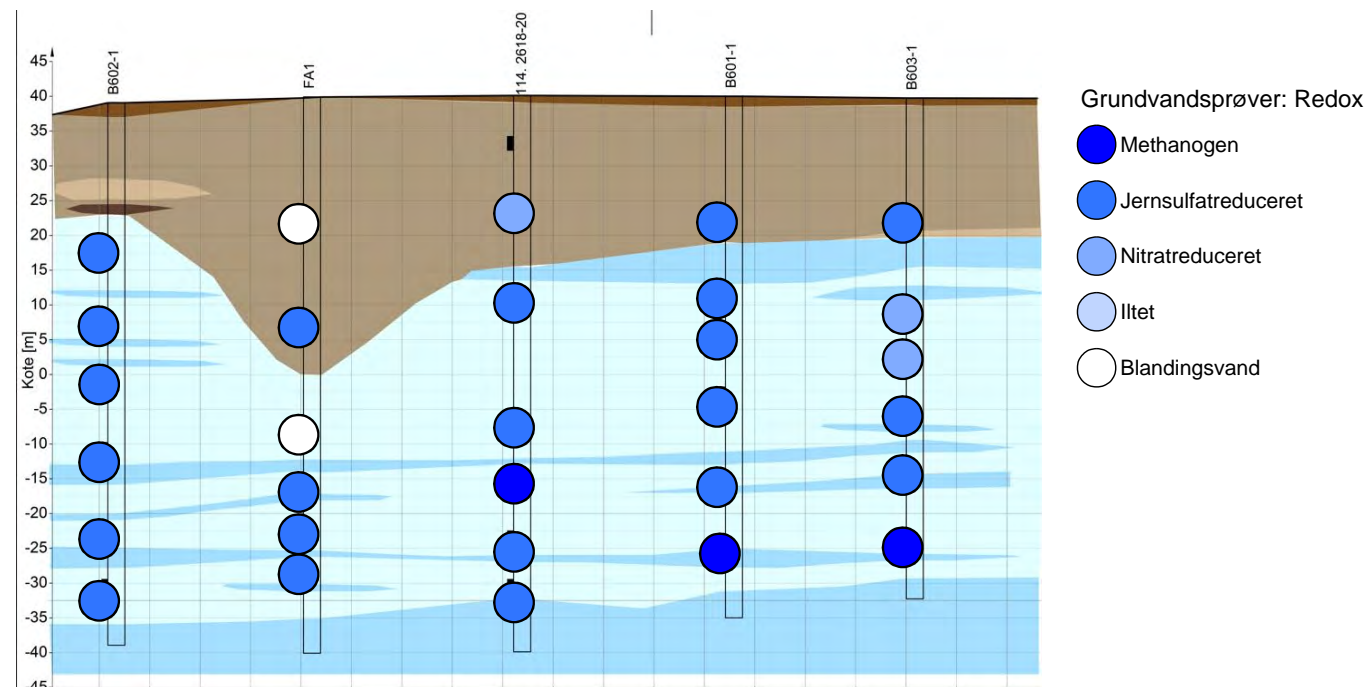
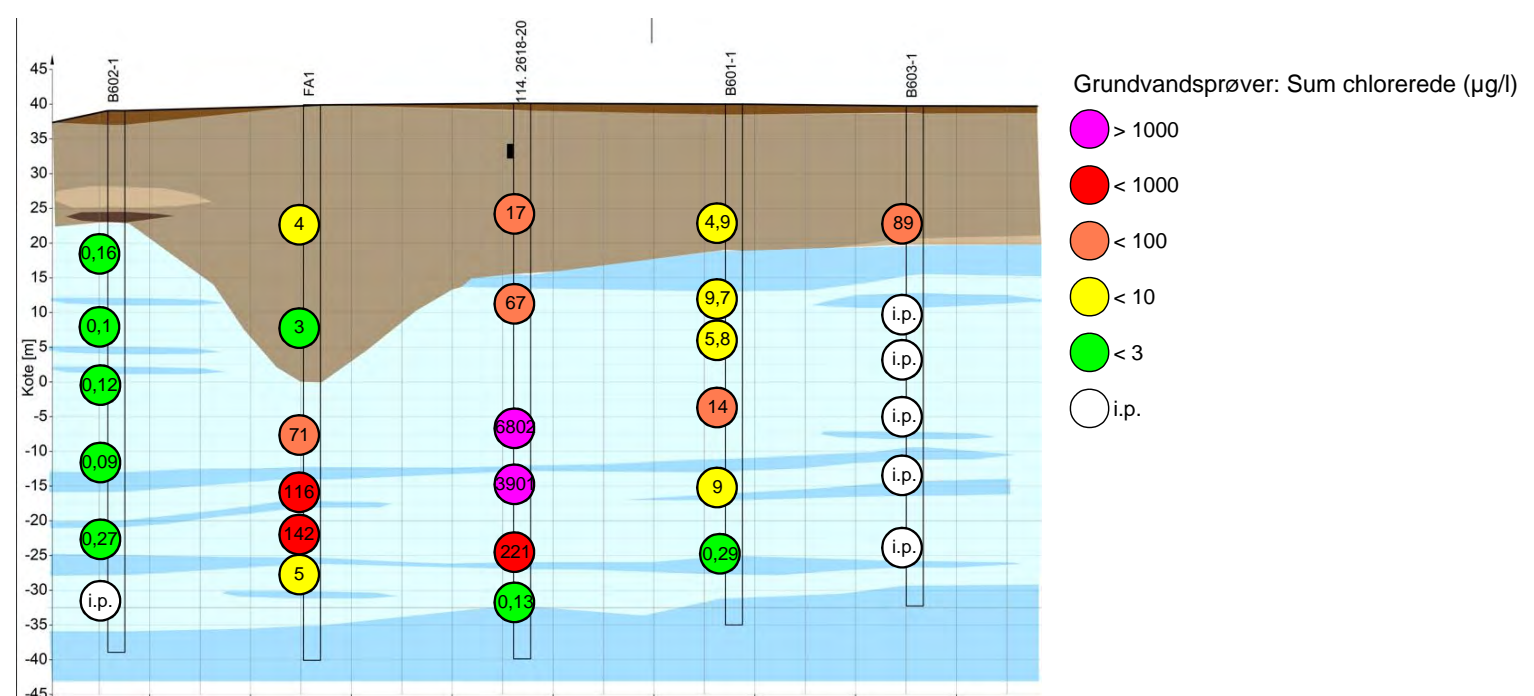
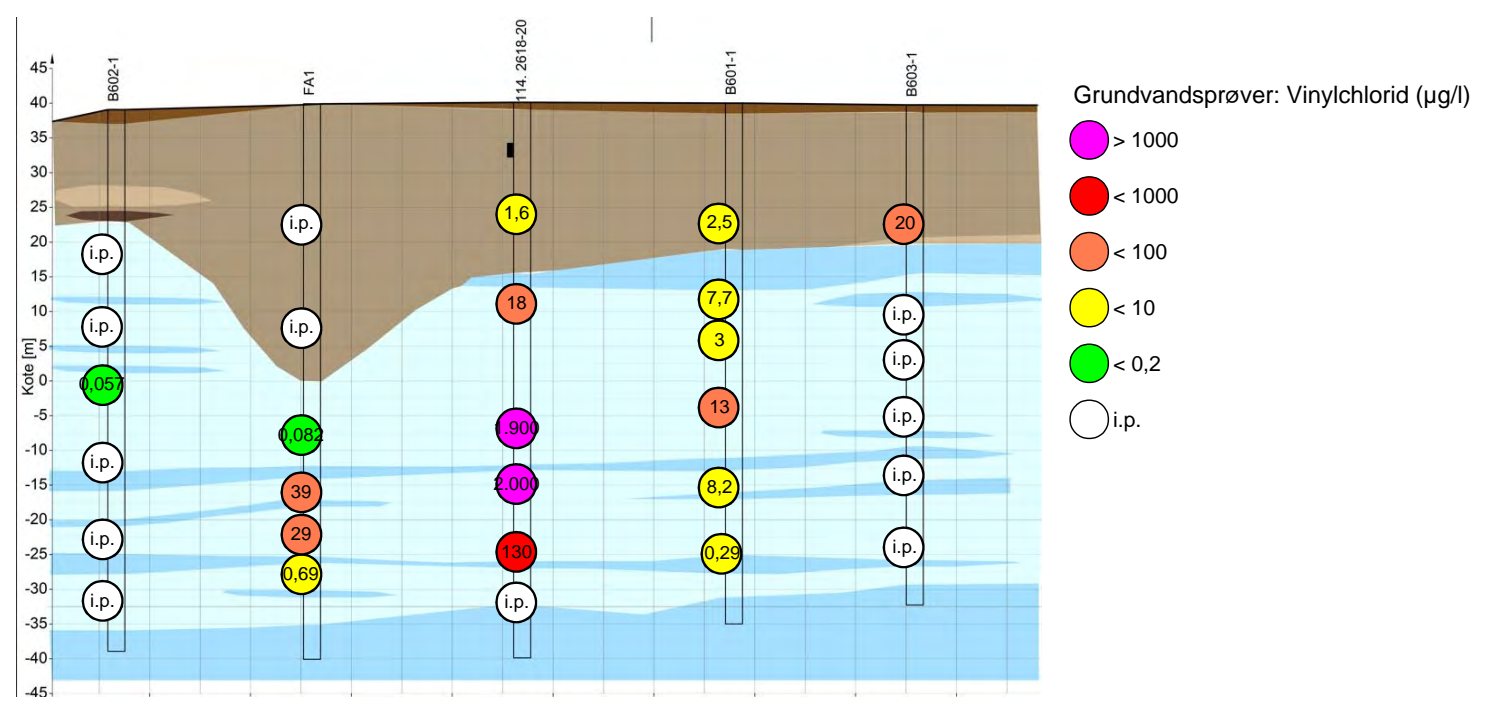
Bilag 4: Bestemmelse af redoxforhold på baggrund af /14/.

Boring	O2	NO3-	Mn2+	Fe2+	SO42-	Vandtype	Kemisk proces	Kemisk proces - navn
	mg/l	mg/l	mg/l	mg/l	mg/l			
B601_1	0,03	0,19	0,21	3	7,1	Anoxic	CH4gen	Methanogen
B601_2	0,02	0,46	0,27	3,4	48	Anoxic	Fe(III)/SO4	Jernsulfat reducerende
B601_3	0,09	0,47	0,86	13	69	Anoxic	Fe(III)/SO4	Jernsulfat reducerende
B601_4	0,32	0,22	1,8	44	58	Anoxic	Fe(III)/SO4	Jernsulfat reducerende
B601_5	0,29	0,16	1,5	19	90	Anoxic	Fe(III)/SO4	Jernsulfat reducerende
B601_6	0,034	0,18	2	28	65	Anoxic	Fe(III)/SO4	Jernsulfat reducerende
B602_1	0,085	0,71	0,062	3,2	23	Anoxic	Fe(III)/SO4	Jernsulfat reducerende
B602_2	0,051	0,5	0,18	4,8	20	Anoxic	Fe(III)/SO4	Jernsulfat reducerende
B602_3	0,046	0,95	0,23	2,7	39	Anoxic	Fe(III)/SO4	Jernsulfat reducerende
B602_4	0,9	0,14	0,0015	5,5	27	Anoxic	Fe(III)/SO4	Jernsulfat reducerende
B602_5	0,05	0,17	0,46	9,5	34	Anoxic	Fe(III)/SO4	Jernsulfat reducerende
B602_6	0,06	0,14	0,16	5,5	27	Anoxic	Fe(III)/SO4	Jernsulfat reducerende
B603_1	0,03	0,19	0,0056	0,13	15	Anoxic	Methanogenic	Methanogen
B603_2	0,04	0,69	0,066	0,66	60	Anoxic	Fe(III)/SO4	Jernsulfat reducerende
B603_3	0,05	0,45	0,37	3	76	Anoxic	Fe(III)/SO4	Jernsulfat reducerende
B603_4	1,48	36	0,37	0,096	63	Oxic	Oxic	Oxideret
B603_5	3,95	27	0,23	0,067	50	Oxic	Oxic	Oxideret
B603_6	0,03	0,2	2	19	41	Anoxic	Fe(III)/SO4	Jernsulfat reducerende
B604_1	1,07	0,68	0,19	0	65	Oxic	Oxic	Oxideret
B604_2	3,16	11	0,22	0,013	88	Oxic	Oxic	Oxideret
B604_3	0,26	0,42	0,24	0,046	110	Oxic	Oxic	Oxideret
B604_4	0,15	0,83	0,035	0,13	140	Oxic	Oxic	Oxideret
B604_5	1,28	1,7	0,19	0,017	110	Oxic	Oxic	Oxideret
B605_1	2,16	0	0,15	0,11	13	Oxic	Oxic	Oxideret
B605_2	3,26	0	0,14	0,2	29	Oxic	Oxic	Oxideret
B605_3	2,33	0,29	0,57	0,27	75	Oxic	Oxic	Oxideret
B605_4	3,79	0	0,091	0,075	16	Oxic	Oxic	Oxideret
B605_5	4,62	1,1	0,16	0,19	130	Oxic	Oxic	Oxideret
B605_6	4,8	0,8	0,33	0,074	160	Oxic	Oxic	Oxideret
B606_1	0,75	0,45	0,3	0,13	33	Oxic	Oxic	Oxideret
B606_2	0,75	0,96	0,39	0,26	93	Oxic	Oxic	Oxideret
B606_3	0,07	0,51	0,53	12	57	Anoxic	Fe(III)/SO4	Jernsulfat reducerende
B606_4	0,03	0,1	0,079	0,4	23	Anoxic	Fe(III)/SO4	Jernsulfat reducerende
B606_5	0,07	0,42	0,67	0,41	130	Mixed(anoxic)	Fe(III)/SO4	Jernsulfat reducerende
B636_1	0,05	0,31	0,41	18	11	Anoxic	CH4gen	Methanogen
B636_2	0,04	6,8	0,39	6,9	20	Mixed(anoxic)	NO3-Fe(III)/SO4	Svagt reduceret til jernsulfat reducerende/blandingsvand
B636_3	0,14	6,6	1	0,078	30	Mixed(anoxic)	NO3	Nitrat reducerende
B635_1	0,05	0	0,28	0,33	3,1	Anoxic	CH4gen	Methanogen
B635_2	0,04	16	1,1	1	29	Mixed(anoxic)	NO3-Fe(III)/SO4	Svagt reduceret til jernsulfat reducerende/blandingsvand
B635_3	0,04	16	1,5	0,037	24	Mixed(anoxic)	NO3	Nitrat reduceret
B631_1	0,1	0,61	0,73	19	19	Anoxic	CH4gen	Methanogen
B631_2	0,04	0	0,52	2,3	33	Anoxic	Fe(III)/SO4	Jernsulfat reducerende
B631_3	0,04	3,6	4,2	4,3	36	Mixed(anoxic)	NO3-Fe(III)/SO4	Svagt reduceret til jernsulfat reducerende/blandingsvand
B615_1	0,04	0	0,26	13	3,6	Anoxic	CH4gen	Methanogen
B615_2	0,03	0	5	35	38	Anoxic	Fe(III)/SO4	Jernsulfat reducerende
B615_3	0,21	18	0,22	0,39	27	Mixed(anoxic)	NO3-Fe(III)/SO4	Svagt reduceret til jernsulfat reducerende/blandingsvand
B632_1	0,04	0	0,22	3,1	33	Anoxic	Fe(III)/SO4	Jernsulfat reducerende
B632_2	0,02	0	15	42	51	Anoxic	Fe(III)/SO4	Jernsulfat reducerende
B632_3	0,03	0	9,3	24	26	Anoxic	Fe(III)/SO4	Jernsulfat reducerende
B616_1	0,03	0	0,047	0,43	24	Anoxic	Fe(III)/SO4	Jernsulfat reducerende
B616_2	0,03	0,14	0,05	0,32	25	Anoxic	Fe(III)/SO4	Jernsulfat reducerende
B616_3	0,02	0,1	2,2	25	46	Anoxic	Fe(III)/SO4	Jernsulfat reducerende
B616_4	3,83	15	0,072	0,065	14	Oxic	Oxic	Oxideret
B617-1	0,04	0	1,9	52	16	Anoxic	CH4gen	Methanogen
B617-2	0,03	0	5,1	3,9	34	Anoxic	Fe(III)/SO4	Jernsulfat reducerende
B617-3	0,02	0	0,26	6,6	46	Anoxic	Fe(III)/SO4	Jernsulfat reducerende
B617-4	0,78	19	1,7	1,3	22	Mixed(oxic-anoxic)	O2-Fe(III)/SO4	Blandingsvand
B618-1	0,02	0,12	1,3	42	7,5	Anoxic	CH4gen	Methanogen
B618-2	0,02	0	0,093	5	35	Anoxic	Fe(III)/SO4	Jernsulfat reducerende
B618-3	0,02	5,2	3,7	0,57	46	Mixed(anoxic)	NO3-Fe(III)/SO4	Svagt reduceret til jernsulfat reducerende/blandingsvand
B619-1	0,03	0	0,52	38	14	Anoxic	CH4gen	Methanogen
B619-2	0,03	0	0,14	2,7	36	Anoxic	Fe(III)/SO4	Jernsulfat reducerende
B619-3	0,03	0,58	2,2	2,7	47	Anoxic	Fe(III)/SO4	Jernsulfat reducerende
B620-1	0,03	0,2	0,79	46	24	Anoxic	Fe(III)/SO4	Jernsulfat reducerende
B620-2	0,03	1,2	0,14	3,6	20	Mixed(anoxic)	NO3-Fe(III)/SO4	Svagt reduceret til jernsulfat reducerende/blandingsvand
B620-3	0,02	0	1,5	18	36	Anoxic	Fe(III)/SO4	Jernsulfat reducerende
B621-1	0,03	0	0,33	23	1,7	Anoxic	CH4gen	Methanogen
B621-2	0,09	0,41	0,2	8,8	17	Anoxic	CH4gen	Methanogen
B621-3	0,65	9,8	0,67	6,5	34	Mixed(anoxic)	NO3-Fe(III)/SO4	Svagt reduceret til jernsulfat reducerende/blandingsvand
B622-1	0,03	0,63	0,56	23	8,3	Anoxic	CH4gen	Methanogen
B622-2	0,03	0	0,35	14	2,6	Anoxic	CH4gen	Methanogen
B622-3	0,03	0,25	0,59	59	0	Anoxic	CH4gen	Methanogen
B622-4	0,03	0,2	0,065	2,5	57	Anoxic	Fe(III)/SO4	Jernsulfat reducerende
B622-5	0,03	0,1	1,5	32	62	Anoxic	Fe(III)/SO4	Jernsulfat reducerende
B623-1	0,04	0,1	0,53	66	2,3	Anoxic	CH4gen	Methanogen
B623-2	0,03	0,21	0,47	19	24	Anoxic	Fe(III)/SO4	Jernsulfat reducerende
B623-3	0,04	0,54	0,79	7,9	53	Anoxic	Fe(III)/SO4	Jernsulfat reducerende
B623-4	3,54	18	0,3	2	17	Oxic	NO3-Fe(III)/SO4	Svagt reduceret til jernsulfat reducerende/blandingsvand
B624-1	0,03	0,19	0,11	11	4,4	Anoxic	CH4gen	Methanogen
B624-2	0,04	0,18	0,22	15	15	Anoxic	CH4gen	Methanogen
B624-3	0,04	0	0,16	9,6	35	Anoxic	Fe(III)/SO4	Jernsulfat reducerende
B624-4	0,02	0	0,51	24	62	Anoxic	Fe(III)/SO4	Jernsulfat reducerende
B625-1	0,03	0,18	0,32	30	2,7	Anoxic	CH4gen	Methanogen
B625-2	0,03	0,22	0,4	13	20	Anoxic	CH4gen	Methanogen

Bilag 4: Bestemmelse af redoxforhold på baggrund af /14/.

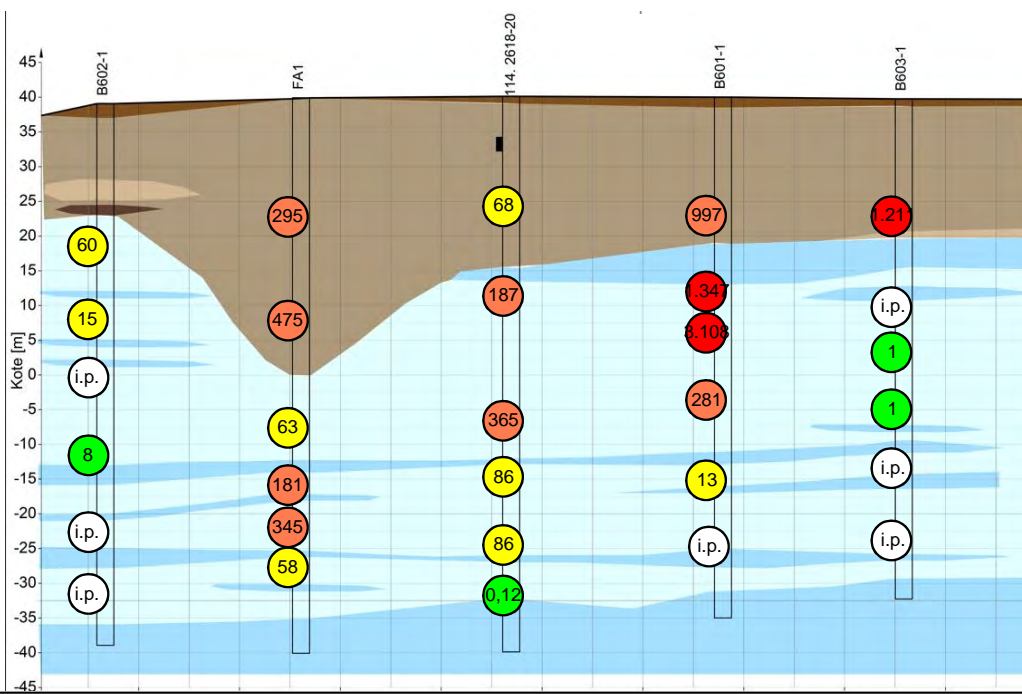
Boring	O2	NO3-	Mn2+	Fe2+	SO42-	Vandtype	Kemisk proces	Kemisk proces - navn
	mg/l	mg/l	mg/l	mg/l	mg/l			
B625-3	0,03	0,59	0,091	16	100	Anoxic	Fe(III)/SO4	Jernsulfat reducerende
B625-4	0,03	0,3	1	26	68	Anoxic	Fe(III)/SO4	Jernsulfat reducerende
B613-1	0,06	0,24	0,17	17	2,9	Anoxic	CH4gen	Methanogen
B613-2	0,03	0,26	0,46	14	14	Anoxic	CH4gen	Methanogen
B613-3	0,03	0	0,075	2,7	130	Anoxic	Fe(III)/SO4	Jernsulfat reducerende
B613-4	0,02	0	0,92	13	85	Anoxic	Fe(III)/SO4	Jernsulfat reducerende
B612-1	0,03	0,03	0,25	32	1,9	Anoxic	CH4gen	Methanogen
B612-2	0,03	0,03	0,34	4,4	50	Anoxic	Fe(III)/SO4	Jernsulfat reducerende
B612-3	0,02	0,02	0,63	5,5	160	Anoxic	Fe(III)/SO4	Jernsulfat reducerende
B612-4	0,03	0,03	0,75	3,5	33	Anoxic	Fe(III)/SO4	Jernsulfat reducerende
B611-1	0,03	0	0,32	19	4,5	Anoxic	CH4gen	Methanogen
B611-2	0,03	0,33	0,5	36	130	Anoxic	Fe(III)/SO4	Jernsulfat reducerende
B611-3	0,03	0,27	0,31	34	0	Anoxic	CH4gen	Methanogen
B611-4	0,02	0	0,58	24	73	Anoxic	Fe(III)/SO4	Jernsulfat reducerende
B611-5	0,05	0,15	0,17	14	50	Anoxic	Fe(III)/SO4	Jernsulfat reducerende
B611-6	0,04	1,7	2,1	2,1	36	Mixed(anoxic)	NO3-Fe(III)/SO4	Svagt reduceret til jernsulfat reducerende/blandingsvand
B614-1	0,03	0	0,26	21	4,1	Anoxic	CH4gen	Methanogen
B614-2	0,03	0	0,31	22	2,1	Anoxic	CH4gen	Methanogen
B614-3	0,03	0	0,13	18	30	Anoxic	Fe(III)/SO4	Jernsulfat reducerende
B614-4	0,03	0,13	1,2	46	140	Anoxic	Fe(III)/SO4	Jernsulfat reducerende
B633-1	0,03	0,48	0,18	21	5,5	Anoxic	CH4gen	Methanogen
B633-2	0,03	0,12	1,2	57	160	Anoxic	Fe(III)/SO4	Jernsulfat reducerende
B633-3	0,03	0	1,9	61	200	Anoxic	Fe(III)/SO4	Jernsulfat reducerende
B633-4	1,09	9,8	0,49	2,1	30	Mixed(oxic-anoxic)	NO3-Fe(III)/SO4	Svagt reduceret til jernsulfat reducerende/blandingsvand
B626-1	0,02	2,4	0,25	22	13	Anoxic	CH4gen	Methanogen
B626-2	0,02	0,86	0,24	6,4	55	Anoxic	Fe(III)/SO4	Jernsulfat reducerende
B626-3	0,02	0,68	0,13	7,1	31	Anoxic	Fe(III)/SO4	Jernsulfat reducerende
B626-4	1,01	15	0,21	0,055	22	Oxic	Oxic	Oxideret
B627-1	0,03	0,2	0,18	16	3,9	Anoxic	CH4gen	Methanogen
B627-2		0,11	1,9	140	76	Anoxic	Fe(III)/SO4	Jernsulfat reducerende
B627-3		0	1,2	88	110	Anoxic	Fe(III)/SO4	Jernsulfat reducerende
B627-4	0,08	0,77	0,59	20	120	Anoxic	Fe(III)/SO4	Jernsulfat reducerende
B628-1	0,03	0,24	0,15	8,4	15	Anoxic	CH4gen	Methanogen
B628-2	0,02	0,18	0,1	7,5	68	Anoxic	Fe(III)/SO4	Jernsulfat reducerende
B628-3	0,75	1,5	0,25	19	32	Mixed(oxic-anoxic)	NO3-Fe(III)/SO4	Svagt reduceret til jernsulfat reducerende/blandingsvand
B629-1	0,03	0,28	0,24	6,6	3,6	Anoxic	CH4gen	Methanogen
B629-2	0,03	0,39	0,085	2,2	30	Anoxic	Fe(III)/SO4	Jernsulfat reducerende
B629-3	0,22	1,7	0,2	4	38	Mixed(anoxic)	NO3-Fe(III)/SO4	Svagt reduceret til jernsulfat reducerende/blandingsvand
B634-1	0,03	0,2	0,2	10	0	Anoxic	CH4gen	Methanogen
B634-2	0,03	0,99	0,09	3,9	47	Anoxic	Fe(III)/SO4	Jernsulfat reducerende
B634-3	0,03	0,31	0,14	4,6	29	Anoxic	Fe(III)/SO4	Jernsulfat reducerende
B630-1	0,02	0,35	0,094	3,1	5,6	Anoxic	CH4gen	Methanogen
B630-2	0,03	0,75	0,088	3,1	18	Anoxic	CH4gen	Methanogen
B630-3	0,03	0	0,083	2,9	23	Anoxic	Fe(III)/SO4	Jernsulfat reducerende
114.1447 (69-70)	0,01	0,3	0,14	3,5	130	Anoxic	Fe(III)/SO4	Jernsulfat reducerende
114.1447 (54-54,5)	0,01	0,3	0,19	3	32	Anoxic	Fe(III)/SO4	Jernsulfat reducerende
114.1447 (42-43)	0,01	0,3	1,1	40	47	Anoxic	Fe(III)/SO4	Jernsulfat reducerende
114.1447 (15-18,5)	0,03	6,1	0,73	0,025	63	Mixed(anoxic)	NO3-Mn(IV)	Svagt reduceret til jernsulfat reducerende/blandingsvand
114.2618 (70-72)	0,03	0,49	0,062	0,23	34	Anoxic	Fe(III)/SO4	Jernsulfat reducerende
114.2618 (63-65)	0,02	0,3	0,31	3,1	84	Anoxic	Fe(III)/SO4	Jernsulfat reducerende
114.2619 (54-56)	0,02	0,3	0,21	0,53	9,3	Anoxic	CH4gen	Methanogen
114.2619 (46-48)	0,03	0,3	0,55	6,3	21	Anoxic	Fe(III)/SO4	Jernsulfat reducerende
114.2620 (29-31)	0,03	0,3	1,6	5,4	61	Anoxic	Fe(III)/SO4	Jernsulfat reducerende
114.2620 (16-18)	0,06	0,38	1,9	0,058	93	Oxic	Oxic	Oxideret
114.2127 (72,8-74,8)	0,6	0	0,13	0,52	3	Anoxic	CH4gen	Methanogen
114.2127 (61-63)	0	0,4	0,22	5,6	2	Anoxic	CH4gen	Methanogen
114.2127 (48-50)	0,2	0	0,32	5,3	15	Anoxic	CH4gen	Methanogen
114.2127 (10-12)	0	0,24	3,2	22	32	Anoxic	Fe(III)/SO4	Jernsulfat reducerende
FA1 (66-68)	0,13	0,3	0,25	3,7	120	Anoxic	Fe(III)/SO4	Jernsulfat reducerende
FA1 (60-62)	0,21	0,3	1,8	37	170	Anoxic	Fe(III)/SO4	Jernsulfat reducerende
FA1 (54-56)	0,58	0,3	0,73	9,7	72	Anoxic	Fe(III)/SO4	Jernsulfat reducerende
FA1 (46-48)	0,11	1,1	1,3	12	47	Mixed(anoxic)	NO3-Fe(III)/SO4	Svagt reduceret til jernsulfat reducerende/blandingsvand
FA1 (31,5-33,5)	0,73	0,3	0,76	1,2	33	Anoxic	Fe(III)/SO4	Jernsulfat reducerende
FA1 (17-19)	-	2,8	0,65	4,7	38	Mixed(oxic-anoxic)	O2-Fe(III)/SO4	Svagt reduceret til jernsulfat reducerende/blandingsvand
FG1 (67-69)	0,04	< 0,3	0,42	6,5	3,7	Anoxic	CH4gen	Methanogen
FG1 (58-60)	0	< 0,3	0,18	2,9	6,9	Anoxic	CH4gen	Methanogen
FG1 (48-50)	0,64	< 0,3	1,1	8,6	42	Anoxic	Fe(III)/SO4	Jernsulfat reducerende
FG1 (36-38)	0	< 0,3	3,4	2	70	Anoxic	Fe(III)/SO4	Jernsulfat reducerende
FG1 (25-27)	0,32	< 0,3	0,88	21	30	Anoxic	Fe(III)/SO4	Jernsulfat reducerende
FG1 (16-18)	0	< 0,3	1	1,8	43	Anoxic	Fe(III)/SO4	Jernsulfat reducerende

**BILAG 5**  
**SNIT MED KEMISKE PARAMETRE OG REDOXFORHOLD**



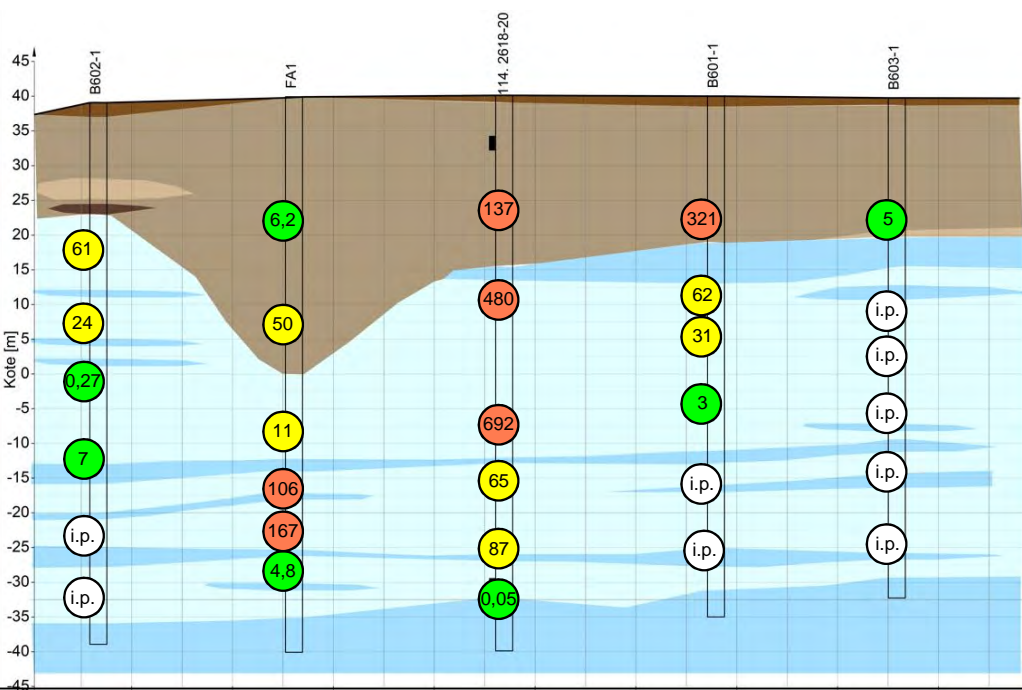
#### Signaturforklaring

- Boring
- Filter
- Postglacial ferskvandssand
- Tørv
- Postglaciæle ferskvandslag
- Smeltevandsler
- Smeltevandssand og grus
- Oli-, mio-, plio- glimmersand
- Oli-, mio-, plio- glimmerler
- Oli-, mio-, plio- brunkul



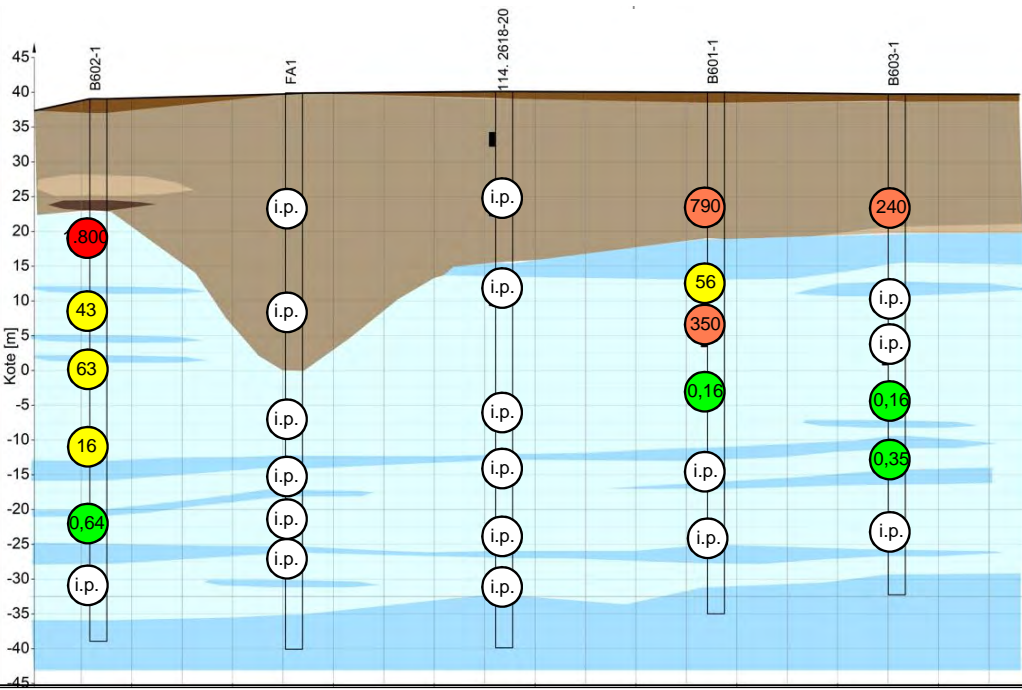
Grundvandsprøver: sum barbiturater ( $\mu\text{g/l}$ )

- > 1000
- < 1000
- < 100
- < 10
- i.p.



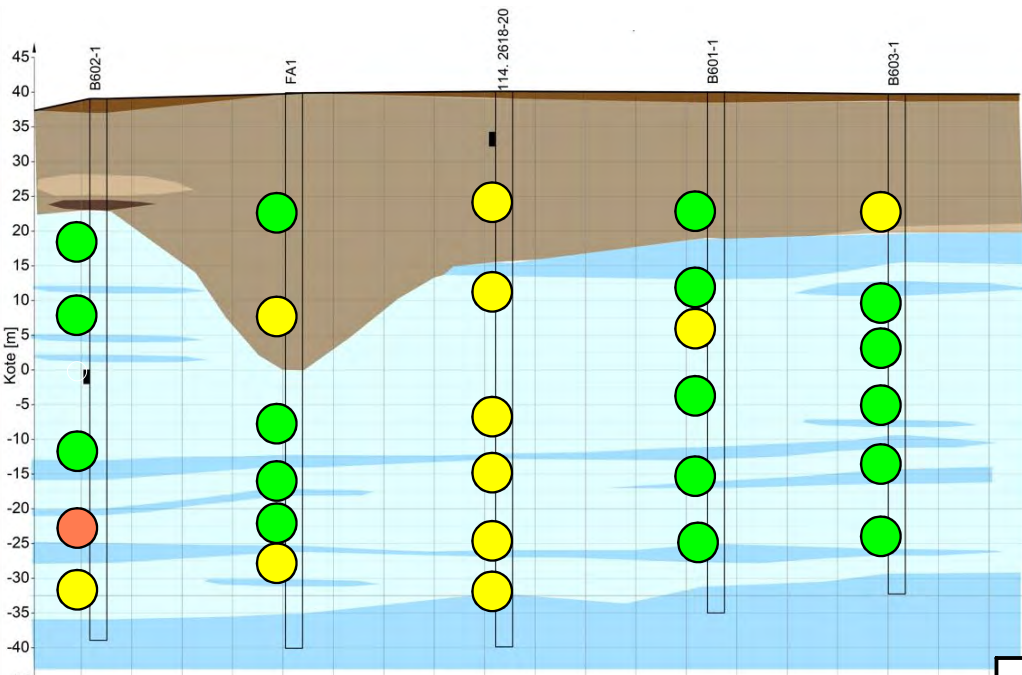
Grundvandsprøver: sum sulfonamider ( $\mu\text{g/l}$ )

- > 1000
- < 1000
- < 100
- < 10
- i.p.



Grundvandsprøver: sulfanilsyre ( $\mu\text{g/l}$ )

- > 1000
- < 1000
- < 100
- < 10
- i.p.

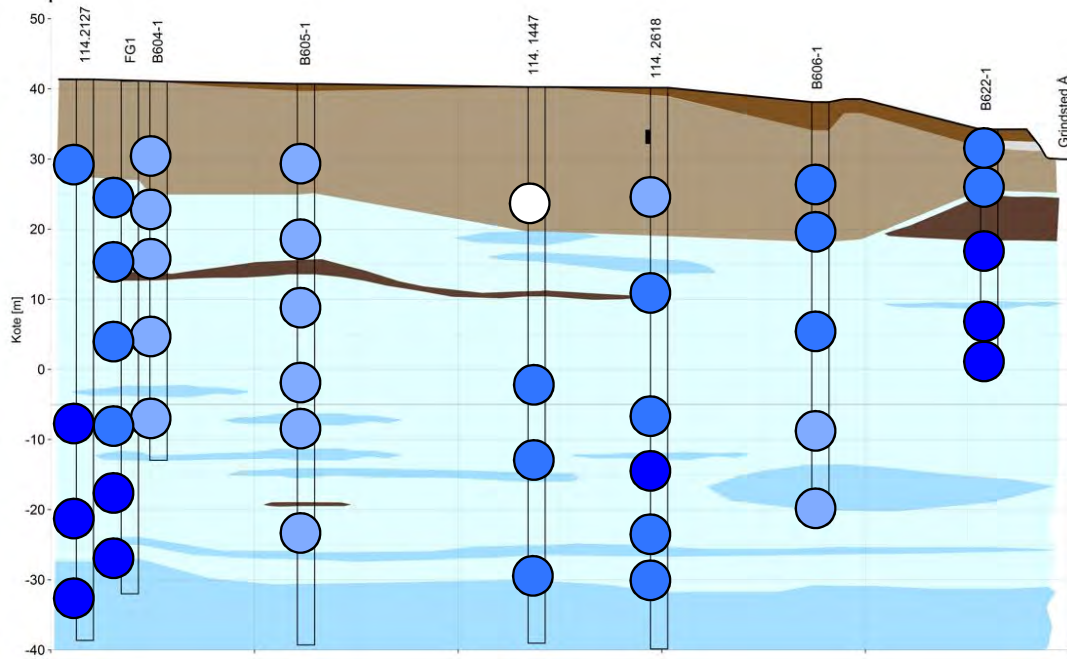
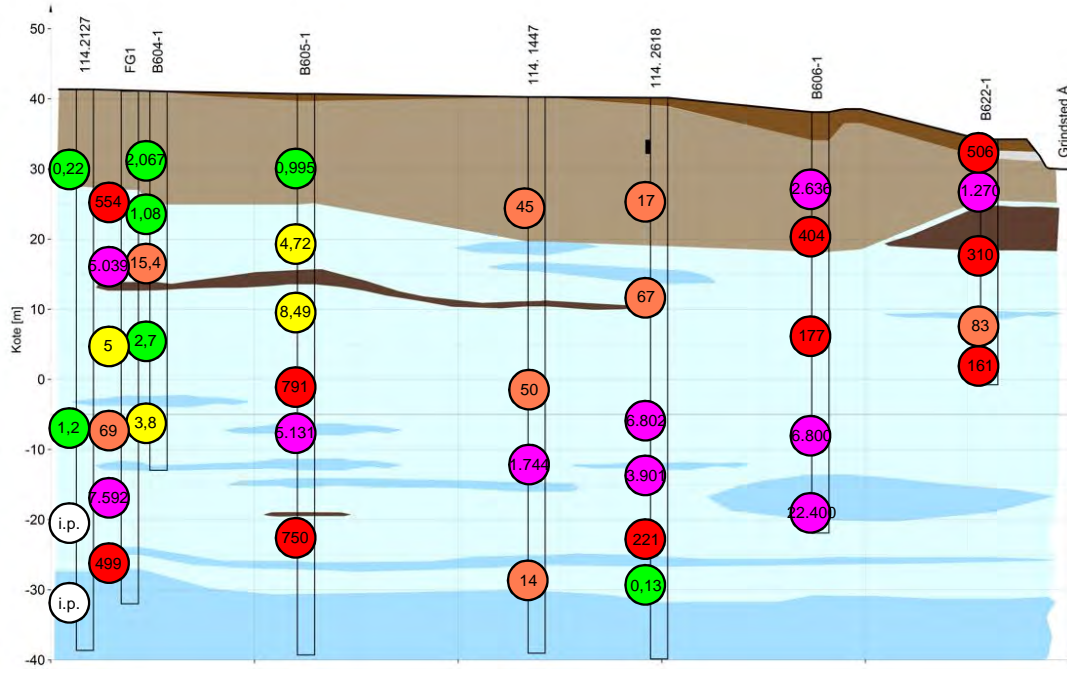
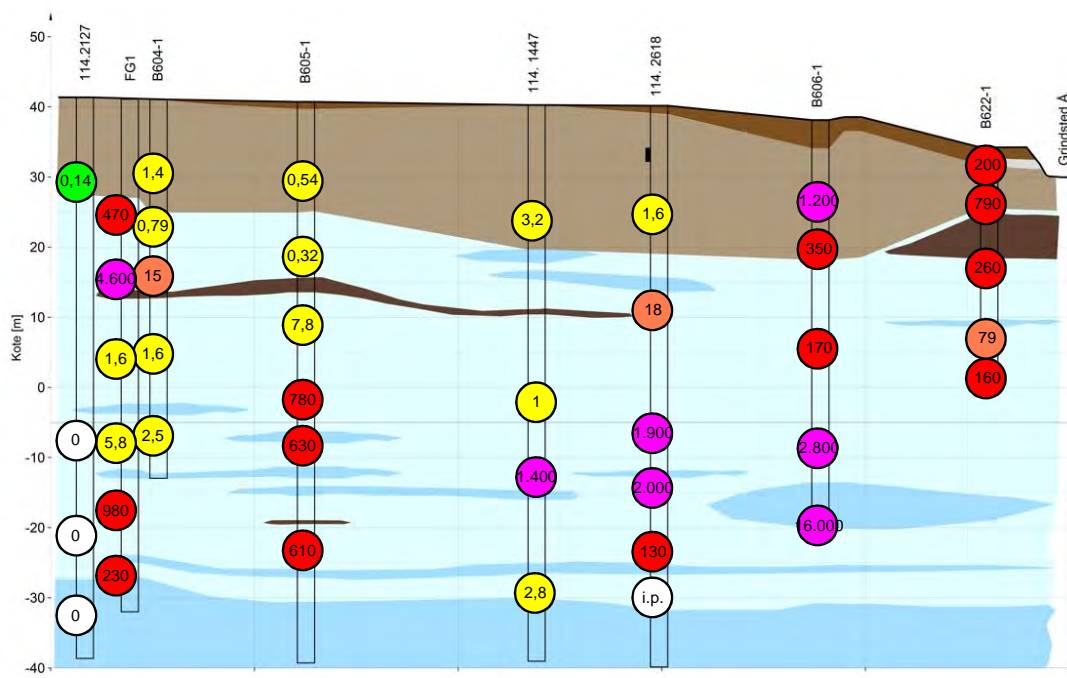


Hydraulisk ledningsevne (K-værdi)

- < 1e-06
- < 1e-05
- < 1e-04
- > 1e-04

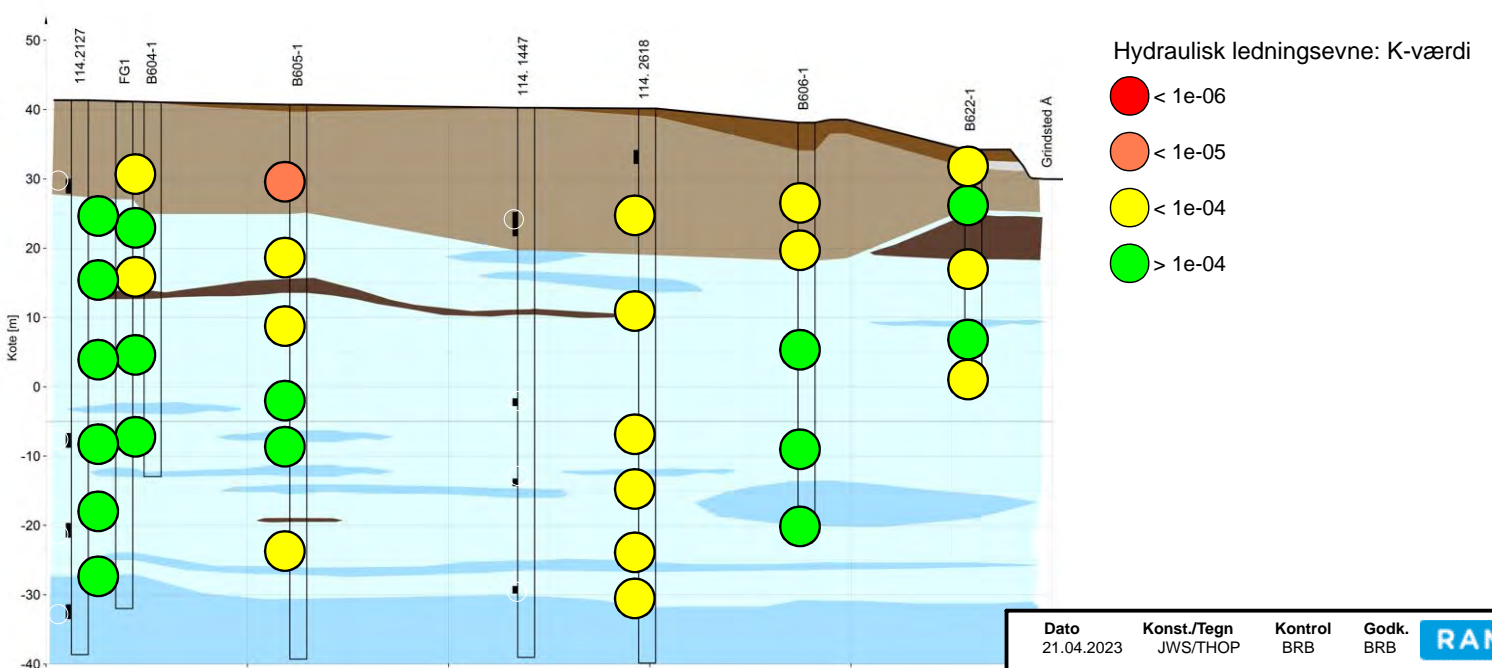
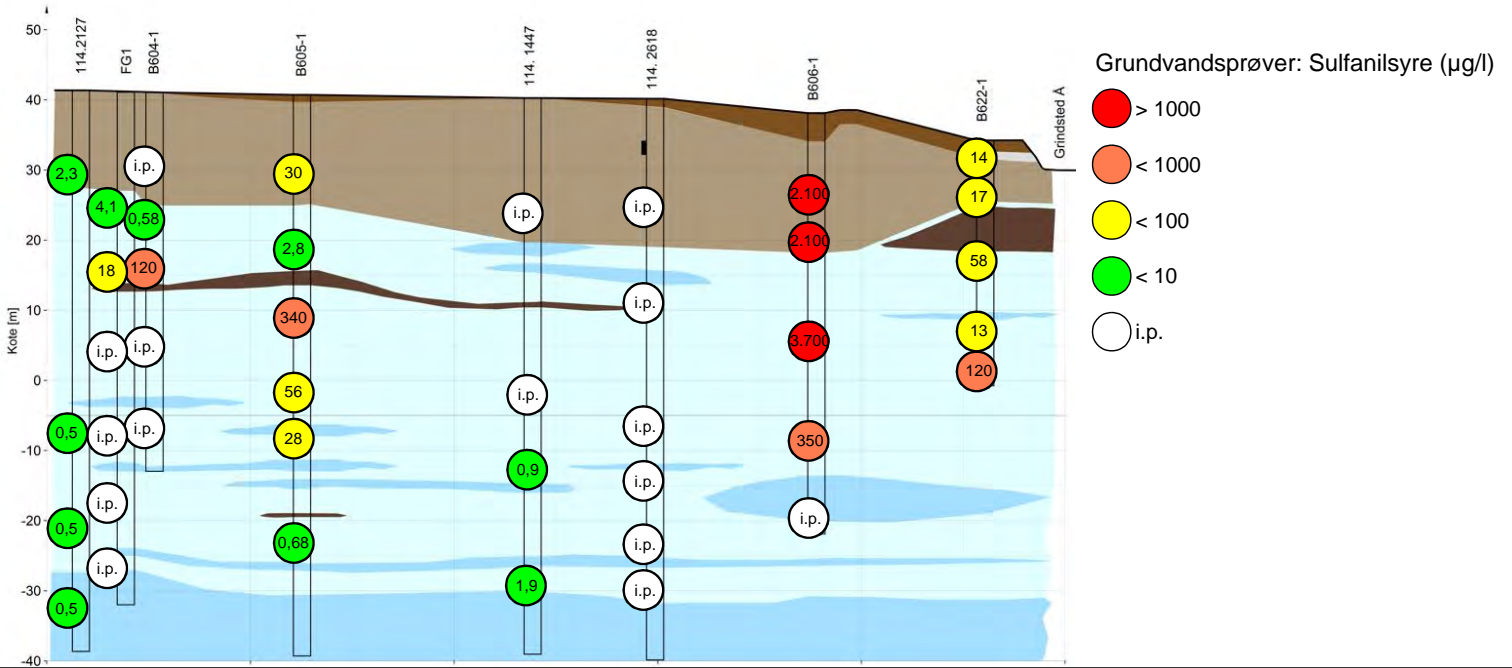
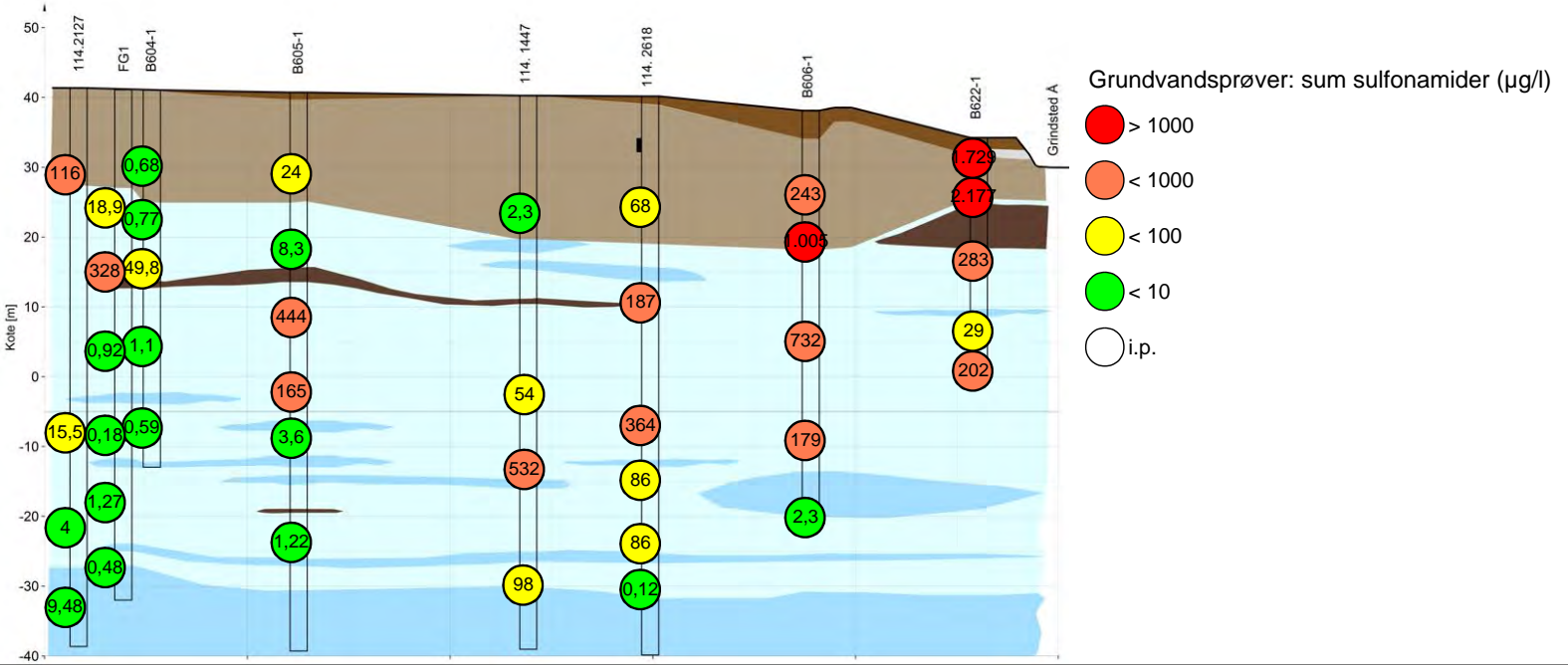
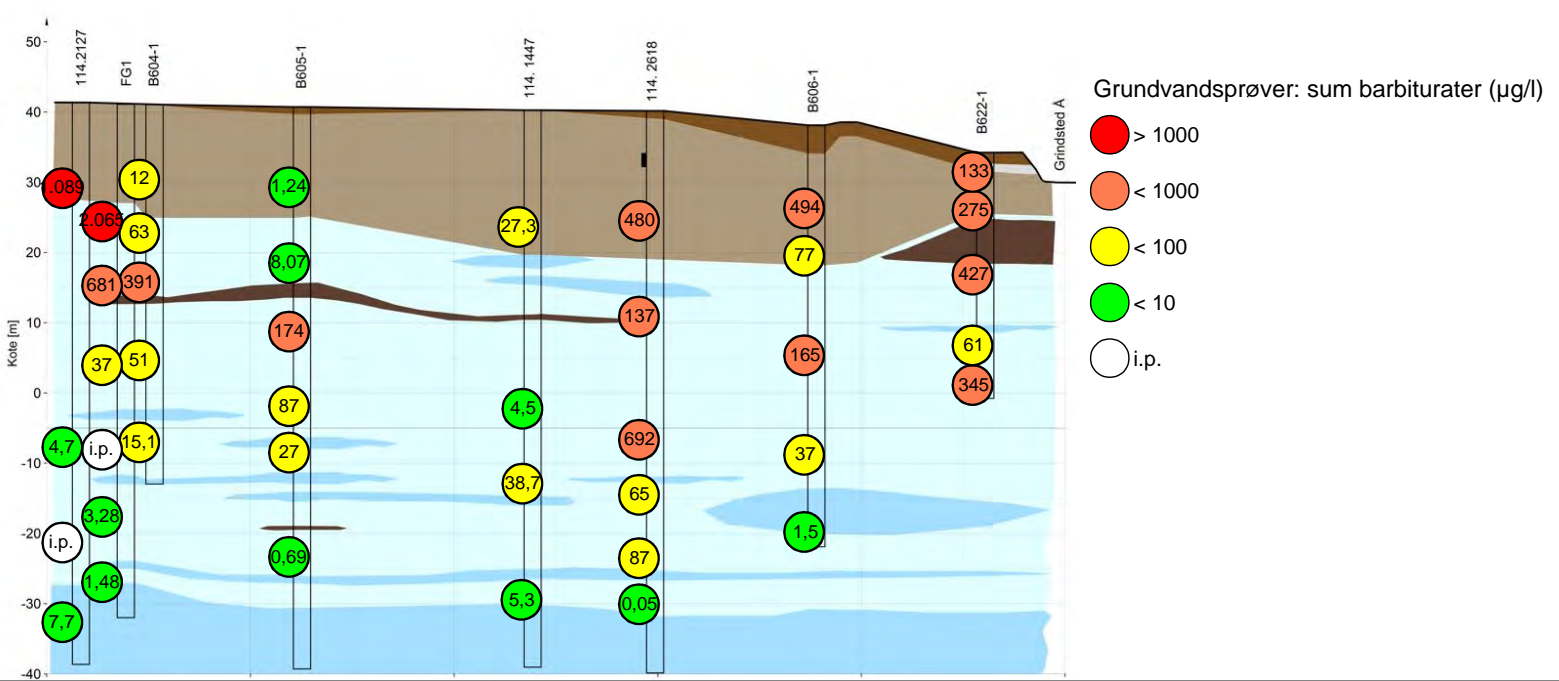
#### Signaturforklaring

- Boring
- Filter
- Postglacial ferskvandssand
- Tørv
- Postglaciæle ferskvandsslag
- Smeltevandsler
- Smeltevandssand og grus
- Oli-, mio-, plio- glimmersand
- Oli-, mio-, plio- glimmerler
- Oli-, mio-, plio- brunkul



#### Signaturforklaring

- Boring
- Filter
- Postglacial ferskvandssand
- Tør
- Postglaciale ferskvandslag
- Smeltevandsler
- Smeltevandssand og grus
- Oli-, mio-, plio- glimmersand
- Oli-, mio-, plio- glimmerler
- Oli-, mio-, plio- brunkul

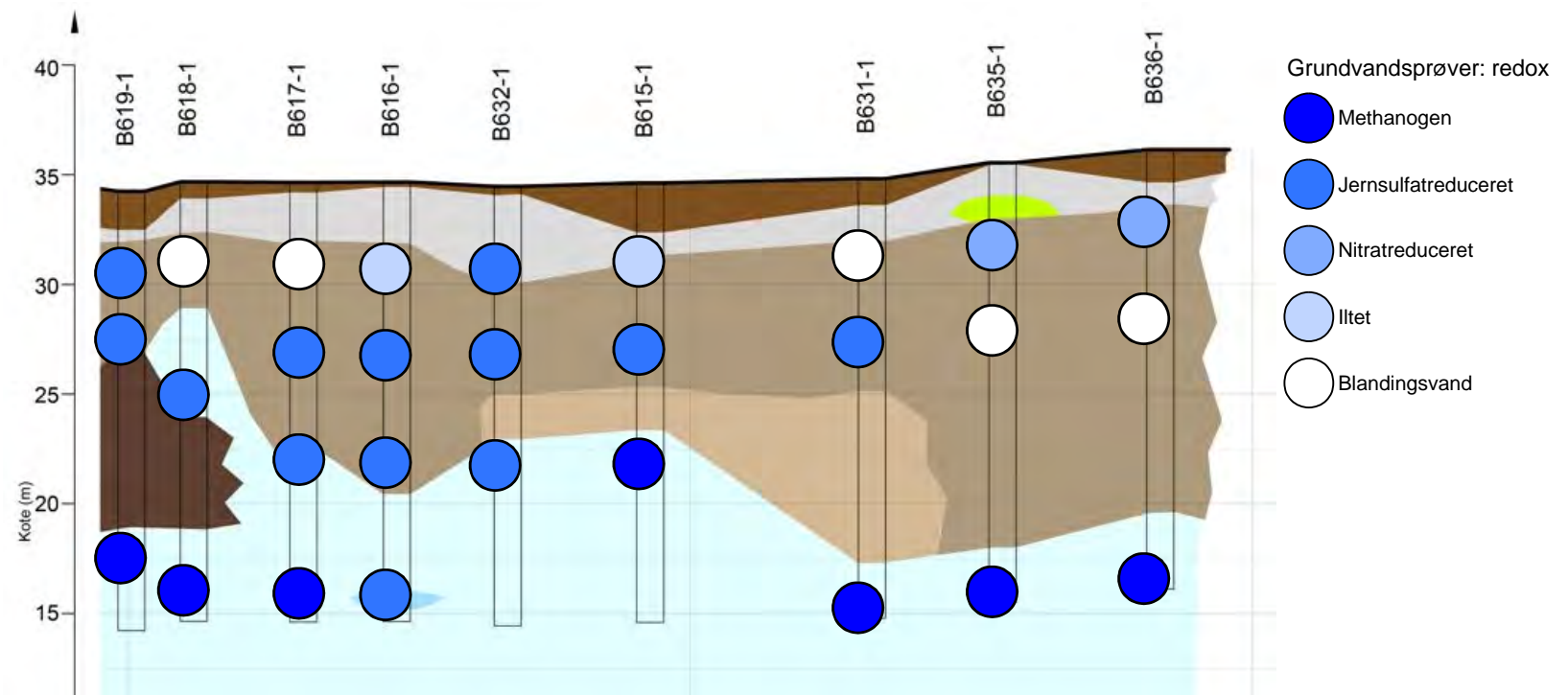
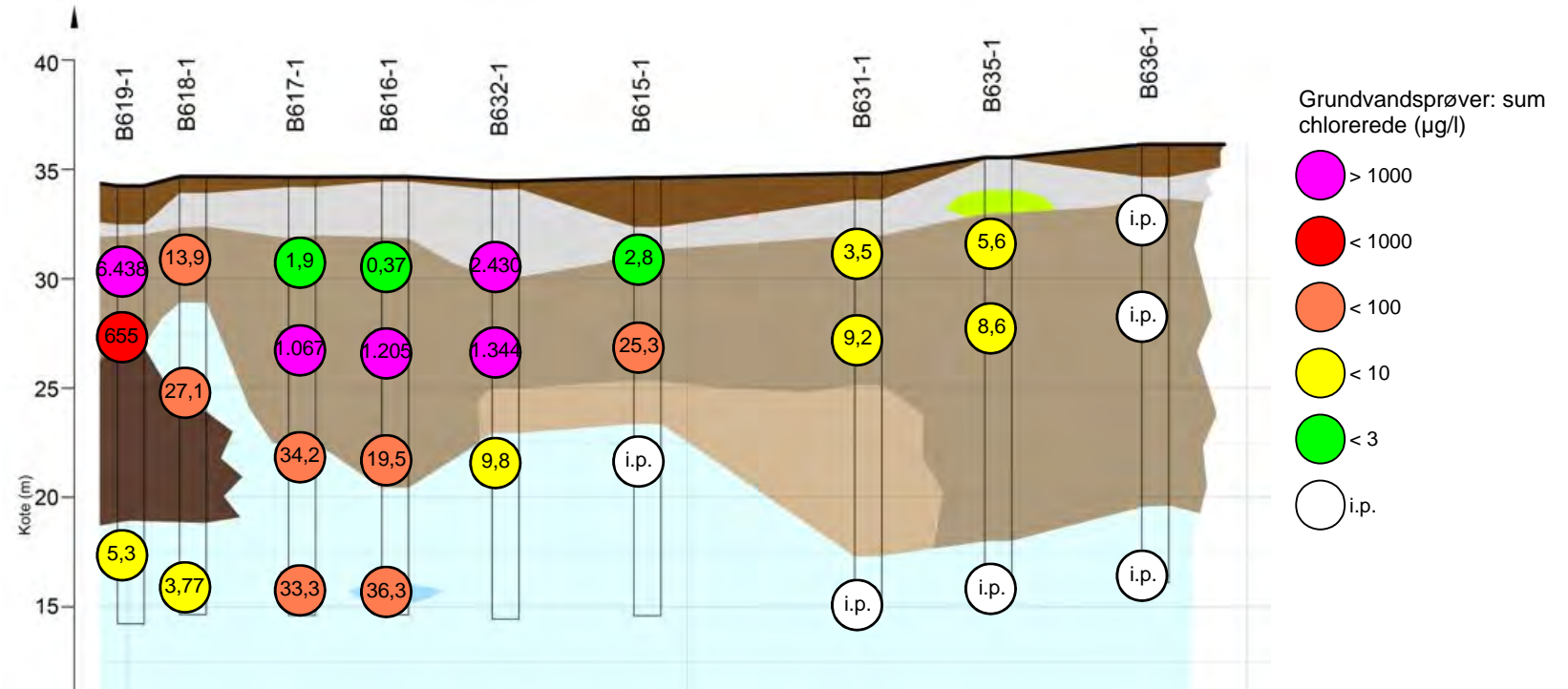
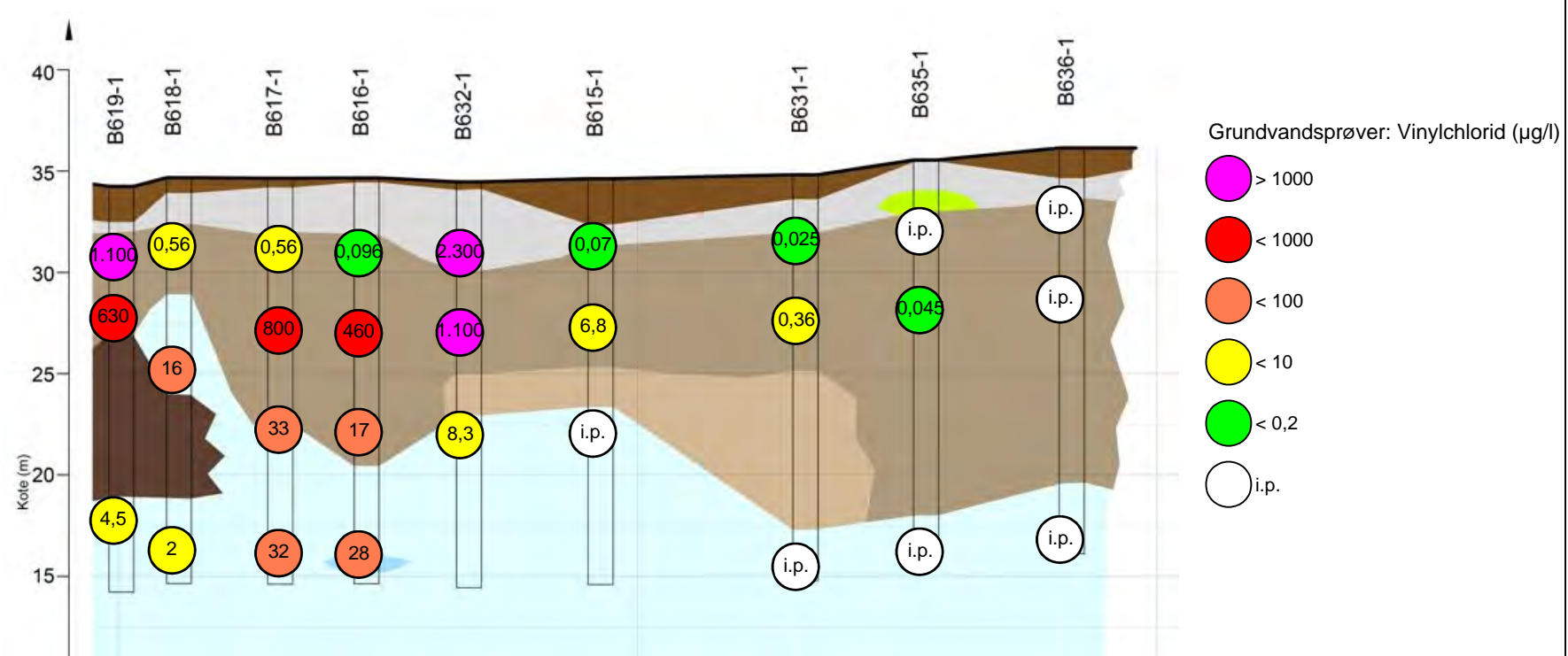


#### Signaturforklaring

- Boring
- Filter
- Postglacial ferskvandssand
- Tørv
- Postglaciale ferskvandslag
- Smeltevandsler
- Smeltevandssand og grus
- Oli-, mio-, plio- glimmersand
- Oli-, mio-, plio- glimmerler
- Oli-, mio-, plio- brunkul

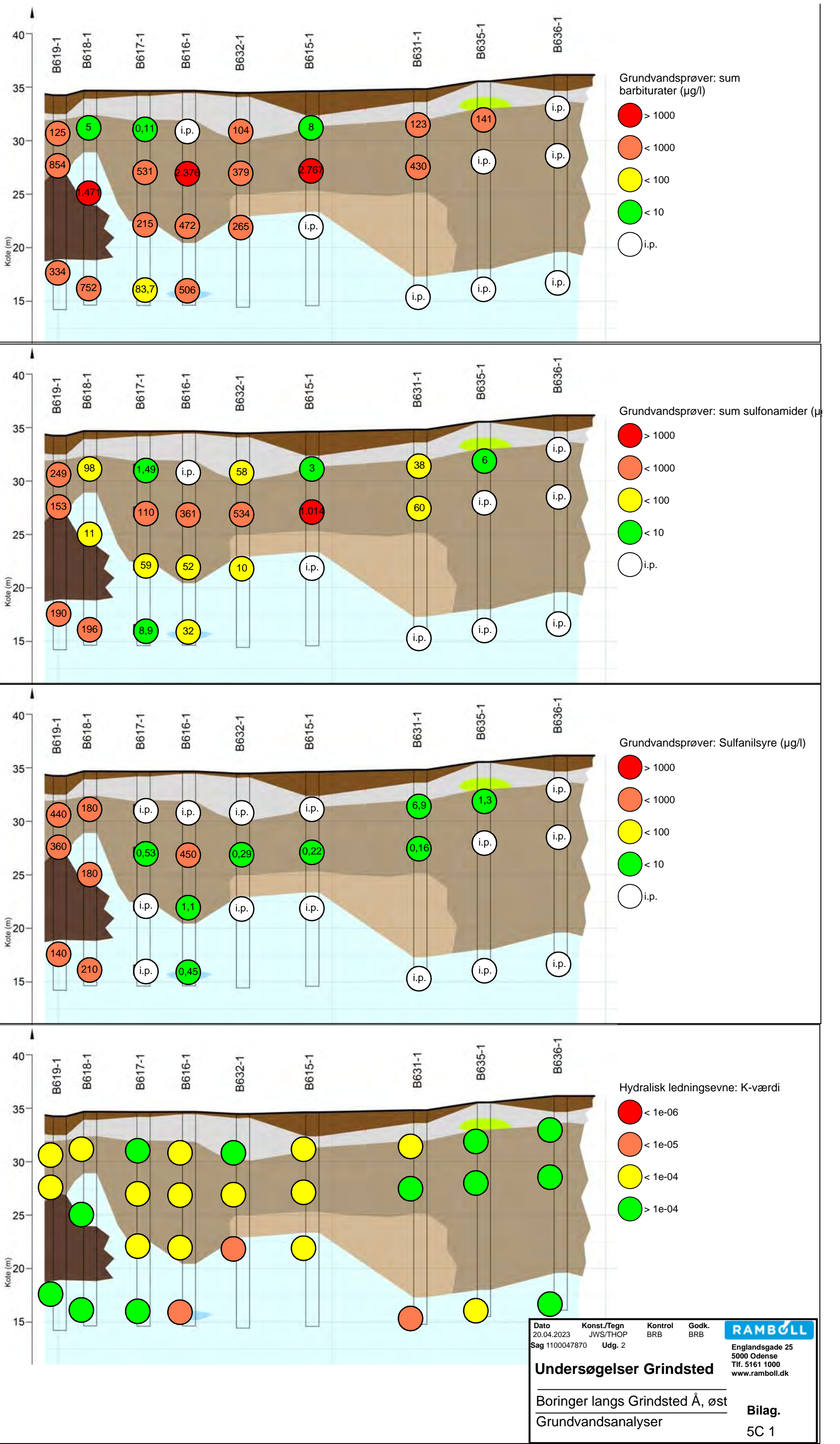
Dato 21.04.2023	Konst./Tegn JWS/THOP	Kontrol BRB	Godk. BRB	<b>RAMBOLL</b>
Sag 1100047870 Udg. 2				
<b>Undersøgelser Grindsted</b>				
<b>Strømlinje</b>				
<b>Grundvandsanalyser</b>				
<b>Bilag.</b>				
5B 1				

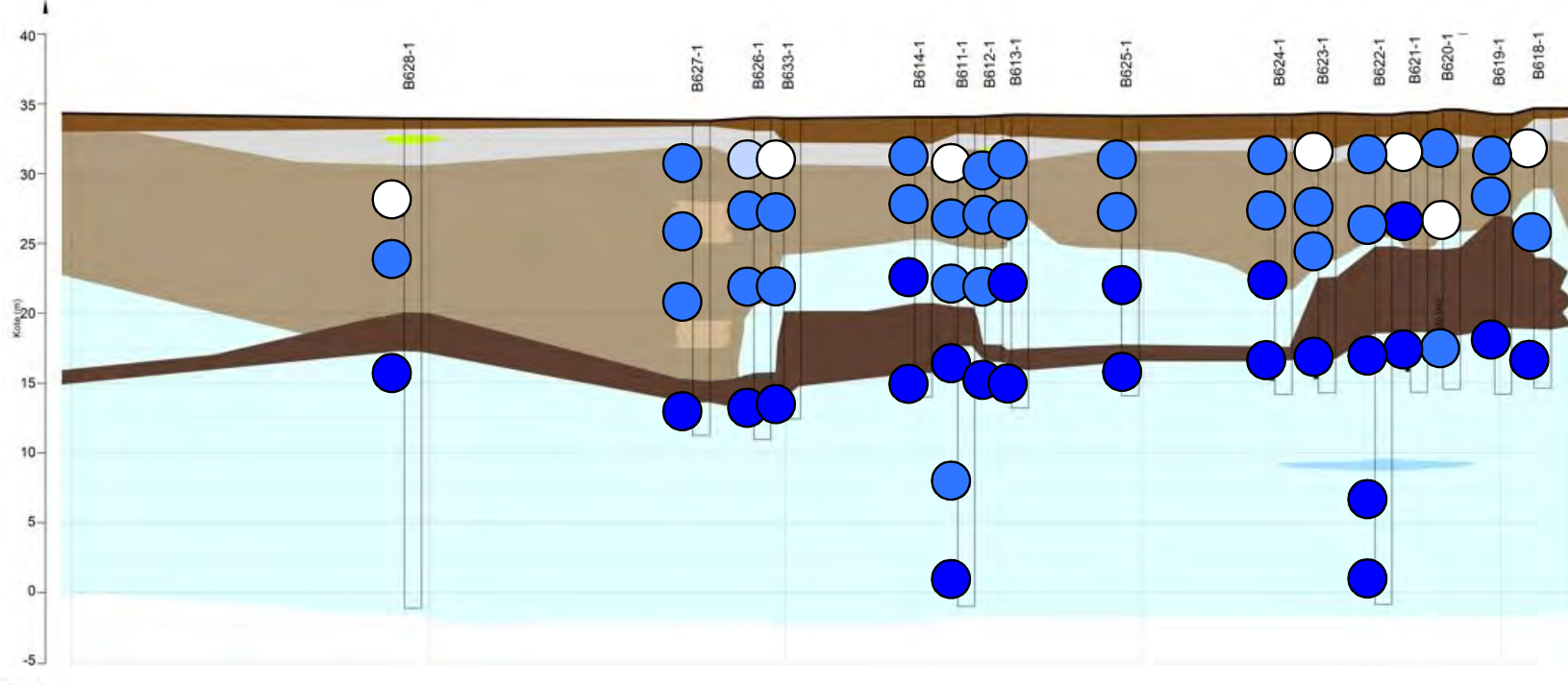
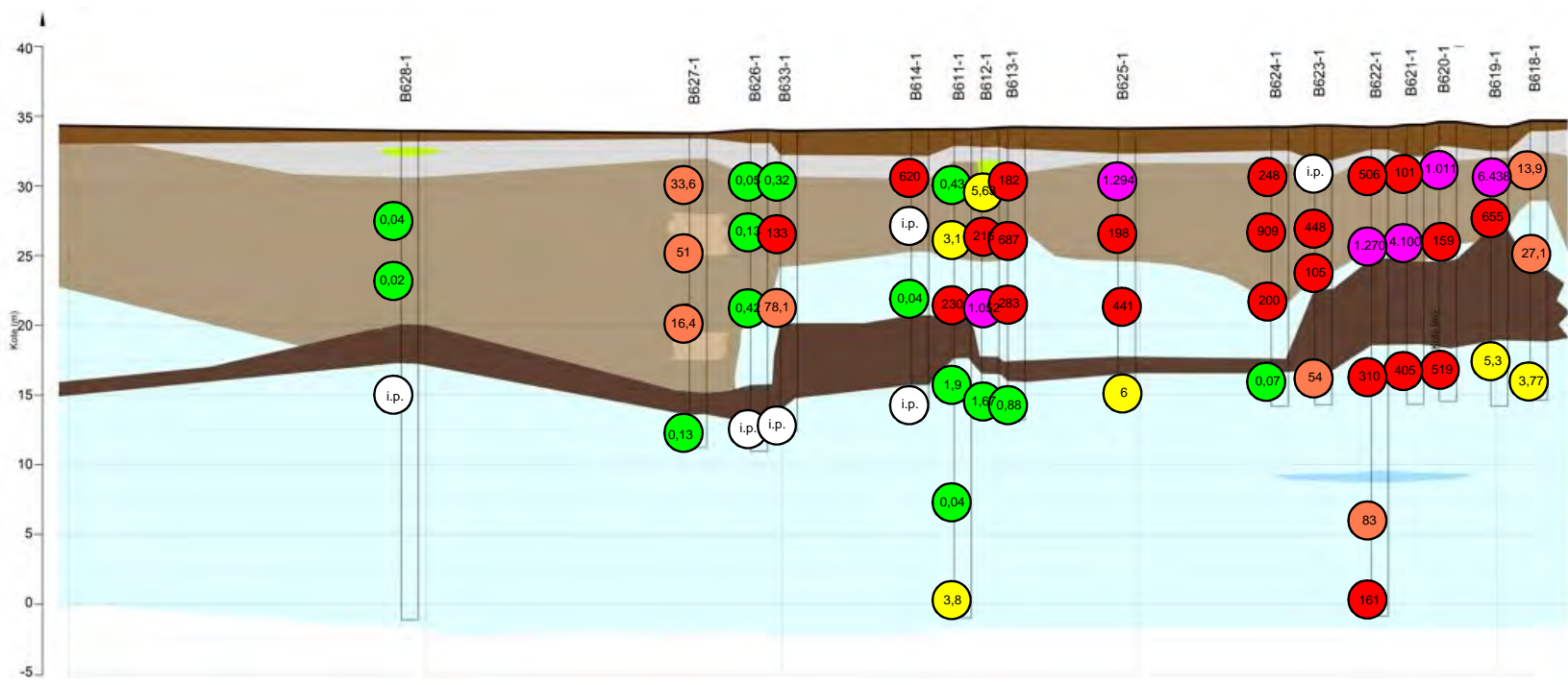
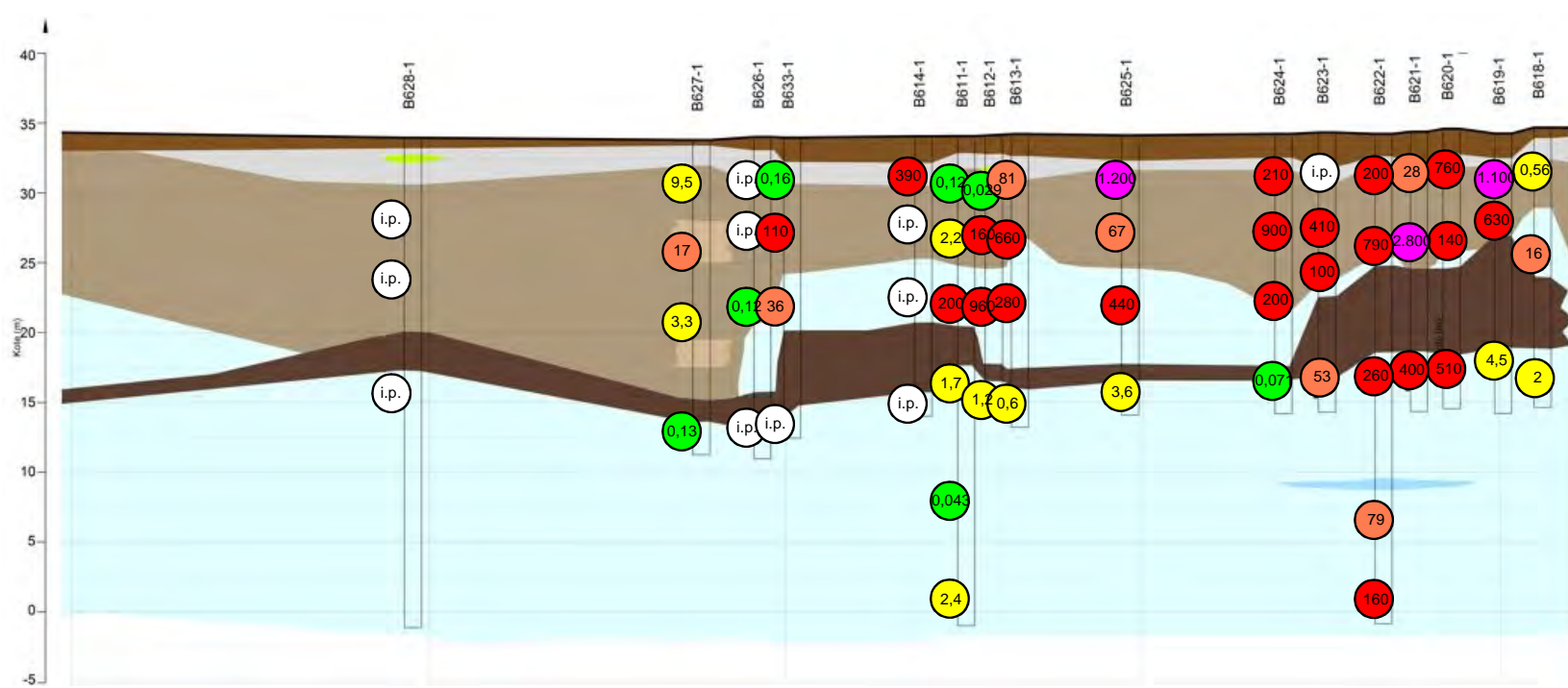
Englandsgade 25  
5000 Odense  
Tlf. 5161 1000  
www.ramboll.dk

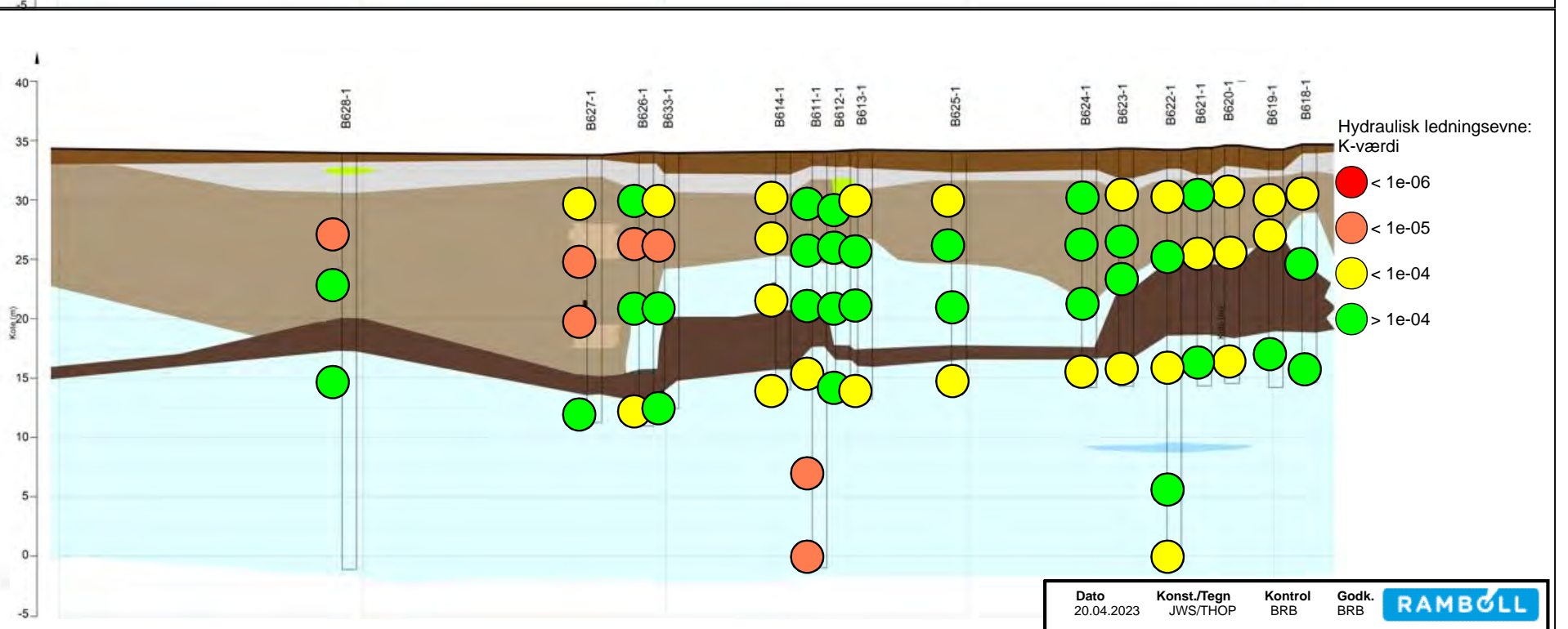
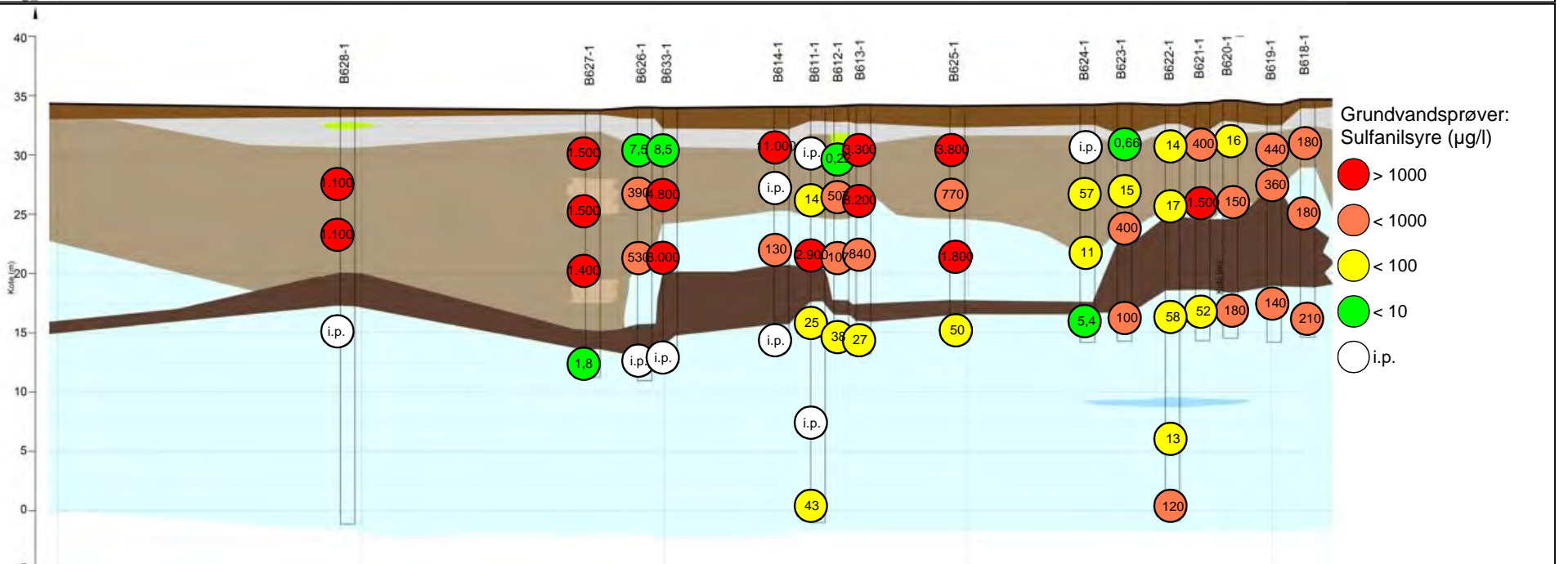
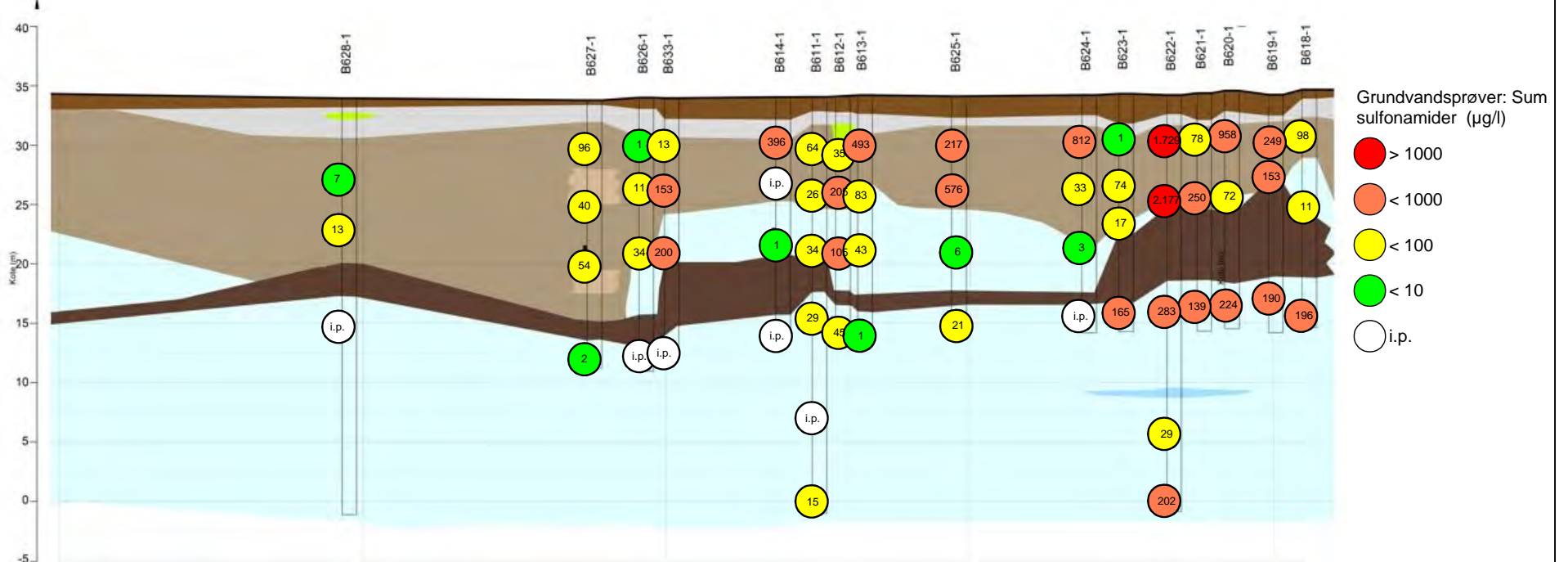
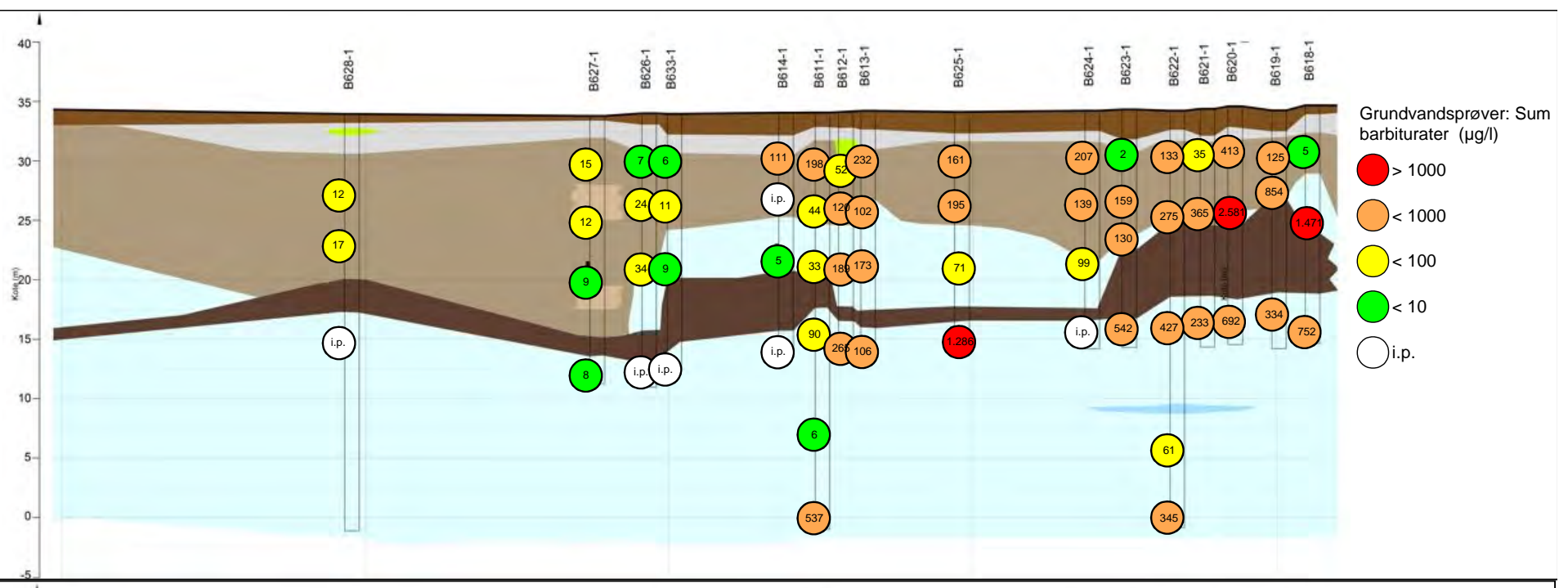


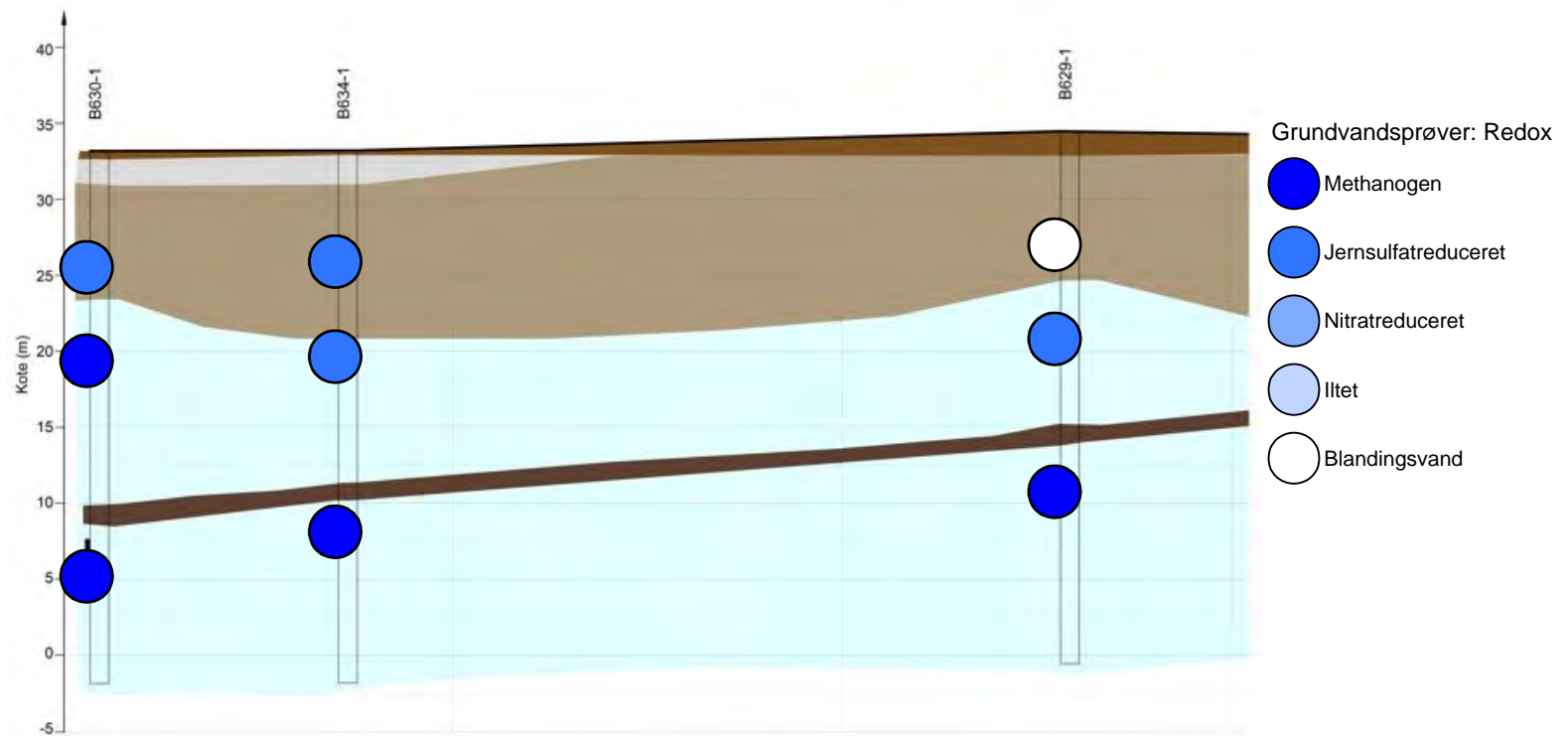
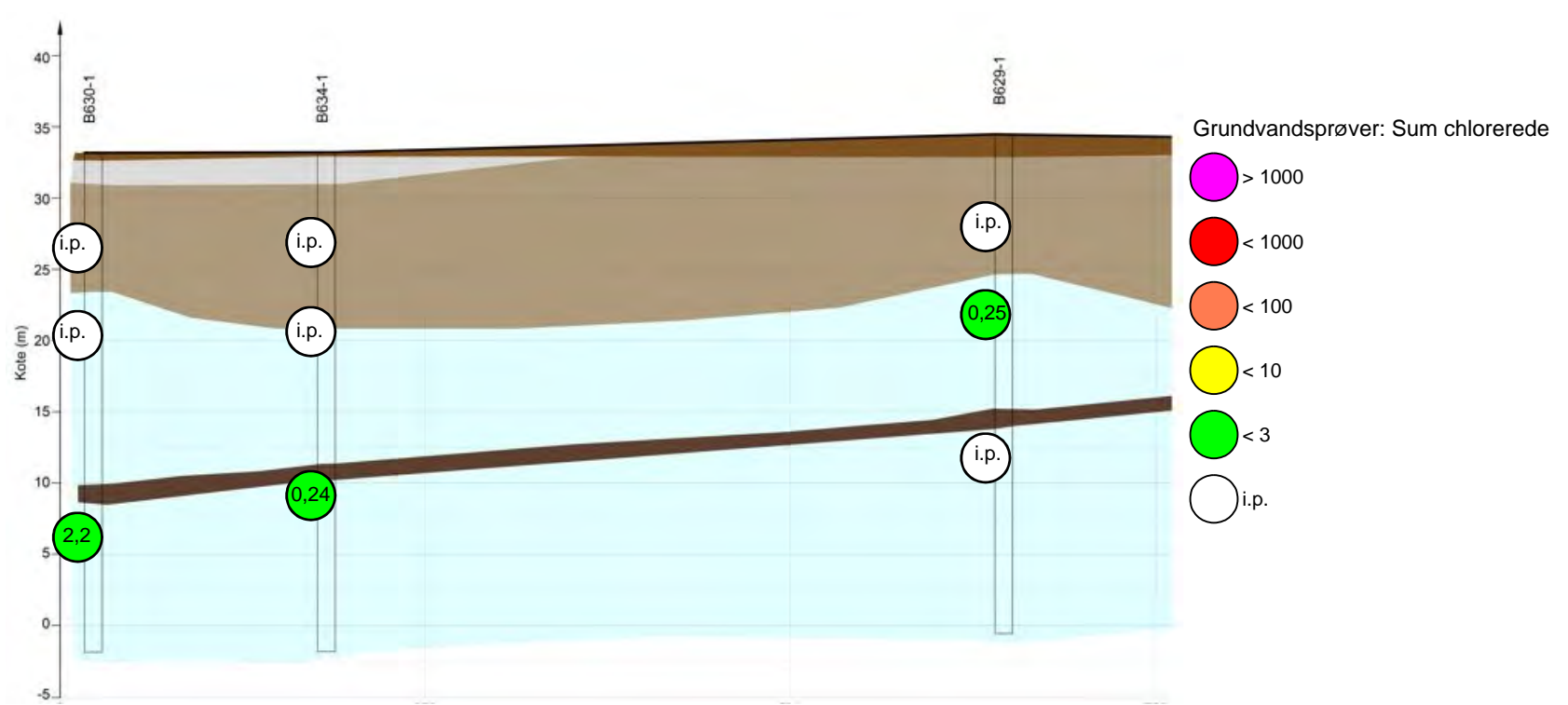
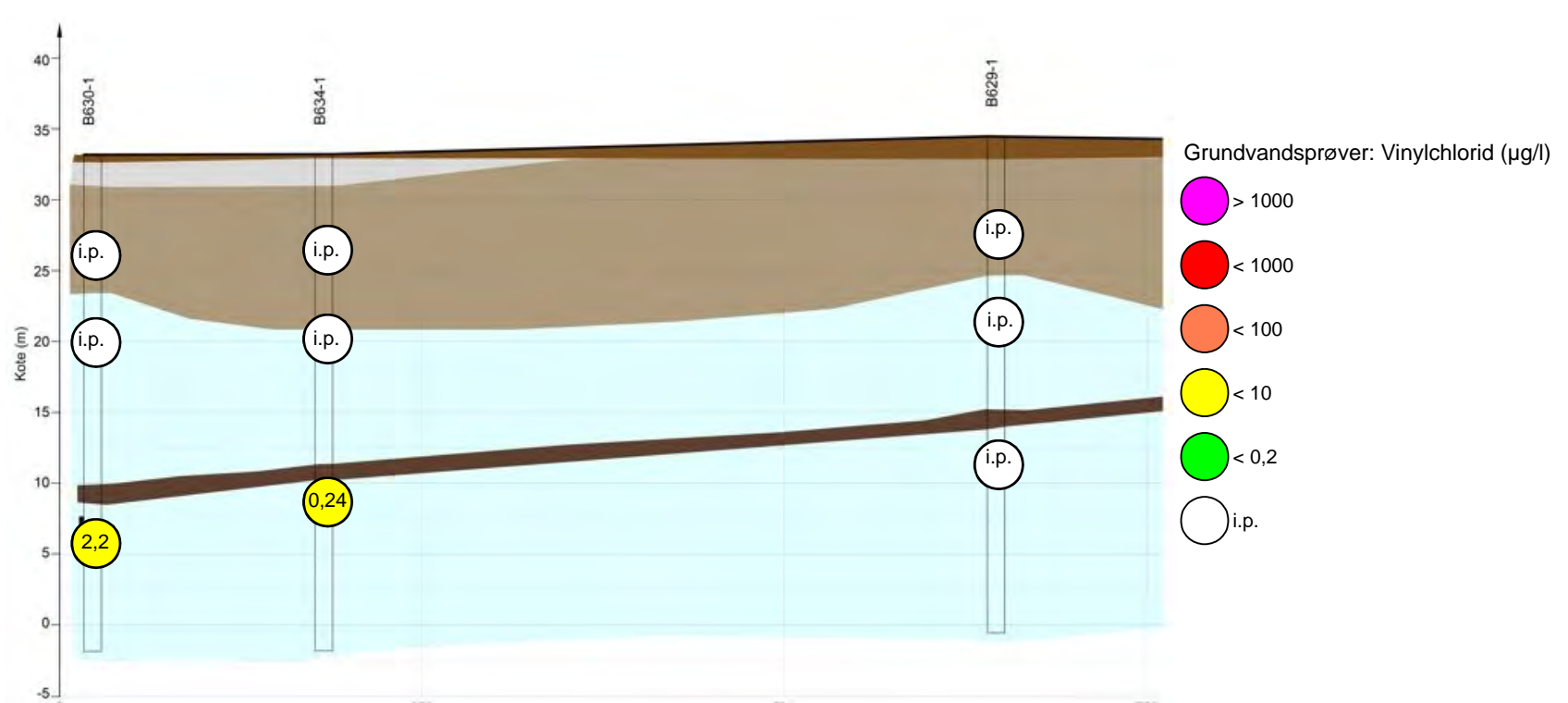
#### Signaturforklaring

- Boring
- Filter
- Postglacial ferskvandssand
- Tørv
- Postglaciale ferskvandslag
- Smeltevandsler
- Smeltevandssand og grus
- Oli-, mio-, plio- glimmersand
- Oli-, mio-, plio- glimmerler
- Oli-, mio-, plio- brunkul



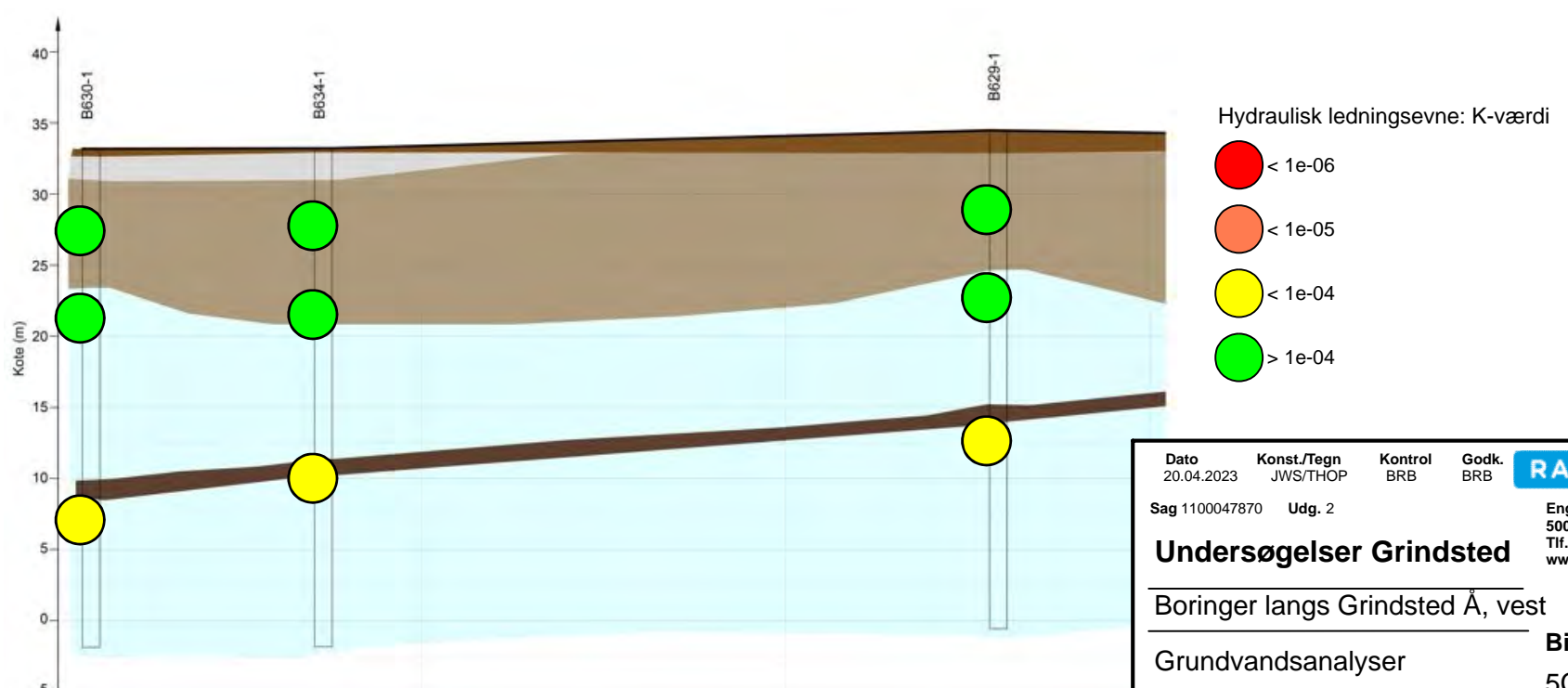
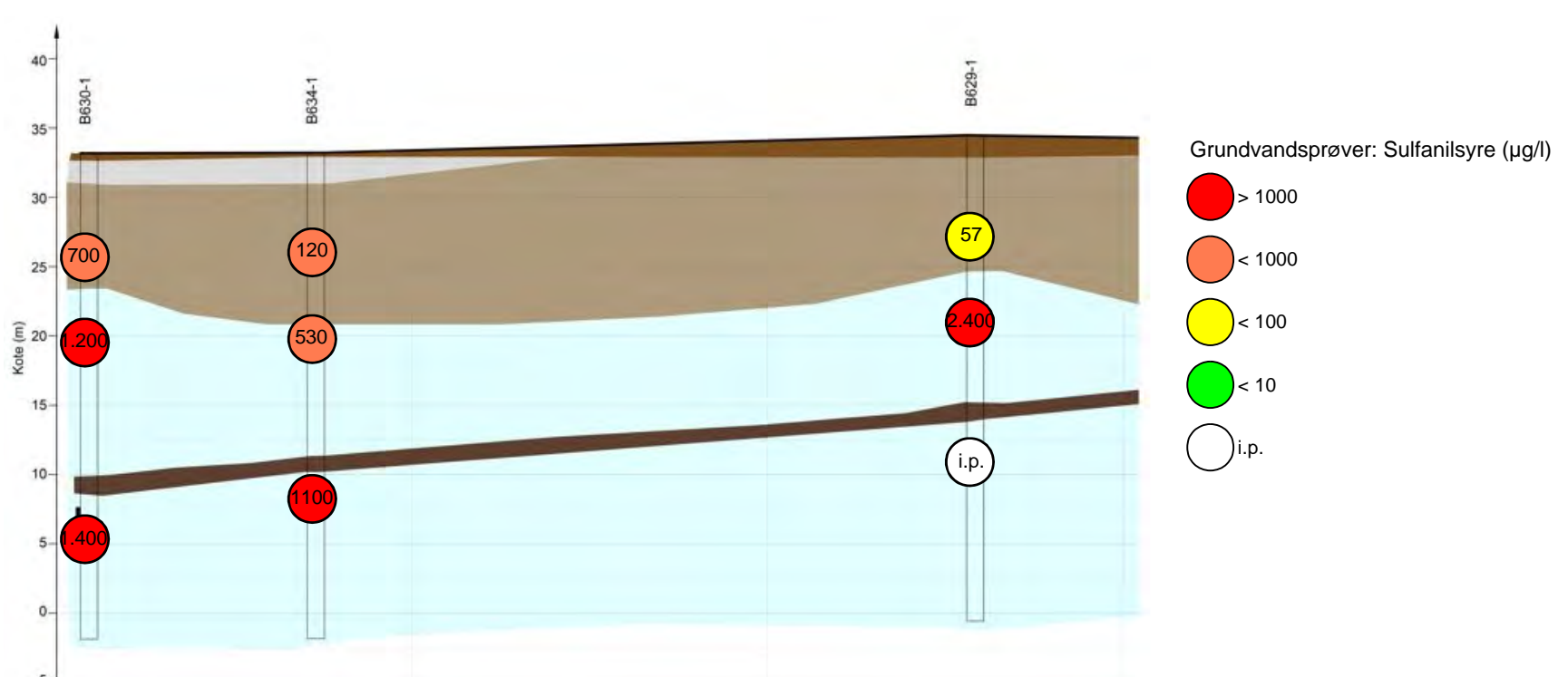
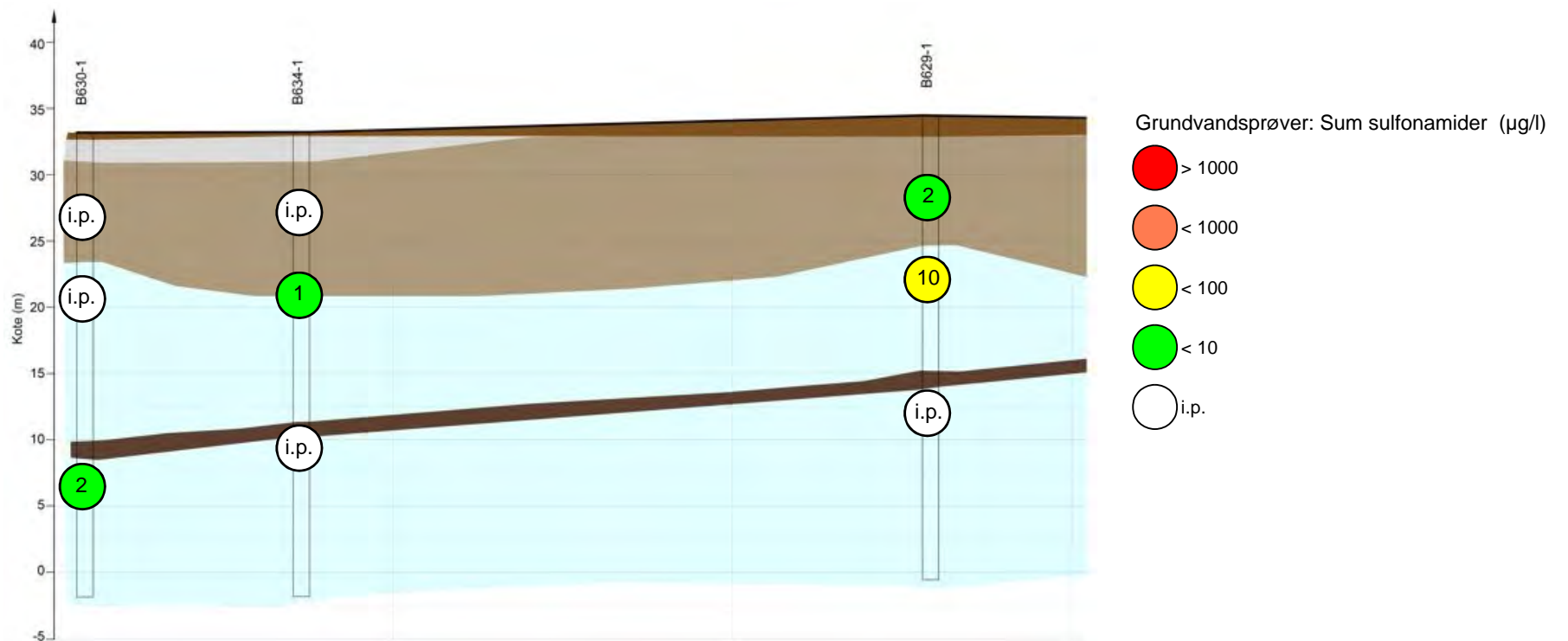
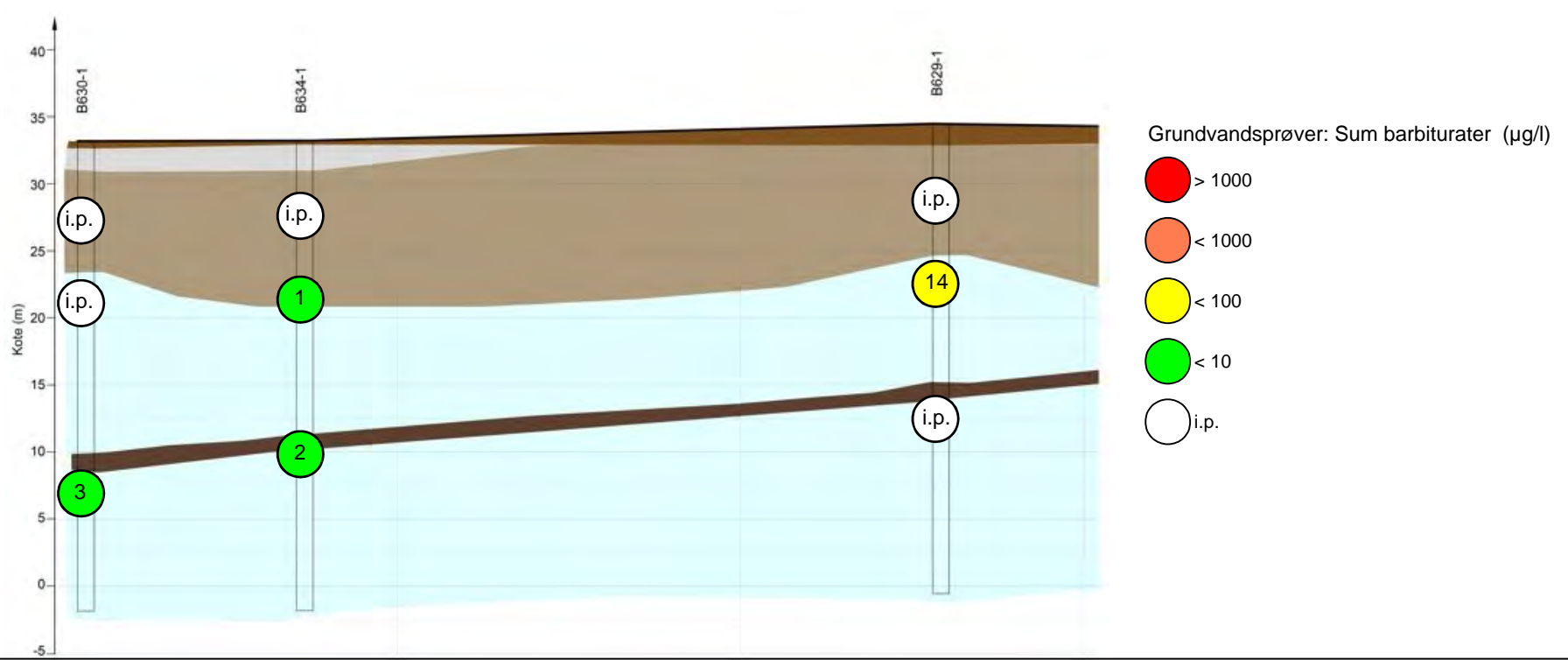






#### Signaturforklaring

	Boring
	Filter
	Postglacial ferskvandssand
	Tørv
	Postglaciæle ferskvandslag
	Smeltevandsler
	Smeltevandssand og grus
	Oli-, mio-, plio- glimmersand
	Oli-, mio-, plio- glimmerler
	Oli-, mio-, plio- brunkul



**BILAG 6**  
**DATA SYNKRONPEJLINGER OKTOBER 2022**

Borings ID.	DGUnr	Filter nr.	Filtersætning	Terrænkote	Målepunktskote	Nedstik vandspejl	Vandspejlskote	X	Y
			[m u.t.]	[mDVR90]	[mDVR90]	[m u.mp.]	[mDVR90]	[EUREF89]	[EUREF89]
B601	114.3900	1	63-65	40,10	40,32	3,87	36,45	495028,97	6179373,45
	114.3900	2	53,5-55,5		40,35	3,92	36,43		
	114.3901	3	42-44	40,12	40,27	3,89	36,38	495027,08	6179374,47
	114.3901	4	35-37		40,33	3,94	36,39		
	114.3902	5	28-30	40,07	40,31	3,93	36,38	495025,38	6179375,31
	114.3902	6	17-19		40,37	4,05	36,32		
B602	114.3904	1	68,5-70,5	39,07	39,28	3,34	35,94	494446,78	6179563,60
	114.3904	2	61-63		39,36	3,36	36,00		
	114.3905	3	49-51	39,09	39,37	3,46	35,91	494444,34	6179564,02
	114.3905	4	39-41		39,40	4,31	35,09		
	114.3906	5	30-32	39,06	39,45	3,56	35,89	494441,71	6179564,52
	114.3906	6	20-22		39,50	3,66	35,84		
B603	114.3909	1	62-64	39,75	39,95	3,38	36,57	495195,05	6179304,82
	114.3909	2	51,5-53,5		40,01	3,47	36,54		
	114.3910	3	44-46	39,75	40,02	3,48	36,54	495192,56	6179304,39
	114.3910	4	37-39		40,04	3,51	36,53		
	114.3911	5	30-32	39,75	40,04	3,52	36,52	495190,15	6179304,02
	114.3911	6	17-19		40,12	3,64	36,48		
B604	114.4175	1	48-50	41,04	41,26	4,06	37,20	495454,42	6179721,80
	114.4175	2	36-38		41,30	4,10	37,20		
	114.4176	3	25-27	41,06	41,27	4,11	37,16	495449,35	6179726,76
	114.4176	4	18-20		41,33	4,08	37,25		
	114.4175	5	10-20	41,04	41,33	4,12	37,21	495454,42	6179721,80
B605	114.4177	1	63,5-65,5	40,69	40,35	3,49	36,86	495194,70	6179747,90
	114.4177	2	49-51		40,40	3,53	36,87		
	114.4178	3	42-44	40,64	40,24	3,37	36,87	495195,00	6179743,90
	114.4178	4	32-34		40,31	3,42	36,89		
	114.4179	5	22-24	40,65	40,36	3,44	36,92	495195,56	6179739,79
	114.4179	6	11-13		40,34	3,41	36,93		
B606	114.4180	1	57-59	38,11	38,36	2,19	36,17	494731,17	6179318,26
	114.4180	2	46-48		38,35	2,30	36,05		
	114.4181	3	32-34	38,24	38,40	2,51	35,89	494725,00	6179319,78
	114.4181	4	18-20		38,55	2,62	35,93		
	114.4180	5	11-13	38,11	38,35	2,76	35,59	494731,17	6179318,26
B611	114.3962	1	33-34	34,07	34,48	0,95	35,43	494378,99	6179177,10
	114.3963	2	26-27		34,64	0,77	35,41	494378,83	6179177,68
	114.3964	3	16,5-17,5		34,51	0,87	35,38	494378,08	6179176,68
	114.3965	4	12-13		34,45	0,32	34,13	494377,14	6179176,77
	114.3966	5	7,5-8,5		34,50	0,39	34,11	494376,40	6179177,24
	114.3967	6	3,5-4,5		34,55	0,46	34,09	494375,36	6179176,87
B612	114.3968	1	18,5-19,5	34,08	34,48	0,92	35,40	494398,05	6179167,79
	114.3969	2	12-13		34,36	0,19	34,17	494397,45	6179168,10
	114.3970	3	7,5-8,5		34,38	0,21	34,17	494397,33	6179168,99
	114.3971	4	3,5-4,5		34,41	0,33	34,08	494396,61	6179169,28
B613	114.3972	1	19-20	34,25	34,65	0,76	35,41	494408,81	6179153,02
	114.3973	2	12-13		34,54	0,34	34,20	494408,94	6179153,94
	114.3974	3	7-8		34,58	0,39	34,19	494408,30	6179154,11
	114.3975	4	3,5-4,5		34,53	0,38	34,15	494408,41	6179154,89
B614	114.3976	1	19-20	34,06	34,48	0,87	35,35	494355,60	6179168,60
	114.3977	2	11-12		34,42	0,27	34,15	494355,32	6179169,70
	114.3978	3	6,5-7,5		34,50	0,42	34,08	494354,27	6179167,84
	114.3979	4	3-4		34,40	0,38	34,02	494354,00	6179168,90
B615	114.3980	1	12-13	34,63	35,01	0,89	35,90	494818,10	6179077,74
	114.3981	2	7-8		34,88	0,49	34,39	494818,53	6179077,43
	114.3982	3	3-4		34,88	0,48	34,40	494818,98	6179077,11
B616	114.3983	1	18-19	34,67	34,91	0,73	35,64	494749,50	6179146,70
	114.3984	2	12-13		34,99	0,75	35,74	494748,88	6179146,66
	114.3985	3	7-8		34,98	0,42	34,56	494748,24	6179146,67
	114.3986	4	3-4		34,98	0,48	34,50	494747,68	6179146,73
B617	114.3987	1	18-19	34,65	35,04	0,70	35,74	494709,80	6179134,21
	114.3988	2	12-13		34,99	0,72	35,71	494709,36	6179133,98
	114.3989	3	7-8		34,89	0,61	34,28	494708,93	6179134,15
	114.3990	4	3-4		34,91	0,66	34,25	494708,48	6179133,88
B618	114.3991	1	18-19						

B624	114.4011	1	18-19	34,23	34,63	0,82	35,45	494552,11	6179109,55
	114.4012	2	12-13		34,53	0,56	33,97	494552,40	6179108,81
	114.4013	3	7-8		34,54	0,62	33,92	494551,69	6179108,54
	114.4014	4	3-4		34,51	0,60	33,91	494551,75	6179107,66
B625	114.4015	1	18-19	34,12	34,52	0,91	35,43	494474,26	6179123,28
	114.4016	2	12-13		34,42	0,15	34,27	494473,67	6179123,69
	114.4017	3	7-8		34,43	0,15	34,28	494473,00	6179123,56
	114.4018	4	3-4		34,39	0,54	33,85	494472,50	6179123,94
B626	114.4019	1	21-22	34,00	34,37	0,91	35,28	494266,28	6179210,52
	114.4020	2	12-13		34,24	0,19	34,05	494265,78	6179210,82
	114.4021	3	7-8		34,32	0,68	33,64	494265,13	6179211,10
	114.4022	4	3-4		34,37	0,83	33,54	494264,59	6179211,35
B627	114.4023	1	20,5-21,5	33,79	34,30	0,96	35,26	494223,04	6179208,24
	114.4024	2	12,2-13,2		34,10	0,50	33,60	494222,63	6179208,15
	114.4025	3	8,8-9,8		34,08	0,53	33,55	494222,13	6179208,07
	114.4026	4	3-4		34,09	0,53	33,56	494221,66	6179208,09
B628	114.4027	1	18-19	33,95	34,33	0,69	35,02	494021,89	6179207,78
	114.4028	2	10-11		34,27	0,22	34,05	494021,29	6179207,93
	114.4029	3	6-7		34,25	0,79	33,46	494020,70	6179207,95
B629	114.4030	1	22-23	34,49	34,87	0,19	34,68	493699,97	6179262,09
	114.4031	2	12-13		34,78	1,36	33,42	493700,66	6179262,34
	114.4032	3	6-7		34,79	1,49	33,30	493701,24	6179262,64
B630	114.4033	1	25,5-26,5	33,19	33,57	0,20	33,37	493137,38	6179359,13
	114.4034	2	12-13		33,46	0,74	32,72	493137,70	6179358,51
	114.4035	3	6-7		33,49	0,81	32,68	493138,19	6179357,90
B631	114.4036	1	19-20	34,82	35,16	0,89	36,05	494914,73	6179060,77
	114.4037	2	7-8		35,18	0,62	34,56	494914,35	6179060,99
	114.4038	3	3-4		35,13	0,62	35,75	494913,90	6179061,34
B632	114.4039	1	12-13	34,47	34,79	0,69	35,48	494786,87	6179133,55
	114.4040	2	7-8		34,73	0,18	34,55	494786,44	6179133,93
	114.4041	3	3-4		34,72	0,23	34,49	494786,03	6179134,20
B633	114.4042	1	20-21	33,97	34,40	0,91	35,31	494283,67	6179198,98
	114.4043	2	12-13		34,27	0,19	34,08	494283,14	6179199,76
	114.4044	3	7-8		34,31	0,68	33,63	494282,43	6179199,73
	114.4045	4	3-4		34,34	0,73	33,61	494282,54	6179200,29
B634	114.4046	1	23,5-24,5	33,23	33,60	0,41	34,01	493264,36	6179297,38
	114.4047	2	12-13		33,52	0,59	32,93	493263,81	6179297,46
	114.4048	3	6-7		33,51	0,69	32,82	493263,25	6179297,55
B635	114.4182	1	19-20	35,55	35,87	0,15	35,72	494968,30	6179038,36
	114.4183	2	7-8		35,93	1,28	34,65	494967,40	6179038,48
	114.4184	3	3-4		35,96	1,32	34,64	494966,69	6179038,71
B636	114.4185	1	19-20	36,15	36,42	0,89	35,53	495036,48	6179042,57
	114.4186	2	7-8		36,43	1,19	35,24	495035,78	6179043,14
	114.4187	3	3-4		36,45	1,21	35,24	495035,11	6179043,61
G1	114.1334	1	20,5-30,5	-	41,39	3,90	37,49	495341,96	6180577,58
	114.1334	2	5-19	-	41,43	3,95	37,48	495342,00	6180577,62
G3	114.1336	1	8-30	-	41,34	4,04	37,30	495736,43	6179253,71
	114.1336	2	3-6	-	41,38	4,09	37,29	495736,55	6179253,75
G5	114.1425	1	55-62	-	41,42	4,23	37,19	495353,84	6179939,75
	114.1425	2	Formentlig defekt	-	41,38	4,13	37,25	495353,84	6179939,75
	114.1425	3	44-46	-	41,49	4,31	37,18	495353,90	6179939,58
	114.1425	4	32-34	-	41,42	4,22	37,20	495353,84	6179939,58
	114.1425	6	6-8	-	41,40	4,17	37,23	495353,80	6179939,64
G6	114.1426	1	Formentlig defekt	-	40,82	3,71	37,11	495511,09	6179430,54
	114.1426	2	48-50	-	40,76	3,67	37,09	495511,15	6179430,46
	114.1426	3	42-44	-	40,72	3,62	37,10	495511,12	6179430,32
	114.1426	4	Formentlig defekt	-	40,77	3,60	37,17	495511,14	6179430,49
	114.1426	5	30-32	-	40,72	3,60	37,12	495510,97	6179430,49
	114.1426	6	18-20	-	40,72	3,58	37,14	495510,98	6179430,48
	114.1426	7	5-7	-	40,67	3,55	37,12	495511,10	6179430,58
G7	114.1430	1	100-115	-	40,18	3,18	37,00	495029,00	6180229,00
	114.1430	2	58-62	-	40,10	3,13	36,97	495029,00	6180229,00
	114.1430	3	46-50	-	40,14	3,16	36,98	495029,00	6180229,00
	114.1430	4	37-41	-	40,16	3,17	36,99	495029,00	6180229,00
	114.1430	5	16-20	-	40,16	3,12	37,04	495029,00	6180229,00
G8	114.1447	1	69-70	-	40,04	3,54	36,51	494917,44	6179637,02
	114.1447	2	53,5-54,5	-	40,04	3,53	36,51	494917,44</	

H3	114.1994	1	5,8-7,8	-	37,11	3,58	33,53	493584,97	6179325,24
H1	114.1999	1	6-8	-	41,40	4,19	37,21	495405,00	6179782,00
H5	114.2000	1	6-8	-	39,13	3,41	35,72	494084,32	6179873,07
Trondsgøen 2	114.2038	1	74-77	-	41,16	3,90	37,26	495272,50	6180268,18
	114.2038	2	56-59	-	41,22	3,93	37,29	495272,50	6180268,18
	114.2038	3	14-17	-	41,30	4,01	37,30	495272,50	6180268,18
	114.2038	6	103-113	-	41,57	4,28	37,29	495272,50	6180268,18
Fabriksgrund	114.2127	1	99-112	-	42,35	4,38	37,97	495523,98	6179784,07
	114.2127	2	76-78	-	41,80	4,26	37,54	495523,98	6179784,07
	114.2127	3	72,8-74,8	-	41,88	4,53	37,35	495523,98	6179784,07
	114.2127	4	61-63	-	41,93	4,57	37,36	495523,98	6179784,07
	114.2127	5	48-50	-	41,98	4,45	37,53	495523,98	6179784,07
	114.2127	6	10-12	-	42,04	4,62	37,42	495523,98	6179784,07
B2-38	114.2793	1	3-4	-	36,79	3,13	33,66	493871,36	6179317,54
B2-62	114.2794	1	1,2-2,2	-	35,28	0,79	34,49	494148,81	6179296,41
B2-93	114.2795	1	2,8-3,8	-	37,89	2,97	34,92	494533,90	6179254,56
B2-96	114.2796	1	2,4-4,4	-	37,77	2,76	35,01	494579,10	6179248,37
B2-202	114.2788	1	2,5-3,5	-	37,41	2,44	34,97	494710,15	6179191,07
B2-213	114.2789	1	3-4	-	38,19	3,03	35,16	494857,95	6179152,85
B2-221	114.2790	1	2,5-3,5	-	38,06	2,73	35,33	494964,49	6179122,05
B2-307	114.2791	1	2-4	-	37,45	2,21	35,24	495026,29	6179082,17
B2-317d	114.2792	1	2-4	-	38,26	2,86	35,40	494627,59	6179312,84
BG1	114.2538	1	4-5	-	42,09	4,52	37,57	495537,02	6180424,11
BG6	114.2543	1	3,5-4,5	-	42,14	4,50	37,64	495517,79	6180592,80
Bekkasinvej	114.2618	1	70-72	-	40,34	3,99	36,35	494846,03	6179488,91
	114.2618	2	63-65	-	40,37	4,04	36,33	494846,03	6179488,91
	114.2618	3 (7)	6-8	-	40,40	4,17	36,24	494846,03	6179488,91
	114.2619	1 (3)	54-56	-	40,38	4,04	36,34	494846,73	6179496,16
	114.2619	2 (4)	46-48	-	40,48	4,15	36,34	494846,73	6179496,16
	114.2620	1 (5)	29-31	-	40,50	4,19	36,31	494847,44	6179501,97
	114.2620	2 (6)	16-18	-	40,59	4,34	36,25	494847,44	6179501,97
DTU ved åen	114.2508	1	5,5-6,5	-	35,93	1,70	34,23	494618,89	6179169,68
Pejleborning Renseanlæg Vest	114.2797	1	4,6-5,6	-	36,81	1,89	34,92	494635,00	6179221,00
BE5	114.2566	1	1-3	-	36,06	1,07	34,99	494696,00	6179209,00
BE6	114.2567	1	13-15	-	36,42	0,68	35,74	494690,00	6179193,00
BE6	114.2567	2	8-10	-	36,41	0,49	35,92	494690,00	6179193,00
BE6	114.2567	3	3-5	-	36,44	1,52	34,91	494690,00	6179193,00
BE7	114.2568	1	23-25	-	38,49	2,66	35,83	494663,00	6179338,00
BE7	114.2568	2	18-20	-	38,57	2,74	35,83	494663,00	6179338,00
BE7	114.2568	3	12-14	-	38,60	2,82	35,78	494663,00	6179338,00
BE7	114.2568	4	4-6	-	38,56	3,01	35,55	494663,00	6179337,00
B501	114.2711	1	2-4	-	38,89	2,96	35,93	495190,96	6179023,33
B502	114.2712	1	2-4	-	39,09	3,41	35,68	495111,67	6179046,30
B503	114.2713	1	2-4	-	38,07	2,99	35,08	494813,83	6179163,74
B505	114.2714	1	1-3	-	36,28	0,45	35,83	495082,23	6179130,07
B504	114.2715	1	2-3	-	36,51	0,91	35,60	494725,99	6179282,22
FG1-1	114.3593	1	67-69	-	41,33	4,18	37,15	495399,28	6179786,80
FG1-2	114.3593	2	58-60	-	41,41	4,25	37,16	495399,28	6179786,80
FG1-3	114.3594	1	48-50	-	41,40	4,21	37,19	495399,28	6179786,80
FG1-4	114.3594	2	36-38	-	41,47	4,29	37,18	495399,28	6179786,80
FG1-5	114.3595	1	25-27	-	41,48	4,27	37,21	495399,28	6179786,80
FG1-6	114.3595	2	16-18	-	41,47	4,26	37,21	495399,28	6179786,80
FG2-1	114.3590	1	66-68	-	41,03	3,96	37,07	495300,21	6179892,39
FG2-2	114.3590	2	60-62	-	41,09	4,01	37,08	495300,21	6179892,39
FG2-3	114.3591	1	49-51	-	41,06	3,94	37,12	495300,21	6179892,39
FG2-4	114.3591	2	42-44	-	41,09	4,00	37,09	495300,21	6179892,39
FG2-5	114.3592	1	24-26	-	41,17	3,94	37,23	495300,21	6179892,39
FG2-6	114.3592	2	11-13	-	41,26	3,98	37,28	495300,21	6179892,39
FG3-1	114.3596	1	66-68	-	40,63	3,58	37,05	495162,00	6180058,00
FG3-2	114.3596	2	58-60	-	40,70	3,66	37,04	495162,00	6180058,00
FG3-3	114.3597	1	49-51	-	40,65	3,53	37,12	495159,00	6180066,00
FG3-4	114.3597	2	41-46	-	40,59	3,60	36,99	495159,00	6180066,00
FG3-5	114.3598	1	32-34	-	40,84	3,78	37,06	495158,00	6180075,00
FG3-6	114.3598	2	21-23	-	40,89	3,74	37,15	495158,00	6180075,00
FA1-1	114.3641	1	66-68	-	40,09	3,90	36,19	494646,12	6179547,93
FA1-2	114.3641	2	60-62	-	40,17	3,96	36,21	494646,12	6179547,93
FA1-3	114.3640	1	54-56	-	40,07	3,88	36,19	494646,12	6179547,93
FA1-4	114.3640	2	46-48	-	40,11	3,94	36,17	494646,12	6179547,93
FA1-5	114.3642	1	31,5-33,5	-	40,01	3,95	36,06	494646,12	6179547,93
FA1-6	114.3642	2	17-19	-	40,09	4,03	36,06	494646,12	6179547,93
GÅ1-1	114.3657	1	61,5-63,5	-	36,02	0			

UK1	114.3683	1	7-8	-	39,45	3,84	35,61	494618,39	6179391,53
UK1	114.3683	2	4-5	-	39,57	3,94	35,63	494618,39	6179391,53
UK2	114.3684	1	7-8	-	39,19	3,61	35,58	494642,81	6179379,24
UK2	114.3684	2	4-5	-	39,31	3,71	35,60	494642,81	6179379,24
PFG1	-	-	Bund: 4,58 m u. mp.	-	39,27	4,41	34,86	493892,16	6179607,38
PFG2	-	-	Bund: 4,57 m. u. mp.	-	39,03	4,25	34,78	493567,73	6179805,65
PFG3	-	-	Bund: 4,59 m. u. mp.	-	38,41	4,40	34,01	493395,92	6179601,09
PFG4	-	-	Bund: 3,32 m. u. mp.	-	36,55	2,94	33,61	493472,41	6179384,89
PFG5	-	-	Bund: 3,66 m. u. mp.	-	37,00	3,27	33,73	493152,99	6179644,69
PFG6	-	-	Bund: 4,58 m. u. mp.	-	37,79	4,50	33,29	492887,11	6179710,64
PFG7	-	-	Bund: 3,75 m. u. mp.	-	36,54	3,45	33,09	492946,63	6179590,72
PFG8	-	-	Bund: 4,59 m. u. mp.	-	37,79	4,28	33,51	493176,32	6179541,62
PFG9	-	-	Bund: 4,59 m. u. mp.	-	38,25	4,43	33,82	493396,43	6179498,99
PFG10	-	-	Bund: 3,92 m. u. mp.	-	37,51	3,71	33,80	493731,06	6179381,04
PFG11	-	-	Bund: 4,00 m. u. mp.	-	38,49	3,64	34,85	494171,63	6179396,46
PFG13	-	-	Bund: 3,30 m. u. mp.	-	38,22	3,03	35,19	493619,73	6180091,23

**BILAG 7**  
**GRUNDVANDSPOTENTIALE, OKTOBER 2022**

